

室蘭工業大學研究報告 第1巻第1号 全1冊

| メタデータ | 言語: eng |
|-------|----------------------------------|
| | 出版者: 室蘭工業大學 |
| | 公開日: 2014-05-15 |
| | キーワード (Ja): |
| | キーワード (En): |
| | 作成者: |
| | メールアドレス: |
| | 所属: |
| URL | http://hdl.handle.net/10258/2922 |

室闌工業大學

研究 報告

第一卷 第一號 昭和二十五年六月

MEMOIRS

OF THE

MURORAN COLLEGE OF TECHNOLOGY

VOL. I. NO. 1 JUNE, 1950

MURORAN, HOKKAIDO

JAPAN

Editing Committee

- Prof. S. Iguchi-President, Chairman of the Committee.
- Prof. K. Hatori-Mechanical Engineering.
- Prof. Y. Kinokuniya—Mathematics.
- Prof. M. Masuda-English.
- Prof. K. Mikami-Civil Engineering.
- Prof. N. Nishida-Metallurgical Engineering.
- Prof. F. Sato-Mining Engineering.
- Prof. H. Sato—Chemical Engineering.
- Prof. S. Sawa—Electrical Engineering.

All communications regarding the memoirs should be addressed to the chairman of the committee.

These publications are issued at irregular intervals. When they amount to about 800 pages, they form one volume.





室蘭工業大學研究報告第一卷第一號

目 次

| | 頁 |
|--|------------|
| | 1 |
| On Operational Equatins | 13 |
| Mean Position Y. Kinokuniya | 2 5 |
| ニウマチツク・ハンマピツクの性能 (ピストン・ストロークの研究) … | |
| | 29 |
| 反應管における流速, 溫度および組成分布の間の關係について | |
| | 51 |
| 接觸反應速度の累表現とその應用例 進 藤 益 男 … | 63 |
| 高壓におけるアンモニヤ合成速度について 進 藤 益 男 … | 75 |
| A Table of the Coefficients of the Interpolation Formula of Steffensen | |
| M. Yoshida | 85 |
| A Table of the Coefficients of the Derivatives Formulas Based upon | |
| the Interpolation Formula of Steffensen M. Yoshida | 97 |
| 室蘭附近の火山岩 佐 藤 文 男 … | 113 |



On the Mechanism of the Electrolytic Polishing of Aluminum Part I.

On the behaviour of perchloric acid-acetic anhydride mixture

Keizo Nishida

Abstract

The author measured the electric conductivities, the decomposition voltages, and other properties of $HClO_4-(CH_3CO)_2O$ -electrolyte of many kinds of composition which was used for electrolytic polishing; and discussed the results and the mechanism of the phenomena.

§1 Introduction

In recent years, electrolytic polishing has been applied very usefully to the surface-treatment and the preliminary treatment for the disclosure of the structure of metals. Many metals (alloys) and electrolytes available are found to be useful.

Moreover, the mechanism of electrolytic polishing is partially explained on the base of the solubility of metal, the concentration-polarization of solution, and the anodic oxidation of metal.¹⁾ But the behaviour is not fully understood.

For the purpose to discuss the mechanism in detail, the author measured the anodic single potential during the current-density-bath-voltage measurement.

Dr. P. A. Jacquet says in his report as follows, "J'ai mesuré par la méthode classique le potential anodique, les courbes obtenues sont beaucoup plus régulières, mais elles ne présentent aucun avantage pour l'etude du phénomène et son utilisation pratique." But the details of their results are not mentioned.

For the author, however, the current-density bath-voltage curve alone could not reveal the behaviour of anode, especially of its surface, and of the viscous substance on the anode; but of the whole both on polishing only.

Next, there are many theories that acetic anhydride is an inhibitor,

¹⁾ P. A. JACQUET: Trans. Electrochem. Soc., 69, (1936) 629.

S. TAJIMA: J. Electrochem. Asso. Japan, 13. (1945) 64; 14, (1946), 4; 41; 129; 164.

N. Takahashi: Bull. Inst. Phy. Chem. Res. Japan, 22, (1943) 1; 10.

but by the author, there are also some respects which prove such a reagent to be not merely an inhibitor, and Dr. P. A. JACQUET used the solution contained as much anhydride as possible.

As to the evolution of gas in the treatment, it is very important to suggest the mechanism, which is to be reported in the next paper.

All the results obtained here are measured at 18°C.

§ 2 On the electrolyte

(a) The consideration in preparation of the electroyte mixtures. The reagents used are perchloric acid HClO, 60% aqueous solution and pure acetic anhyride. These are mixed and named as follows:

| Name of Soln. | Vol. of HClO4 | Vol. of (CH ₃ CO) ₂ O |
|---------------|-----------------|--|
| | (60% aq. soln.) | |
| Soln. (y) | 2.5 (cc) | 97.5 (cc) |
| Soln. (x) | 5.0 | 95.0 |
| Soln. (a) | 10.0 | 90.0 |
| Soln. (b) | 20,0 | 80.0 |
| Soln. (c) | 30.0 | 70.0 |
| Soln. (d) | 40.0 | 60.0 |
| Soln. (d-e) | 45.0 | 55.0 |
| Soln. (e) | 50.0 | 50.0 |
| Soln. (f) | 60.0 | 40.0 |
| Soln. (g) | 80.0 | 20.0 |
| Soln. (Q) | 100.0 | 0. |
| | | the state of the s |

When acetic anhydride is poured into the aqueous solution of HClO₄ cooled, the evolution of heat and the contraction of the volume of the solution are observed. The states and the colour of the solutions in prepration and after the uses for many measurements, are summed up in Table I.

TABLE I

| | | | the state of the s |
|---------------|---|-----------------------------------|--|
| Name of Soln. | On mixing | Colour after mixing | After the use for many measurements, and after a long time |
| Soln. (y) | On mixing, it boiled partly to a certain qu- | Orange | At first, the colour became deeper, and after a long time it changed dark red. |
| Soln. (x) | antity of (CH ₃ CO) ₂ O liquid, but more (CH ₃ | Reddish orange | At first, deeper than Soln. (y) but after a long time, it equaled to Soln. (y). |
| Soln. (a) | CO) O did not, and was warmed merely. This range is between | Orange, but paler than Soln. (x). | Suddenly became reddish orange, and after a long time equaled to Soln. (y). |
| Soln. (b) | Soln.(y) and Soln. (b). | Orange, but paler than Soln. (a). | Became more reddish, but even after a long time the colour did not change. |

| Name of Soln. | On mixing | Colour after mixing | After the use for many measurements, and after a long time |
|----------------------|------------------------|--|---|
| Soln. (c) | (g), boiling on mixing | previous soln. | The colour became a little deeper than the solution before use. |
| Soln. (d) ~ Soln.(g) | | Nearer the com- position to Soln (g), paler the colour. | The colour is likely as stated above, |

(b) The measurement of electric conductivity.

By the method of the Kohlrausch bridge, with platinum electrodes (platinized) and H type vessel, the following results are obtained. (Fig 1.)

From these results it is found that if we increase the quantity of (CH₂CO)₂O the electric conductivity is decreased. Moreover, a gap is found

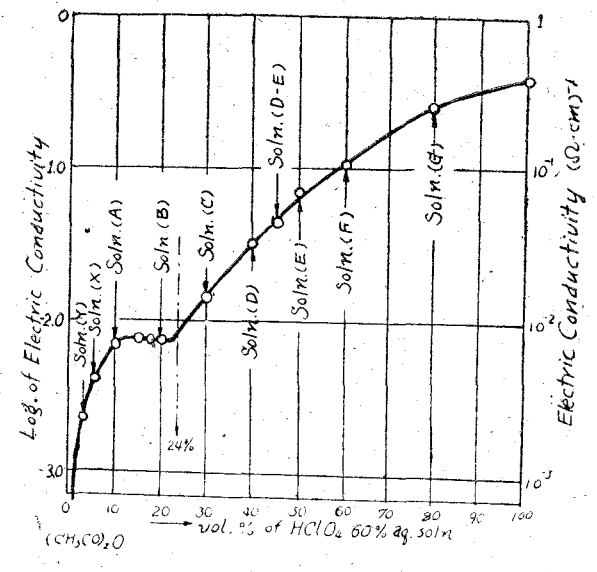


Fig. 1. Composition-Electric Conductivity Curve.

between the compositions of HClO₄ aqueous solution (10% and 20%). So the properties of the solutions of these compositions are considered to be different from other normal ones.

These phenomena are probably explained as follows: when (CH₃CO)₂O is mixed with aqueous solution of HClO, the hydration of acetic anhydride will occur,

$$(CH_3CO)_2O + H_2O = 2CH_3COOH$$

So the concentration of HClO, against free water will increase. If such a change is calculated in each solution, the composition of its constituents is indicated in Fig. 2.

This figure shows that the ageous solution of 60% HClO, is perfectly

dehydrated with 76 cc. of (CH₃CO)₂O, when the total volume of solution is 100 cc.

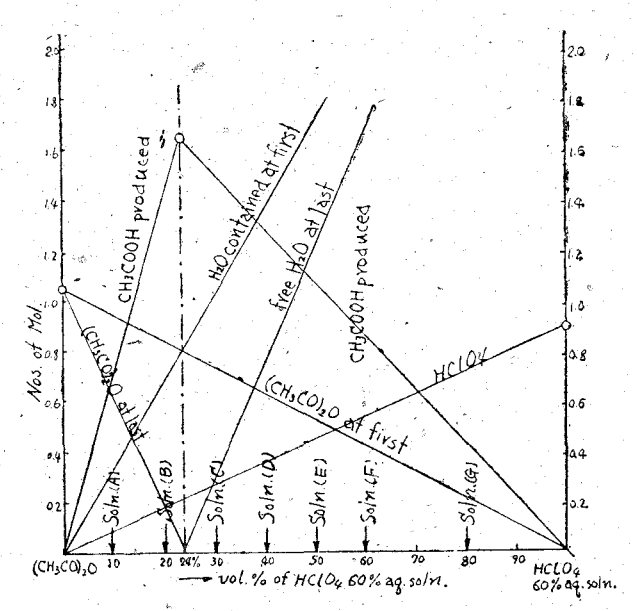


Fig. 2. Numbers of Mol of Each Constituent in 100 cc of the different Solutions at 18°C.

As shown in Table I, when the solution has less HClO, than that composition, it is coloured different from the other solutions when mixed. Thus the phenomenon that shows the constant value of electric conductivity between 10% and 20% of HClO, aqueous solution, will be understood by the following reactions:

$$CH_3COOH + HClO_4 \longrightarrow CH_3COOH_2^+ + ClO_4^-$$

and

$$CH_3COOH_2^+ + ClO_4^- \rightleftharpoons CH_3C(OH)_2ClO_4$$

these CH₃COOH₂⁺ and ClO₄⁻ ions are partly in the form of "ionpair"; then the equilibrium of the latter reaction will be maintained between Soln (a) and Soln. (b), so the concentration of these ions will be constant and the electric conductivity will be also constant.

Moreover, with the coloration of the so-called anhydride solution HClO, will be partly decomposed:

$$2 \text{ HClO}_4 = \text{H}_2\text{O} + \text{Cl}_2\text{O}_7$$
 (non-colour, viscous liquid),

and this Cl₂O₁ will be decomposed, too,

$$2 \operatorname{Cl}_2 O_7 = O_2 + 2 \operatorname{Cl}O_2$$
 (dark red, liquid),²⁾

¹⁾ I. M. KOLTOFF and A. WILMAN: J. Am. Chem. Soc., 56, (1934) 1007.

²⁾ G. F. Goodeve and F. D. Richardson: J. Chem. Soc. (London).

or

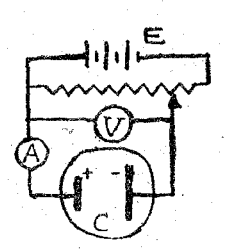
$$Cl_2O_6 = O_2 + 2 ClO_2$$
 (dark red, gaseous),

and these will dissolve in acetic acid.

- (c) The measurement of the decomposition voltage and of the single potential of anode.
- i) The measurement of the decomposition voltage of solutions.

The apparatus used is shown in Fig. 3, schematically. (planed): $1 \text{cm} \times 1 \text{cm} \times 2$ in area, and cathode is aluminum plate (99.8% Al): $3 \text{cm} \times 3 \text{cm} \times 2$ in area. The distance between these parallel electrodes is 3.5cm.

In Fig. 3, V is voltmeter, A is ammeter, C is electrolytic bath, and E is applied electromotive force. The reason way aluminum should be used as cathode is that it is very convenient to compare the behaviour of anode at this measurement with that of the following electrolytic polishing of aluminum when the same cathode is used.



Anode is platinum

Fig. 3. The Apparatus for Measurement of Decomposition Voltage.

These results obtained are given in Fig 4. From these curves the decomposition voltage of Soln. (y) and Soln. (x) is not acertained, but in Soln. (a) it is about 5 volts, and others are almost 4 volts.

ii) The measurement of the single electrode potential of anode.

At the same time of the measurement of i) the single electrode poten-

Schalb)

Fig. 4. Current-Density—Bath Voltage Curves.

tial of platinum (planed) anode is obtained. By this method the values are measured immediately after the current is cut off. The time required to measure after cutting off the current is 3 to 5 seconds.

The apparatus for the measurement is shown abbreviately in Fig. 5. Anode is contacted to the end of the salt bridge which is combined to calomel cell (saturated). Then the value (E) of the single potential is for Pt; soln. The value $(E_{cal.}^{std})$ of calomel cell is

E

-0.25203 volt, which is also the value of the cell:

$$+$$
 Hg,Hg₂Cl₂,KCl_(satd.),H⁺(1act.),H₂ $\xrightarrow{E_{cal.}^{std.}}$

Thus, when E is plus, this electrode corresponds to the metal which is baser than H₂ in

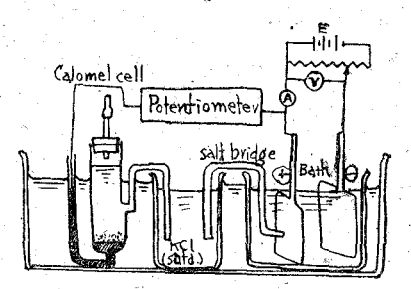


Fig. 5. The Apparatus for Measurement of Anodic Single Potential.

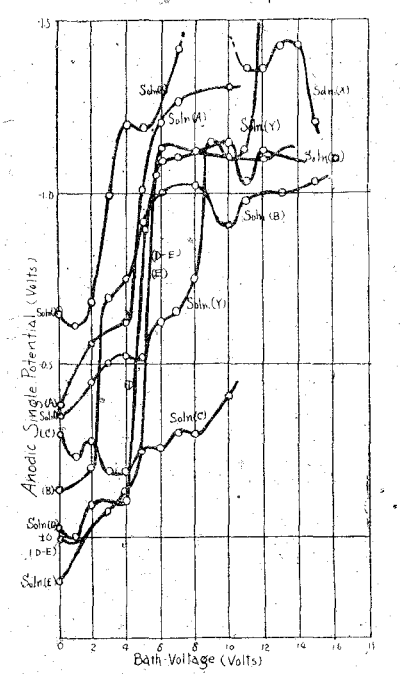


Fig. 6. Bath-Voltage-Anodic Single Potential Curves.

the standard single electrode potential; and when E is minus, the electrode corresponds to the metal nobler than H₂.

These results are shown in Fig. 6. Apparently they will ascertain the results obtained from the decomposition voltage.

From the change of curve the value (E) becomes nobler as the current increased. Moreover in Soln. (d-e) to Soln. (e) the value of the potential is constant even if the current increases. It is likely the value of the gas evolved. But the property of the gas is not determined.

§ 3 On the case of electrolytic polising of aluminum

a) The measurement of current-density-bath-voltage in each solution.

The anode used in aluminum plate (99.8 % A1). $1 \text{cm} \times 1 \text{cm} \times \text{in}$ area exposed, and cathode is also aluminum plate (in the same state as anode), $3 \text{cm} \times 3 \text{cm} \times 2$ in area exposed, and they are dipped vertically and aparted 3.5cm.

The results are summed up in Fig. 7.

The behaviour of the solution is explained as follow:

i) On the irregular change of currentdensity

If the concentration of HClO, is in creased, the irregularity becomes larger,

Near the concentration of Soln. (f) its value is maximum, and the less HClO₄, the less the irrgularity. While increasing HClO₄ than Soln. (f), this property decreases and disappears (this is the case of 60% HClO₄ aqueous solution especially).

The horizontal part of the curve of current-density is not found in Soln. (y) to Soln. (b). With Soln. (c) it appears, and as the concentration of HClO, increases, the range of this part increases, and reaches maximum in Soln. (f), which shows the constant value even at the voltage of 40 volts.

The value of the constant current-density increases with more of HClO,

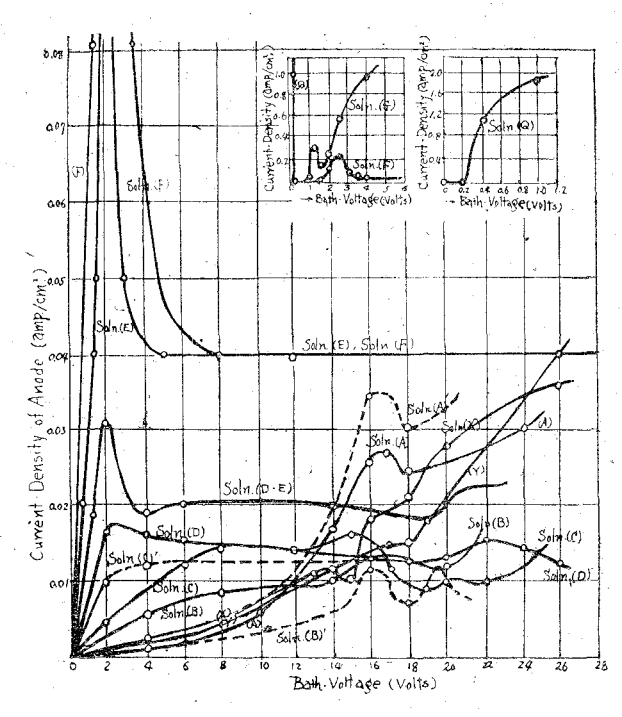


Fig. 7. Current-Density of Anode-Bath-Voltage Curves

and is 0.04 amp./cm² in Soln. (e) and Soln. (f). The fact that the current-density at the constant part is equal in these two solution of different composition will show that it is likely controlled by the behaviour of anode and anolyte in these solutions, and the mechanism of the anodic phenomena is the same in each other.

With Soln. (g) and the solutions of more HClO₄ this part is shortened, and is not found with pure 60% HClO₄ aqueous solution.

ii) The relation of the gas-evolution to the current-density.

If we increase the current-density with soln. (c) to Soln. (f), the gas is evolved more violently at first, but before the beginning of its irregularity, the gas diminishes abruptly. In the part where the current-density is constant, the gas is hardly found. These phenomena are more clearly observed in Soln. (f).

Beyond the part the current increases suddenly as the bath-voltage increases, and the gas is evolved again, which has been already seen and common in the solution of such mixtures.

In Soln. (y) to Soln. (b) the initial evolution of gas is not found.

iii) On the phenomenon of the oscilation of voltage and current.

This phenomenon has been reported by others. At the time the evolution of gas diminishes the needles of both ammeter and voltmeter begin to

oscilate. This oscilation is maximum with Soln. (e) to Soln. (f), and the curent drops sooner than it rises. This change is maximum on the top of

the irregularity of current-density and it becomes slowly small with voltage. Sometimes it stops awhile. These behaviours are shown in Fig. 8, which is the relation between current-density and bath-voltage. At first, when the voltage increases, current-density increase along the curve AB and at B it falls Suddenly to the value C, then it osciltes between C and D. The values in the curves in Fig. 7 during the oscilation are mean values of these two limits.

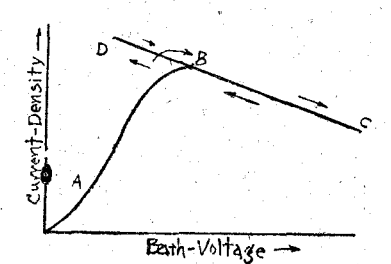


Fig. 8. The phenomenon of the Oscilation of voltage and current.

However, this phenomenon is not only confined with aluminium anode, but also it has been seen in such a case where the formic acid is oxidized anodically with platinum electrode,¹⁾

b) The measurement of bath-voltage-single potential of anode in each solution.

As shown in Fig. 9 the values are obtained with the aid of potentiometer by the same way as ii) in b) of §2, which is given in Fig. 9. The behaviour of the solution is explained as follows:

With the increase of HClO, the initial potential tends to baser state and the potential at the case of constant current-density has the same tendency as the initial one. However it must be noticed that these values are not absolute, considering from the way of measurement, and that the initial value of the potential is much affected by the condition of the surface of metal. Nevertheless these data will indicate some of the behaviour of anode. For comparison's sake, two curves of Soln. (a) and Soln. (b) are given in the figure respectively. It is most important how the potential of anode changes relatively in each solution.

From Soln. (y) to Soln. (a) the anodic potential goes to the noble state till the bath-voltage of 12 volts and then it falls suddenly to the baser state. From Soln. (b) to Soln. (c) the potential falls at first and with higher voltage it does not change greatly, but is unstable. From Soln. (d) to Soln. (f), different from Soln. (b) and Soln. (c), there is given a smooth curve, which is attributed to the stable potential of anode, after the initial change (the shiftness towards the baser state) even by this method. In Soln. (g) and pure 60% HClO, aqueous solution, such a constant part of potential is not observed.

¹⁾ E. MÜLLER and S. TANAKA: Zeit. für Electrochem, 24, (1928), 256.



Fig. 9. Bath-Voltage - Anodic Single Potential of Aluminum Curves.

c) The consideration of the above stated phenomena.

The single potential (E) of anode for Al; soln is obtained in cutting

off the current, which indicates the stable potential. So, if there is only the concentration-polarization, as seen with platinum anode, it must be $(\Delta E/\Delta V) < 0$ —where ΔE ; ΔV is the increment of the potential of anode and of bath-voltage respectively-, or the potential will tend nobler with bath-voltage in the curve. This corresponds to the primary part of the curves of Soln. (y), Soln. (x) and Soln. (a).

But if $(\Delta E/\Delta V)>0$, probably it must be the state which indicates that the anode becomes more soluble into the solution. Strictly speaking, the surface of anode as a test-piece will become active with higher bath-

10 K. Nishida

voltage and come to the different state, then the potential will be stable, which is the case of the solutions with more HClO₄. However, it must be noticed that the value of the stable potential is baser as the concentration of HClO₄ increases.

Moreover, these behaviours of anode may be attributed to the growth of something on the surface, on the other hand, these may correspond to its flatenning as seen from the brightenning even in this measurement.

With Soln. (e) and Soln. (f) the stable potential of anode is remarkably constant, so the relation between anode and solution will be always constant with increasing bath-voltage. For Soln. (b) and Soln. (c) this relation will be more unstable.

JACQUEST' and UHLIG' suggested the surface of the metal polished anodically to be the metal itself, and Moor', Takahashi, and Tahma' have concluded it to be covered with oxide film. But by the author the surface during the treatment may be different from that picked up. Whether the metal itself may be exposed in the solution during the process, it may be very possible that the metal itself of the surface may be covered with oxide film when picked up, and it may be determined to be oxide by the next experiments. For example, it has been found by the author that there occurs the removal of the surface film during a second process in Soln. (b) from the once polished metal.

There is another case where the oxide film will be produced on the metal and dissolved in the solution time to time. In this case the reaction of the oxide with the solution may take place partly or on the whole surface. So, even if the surface of metal may not dissolve into the solution, it may be done by the so-called scale-off.

Mr. Tajima concluded the existance of the oxide film by the experimental result the surface polished anodically is nobler in some solutions (for example water, NaCl aqueous solution, and etc.) than the surface of the same metal which is treated by HCl.

But, by the author, there may be oxide film on the aluminum anode even with other treatments. Especially the surface treated by other methods must have more irregularity than that of electrolytic polishing, so the potential of metal may behave as concluded above.

Nowadays these popular solutions of this type are in the state of "an-hydride," or near the composition of Soln. (b) in this experiment. From

¹⁾ JACQEET: loc. cit.,

²⁾ H. H. Uhlig: Trans. Electrochem. Soc., 78, (1940), 265.

³⁾ H.H. Moor: Ann. der Physik. 33, (1938), 133.

⁴⁾ N. TAKAHASHI: loc. cit.,

⁵⁾ S. TAJIMA: loc. cit.,

⁶⁾ T. Taket: "The Experimenal Electrochemistry," (1939) Kyöritsu-Sha, Tokyo Vol. 1 p. 237.

the result of electric conductivity the favourable concentration will be always maintained in these solutions. But the results from the stable potential and the constant current-density lead to the conclusion that the solution range useful to the process will be between Soln. (b) and Soln. (f).

The reason way the solutions of higher concentration of HClO, have not been used, may be by the other factor, or "pitting action", which is not discussed in this paper. On this problem, it will be taken up in the next paper.

Summary

- (1) The acetic acid which comes from the hydration of acetic anhydride plays a reservoir of ClO₁ ion in the solution, so-called "non-aqueous", which corresponds to the composition of Soln. (b), and is most favorite in the process of the electrolytic polishing.
- (2) But from the anodic potential and current-density as above mentioned, the composition of the electrolyte for use is between Soln. (b) and Soln. (f).
- (3) And the theories of electrolytic polishing which have been reported are discussed partly.

Finally it must be mentioned that this study of mine is entirely thanks to the Grants in Aid of Scientific Research (donated by the Ministry of Education).

(Received November 1, 1945)



On Operational Equations

Yoshio Kinokuniya

Abstract

This paper deals with regular solutions of the operational equations: (A) $\cdots P(u) = f(x, y, z)$, (B) $\cdots P(u) = \phi(x, y, z, u)$ where $\frac{P}{2}$ is supposed as a certain partial differential compound operator of rational integral form. For (A), some important formal solutions are given with some examples and especially for the equation $P(u) = D_t^n(u)$ (P and D are independent) the Initial-value-Problem is studied on an important theorem.

For (B) P is shown its composition by means of function-theoretical calculus and is characterized by the parameters λ , μ , ν and a function ψ (ξ , η , ζ ; x,y,z), which corresponds to a solution in the sense of one-to-one as far as the solutions are regular.

It has been my attempt to reach after some new points of view on partial differential equations, which might look over them more systematically than the classic methods, and there have been found out two ways on the whole. In this paper, giving each chapter to each of them I will show some important results. The above mentioned title has been chosen to explain the methods to state, but in this paper I do not mean to expand the field beyond the differential equation's.

Chapter I Formal Calculus

1. Definition of the Operator P. In this chapter equations of the form

$$\mathbf{P}(u) = f(x, y, z) \tag{A}$$

will be principally investigated, while in the next chapter equations of the form

$$\mathbf{P}(u) = \phi(x, y, z; u) \tag{B}$$

will be discussed, giving another definition for P, which is different because of calculating method but not essentially. In this chapter the operator P is difined by the following six assumptions: (i) If f(x, y, z) is a function which is continuous and has every partial derivative as continuous in a certain domain, P(f), P(f), P(f), P(f), ...; $P^{k+1}(f) = P\{P^k(f)\}$, are all continuous in the same domain. (In this case f will be called "endlessly operatable" or "operatable for the operator P".) (ii) P(0) = 0. (iii) If h is a function of certain variables independent of x, y, z, P(hf) = hP(f). (iv) If Q is another operator of the same ensemble as P, $(P \pm Q)(f) = P(f) \pm P(f)$

Q(f). (v) PQ(f) = QP(f); $PQ(f) = P\{Q(f)\}$. (vi) If g(x,y,z) is another operatable function, $Q(f \pm g) = P(f) \pm P(g)$.

The assumption (ii) makes our operator impossible to include any integration's or general inversion's process, for which the operator must be difined under another system of restrictions. And we must pay attention to the ensemble to which our operator belogs, for if we take two operators

$$P = x^2 \frac{\partial}{\partial x}$$
 and $Q = \frac{\partial}{\partial x}$

then $QP = PQ + 2x \frac{\partial}{\partial x}$ i.e. PQ = QP. In this case we see the assump-

tion (v) is not satisfied, and P and Q belong to different ensembles. But if two operators are written in the forms

$$egin{aligned} oldsymbol{R}_1 &= a_0 + a_1 oldsymbol{P} + \cdots + a_{\lambda} oldsymbol{P}^{\lambda} \\ oldsymbol{R}_2 &= b_0 + b_1 oldsymbol{P} + \cdots + b_{\nu} oldsymbol{P}^{
u} \end{aligned}$$

where a_k $(k=0,1,2,\cdots,\lambda)$ and b_k $(k=0,1,2,\cdots,\nu)$ are all constant coefficients, they conform to the condition (v), viz.

$$oldsymbol{R}_1 oldsymbol{R}_2 = oldsymbol{R}_2 oldsymbol{R}_1$$

and both R_1 and R_2 belong to the same ensemble as P.

2. Reiteration Principle. If f(x,y,z) is an endlessly operatable function for the operator P, a function defined in the form

$$u_0(x,y,z) = f - P(f) + P(f) - P(f) + \cdots$$
 (2, 1)

satisfies the formal relation

$$P(u_0) = P(f) - P'(f) + P''(f) - P'(f) + \cdots$$

and therefore makes a solution of the operational equation

$$(1+\mathbf{P})(u_0) \equiv u_0 + \mathbf{P}(u_0) = f(x, y, z).$$

Here we take the operator (P-1) in place of P and find (A) is solved formally by u(x,y,z) which is defined as

$$u(x,y,z) = \sum_{k=0}^{\infty} (1-P)^k(f)$$
 (2, 2)

This solution is, in point of fact, a special one of the following cases.

g(x,y,z) be an arbitrary operatable function, then the function v(x,y,z) befined as follows is found to be a formal solution of (A):

$$v(x,y,z) = g(f_0 - f_1 + f_2 - f_3 + \cdots)$$
 (2,3)

where $f_{k+1} = \mathbf{P}(f_k g) - f$ $(k = 0, 1, 2, \dots)$, $f_0 = f$. Here naturally comes another yet similar way solves (A), i.e....if h(t) is supposed as an arbitrary continuous function of t inependent of x, y, z for which naturally

$$\boldsymbol{P}(h) = h\boldsymbol{P}(1)$$

and is taken in place of g in (2,3), it is found that

$$w(x, y, z; t) = h \sum_{k=0}^{\infty} (1 - h\mathbf{P})^{k}(f)$$
 (2,4)

solves (A) too: Morever $u = \partial w/\partial t$ may solves P(u) = 0, but by some computation this solution v is proved to be but a trivial one which vanishes identically and therefore the series of type (2,4) can converge and give a solution of (A) only when w(x, y, z; t) is shown to be independent of t, while the solution (2,2) remains to be tested in this respect.

There is another method to be stated about, which is particular yet important. Let us suppose the following conditions: (a) There exists an operator S for which the equation S(v) = 0 is solved by $v = h(t) (\equiv h_0 \not\equiv 0)$, and the equations $S(h_{j+1}) = h_j$ have their solutions h_{j+1} for every j = 0,1, $2, \cdots$ (b) t is independent of x, y, z. Let g(x, y, z) be taken as an arbitrary operatable function for P to make a funktion of the definition

$$u(x,y,z;t) = \sum_{j=0}^{\infty} h_j g_j$$
 (2,5)

where $g_0=g$, ${m P}^j(g)=g_j$ $(j=1,2,\cdots)$, then

$$\mathbf{P}(u) = \sum_{j=0}^{\infty} \mathbf{P}(h_j g_j) = \sum_{j=0}^{\infty} h_j \mathbf{P}(g_j) = \sum_{j=0}^{\infty} h_j g_{j+1}$$

$$S(u) = \sum_{j=0}^{\infty} S(h_j g_j) = \sum_{j=0}^{\infty} g_j S(h_j) = g_0 S(h_0) + \sum_{j=0}^{\infty} g_j h_{j-1} = g S(h) + \sum_{j=0}^{\infty} h_j g_{j+1}$$

accordingly

$$(\boldsymbol{P} - \boldsymbol{S})(u) = -g\boldsymbol{S}(h) = 0$$

i.e. the equation

$$(\boldsymbol{P} - \boldsymbol{S})(u) = 0 \tag{2.6}$$

is solved by (2, 5).

But it must be noted that this last course-involves the inverse process by the condition (a) viz.

$$h_{j+1} = S^{-1}(h_j)$$

which means a general inversion and belongs not to the ensemble restricted by the primarily shown assumptions. because $S^{-1}(0) = h = 0$ i. e. (ii) is not satisfied.

3. Examples.

Ex. 1) Put
$$P = a - Q$$
 and suppose $Q^n(f) = 0$ in $(2, 4)$, then we have $(1 - hP)^{\nu}(f) = \{C_0^{\nu}A^{\nu} + C_1^{\nu}A^{\nu-1}hQ + \cdots + C_{n-1}^{\nu}A^{\nu-n+1}(hQ)^{n-1}\} (f)$ $(\nu = 0, 1, 2, \cdots)$

where A = 1 - ah. Hence we gain

$$w(x,y,z;t) = h\left\{\frac{1}{1-A} + \frac{hQ}{|1|} \frac{\partial}{\partial A} \left(\frac{1}{1-A}\right) + \dots + \frac{(hQ)^{n-1}}{|n-1|} \frac{\partial^{n-1}}{\partial A^{n-1}} \left(\frac{1}{1-A}\right)\right\} (f)$$

$$= h\left\{\frac{1}{1-A} + \left(\frac{1}{1-A}\right)^{2} hQ + \dots + \left(\frac{1}{1-A}\right)^{n} (hQ)^{n-1}\right\} (f)$$

$$= \left(\frac{1}{a} + \frac{Q}{a^{2}} + \dots + \frac{Q^{n-1}}{a^{n}}\right) (f)$$

as far as |A| = |1 - ah| < 1.

This solution takes the eliminated form in regard to the agent function h(t), but it is not always the case. For instance, if we take the case P = d/dx and f = x we have

$$w(x,t) = h \sum_{n=0}^{\infty} (x-kh) = xh\infty - h^2\infty^2$$
.

So we can have no h(t) to be effective for this case.

Ex. 2) A formal solution of "reiterated type" of the equation

$$c^2\Delta u - u_{tt} = 0$$
; $\Delta \equiv \frac{\partial^2}{\partial x^2} + \frac{\partial^2}{\partial y^2} + \frac{\partial^2}{\partial z^2}$, $c = \text{const.}$

is given by

$$u(x,y,z,t) = \sum_{k=0}^{\infty} \left(\frac{a}{|2k|} + \frac{bt}{|2k+1|} \right) t^{2k} c^{2k} \Delta^k g$$

where a, b are arbitrary constant numbers and g(x,y,z) is an arbitrary operatable function for Δ .

Ex. 3) If v(x,y,z) is another solution of (A) from u(x,y,z) defined by (2,2),

$$P(v) = f$$
 $u = \sum_{k=0}^{\infty} (1 - P)^k P(v)$

and moreover it can be shown that the relation

$$u = \sum_{k=0}^{\infty} (1 - \mathbf{P})^k \mathbf{P}^2 \sum_{j=0}^{\infty} (1 - \mathbf{P})^j (v)$$

is effective. Therefore if we denote

$$\sum_{k=0}^{\infty} (1-\boldsymbol{P})^k \boldsymbol{P} \equiv \boldsymbol{\epsilon}_1$$
, $\sum_{k=0}^{\infty} (1-\boldsymbol{P})^k \boldsymbol{P}^2 \sum_{k=0}^{\infty} (1-\boldsymbol{P})^j \equiv \boldsymbol{\epsilon}_2$,

for an arbitrary solution of (A) we see

$$u = \mathbf{E}_{\mathbf{I}}(v) = \mathbf{E}_{\mathbf{I}}(v)$$
.

Ex. 4) If (2, 2) converges, both of

$$\hat{u}(\xi) = f + \xi \mathbf{R}(f) + \xi^2 \mathbf{R}(f) + \cdots$$

$$\psi(\xi) = u + \xi \mathbf{R}(u) + \xi^2 \mathbf{R}'(u) + \cdots$$

;
$$f = f(x,y,z)$$
, $R \equiv (1-P)$, $|\xi| < 1$

converge and $\psi(\hat{\xi}) = \sum_{k=0}^{\infty} \mathbf{R}^k(\hat{u})$. (I cannot afford to demonstrate this theorem throughly in this limited paper, and I wish to leave it off here, expecting another opportunity of publishing it in detail.)

Ex. 5) For the equation

$$P(u) = u_{tt}$$
; P , independent of t

there can be shown two solutions of our type, viz.

$$u = \sum_{k=0}^{\infty} \frac{t^{2k+1}}{|2k+1|} \mathbf{P}^{k}(g) = \frac{\sinh(t\sqrt{\mathbf{P}})_{k}}{\sqrt{\mathbf{P}}} (g)$$
$$u = \sum_{k=0}^{\infty} \frac{t^{2k}}{|2k|} \mathbf{P}^{k}(g) = \cosh(t\sqrt{\mathbf{P}}) (g)$$

where g is an arbitrary operatable function for P.

4. On $(P-D_t^n)(u) = 0$ Initial-value-Problem. Setting $D_t^n \equiv \frac{\partial^n}{\partial t^n}$ and 1 in place of S and h(t) in (2,5) and (2,6) respectively, the simultaneous relation:

$$\hat{u}_{n} = \sum_{k=0}^{\infty} \mathbf{P}^{k}(g) t^{nk} / |\underline{nk}|$$

$$\mathbf{P}(\hat{u}_{n}) = \mathbf{D}_{t}^{n}(\hat{u}_{n}); n, a \text{ positive integer}$$
(4, 1)

is brought about.

According to Stirling's formula

hence
$$|nk| = \sqrt{2\pi nk} (nk)^{nk} e^{-nk}$$

$$k\sqrt{|uk|} = {}^{2k}\sqrt{2\pi gk} (nk)^n e^{-n} - (nk/e)^n \text{ as } k \to \infty$$
therefore if
$$\lim_{k \to \infty} {}^k\sqrt{|P^k(g)|/|nk|} \le 1^{10}$$

$$k\sqrt{|P^k(g)|} \le (n/e)^n \text{ for big } k$$

$$(4, 2)$$

when (4, 1) converges for |t| < 1. Then, as it is, P may be called "equivalent to D_t^n " as far as related to \hat{n}_n in the above-mentioned sense, and henceforward we may say g(x, y, z) is "of n-th order for P" in the equivalency when (4, 2) or (4, 3) is satisfied.

$$g(x,y,z)$$
 be of *n-th* order for P , then $(\hat{u}_{n+i})(i=0,1,2,\cdots)$ all converge and $P(\hat{u}_{n+i}) = D_t^{n+i}(\hat{u}_{n+i})$

that is easily verificated. And by some analytic-function-theoretical considerations the following fact is demonstrated: If u(x, y, z; t) is regular for |t| < 1 when x, y, z belong to certain domains respectively and

$$P(u) = D^{i}(u)$$
; P , independent of t ,

u(x,y,z;0) is of 1-st order for P and

$$u = \sum_{k=0}^{\infty} t^k [\mathbf{P}^k(u)/] \underline{k}]_{t=0}$$

The inverse case of this theorem is true, too, i.e.:.... If g(x,y,z) is operatable and of 1-st order for P, the equation P(u) = D'(u) is solved uniquely on condition that u(x,y,z;t) has his initial value at t=0 as

$$u(x,y,z;0) = g(x,y,z)$$

¹⁾ Cf. Cauchy-Hadamard's theorem, e.g. Knopp: Funktionentheorie, I (1937), S. 68, or T. Takenouchi: Kansu Ron, I (1937), p. 235.

and is regular for |t| < 1.

But as far n>1, the solutions of

$$P(u) = D_t^n(u)$$
; P , independent of t (C)

are no longer unique even if u(x,y,z;0) is given. In this case, it is important to take up an analytic regular solution of (C) $u_n(x,y,z;t)$ in the expression:

$$u_{n}(x,y,z;t) = \sum_{k=0}^{\infty} g_{n}^{(k)} t / \underline{k}$$

$$g_{n}^{(k)} = [(D_{t}^{k} u_{n}(x,y,z;t)]_{t=0}]$$
(4, 4)

where

Let us posit;
$$u_{n,i}(x,y,z;t) = \sum_{k=0}^{\infty} g_n^{(nk+i)} t^{nk+i} / \frac{nk+i}{nk+i}$$
, (4,5)

then it can be verficated that

$$P(u_n, i) = D_t^n(u_n, i)$$
 $(i = 0, 1, 2, \dots, u-1)$.

Therefore

$$u = \sum_{i=0}^{n-1} \lambda_i u_{n,i}$$
 (4, 6)

solves (C) on every parameter's combination $(\lambda_0, \lambda_1, \dots, \lambda_{n-1})$ on condition that $u(x,y,z;0) = g_n^{(o)}(x,y,z)$.

Of the solutions (4,6) the primary one $u = u_n(x,y,z;t)$ makes only a special case for $\lambda_0 = \lambda_1 = \cdots = \lambda_{n-1} = 1$.

Ultimately, in the case n > 1, the unicity is really brought about as follows.

THEOREM: If $g_n^{(i)}(x,y,z)$ $(i=0,1,2,\cdots,n-1)$ are arbitrarily given as of n-th order for P, (C) is solved uniquely by

$$u = \sum_{k=0}^{\infty} g_n^{(k)} t^k | \underline{k}$$
; $g_n^{(n+j)} = P(g_n^{(j)}) (j = 0, 1, 2, \cdots)$

on condition that $g_n^{(i)}(x,y,z) = [D_i^i(u)]_{i=0}$ $(i = 0, 1, 2, \dots, n-1)$.

Chapter II Function-Theoretical Calculus.

1. Definitions. Denoting by E the set of combinations (x,y,z) of the three variables: $x \in D_1$, $y \in D_2$, $z \in D_3$

where D_1 , D_2 , D_3 are certain domains in x-, y-, z-planes of complex number respectively, let us call a function f(x,y,z) "regular in E", when f(x,y,z) is regular for $x \in D_1$, for $y \in D_2$, and $z \in D_3$.

In this chapter the operator P is supposed as expressed by a certain rational integral form of finite degree of

$$D_x \equiv \partial/\partial x$$
, $D_y \equiv \partial/\partial y$, $D_z \equiv \partial/\partial z$

the coefficients of which are all regular functions in E. And the function

 $\phi(x,y,z;u)$ is posited as regular for (x,y,z) and u, a complex value belongs to a certain domain D^* of the Gauss-plane. If we denote by G the set of (x,y,z;u) of the above-stated conditions, ϕ may be called "regular in G".

2. Composition of the Operator P. To investigate the solutions of the equation $P(u) = \phi(x,y,z;u)$ (B) which are regular in E, it is convenient firstly to take simply closed analytic curves c_1 , c_2 , c_3 in domains D_1 , D_2 , D_3 respectively and denote by θ_1 , θ_2 , θ_3 domains enclosed by c_1 , c_2 , c_3 , because by the Cauchy's theorem¹⁾ the relation:

$$u(x,y,z) = \frac{-1}{8\pi^3 i} \int_{c_1} \frac{d\xi}{\xi - x} \int_{c_2} \frac{d\eta}{\eta - y} \int_{c_3} \frac{d\zeta}{\zeta - z} \cdot u(\xi,\eta,\zeta)$$
 (2,1)

is effected when $x \in \vartheta_1$, $y \in \vartheta_2$, $z \in \vartheta_3$.

If (2, 1) is effected

$$\boldsymbol{P}(u) = \frac{-1}{8\pi^3 i} \int_{c_1} d\xi \int_{c_2} d\eta \int_{c_3} d\zeta \cdot u(\xi, \eta, \zeta) \boldsymbol{P} \left\{ \frac{1}{(\xi - x)(\eta - y)(\zeta - z)} \right\}$$

Then if we set:

$$P\left\{\frac{1}{(\xi-x)(\eta-y)(\zeta-z)}\right\} = \frac{p(\xi,\eta,\zeta;x,y,z)}{(\xi-x)^{\lambda+1}(\eta-y)^{\nu+1}(\zeta-z)^{\nu+1}}$$
 (2, 2)

we can possibly associate λ, μ, ν as non-negative integers and $p(\xi, \eta, \zeta; x, y, z)$ has non of $(\xi - x)$, $(\gamma - y)$, $(\zeta - z)$ as factor....that is to say

$$(p)_{\xi=x} = 0$$
, $(p)_{\gamma=y} = 0$, $(p)_{\zeta=z} = 0$, if $p = 0$. (2,3)

By the way, if u(x,y,z) is regular in E

$$\Psi(x,y,z) = \phi(x,y,z;u(x,y,z)) \tag{2,4}$$

must be regular in E too, hence by the Cauchy's theorem

$$\Phi(x,y,z) = \frac{-1}{8\pi^3 i} \int_{c_2} d\xi \int_{c_2} d\eta \int_{c_3} d\zeta \cdot \frac{\Phi(\xi,\eta,\zeta)}{(\xi-x)(\eta-y)(\xi-z)}. (2,5)$$

Then if we set

$$w(\xi,\eta,\zeta;z,y,z) \equiv \frac{\psi(\xi,\eta,\zeta)}{(\xi-x)(\eta-y)(\zeta-z)} - \frac{p(\xi,\eta,\zeta;x,y,z) u(\xi,\eta,\zeta)}{(\xi-x)^{\lambda+1}(\eta-y)^{\mu+1}(\zeta-z)^{\nu+1}} (2,6)$$

$$\int_{c_1} d\xi \int_{c_2} d\eta \int_{c_3} d\zeta \cdot w(\xi,\eta,\zeta;x,y,z) = 0$$
(3,7)

because

$$P(u) = \frac{-1}{8\pi^{3}i} \int_{c_{1}} d\xi \int_{c_{2}} d\eta \int_{c_{3}} d\zeta \cdot \frac{p(\xi, \eta, \zeta; x, y, z) u(\xi, \eta, \zeta)}{(\xi - x)^{\lambda + 1} (\eta - y)^{\mu + 1} (\zeta - z)^{\nu + 1}}$$

and according to (B) and (2, 4)

$$\Phi(x,y,z) - \mathbf{P}(u) = 0. \tag{2,8}$$

Moreover, if we set

¹⁾ Knopp: Funktionentheorie, I, S. 61; also T. Takenouchi: Kansu Ron, I, p. 199.

$$\begin{split} \psi(\xi,\eta,\zeta;x,y,z) &\equiv (\xi-x)^{\lambda+1}(\eta-y)^{\mu+1}(\zeta-z)^{\nu+1}w(\xi,\eta,\zeta;x,y,z) \\ &= (\xi-x)^{\lambda}(\eta-y)^{\mu}(\zeta-z)^{\nu}\cdot \mathcal{Q}(\xi,\eta,\zeta) - p(\xi,\eta,\zeta;x,y,z)u(\xi,\eta,\zeta) \end{split} \tag{2,9}$$

 $\phi(\xi,\eta,\zeta;x,y,z)$ is regular for (ξ,η,ζ) , (x,y,z) εE , because $\Phi(\xi,\eta,\zeta)$, $(\xi-x)$, $(\eta-y)$, $(\zeta-z)$, $p(\xi,\eta,\zeta;x,y,z)$ and $u(\xi,\eta,\zeta)$ are all regular in E. Hence by the Cauchy's theorem

$$\begin{split} \left[\frac{\partial^{\lambda+\mu+\nu}\psi}{\partial\xi^{\lambda}}\partial\eta^{\mu}\partial\zeta^{\nu}\right]_{\xi=x\atop \gamma=y\atop \zeta=z} &= \frac{-\frac{\lambda}{8\pi^{3}i}\frac{\mu}{\nu}\int_{c_{1}}d\xi\int_{c_{2}}d\eta\int_{c_{3}}d\zeta\cdot\frac{\psi(\xi,\eta,\zeta;x,y,z)}{(\xi-x)^{\lambda+1}(\eta-y)^{\mu+1}(\zeta-z)^{\nu+1}} \\ &= \frac{-\frac{\lambda}{8\pi^{3}i}\frac{\mu}{\nu}\int_{c_{1}}d\xi\int_{c_{2}}d\eta\int_{c_{3}}d\zeta\cdot w(\xi,\eta,\zeta;x,y,z) \end{split}$$

Then according to (2,7)

$$\left[\frac{\partial^{\lambda+\mu+\nu}\psi}{\partial\xi^{\lambda}}\partial\eta^{\mu}\partial\zeta^{\nu}\right]_{\xi=x\atop \eta\in y\atop \xi=x}=0, \qquad (2,10)$$

while by (2,9)

$$\left[\frac{\partial^{\lambda+\mu+\nu}\psi}{\partial\xi^{\lambda}\,\partial\eta^{\mu}\,\partial\zeta^{\nu}}\right]_{\substack{\xi=x\\\xi=z\\\xi=z}} = \left|\underline{\lambda}\right|\underline{\mu}\,\underline{\nu}\,\cdot\varPhi(x,y,z) - \left[\frac{\partial^{\lambda+\mu+\nu}\partial p(\xi,\eta,\eta;x,y,z)\underline{u}(\xi,\eta,\zeta)}{\partial\xi^{\lambda}\,\partial\eta^{\mu}\,\partial\zeta^{\nu}}\right]_{\substack{\xi=x\\\eta=y\\\xi=z}}$$

Therefore

$$\varphi(x,y,z) = \frac{1}{|\lambda| \mu |\nu|} \left[\frac{\partial^{\lambda+\mu+\nu} pu}{\partial \xi^{\lambda} \partial \eta^{\mu} \partial \zeta^{\nu}} \right]_{\substack{\xi=x\\ \xi=y\\ z=y}},$$

then comparing with (2,8) we see directly

$$\boldsymbol{P} = \frac{1}{|\lambda| \underline{\mu}| \underline{\nu}} \sum_{i=0}^{\lambda} \sum_{j=0}^{\mu} \sum_{k=0}^{\nu} c_{i}^{\lambda} c_{j}^{\mu} c_{k}^{\nu} \left[\frac{\partial^{\lambda+\mu+\nu-i-j-k} p(\xi,\eta,\zeta;x,y,z)}{\partial \xi^{\lambda-i} \partial \eta^{\mu-j} \partial \xi^{\nu-k}} \right]_{\substack{\xi = x \\ \eta = y \\ \xi = z}} \cdot \boldsymbol{D}_{x}^{i} \boldsymbol{D}_{y}^{j} \boldsymbol{D}_{z}^{k} \quad (2,11)$$

If the case P = p(x,y,z;x,y,z), where P contains non of D_x , D_y , D_z really, is omitted as a trivial case, we can go with the supposition that

 λ, μ, ν are three non-negative integers which do not all vanish. (2, 12)

3. Loosened Relation. Let us denote as

$$\omega(\xi,\eta,\zeta;x,y,z) \equiv (\xi-x)^{\lambda} (\eta-y)^{\mu} (\zeta-z)^{\nu}
H(\xi,\eta,\zeta;x,y,z) \equiv \omega\phi(u) - p(\xi,\eta,\zeta;x,y,z) \cdot u
\phi(u) \equiv \phi(\xi,\eta,\zeta;u); \quad u = u(\xi,\eta,\zeta)$$
(3,1)

then (2,9) effects the relation

$$H(\xi,\eta,\zeta;x,y,z;u) = \psi(\xi,\eta,\zeta;x,y,z) ; u = u(\xi,\eta,\zeta) ,$$
 (3, 2)

when H is to be considered naturally accompanied only to P and ϕ and therefore in our case (3,2) is equivalent to (B) itself.

 $\psi(\xi,\eta,\zeta;x,y,z)$ is considered as a regular function of the restriction (2, 10), therefore if for a function $h(\xi,\eta,\zeta;x,y,z)$ the relation

$$h(\xi,\eta,\zeta;x,y,z) = H^{-1}(\xi,\eta,\zeta;x,y,z;\phi)$$
(3,3)

is found effective, by (2, 10) and (3, 1)

$$\left[\phi(x,y,z;h]_{\substack{\xi=x\\ \xi=y\\ z=z}}^{\underline{\xi=x}}-\frac{1}{|\underline{\lambda}|\underline{\mu}|\underline{\nu}}\left[\frac{\partial^{\lambda+\mu+\beta}ph}{\partial\xi^{\lambda}}\right]_{\substack{\xi=x\\ \xi=z}}=0$$

Then according to (2, 11)

$$\left[P\left\{h(x,y,z;\tilde{x},\tilde{y},\tilde{z},)\right\}\right]_{\substack{\tilde{x}=x\\y=y\\\tilde{z}=z}}=\phi(x,y,z;h(x,y,z)). \tag{3,4}$$

This is the "loosened relation".

4. ψ and the Solutions. The function's set of $h(\xi,\eta,\zeta;x,y,z)$ in the loosened relation (3, 4) is given by means of all the regular functions as far as their values belong to the domain D^{*0} , and generally bigger than the set of regular solutions of (B). This is realized when P is given as P = 3/3x $+\partial/\partial y + \partial/\partial z$ and $\phi = u^2$ for example, where $p = (\xi - x)(\eta - y) + (\eta - y)(\zeta - z) + (\eta - y)(\zeta - z)$ $(\zeta-z)(\xi-x)$, $\lambda=\mu=\nu=1$ and $\mu=1/(A-ax-by-cz)$ makes a solution and for

$$\frac{(\xi-x)(\eta-y)(\zeta-z)}{(A-a\xi-b\eta-cr)^2} = \frac{(\xi-x)(\eta-y)+(\eta-y)(\zeta-z)+(\zeta-z)(\xi-x)}{A-a\xi-b\eta-cr}$$

 $\frac{(\xi-x)(\eta-y)(\zeta-z)}{(A-a\xi-b\eta-c\zeta)^2} \xrightarrow{\epsilon} \frac{(\xi-x)(\eta-y)+(\eta-y)(\zeta-z)+(\zeta-z)(\xi-x)}{A-a\xi-b\eta-c\zeta}$ $\left[\frac{\partial^3\psi}{\partial\xi\partial\eta\partial\zeta}\right]_{\substack{\xi=x\\y=y}}^{\epsilon=x} \text{ vanishes if } A-ax-by-cz \approx 0 \text{ and } a+b+c=1, \text{ but does not general}$

nerally vanish if a+b+c = 1, whereas h is given for any value of a+b+c.

Moreover the relation (3, 2) which can be written as

$$\omega(\xi,\eta,\zeta;x,y,z)\phi(\xi,\eta,\zeta;u)-p(\xi,\eta,\zeta;x,y,z)u(\xi,\eta,\zeta)=\phi(\xi,\eta,\zeta;x,y,z)\ \ (4,1)$$

allows not two different regular solutions of (B) for the same ϕ . demonstrated as follows: If there exist two different regular solution u_1 and u_2

$$\begin{split} \omega(\xi,\eta,\zeta;x,y,z)\,\phi(\xi,\eta,\zeta;u_i) - p(\xi,\eta,\zeta;x,y,z)\dot{u}_i &= \psi(\xi,\eta,\zeta;x,y,z)\\ ;\quad u_i &= u_i(\xi,\eta,\zeta)\quad (i=1,2) \end{split}$$
 i. e.
$$\omega\phi(u_2) - pu_2 &= \omega\phi(u_1) - pu_1\;;\quad \phi(u) \equiv \phi(\xi,\eta,\zeta;u)\;,\\ \text{then} \qquad \{\phi(u_2) - \phi(u_1)\}/(u_2 - u_1) = p/\omega. \end{split}$$

The left hand is dependent only on ξ , η , ζ and independent of x, y, z, therefore the right hand must be naturally independent of x, y, z, too, that can happen only when $\lambda = \mu = \nu = 0$, hence

$$P\left\{\frac{1}{(\xi-x)(\eta-y)(\zeta-z)}\right\} = \frac{p}{(\xi-x)(\eta-p)(\zeta-z)}$$

¹⁾ See N° 1 of this chapter.

but this has been omitted from our cases as related in (2, 12). q.e.d.

Denoting here by G_{ϕ} the set of possible $\phi(\xi,\eta,\zeta;x,y,z)$ related to the solutions of (B), the above-stated fact can be enounced as follows.

Theorem: ϕ and u correspond one-to-one, as far as u is a regular solution of (B) and $\phi \in G_{\phi}$.

Next, let us take up the case $\psi = \text{const.} = c \text{ viz.}$

$$\omega \Phi - pu = c$$

$$; \quad u = u(\xi, \eta, \zeta), \quad \Phi = \Phi(\xi, \eta, \zeta).$$

$$(4, 2)$$

Then according to (3, 1)

$$\begin{bmatrix}
\frac{\partial^{i+j+k}\omega \Phi}{\partial x^{i}\partial y^{j}\partial z^{k}}
\end{bmatrix}_{\substack{\xi=x\\ y=y\\ \zeta=z}} = \Phi(x,y,z) \begin{bmatrix}
\frac{\partial^{i+j+k}\omega}{\partial x^{i}\partial y^{j}\partial z^{k}}
\end{bmatrix}_{\substack{\xi=x\\ y=y\\ \zeta=z}} = 0 \quad \text{if } i \neq \lambda \text{ or } j \neq \mu \text{ or } k \neq \nu \\
= \Phi(x,y,z,) \quad \text{if } i = \lambda, j = \mu, k = \nu$$
(4,3)

On the other hand

i. e.

$$\left[\frac{\partial^{i+j+k} p u}{\partial x^i \partial y^j \partial z^k}\right]_{\substack{\xi = x \\ y = y \\ \xi = z}} = u(x,y,z) \left[\frac{\partial^{i+j+k} p}{\partial x^i \partial y^j \partial z^k}\right]_{\substack{\xi = x \\ y = y \\ \xi = z}}$$
(4, 4)

And by (4,2)(4,3)(4,4) togather it is seen that the regular function pu can be written in the form

$$pu = u(\xi, \eta, \zeta) \{ B(\xi, \eta, \zeta) + \omega(\xi, \eta, \zeta; x, y, z) A(\xi, \eta, \zeta) \}$$
(4, 5)

where A, B are certain regular functions of $(\xi,\eta,\zeta) \in E$.

Substituting (4,5) in (4,2), we get

$$\omega \Phi - uB - u\omega A = c$$

from this it is clear that: $\varphi = uA$ and -uB = c. And in this case by (4, 5) and (2, 11)

$$P = A(x,y,z) + \frac{B(x,y,z)D_x^{\lambda}D_y^{\mu}D_z^{\nu}}{|\lambda|\mu|\nu}.$$
 (4,6)

Inversely, in the case P is given by (4,6) and

$$\phi = A(x, y, z)u \tag{4,7}$$

for $H(\xi,\eta,\zeta;x,y,z;u)$ defined by (3,1) it runs

$$H = \{\omega(\xi, \eta, \zeta; x, y, z) A(\xi, \eta, \zeta) - B(x, y, z) - \omega A(x, y, z)\} u(\xi, \eta, \zeta)$$

$$= \psi(\xi, \eta, \zeta; x, y, z).$$

$$\{(4, 8)$$

Then apparently the restriction (2, 10) is altered by

$$\left[\frac{\partial^{\lambda+\mu+\nu}u(\xi,\eta,\zeta)B(x,y,z)}{\partial\xi^{\lambda}\partial\eta^{\mu}\partial\zeta^{\nu}}\right]_{\substack{\xi=x\\ y=y\\ \xi=z}} = 0$$

$$D_{x}^{\lambda}D_{y}^{\mu}D_{z}^{\nu}u = 0$$
(4,9)

Here we see that (4,9) is equivalent to the case where P is given by (4,6) and ϕ by (4,7). And comparing (4,8) with (4,5) it is seen that A,B = const.

for the exact possibility of the case (4, 2), when $u = \frac{-c}{R} = \text{const.}$

5. Sequence of Uniform Increments. Differentiating (3,2) by u successively with regard to (3,1), we obtain the relations

$$\frac{\partial \phi}{\partial u} - p = \frac{\partial \phi}{\partial u}, \quad \omega \frac{\partial^k \phi}{\partial u^k} = \frac{\partial^k \phi}{\partial u^k}$$

$$; \quad k = 1, 2, 3, \dots$$
(5, 1)

Then, if there is another regular solution \hat{u} of (B) which satisfies the relation:

$$\hat{\varphi}(\xi,\eta,\zeta;x,y,z) = H(\xi,\eta,\zeta;x,y,z;\hat{u}) ; \quad \hat{u} = \hat{u}(\xi,\eta,\zeta)$$
(5, 2)

and if the expression:

$$\hat{\psi} = \sum_{k=0}^{\infty} \frac{d^k \psi}{du^k} \frac{(\hat{u} - u)^k}{k}$$
 (5, 3)

is effected for every fixed (ξ,η,ζ) , (x,y,z) εE , it must coincide with the series

$$\hat{\psi} = \psi - (\hat{u} - u)p + \omega \sum_{k=1}^{\infty} \frac{\partial^k \phi}{\partial u^k} \frac{(\hat{u} - u)^k}{k}$$
(5, 4)

In this case, if we suppose

$$\hat{u} = u + \varepsilon \qquad (\varepsilon = \text{const.}) \qquad (5,5)$$

$$\left[\frac{\partial^{\lambda+\eta+\nu}\hat{\psi}}{\partial \xi^{\lambda}} \partial \eta^{\mu} \partial \zeta^{\nu}\right]_{\substack{\xi=x\\ \chi=y\\ \xi=z}} = \left[\frac{\partial^{\lambda+\eta+\nu}\psi}{\partial \xi^{\lambda}} \partial \eta^{\mu} \partial \zeta^{\nu}\right]_{\substack{\xi=x\\ \chi=y\\ \xi=z}} - \varepsilon \left[\frac{\partial^{\lambda+\mu+\nu}p}{\partial \xi^{\lambda}} \partial \eta^{\mu} \partial \zeta^{\nu}\right]_{\substack{\xi=x\\ \chi=y\\ \xi=z}} - \frac{\omega}{\varepsilon^{\lambda}} \frac{\partial^{\lambda}\psi}{\partial u^{\lambda}} \partial \zeta^{\nu} \partial \zeta^$$

The left hand and the first term of the right hand vanish according to (2, 10) and as seen in (2, 11)

$$\left[\frac{\partial^{\lambda+\mu+\nu}p}{\partial\xi^{\lambda}\partial\eta^{\mu}\partial\zeta^{\nu}}\right]_{\substack{\xi=x\\\xi=y\\\xi=z}} = \left[\frac{\lambda}{\lambda}\left[\mu\right]\nu\cdot A_{0}\right],$$

where A_0 , the coefficient of the zero-th power of D_x , D_y , D_z in the composition of P. Hence

$$\varepsilon A_0 = \frac{-1}{8\pi^3 i} \sum_{k=1}^{\infty} \frac{\varepsilon^k}{|k|} \int_{c_1} \int_{c_2} \int_{c_3} \frac{\omega \frac{2^k \phi}{2d^k} \cdot \varepsilon d\eta d\zeta}{(\xi - x)^{k+1} (\eta - y)^{k+1} (\zeta - z)^{\nu+1}}$$

by the definition for ω in (3,1)

i. e.

$$= \frac{-1}{8\pi^{3}i} \sum_{k=1}^{\infty} \frac{\varepsilon^{k}}{|k|} \int_{c_{1}} \int_{c_{2}} \int_{c_{3}} \frac{\frac{\partial^{k} \phi}{\partial u^{k}} \cdot d\xi d\eta d\zeta}{(\xi - x)(\eta - y)(\zeta - z)}$$

$$= \sum_{k=1}^{\infty} \frac{\varepsilon^{k}}{|k|} \frac{\partial^{k} \phi}{\partial u^{k}} = \phi(u + \varepsilon) - \phi(u)$$

$$\varepsilon A_{0} = \phi(u + \varepsilon) - \phi(u) = \phi(\hat{u}) - \phi(u).$$

This relation is exactly effected if $A_0 = 0$ and $\phi(u)$ is a function which has ε as a period, but the periodic case does not essentially refer to the condition (2,10). Leaving out the periodic case, if (5,3) and (5,5) are applicable and \hat{n} changes continuously with the uniform increment

$$A_0 = \left[\frac{\partial \phi}{\partial \hat{u}} \frac{d\hat{u}}{d\varepsilon} \right]_{\varepsilon=0} = \left[\frac{\partial \phi}{\partial u} \frac{d\hat{u}}{d\varepsilon} \right]_{\varepsilon=0}^{u=u}.$$

In this last case, it is written

$$\hat{u}(x,y,z) = u(x,y,z) - \frac{A_0}{2\phi} \cdot \varepsilon + \langle \varepsilon^z \rangle . \tag{5,6}$$

Then, substituting (5,5) we see

$$A_0 / \frac{\partial \phi}{\partial u} = 1$$
 i.e. $A_0 = \frac{\partial \phi}{\partial u}$.

It is notable that the case of (5,6) is the case where u is a solution of the implicite relation

$$\frac{\partial \phi(x,y,z;u)}{\partial u} - A_0(x,y,z) = 0 . \qquad (5,7)$$

Such a result is important when ε is put as an infinitesimal quantity majorating the increment of u and (5,6) is approximately effected.

(Received November 5, 1945)

Mean-Position

Yoshio Kinokuniya

Abstract

Lagrange's θ in the remainder's expression in Taylor's expansion $\frac{1}{\lfloor n \rfloor} f^{(n)}(x+\theta h)h^n$ has been discussed especially accurately by Rothe, but when we emphasize the sense of "position" for $x, x+\theta h, x+h$, then are found some important new aspects for these calculi.

The famous classic theorem on the remainder's form in Taylor's expansion which Lagrange left behind, has been applied in various ways and in various fields. I, too, owe very much to the theorem and Rothe's what I am going to state in this paper. But I mean to show here the importance of "position" and that is the reason why the title "Mean-Position" should have been chosen for this paper.

1. Mean-Position. When the difference of two values of a function f(x) at two different points x, x+h is written as

$$f(x+h)-f(x) = h^n f^{(n)}(x+\theta h) \cdot \frac{1}{n}$$
 (1, 1)

where $0\!<\!\theta\!<\!1$ and $f^{(n)}(x)\equiv rac{d^n f(x)}{dx^n}$, it makes a special case of Lagrange's

$$f'(x) = f''(x) = \dots = f^{(n-1)}(x) = 0. \tag{1,2}$$

In this case the position $x + \theta h$ (1,3)

may be called "mean-position of n-th order".

formula for

Firstly let us take up the case n = 1, when we can write down

$$f(x+h)-f(x) = hf'(x+\theta h) \qquad (0 < \theta < 1)$$

$$= hf'(x) + h^{n+1} \frac{f^{(n+1)}(x+\theta_1 h)}{|x+1|} \qquad (0 < \theta_1 < 1)$$

$$f'(x+\theta h) = f'(x) + (\theta h)^n \frac{f^{(n+1)}(x+\theta h)}{n}$$
 (0 < \theta_2 < 1)

if $f''(x) = f'''(x) = \cdots = f^{(n-1)}(x) = 0$, $f^{(n)}(x) = 0$, and $f^{(n+1)}(x)$ is continuous at x. Hence

$$\frac{1}{n+1} \frac{f^{(n+1)}(x+\theta_1 h)}{f^{(n+1)}(x+\theta_2 h)} = \theta^n$$

, therefore
$$\lim_{h \to 0} \theta(x, h) = \sqrt[n]{1/(n+1)}$$
 (1,4)

This has been firstly shown by ROTHE'S, besides which the following is thinkable. i.e.: For $\phi(n) \equiv \sqrt[n]{1/(n+1)}$

$$\phi(1)(=1/2) < \phi(2) < \cdots < \phi(n) < \phi(n+1) < \cdots < 1$$
 (1, 5) and
$$\lim_{n \to \infty} \phi(n) = 1,$$

This result can be made applicable in the following experiment such as: Supposing a potential by f(x), we understand by f'(x) the force at the position x and by

$$\frac{f(x+h)-f(x)}{h} (=f'(x+\theta h))$$

the mean-quotient of the potential slope between x and x+h, when the mean-position $x+\theta h$ is inclined not to get near to x beyond the middle-point of x and x+h, if the force itself is not invariant in the neighborhood of x.

2. θ of *n*-th order. The θ shown in (1,1) has been also discussed accurately by Rothe, who has proved that

$$\lim \theta(x,h) = \frac{1}{n+1} \text{, if } \theta \text{ is of } n\text{-th order } . \tag{2,1}$$

This result is effected under the condition

$$f^{(n+1)}(x)
eq 0$$
 ,
$$\tag{2,2}$$

when it runs

$$f(x+h)-f(x) = f'(x)h + f''(x) - \frac{h^2}{2} + \dots + f^{(n-)}(x) \cdot \frac{h^{n-1}}{|n-1|} + f^{(n)}(x+\theta h) \cdot \frac{h^n}{|n|}.$$
 (2, 3)

But, if we include the restriction $(1,2)(\text{say}:f'(x)=\cdots=f^{(n-1)}(x)=0)$ we can use the relation

$$f(x+h)-f(x) = \int_0^h dh_1 \int_0^{h_1} dh_2 \cdots \int_0^{h_{n-1}} (x+h_n) dh_n \equiv \int_0^y f^{(n)}(x+\xi) d^n \xi.$$

therefore if an arbitrary function is taken up which satisfies the condition that $\phi'(0) = 0$, $\phi(0) = 0$ (2, 4) and $\phi'(x)$ is continuous in $|x| < \delta(\delta)$: a real positive number it is effected that

ROTHE: Tohoku Math. Journ., 29 (1928), p. 145; also Takasu: Biseki. Shingi, I (1930), p. 176.

²⁾ ROTHE: Math. Zeitschr., Bd. 9 (1921), S. 309; also TAKASU: Biseki. Shingi, I, p. 173.

$$\phi(\theta h) = \frac{\int_{0}^{h} \phi(\xi) d^{n} \xi}{\int_{0}^{h} d^{n} \xi} \qquad (2, 5)$$

and

$$\lim_{h=0} \theta(h) = \frac{1}{n+1}$$

3. Supplementary Remarks. It is well-known that if $\phi(x)$ is bounded and continuous in 0 < x < h

$$\int_{0}^{h} \phi(x)d^{n}x = \frac{1}{|n-1|} \int_{0}^{h} (h-t)^{n-1} \phi(t)dt^{-1} .$$
 (3.1)

Still more it may be worth mention that if we put the summations

$$egin{aligned} S_1 &= \lim_{N = \infty} e \sum_{
u = 0}^N \phi(
u e) \ S_2 &= \lim_{N = \infty} e^2 \sum_{
u = 0}^N \sum_{k = 0}^
u \phi(\lambda e) \ S_3 &= \lim_{N = \infty} e^3 \sum_{
u = 0}^N \sum_{k = 0}^
u \sum_{k = 0}^
k \phi(\kappa e) \ ... \end{aligned}$$
 etc. ; $Ne = h^{\frac{1}{2}}$,

then

$$S_n = \frac{1}{n-1} \int_0^h (h-t)^{n-1} \phi(t) dt , \qquad (3,2)$$

For the case f(0)=0, $f''(0) \neq 0$ we have known that

$$f(x)=f'(heta x)x \qquad (0\!<\! heta\!<\!1)$$
 $\lim_{x=0}\, heta(x)=1/2$,

but we should not suppose here

$$\frac{f(x)}{x} = \frac{f(x/2)}{x/2} + < x^2 >$$

because:
$$\frac{f(x)}{x} - \frac{f(\theta x)}{\theta x} = \frac{1}{2} f''(0)(1-\theta)x + \frac{1}{3} f'''(0)(1-\theta^2)x^2 + \cdots$$

therefore if we set $0 = \frac{1}{2} f''(0) (1-\theta) x + \langle x^2 \rangle$

then
$$\lim_{x \to 0} \theta(x) = 1 \Rightarrow 1/2$$

inevitably.

On $\theta(x,h)$ for $h\to\infty$, we can reach some interesting facts by giving a few restrictions for f(x).

(Received November 5, 1945)

¹⁾ Kowalewski: Integralgleichungen (1930), S. 34.

| | At . |
|--|--|
| | |
| | and the state of t |
| | |
| | |
| | |
| | |
| | |
| the state of the s | |
| | |
| | |
| | |
| | |
| | |
| | and the second s |
| | |
| | |
| | |
| | |
| | |
| | |
| | |
| | |
| | |
| the state of the s | |
| | |
| | |
| | |
| | |
| | |
| | |
| | |
| | |
| | 1 |
| | |
| | The second secon |
| | The state of the s |
| | in the second of |
| | ** |
| | |
| | |
| | and the second of the second of the second |
| | $\mathcal{L}_{i} = \{ i, i \in \mathcal{L}_{i} \mid i \in \mathcal{L}_{i} \}$ |
| | |
| | |
| | |
| | |
| | |
| | |
| | · · · · · · · · · · · · · · · · · · · |
| | |
| | |
| | |
| | |
| | e de la companya de l |
| | γ_{ij} . γ_{ij} |
| | |
| | |
| | |
| | · · · · · · · · · · · · · · · · · · · |
| | and the second of the second |

ニウマチツク・ハンマ・ピツクの性能 ピストン・ストロークの研究

前野良久

Characteristics of Pneumatic-Hammerpic An Investigation on Piston Stroke

Yoshihisa Maeno

Abstract

This Paper is a statement of the results of the investigator's own experiment made on the piston stroke of CA-7 Type pneumatic-hammerpick which is influenced by such things as the compressed air pressure, the strength of various springs, and the primary pressure of the spring of the testing machine.

The steel rod, which is fast attached to the piston, has the same motion as the piston stroke. Therefore the end of the steel rod was reciprocated out of the hammerpick body, of which motion the investigator took a photograph. At the same time he made a searching inquiry into the body-swing of the pick itself

I 緒 言

本研究は筆者が日本鑛業會誌,第 56 卷, €62 號,312 頁に發表せる,ニウマチツク・ハンマ・ピツクの性能試驗機を用い,內地研究員として北海道大學に派遣せられたる折に行ったもので,1 台の CA-型機のピストン行程を詳細に測定せるものである。

周知の如く此種の空氣機械のピストンは何等の支えもなくシリンダ内で自由に往復運動をするものであるから、この運動を外部に取出すために、ピックの性能に影響のないハンドル部を改造して實驗装置を取付け、ピストンに打棒を付けてこの動きを調べてみたものである。

空氣壓力は 2.0~6.0 瓩每平方糎ゲージの範圍において色々變え, 壓着力 (運轉休止の狀態で, ビットが打撃スプリングを押す力) と打撃スプリングも變えて, ピストン行程がどのように變化するかを研究した。

尚打棒を付けたいめの影響は後述のように打撃曲線を比較する事により調べて見た。

II 實驗裝置及附屬裝置

第1圖に實驗裝置を示す。

第2圖においてピストン a の後部中心に固く捻じ込んだ細いニツケル鋼打棒(硬度,强さ 材質等不明) b の先端に取付けられた c なる豆ランプはピストンと全く等しい往復運動を行い, ピストン行程線圖 S を書く。

空氣の漏洩と機械的摩擦損失を防ぐために打棒と装置の接觸部にグリースを填充せる小 室 d を設けた。

又機體の一部にも同様の豆ランプによる光源 e を取付け, 前者即ちピストンの往復運動と同時撮映して f 曲線を得, 機體の振動による影響を後で補正した。

次に g なる固定細孔から出る光を毎秒 50 サイクルの音叉振動計を用いて斷續せしめ、時間記錄 i を採り、この S, f, i, の三者からピストンの行程一時間線圖を連續的に求める事が出來た。

なお本實驗は暗室内において行い,光源はいずれも小箱に收められたる 8V の豆電球に規定以上の電壓 (12V~24V) を加えて白光を生ぜしめ,小箱に細孔を穿つて,この光をキャビネ型寫真機を用い,オシログラフ用撮映ドラムによりオシログラフ用紙に撮映したものである。

III 實驗 方法

「第1表」に示す實驗方式表により、空氣壓力を 2.0, 2.5, 3.0, 3.5, 4.0, 4.5, 5.0, 5.5, 6.0 瓩每平方糎ゲージの 9 通りに變えて實驗を行つた。

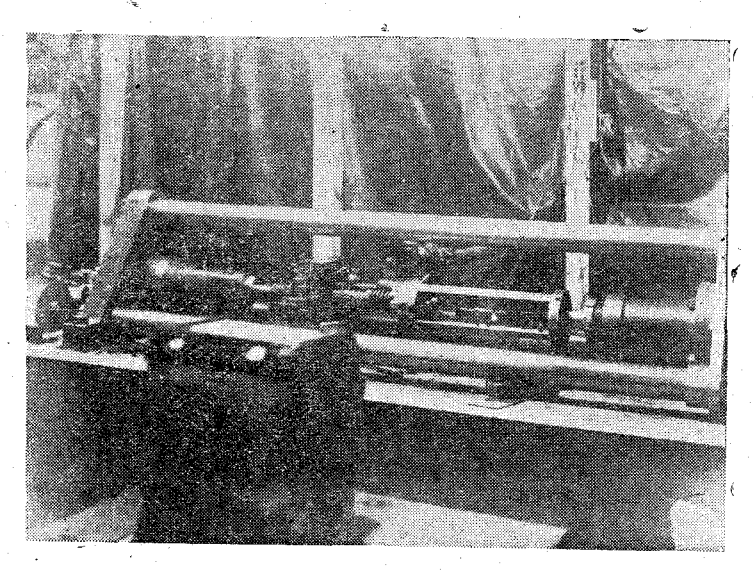
表中實驗番號 100A600 とあるのは壓着力 00 瓩, A スプリング使用, 空氣壓力 6.00 瓩 毎平方糎 G の意である。

本實驗に使用せるピストン重量は打棒共 0.670 瓩, 打棒は 0.045 瓩, その直徑 7mm である。

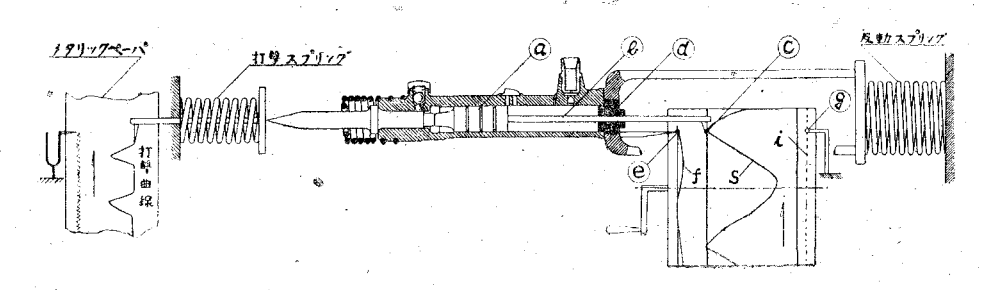
| 項 | 式 | | ス - | プ*リンク | ゲの種类 | 百及压着 | う カ の 鰻 | 化 | |
|---------------------------|----------------------|------|--------|-------|------|------|---------|------|------|
| 打撃用スプリ | ングの種類 | | 1 | A | | | (| C | ** . |
| 歴 スプリンク | [*] の縮み mm | C |) | 2 | 2 | | 0 . | 1 | 1 |
| 歴 スプリンク 着 同上の カ 對 す | 縮みに (kg) る 力 (kg) | |) | 3 | 4 . | | 0 | 9 | 4 |
| ピストンロ | ツドの有無 | 有 | 無 | 有 | 無 | 有 | 無 | 有 | 無 |
| 實 驗 | 番 號 | R10A | 10A | R34A | 34 A | R10C | 10C | R34C | 34 C |

第 1 表 實 驗 方 式 表

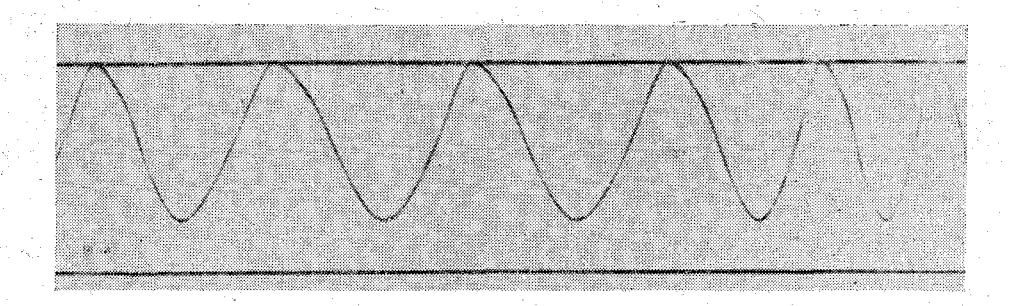
かよる實驗において、測定装置を取付けたために測定すべきピストンの運動狀態に變化を生ぜしめないようにする事は勿論大切であり、この點には十分の考慮を拂つたが、なお打棒と装置間の摩擦抵抗や、空氣の漏洩、及隙間容積の變化もあるので之等の影響を調べるために從來のようにピックの打撃力をスプリングの縮みによつて測定する打擊曲線を同時に畫かしめ、測定装置を用いない場合の夫れと比較を行つた。その差は後述のように僅少であつた。かくして「第3圖」にその一例を示すピストン行程線圖から「第2表」に代表的8種類を表す如き測定結果を得た。



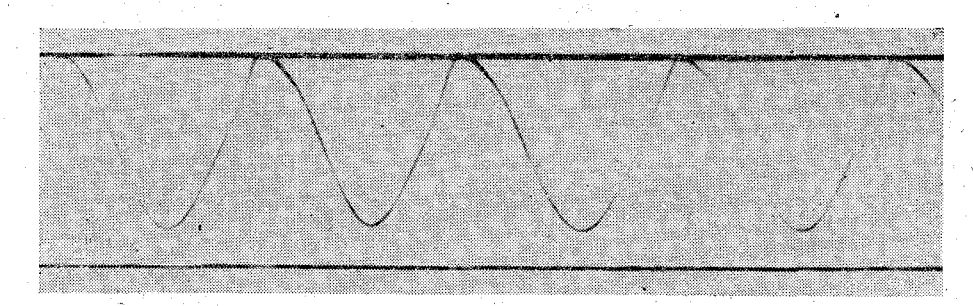
第 1 圖 實 驗 裝 置 手前撮映裝置, 向つて左端より 記錄紙卷取裝置, 打撃スプリング,ピツク,ロツド及び反動スプリング



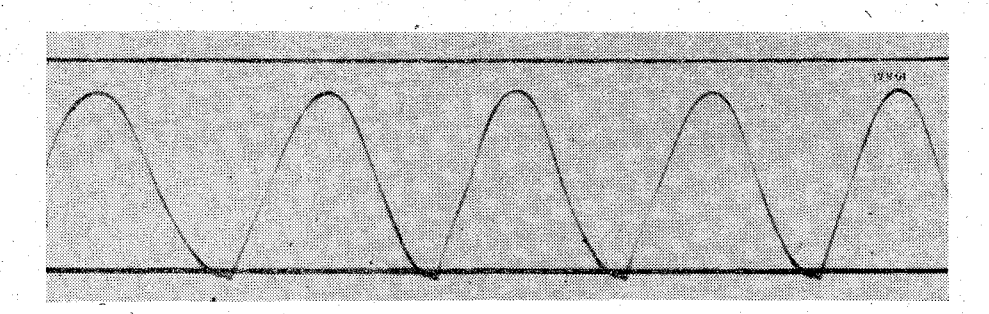
第2圖 實驗 裝置 說明 圖



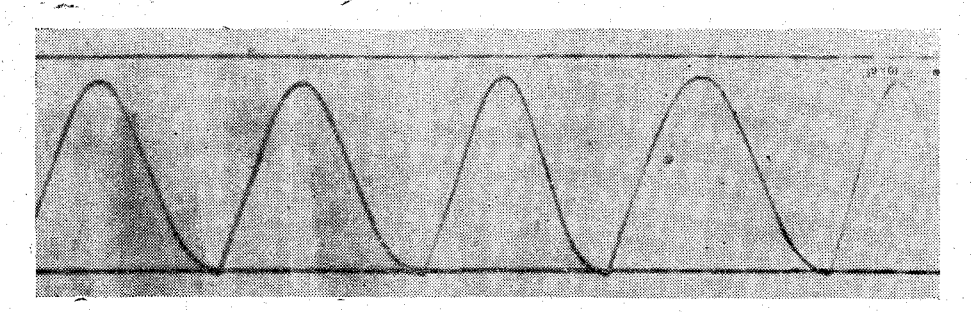
第3圖の1 壓着力 00 瓩 スプリング A 空氣壓力 3.00 瓩每平方糎



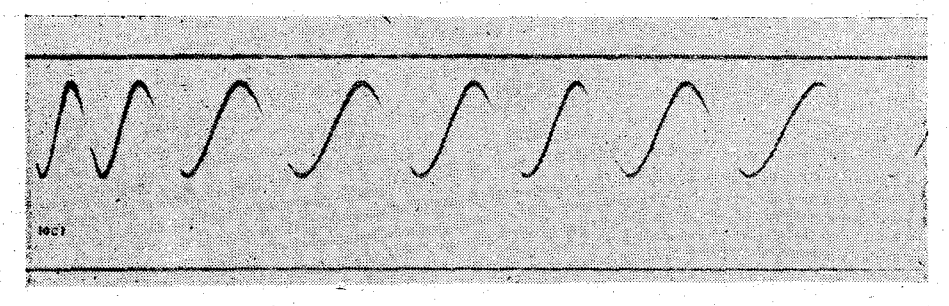
第 3 圖 の 3 - 壓着力 00 瓩 スブリング A - 空氣壓力 4.00 瓩 毎平方糎



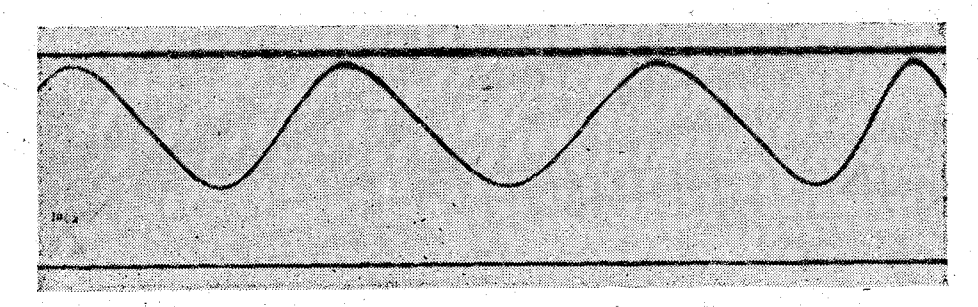
第 3|圖 の 3 · 壓着力 00 瓩 スプリング A 空氣壓力 5.00 瓩 毎 平方糠



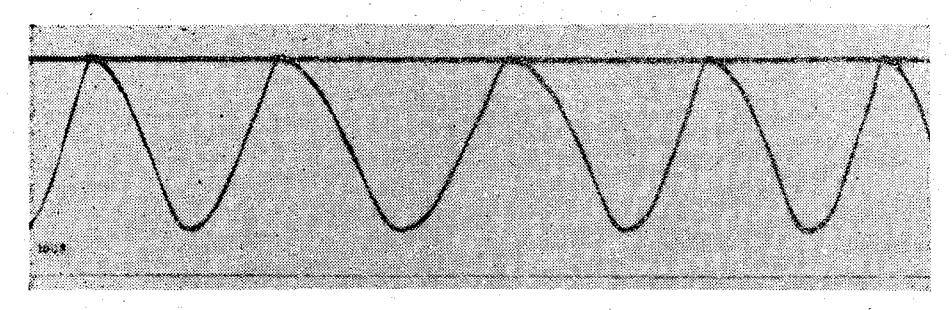
第 3 圖 の 4 壓着力 00 瓩 スプリング A 空氣壓力 6.00 瓩 毎平方糎



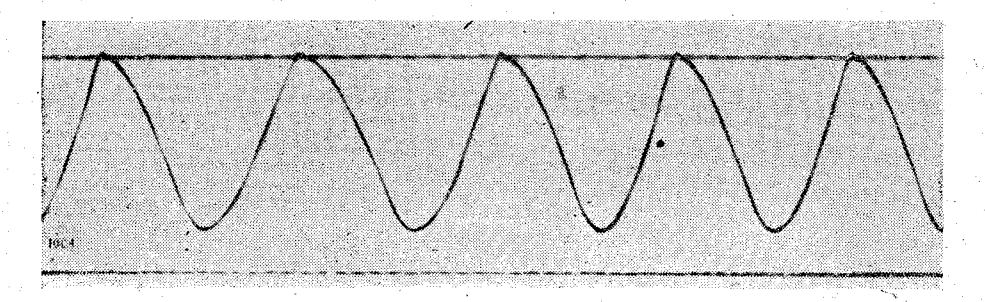
第 3 圖 5 の 壓着力 00 瓩 スプリング C 空氣壓力 1 瓩 每平方糎



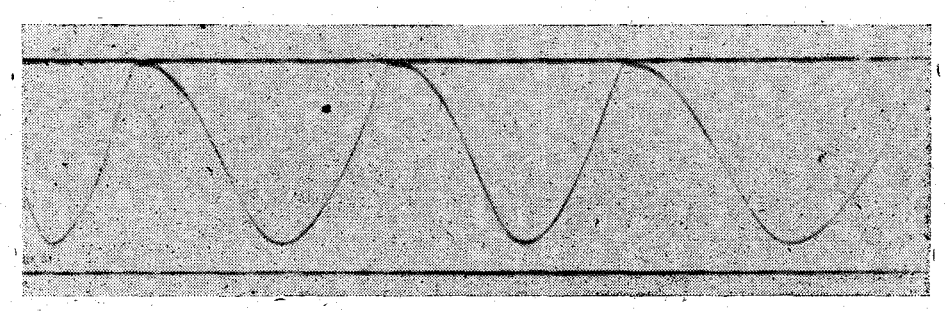
第 3 圖 の 6 壓着力 00 瓩 スプリング C 空氣壓力 2.00 瓩 毎平方糎



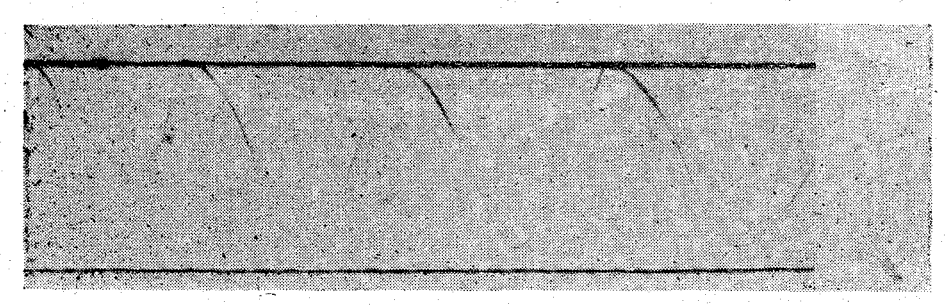
第3圖の7 壓着力 00 瓩 スプリング C 空氣壓力 3.00 瓩 每平方糎



第3圖の8 壓着力 00瓩 スプリング C 空氣壓力4.00瓩 毎平方糎



第 3 圏 の 9 壓着力 00 瓩 スプリング C 空氣壓力 5.00 瓩 毎平方頼



IV 實驗結果

測定値を空氣壓力の變化に從つて整理した結果第 4, 6, 8, 9, 10, 11 圖の線圖を得た。 圖中實驗番號 10 A, 10 C, 34 A, 34 C の順に太い實線, 太い破線, 細い實線, 細い破線をもつて表すこととした。

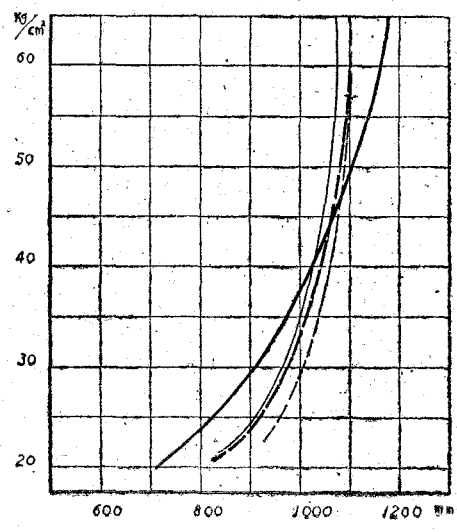
1. ビストン衝程の長さ

第4圖にピストン衝程線圖を示す。

ピストン衝程の長さはシリング内において ビストンの動き得る長さ & (運動休止の狀態で ピストンとシャンクヘツドとが接觸する點迄の 長さ)を表す。

 $\mathcal{S}_0 = 125 \, \mathrm{mm}$ であるが運轉時の衝程は之よりも小さく、大凡 $70 \sim 115$ 粍程度の結果が出ている。

ピストンは大凡 2.0 瓩毎平方糎 G 前後に おいてシャンクヘツドを叩き出すが、之以下の **壓力の場合は第**5 圖のようにシャンクを叩く迄

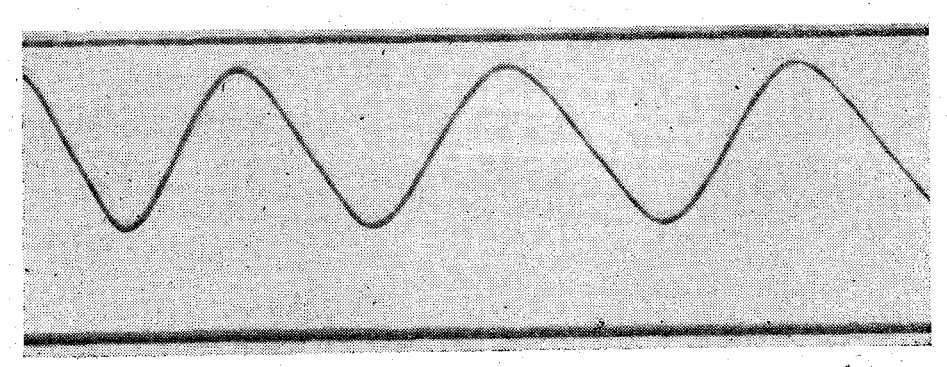


第 4 圖 ピストン衝程線圖

に至らず、シリンダの前部で前進後退共等速の往復運動を行う。

次に空氣壓力の上昇と共に衝程は次第に増加するけれ共,壓力 4.5 瓩毎平方糎以上になると次第にその度を減少して行く傾向が見られる。

又衝程の長さは被打撃物の種類や、壓着力にも影響されて複雑な狀況を示す。



第 5 🗟

但し空氣壓力 4.5 瓩每平方糎附近においては大略等しい値 107 粍程度を示している。

なお各衝程の長さを詳細に調べて見ると全く同じ條件で運動を繼續していても **1~5%** の相違があることを發見した。一例を擧けたれば 10A600 の場合 115, 114, 118, 117, 112, 113, 116 料の如く僅かではあるが異つた値を示している。

2. 前 進 行 程

第6圖に前進速度線圖を示す。これで前進速度と稱するものは第7圖の

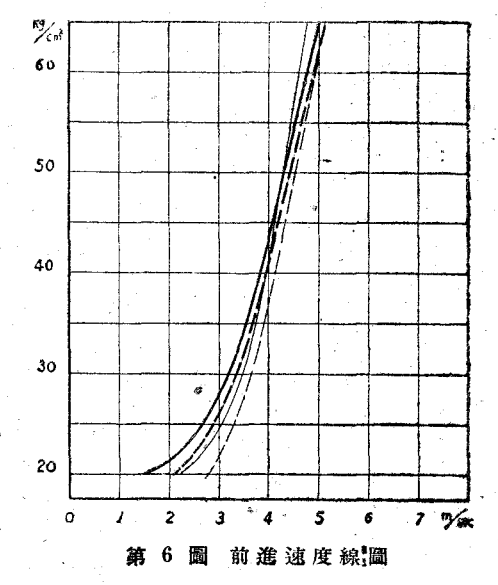
 V_A 米每秒 = S/T_A

を以て表すもので、ピストンの平均前進速度と もいうべきものである。

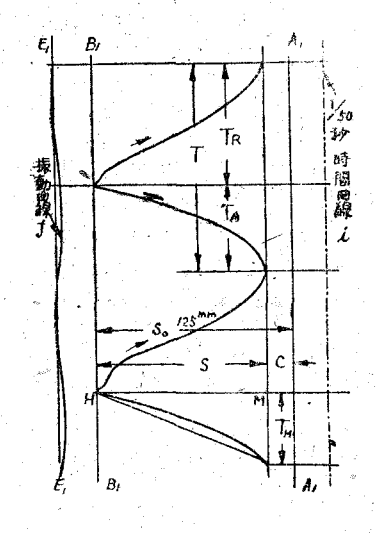
ピストンがシャンクを叩き出す時の V_A は 壓着力やスプリングの種類によつて相違はあるが、大凡 2.3 米毎秒位、即ち壓力 2.0 ~ 2.5 瓩毎 平方糎 G 程度である。

V_A は空氣壓力に比例して次第に大となり 4.5 米毎秒即ち壓力5 瓩每平方糎 G 附近以上に なると増加の度は次第に減少して行く傾向が認 められる。

特に注目すべき現象は前進行程の始めに次 第に加速せられて行つたピストンが行程の半に



達すると一様に等速運動、もしくは減速運動をするような傾向を示すことである。



第 7 圖 ~

この事はピストンがシャンクヘツドを叩く前にシリンダ内に残つている空氣を壓縮し、このために餘分のエネルギを消費し、ピストンの前進速度の増加を防げるのではなかろうかと考えられる。

空氣壓力 6.0 瓩毎平方糎 G においてはスプリングの 種類や壓着力の大小に餘り影響がないように見えるのは 面白い現象である。

後退行程 第7圖において

 $V_R = S/T_R$ 米每秒

この V_R を後退速度といい線圖に示せるものが第8圖である。

ピストンは前進行程の終りにシャンクヘツドを叩い

て速度零の狀態になると今度は逆方向に運動を始め、所謂後退行程に移る。

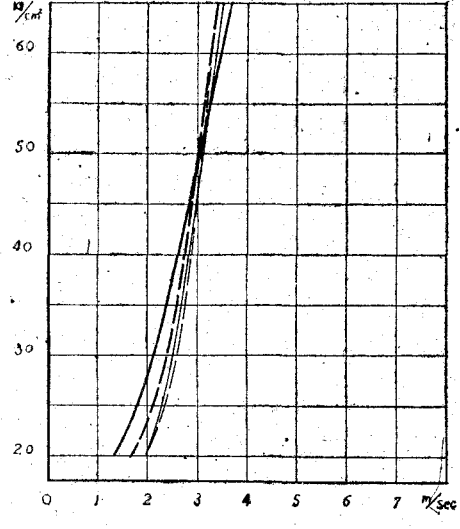
この行程においても漸次加速せられ、行程の終りに達すると排氣による前部シリンダ内

空氣壓力の急激な減少と後部シリンダ内の空氣 を壓縮するエヤクツションとにより、急速且滑 らかなる行程線圖を書きつい次の前進行程に移 る。

空氣壓力 2.0, 4.0, 6.0 瓩每平方糎 G の時の平均後退速度 N_K は夫々 2.0, 3.0 3.5 米每秒であつて,圖に明かなる通り 4.0 瓩每平方糎 G以上になると後退速度の増加は著るしく減少し,之も前進行程と同様に高壓の時程壓着力やスプリングの種類に,影響されない傾向を示している。

4. 打撃速度並打撃エネルギ

第7圖において H 點はピストンがシャン



第8圖後退速度線圖

クヘッドを叩いた瞬間を示すものとし、H點における行程曲線に對する切線と時間曲線との 交點をLとし、Hより時間曲線に下した垂線の脚をMとすれば

HM' 耗/ L'M' 秒 = HM/LM'

 $= S/T_H$

$=V_H$ (米每秒)

この V_H が H 點におけるピストンの速度即ち本打撃時にピストンの持つ速度を表すこ ととなる(但しカメラドラムが等回速轉をしていない時は時間曲線も一様でなくなるため, 點 M における時間曲線を對照して T_R 即ち LM 粍に相當する時間を補正する必要がある)。

斯くして打撃速度線圖第9圖を得た。

次に打撃時にピストンの持つエネルギは 1/2 M V_B2 である。(米瓩)

但し Va: 打撃速度 米每秒

 $M_K = W_R / G$.

此處に W_K : ピストン重量 ((瓩)

G: 重力の加速度 (米毎秒毎秒)

よつて

 $V_{R} V_{R}^{2} = 0.3418 V_{R}^{2}$

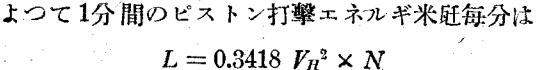
打撃時における前進並後退に要した時間の 和をT秒とすればTは1打擊の所要時間で,

$$T = T_A + T_R$$
 (秒)

で表される。之より一分間の換算打擊數を計算 すると

$$N = 60 / (T_A + T_K)$$

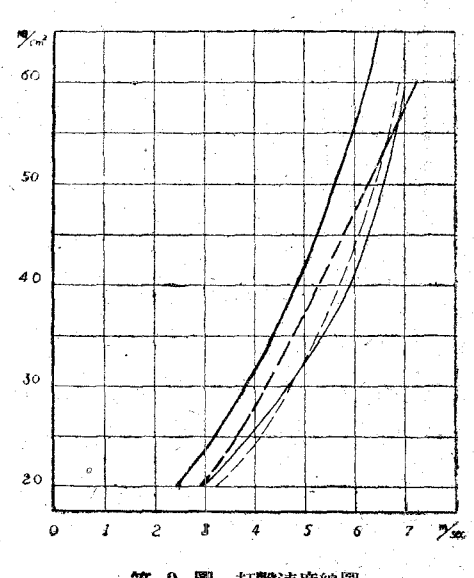
= $60 \times 1 / T (1 / \%)$



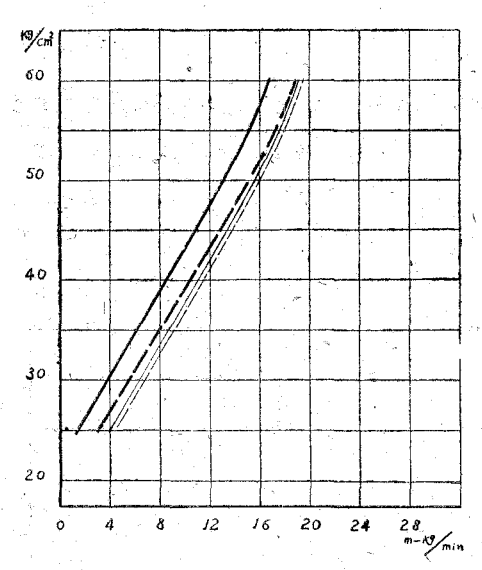
この L は本打撃時の ピストンの持つエルネギを 1 分間の打撃エネルギ (打撃力ともい う) として表したもので,連續1分間運轉せる時の實打撃力の總和とは異つたものである。 斯くしてピストン打撃力線圖第10圖を得た。

打撃速度線圖第9圖を見ると打撃速度はいずれも空氣壓力と共に增大し,大凡實驗番號 10A, 10C, 34A, 34C の順にその値を増して行くようである。 又その大きさの割合も同様で 唯 10C のみが 5.50 瓩毎平方糎 G 以上になつても増加の度を減少せず,直線的にその値を 増して行く傾向を示している。

2,50 瓩 毎平方糎 G において 10A, 10C, 34A, 34C の順に 3.20, 3.50, 3.75, 4.00 米毎秒, 同様に 4.5 瓩毎平方輝 G において 5.30, 5.75, 6.00, 6.25 米毎秒; 6.00 瓩毎平方糎 G では 6.55, 7.20, 6.90, 7.05 米毎秒なる値を示している。



第 9 圖 打擊速度線圖



第 10 圖 ピストン打撃力線圖

第 10 圖のピストン打撃力線圖を見ると曲線が空氣壓力によつて打撃速度と殆んど同様の傾向を持つていることが良く解る。しかもその大きさの割合は前者よりも判然としていて、4本の線圖が殆んど平行しているといつても差支えなく、壓力 5.0 瓩每平方糎 G 迄は直線的にその値を増し、之以上では急激に増加の度を減少している。

いずれにせよ被打撃物なるスプリングの强弱よりはむしろ壓着力の大小に影響せられている。それで壓着力を大にすればピストン打撃エネルギも之に比例して増大する。

この事を現場にあてはめて、强弱2種のスプリングの代りに硬軟兩種の石炭を扱うものと

考えて見る事が許されるならば、空氣空壓力の一定なる場合硬い石炭に對しては壓着力を與 えない時に打撃エネルギは最も小さく、反對に軟い石炭に强い壓着力を與えて使用する時に は最大の効果を發揮するものと想像させられる。

5. 隙 間 容 積

第7圖において振動曲線 f の幅を C_f とし、C をシリンダ後端からピストンの最も戻つ を點迄の間隔とすれば隙間容積 C_0 % は

$$C_0 = C \pm C_f / S_0$$

こ C_0 は便宜上隙間容積と稱するもので、ピストンが後退し得る限度の A_1A_1 線と實際の後退線 AA 迄の距離 C を線圖上で求め又運轉休止時にピストンが動き得る最大行程距離 $S_0=125$ 粍としたもので、機體の振動により線圖に 表れた衝程の長さは C_f だけ加減して補正する。

然し嚴密にいえばピストンが假りに A.A. 迄後退してもシリンダとピストン間にはなお相當の隙間があり、又空氣の通路等による隙間もあるので本當の意味の隙間容積とはいえない。

なおピストンは B_1B_1 線に到達した後もなお前進を續ける場合が多いので,運轉時にピストンの動き得る最大行程距離は S_0 よりも大きくなる筈である。 さてこの隙間容積は空氣 壓力の増加に反比例してその値を減じて,大凡ピストン衝程と逆の値をとる。之を線圖に表したものが第 11 圖である。

壓力 4.0 瓩毎平方糎 G 迄は强いスプリングを叩いた時の方が弱い B スプリングの時より大きい値を取り且壓着力の小さい時程大きいという現象を示している。 然し 5.0 瓩毎平方

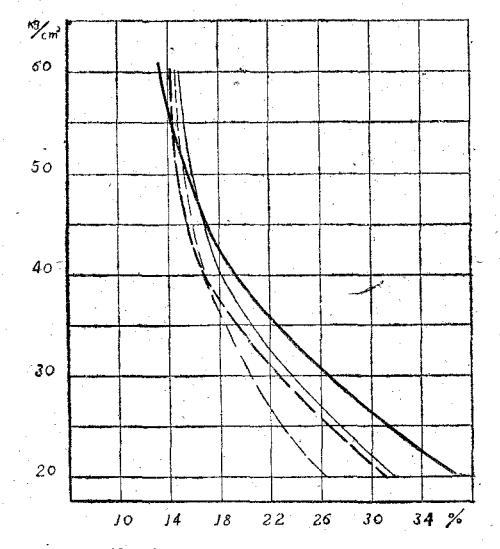
糎 G 以上になると殆んど 壓着力にもスプリングの種類にも影響されないで 5.0 瓩毎平方糎では5~15%, 6.0瓩毎平方糎 G ではいずれも 14.5 %前後を示している。

今 10 A について調べて見ると壓力 2.00, 3.00, 4.00, 5.00, 6.00 瓩毎平方糎 G の順に 36.5, 26.5, 19.5, 16.0, 14.0% となつている。

6. 機體の振動

第7圖の振動曲線fより機體の振動を求め それによつてピストン行程曲線 δ を補正した。 機體の振動は前掲の第3圖に見る如く空氣壓力 に比例して増加する。

その有様を調べてみると、ピストンが前進 行程を始める際機體はその反動によつて後方に移動する。



第11圖 隙間容積線圖

機體の最も後方に移動した時にはピストン前進行程の²/₃ を終れる頃である。然し空氣 壓力,スプリングの種類,壓着力等によつて多少の相違はある。

この頃から機體は前方に移動を始め A スプリングにおいては速く、C スプリングにおいては割合緩かに前進する。

斯くしてピストン後退行程の 3。を終れる頃に最も前方に移動している。

又機體は多くの場合靜止時の位置より前進することは稀である。

次に機體がピストンの前進と共に前進することは望ましいことではあるけれ共、實際の場合はこの逆の現象が認められ且弱いスプリングの場合程この現象は著るしいようである。

7. 装置の有無による影響

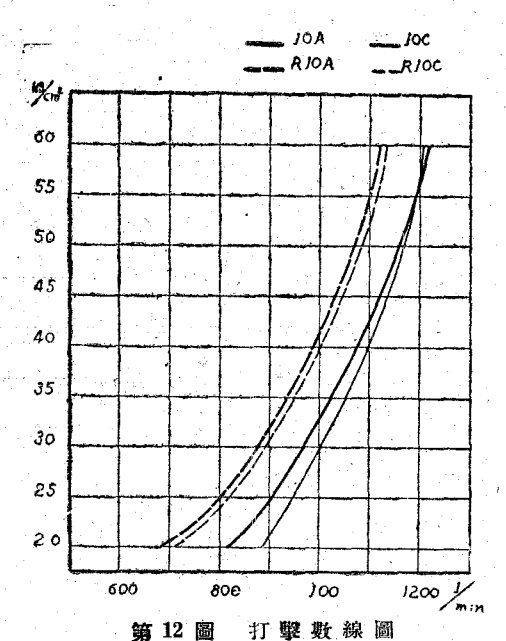
ピストンにロツドを付けたための影響を調べる為にメタリツク・ペーパに打撃曲線を畵かせ、その結果を比較した。

ロッド付のものには記號 "R" を付けて装置の無い時と區別すると、R ピストンはその 重量

 $W_R = 0.670$ 瓩

であり、ロッド無しのものはその重量

W = 0.625 瓩



(壓着力零なる時の比較試驗)

である。

空氣壓力は2.0 瓩每平方糎 Gより6.0 瓩 每平方糎 G 迄 0.5 瓩每平方糎宛 9 通りに變化 させてその各々について R10A, R34A, R10C, R34C, ロッド (打棒ともいう) なしの時の 10 A, 34A, 10C, 34C を實驗した。

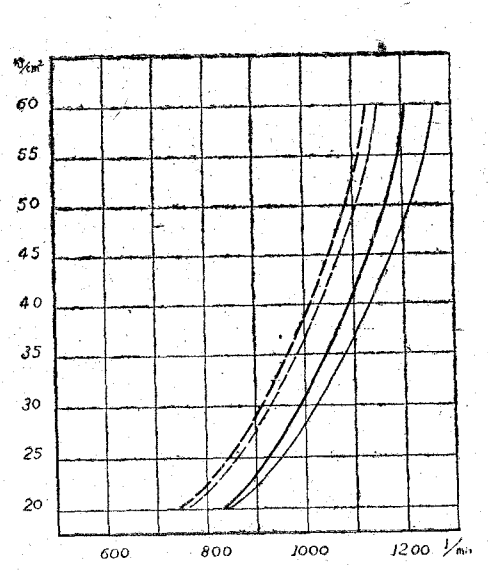
以上の比較實驗の結果第 12, 13, 14, 15, 16,17 圖の線圖を得た。

打撃數はいずれも5~10%の減少を見せ 空氣壓力の増加と共に幾分その度を强めてい ることは當然であろう。

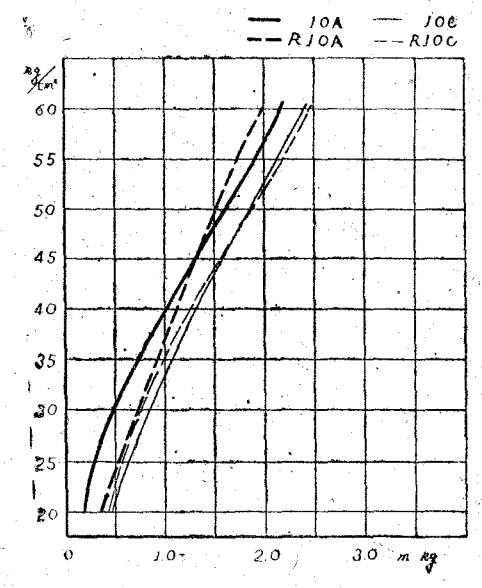
1 打撃の山の高さより算出した1打撃の 仕事量線圖は前者と逆にロッド付の方がその 値大きく, R10A を除きいずれも壓力の上昇 と共にその割合も大きくなつているが、全般

的に見るとその差は 5% 以内である。

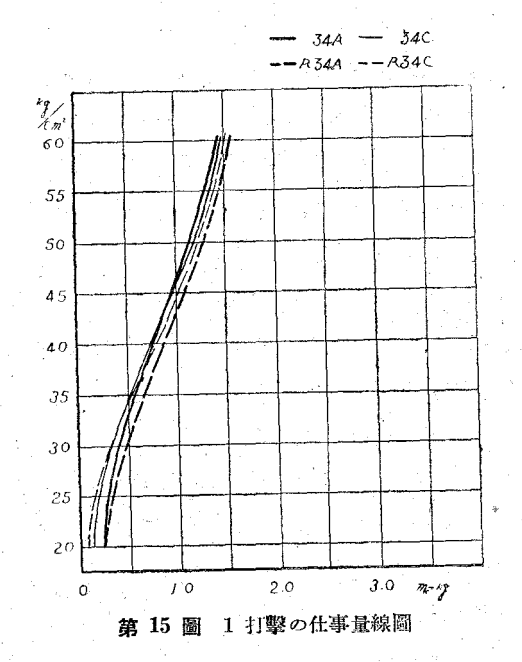
次に1分間の仕事量線圖を見るとロツド付は稍々大きく、空氣壓力には餘り影響されな



第13圖 打擊數線圖 (壓着力 34瓩なる時の比較試驗)



第14圖 仕事 量線圖



10A - 90C -RJOA 55 50 45 40 30 25 20 1000 2000 第 16 圖 1 分間の仕事量線圖

34A

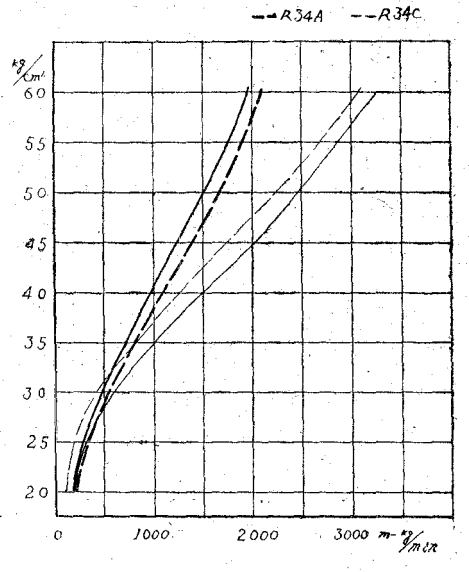
いという興味のある結果を示していてその差は 僅かに 0~10% である。

それで總體として考えてみると, 隙間容積 はロッドを付けた」めに約2%少くなるし、空 氣消費量も多少増加するようであるけれ共, 最 も考慮せねばならぬのはロッドと装置間の機械 的摩擦による影響ではないかと推察せられる。 この點裝置に改良すべき餘地もあるわけで目下 研究中である。

以上の如く装置の有無による影響は概して 僅少であり, 且ピツクの性能を決定すべき資料 の傾向には差支えないという結果を得た。

實驗結果の檢討

以上の結果を見ると、ビストンの衝程曲線



第 17 圖 1 分間の仕事量線圖

は、機體の振動による補正を行うため、寫眞3圖に示すものとは幾分異つた曲線となる。

又ピストン衝程の不規則變化の原因は,シリンダ内空氣壓力の變動と,不完全な空氣辨 の作用によるため生するものと、機體の振動に起因する打撃時の狀態變化とを考えることが、 出來る。

前進速度についていえば、打撃時即ちシャンク・ヘッドを叩く瞬間にピストンは最大速度であることが望ましいので、この點についてピックの構造上何等かの工夫があつても良いと思はれる。例えばシリンダ前部のエヤ・クツションを除くためにシリンダから直接外部に通ずる二箇の小孔 (排氣) の大きさや位置をもうすこし變化せしめたなら如何であろうか、又ピストン前部の形狀を變えてやると前部隙間容積も變化するから之によつて最も効率の良い空氣壓力の時にシャンク頭を叩くように工夫すること等も考えられる。次に機體の振動は避け得られないものであるから、その振動を利用してピックの打撃力増大を計ることが得策であろう。

それにはピストンの前進行程の終りに鑚頭を打撃する際,機體も共に前進して鑚の運動を助けるように出來れば理想的である。

機體の振動に費されるエネルギは相當大きいものでハンマ・ピックの重量 9.65 瓩 とすれば 10A 600 の時には毎分 224 米瓩程となる。之をピックの打撃力毎分 2000 米瓩に比べると11% 程であり、實際には之より餘程大きくなると想像せられるので、この點何等かの考案がありそうに思われる。

次にロッドの有無による影響を調べて判つた事であるが、1 分間の仕事量即ちピックの 出力はロッド付の重いピストンの方が大きいという結果が出ている。

それで重いピストンを用いれば出力を相當上げ得るのではなかろうかと考えられる。よつて直徑の幾分大きいピストンを作り、現場シリンダの磨耗から廢却せられたピツクの更生を計るのも一案であろうと思う

VI 結 管

本實驗は文部省科學研究費並に日本學術振興會の援助費によつて行つたものである。實驗はその一步を踏み出した狀態で,現在引續き行つているものであるから目下の結果のみをもつてしては不明なる點も多さあり,將來を期している次第である。

今後更に各種のピツクについても實驗を行い,又進んではシリンダ内の空氣壓力の測定 トも研究し、ピツクの性能を十分研究したいと考えている。

最後に本實驗について御指導並に御鞭達を賜つた北海道大學教授阿部與博士,又終始熱 心に御協力下さつた同鑛山機械研究室の皆様に深甚の感謝の意を表する次第である。

(昭和24年11月5日受付)

第 2 表 の 1

R 10 C 300

| | | | | | | | | · · · · · · · · · · · · · · · · · · · | | | | | |
|----|---------------------|----------|------------|-------|--------------------|--------------|--------------|---------------------------------------|--------------|---------------|--------------|--------------|------|
| | 記 | <u>,</u> | ب | í | 錄 | 1 | I | П | IV | v | VI | VII | Mean |
| 1 | | 實 | 驗 | 番 | 號 | R10C 3001 | R10C 3002 | R10C 3003 | R10C 3004 | R10 C 3005 | R10C 3006 | R10C 3007 | R10C |
| 2 | 空 | 絕 | 對 | 懕 | Kg/cm ² | 4.03 | 4.03 | 4.03 | 4.03 | 4.03 | 4.03 | 4.03 | 4.03 |
| 3 | 氣」 | ゲー | - <i>i</i> | 壓 | Kg/cm ² | 3.00 | 3.00 | 3.00 | 3.00 | 3.00 | 3.00 | 3.00 | 3.00 |
| 4 | カし | 大 | 氣 | 壓 | Kg/cm ² | . 1.03 | 1.03 | 1.03 | 1.03 | 1.03 | 1.03 | 1.03 | 1.03 |
| 5 | | 空 | 氣 | 溫 | 度 ℃ | 15.0 | 15.0 | 15.0 | 15.0 | 15,0 | 15.0 | 15.0 | 15.0 |
| 6 | 壓(| ′ スプ | リンク | · 0 | 宿み mm | 0 | 0 | 0 | .0 | . 0 | 0 | 0 | 0 |
| 7 | 看力 | 縮み | に對す | "る; | カ Kg | 0 | 0 | 0 | 0- | . 0 | 0 | 0 | 0 |
| 8 | ₹7 (| 打擊 | 數每 | : 分 | ¹/min | 870 | 860 | 870 | | | | | 867 |
| 9 | 擊 | 111 0 | の高 | ŧ | mm | 14.5 | 14.3 | 14.4 | ** | | • | | 14.4 |
| 10 | 曲 | | | L事; | 量 m-Kg | 0.81 | 0.79 | 0.80 | | - | 4 | | 0.8 |
| 11 | 線 | 1分 | | t m | -Kg/min | 703 | 680 | 695 | | | | | 693 |
| 12 | | ピス | トン雀 | 野程 | mm | 102.0 | 102.0 | 102.0 | 102.0 - | 102.0 | 101.0 | 100.0 | |
| 13 | 前(| 所多 | 要 時 | 間 | Sec | 0.0314 | 0.0311 | 0.0312 | 0.0320 | 0.0300 | 0.0320 | 0.0323 | |
| 14 | 進 | 速 | | 度 | m/Sec | 2.25 | 3.28 | 3.26 | 3.18 | 3.40 | 3.16 | 3.10 | |
| 15 | 後(| 所里 | 医時 | 間 | Sec | 0.0325 | 0.0381 | 0.0386 | 0.0368 | 0.0387 | 0.0374 | | |
| 16 | 退 | 速 | | 度 | m/Sec | 3.14 | 2.67 | 2.64 | 2.77 | 2.64 | 2.70 | 2.54 | |
| 17 | (| 所到 | 要 時 | 間 | Sec | 0.0639 | ' | 0.0698 | | 0.0687 | 0.0694 | | |
| 18 | 往復 | 換算 | | | /min | 939 | 866 | 860 | 872 | 873 | 865 | 836 | |
| 19 | | 換算 | 距離' | 'S": | | 102.0 | 102.0 | 102.0 | 102.0 | 102.0 | 101.0 | . 98.8 | |
| 20 | 衝 | 換算 | 時間' | T_H | | 0.0254 | | | | | | | |
| 21 | Į | 速 | | 度 | m/Sec | 4.02 | 4.30 | 4.08 | 4.11 | 4.08 | 4.20 | 4.13 | |
| 22 | -tiru | 26038203 | Fにピ ロエネ | L | | 0.552 | - 0.636 | 0.570 | 0.581 | 0.570 | 0.601 | 0.587 | |
| 23 | 撃 | 1分間 | の種選 | × | -Kg/min | 520 | 550 | 490 | 506 | 498 | 520 | 491 | |
| 24 | | |]の長 | | - mm | 25.0 | 27.5 | 27.5 | 27.5 | 25.0 | 25.0 | 25.0 | |
| 25 | | | りつい 間容 | | % | 20.0 | 22.0 | 22.0 | | | | | |
| 26 | | | | | , | , | | - | 22.0 | 20.0 | 20.0 | 20.0 | |
| 40 | | 惯体 | 振動a | ソ鸭 | mm | 1.00 | 1.25 | 1.25 | 1.25 | 1.25 | 1.00 | 1.25 | |

第 2 表 の 2

R 10 C 400

| | 記 | | | · i | 餘 | ī | I | П | IV | V | VI | VII | Mean |
|-----|--------------|------|------------|--------------|--------------------|--------------|--------------|--------------|--------------|---------------|--------------|---------------|------------|
| 1 | | 實 | 驗 | 番 | 號 | R10C 4001 | R10C 4002 | R10C 4003 | R10C 4004 | R10 C 4005 | R10C 4006 | R10 C 4007 | R10C 40 |
| 2 | 空 | 絕 | 對 | 壓 | Kg/cm ² | 5.03 | 5.03 | 5.03 | 5.03 | 5.03 | 5.03 | 5.03 | 5.03 |
| 3 | 氣壓 | ゲ | - 3 | 壓 | Kg/cm ² | 4.00 | 4.00 | 4.00 | 4.00 | 4.00 | 4.00 | 4.00 | 4.00 |
| 4 | 五 | 大 | 氣 | 壓 | Kg/cm ² | 1.03 | 1,03 | 1.03 | 1.03 | 1.03 | 1.03 | 1.03 | 1.03 |
| 5 | | 垄 | 氣 | 溫 | 度 °C | 15.0 | 5.0 | 15.0 | 15.0 | 15.9 | 15.0 | 15.0 | 15.0 |
| 6 | 壓(| スフ | ゜リン: | グの | 縮み mm | 0 | 0 | 0 | 0 | 0 | 0 | 0 | 0 2 |
| 7 | 着(力(| 縮み | に對 | する | カ Kg | 0 | 0 | 0 | 0 | 0 | 0 | 0 | 0 |
| 8 | ₽ Т [| 打著 | 坚數包 | 手分 | ¹/min | 1000 | 1000 | 1010 | | | | | 1003 |
| . 9 | 撃 | Щ | の高 | * 3 | mm | 18.0 | 18.3 | 18.8 | | | | | 18.37 |
| 10 | 曲 | | | 事量 | t m-Kg | 1.22 | 1.26 | 1.33 | 1 | | | | 1.27 |
| 11 | 線 | 1551 | 間の 仕事: | 量 m | -Kg/min | 1220 | 1260 | 1340 | | | | | 1273 |
| 12 | | Ľ°. | ストン | 衝程 | mm | 103.0 | 107.0 | 107.0 | 107.5 | 107.5 | 106.5 | 106.5 | |
| 13 | 前(| 所 | 要時 | 間 | Sec | 0.0291 | 0.0270 | 0.0265 | 0.0272 | 0.0270 | 6.0278 | 0.0260 | |
| 14 | 進〔 | 速 | | 度 | m/Sec | 3.54 | 3.96 | 4.03 | 3.96 | 3.98 | 3.84 | 4.10 | |
| 15 | 後(| 所 | 要時 | 間 | Sec | 0.0379 | 0.0352 | 0.0356 | 0.0338 | 0.0327 | 0.0323 | 0.0326 | |
| 16 | 退 | 速 | | 度 | m/Sec | 2.72 | 3.04 | 3.01 | 3.18 | 3.29 | 3.30 | 3.27 | 1 |
| 17 | - (| 所 | 要時 | 間 | Sec | 0.0670 | 0.0622 | 0.0621 | 0.0610 | 0.0597 | 1.0601 | 0.0586 | |
| 18 | 往復 | 換多 | 拿打專 | 8數 | 1/min | 895 | 965 | 965 | 983 | 1005 | 1000 | 1023 | |
| 19 | (| 換算 | 距離 | "S" | mm | 103.0 | 108.0 | 108.0 | 108.0 | 108.0 | 108.5 | 108.5 | ." |
| 20 | 衝 | 換算 | 時間 | " <i>T</i> " | Sec | 0.0200 | 0.0211 | 0.0213 | 0.0216 | 0.0200 | 0.0224 | 0.0205 | |
| 21 | { | 速 | | 度 | m/Sec | 5.15 | 5.12 | 5.07 | 5.00 | 5.40 | 4.85 | 5.30 | |
| 22 | 整 | の持 | | ルキ | ン ーm-Kg | 0.906 | 0.900 | 0.880 | 0.855 | 1.000 | 0.805 | 0.965 | |
| 23 | 11 | | 間の値 ルギー | | -Kg/min | 811 | 868 | 850 | 841 | 1005 | 805 | 990 | |
| 24 | | 隙 | 間の。 | 長さ | mm | 22.5 | 20.0 | 20.0 | 21.2 | 21.2 | 20.0 | 20.0 | |
| 25 | | 隙 | 間を | ₹ 積 | % | 18.0 | 16.0 | 16.0 | 16.95 | 16.95 | 16.0 | 16.0 | ei e |
| 29 | | | 本振動 | | | 1.25 | 1.50 | 1.50 | 1.75 | 1.25 | 1.50 | 1.50 | |
| | <u> </u> | | <u> </u> | | | | <u> </u> | <u> </u> | <u> </u> |] | | | |

第 2 表 の 3

R 10 C 500

| | 記 | ! 銷 | | I | I | I | M | V | VI | XI | Mean |
|------|--------------|------------------------|--------|--------------|--------------|--------------|---------------------------------------|---------------|--------------|--------------|------------|
| 1 | | 實 驗 番 | 號 | R10C 5001 | R10C 5002 | R10C 5003 | R10C 5004 | R10 C 5005 | R10C 5006 | R10C 5007 | R10C 50 |
| . 2 | 空 | 絕對 壓 I | Kg/cm² | 6.03 | 6.03 | 6.03 | 6.03 | 6.03 | 6.03 | 6.03 | 6.03 |
| 3 | 氣壓 | ゲ - ジ 壓 I | Kg'cm² | 5.00 | 5.00 | 5.00. | 5.00 | 5.00 | 5.00 | 5.00 | 5.00 |
| 4 | 第 [| 大 氣 壓 I | ζg/cm² | 1.03 | 1.03 | 1.03 | 1.03 | 1.03 | 1.03 | 1.03 | 1.03 |
| 5 | | 空 氣 溫 | 度 ℃ | 15.0 | 15.0 | 15.0 | 15.0 | 15.0 | 15.0 | 15.0 | 15.0 |
| 6 | 壓 (| ′ スプリングの縮 | → mm | . 0 | 0 | 0 | 0 | 0 | 0 | 0 | 0 |
| 7 | 着力 | 縮みに對する力 | Kg | 0 | 0 | . 0 | 0 | 0 | 0 | 0 | 0 |
| . 8 | 1 T (| 打擊數每分 | 1/min | 1070 | 1070 | 1070 | | | | | 1070 |
| 9 | 撃 | 山の高さ | mm | 21.5 | 21.8 | 21.8 | * | | | | 21.70 |
| 10 | 曲 | 1 打撃の仕事量 | m-Kg | 1.80 | 1.85 | 1.85 | \ \ \ \ \ \ \ \ \ \ \ \ \ \ \ \ \ \ \ | | | , | 1.833 |
| 11 | 線 | 1 分間の 、仕 事 量 m-F | ζg/min | 1925 | 1980 | 1980 | | | | | 1962 |
| 12 | | ピストン衝程 | mm | 112.5 | 110.0 | 110.0 | 110.0 | 110.0 | 109.0 | 109.0 | |
| 13 | 前(| 所要時間 | Sec | 0.0238 | 0.0235 | 0.0240 | 0.0240 | 0.0250 | 0.0232 | 0.0240 | |
| 14 | 進〔 | 速度 | m/Sec | 4.73 | 4.68 | 4.58 | 4.58 | 4.40 | 4.70 | 4.55 | |
| 15 | 後(| 所要時間 | Sec | 0.0300 | 0.0345 | 0.0320 | 0.0321 | 0.0322 | 0.0328 | 0.0312 | |
| 16 | 退 | .速 度 | m/Sec | 3.75 | 3.19 | 3.44 | 3.43 | 3.42 | 3.32 | 3.50 | |
| 17 | - | 所要時間 | Sec | 0.0538 | 0.0580 | 0.0560 | 0.0561 | 0.0572 | 0.0560 | 0.0552 | |
| 18 | 往復 | 換算打擊數 | /min | 1114 | 1034 | 1071 | 1069 | 1049 | 1072 | 1086 | |
| . 19 | 1 | ,換算距離 "S" | mm | 110.0 | 108.5 | 110.0 | 110.0 | 110.0 | 110.0 | 110.0 | |
| 20 | 衝. | 換算時間 "T _H " | Sec | 0.0175 | 0.0165 | 0.0170 | 0.0172 | 0.0180 | 0.0167 | 0.0180 | |
| 21 | { | 速度 | | 6.30 | 6.58 | 6.47 | 6.40 | 6.11 | 6.60 | 6.11 | |
| 22 | 撃 | 衝撃時にピストン の持つエネルギー | m-Kg | 1.36 | 1.48 | 1.44 | 1.40 | 1.28 | 1.49 | 1.28 | |
| 23 | 1 | 1 分間の衝撃 、エネルギー m-l | ζg/min | 1515 | 1530 | 1542 | 1500 | 1345 | 1598 | 1392 | |
| 24 | | 隙間の長き | mm | 18.7 | 20.0 | 19.5 | 17.5 | 17.5 | 18.7 | 18.7 | |
| 25 | | 隙間容積 | % | 15.0 | 16.0 | 15.6 | 14.0 | 14.0 | 15.0 | 15.0 | |
| 26 | | 機体振動の幅 | mm | 2.25 | 2.25 | 3.00 | 3.00 | 3.00 | 3.00 | 2.50 | |

第 2 表 の 4

R 10 C 600

| | | | | | <u> </u> | | | | | | | | |
|-----|------------|------------|---------------|-----------|--------------------|--------------|--------------|--------------|--------------|---------------|--------------|--------------|---------|
| | | 記 | | . 1 | 錄 | I | I | II. | IV | V | VI. | VII | Mean |
| | 1 | | 實驗 | 番 | 號 | R10C 6001 | R10C 6002 | R10C 6003 | R10C 6004 | R10 C 6005 | R10C 6006 | R10C 6007 | R10C |
| | 2 | 空(| 絕 對 | 壓 | Kg/cm ² | 7.03 | 7.03 | 7.03 | 7.03 | 7.03 | 7.03 | 7.03 | 7.03 |
| | 3 | 氣」 | ゲージ | 壓 | Kg/cm ² | 6.00 | 6 00 | 6.00 | 6.00 | 6.00 | 6.00 | 6.00 | 6.00 |
| | 4 | 万 | 大 氣 | 壓 | Kg/cm ² | 1.03 | 1.03 | 1.03 | 1.03 | 1.03 | 1.03 | 1.03 | 1.03 |
| | 5 | | 空氣溫 | 度 | °C: | 15.0 | 15.0 | 15.0 | 15.0 | 15.0 | 15.0 | 15.0 | 15.0 |
| | 6 | 壓 (| スプリン | グの流 | 縮み mm | . 0 . | 0 | 0 | 0 | . 0 | 0 | 0 _ | 0 |
| | 7 | 力 | 縮みに對 | する | カ ` Kg | 0 | ,0- | 0 - | 0 | 0 | 0 - | 0 | 0 |
| | 8 | # [| 打擊數領 | 承分 | 1/min | 1100 | 1130 | 1130 | | | 974 | | 1120 |
| | 9. | 撃 | 山の高 | ; ž | mm | 23.5 | 23.6 | 24.0 | | 100 | ٠. | | 23.70 |
| - | 10 | 曲 | 1 打撃の | 仕事力 | 量 m-Kg | 2.18 | 2.20 | 2.27 | | | | | 2.217 |
| ٠, | 11. | 線 | 1 分間の 仕事 加 | t m | Kg/min | 2400 | 24 80 | 2560 | | • | | | 2480 |
| | 12 | | ピストン | 衝程 | mm | 110.0 | 110.0 | 110.0 | 110.0 | 110.0 | 109.0 | 109.0 | |
| | 13 | 前∫ | 所要時 | 間 | Sec | 0.0223 | 0.0211 | 0.0210 | 0.0218 | 0.0200 | 0.0221 | 0.0215 | |
| | 14 | 進し | 速 | 度 | m/Sec | 4.94 | 5.21 | 5.25 | 5.05 | 5.50 | 4.93 | 5.07 | |
| | 15 | 後(| 所要問 | 間 | Sec | 0.0346 | 0.0310 | 0.0313 | 0.0327 | 0.0355 | 0.0290 | 0.0305 | |
| | 16 | 退し | 速 | 度 | m/Sec | 3.18 | 3.55 | 3.51 | 3.40 | 3.10 | 3.76 | 3.57 | |
| . • | 17 | - J | 所要時 | 削 | Sec | 0.0569 | 0.0521 | 0.0523 | 0.0545 | 0.0555 | 0.0511 | 0.0520 | |
| | 18 | 往復 | 換算打點 | 隆 數 | 1/min | 1055 | 1151 | 1146 | 1101 | 1083 | 1173 | 1152 | |
| | 19 | (| 換算距離 | "S" | mm | 110.0 | 110.0 | 108.5 | 108.5 | 108.5 | 112.5 | 112.5 | am a |
| | 20 | 衝 | 換算時間 | " T_H | " Sec | 0.0141 | 0.0126 | 0.0130 | 0.0127 | 0.0127 | 0.0158 | 0.0144 | * * |
| | 21 | \ | 速 衝撃時にヒ | 度 | m/Sec | 7.80 | 8.74 | 8.35 | 8.55 | 8.55 | 7.12 | 7.80 | |
| | 22 | 撃 | の持つエオ | ベルキ | ^- m-Kg | 2.09 | 2.62 | 2.39 | 2.50 | 2.50 | 1.74 | 2.08 | 14 to 1 |
| | 23 | - | エネルギ | - m | -Kg/min | 2204 | 3020 | 2738 | 2750 | 2710 | 2040 | 2400 | |
| | 24 | | 隙間の | 麦き | mm | 21.2 | 21.2 | 20.7 | 20.7 | 20.7 | 15.0 | 15.0 | • |
| | 25 | | 隙間容 | 積 | . % | 17.0 | 17.0 | 17.4 | 17.4 | 17.4 | 12.0 | 12.0 | |
| | 2 6 | | 機体振動 | の幅 | mm | 3.75 | 4.00 | 3.75 | 3.75 | 3.75 | 3.75 | 4.00 | |

第 2 表 の 5

R 10 A 300

| | äC | | i | 錄 | I | I | Ш | IV | ٧ | VI. | VII | Mean |
|----|--------------|----------------|----------|------------------------|--------------|--------------|-------------------|--------------|--------------|--------------|--------------|------------|
| 1 | | 實 驗 | 番 | 號 | R10A 3001 | R10A 3002 | R10A 3003 | R10A 3004 | R10A 3005 | R10A 3006 | R10A 3007 | R10A 30 |
| 2 | 空(| 絕 對 | 壓 | Kg/cm ² | 4.03 | 4.03 | 4.03 | 4.03 | 403 | 4.03 | 4.03 | 4.03 |
| 3 | 氣壓 | ゲージ | 壓 | Kg/cm ² | 3.00 | 3.00 | 3.00 | 3.00 | 3.00 | 3.00 | 3.00 | 3.00 |
| 4 | 为(| 大 氣 | 壓 | Kg/cm ² | 1.03 | 1.03 | 1.03 | 1.03 | 1.03 | 1.03 | 1.03 | 1.03 |
| 5 | | 空氣溫 | 度 | °C | 12.0 | 12.0 | 12.0 | 12.0 | 12.0 | 12.0 | 12.0 | 12.0 |
| 6 | 壓(| スプリン | グの} | 縮み mm | 0 | 0 | 0 | 0 | 0 | 0 | 0 | 0 |
| 7 | 着力 | 縮みに對っ | する | カ Kg | 0 | 0 | 0 | 0 | 0 | 0 | 0 | 0 |
| 8 | ₹7 [| 打擊數句 | 事分 | ¹/min | 870 | 890 | 820 | 840 | 850 | ~ 870 | | 837 |
| 9 | 擊 | 山の高 | ŧ | mm | (5.8) | (5.9) | 2.5 | 2.8 | 3.3 | (5.9) | \ | 2.9 |
| 10 | 曲 | 1打撃の仕 | 事量 | m-Kg | (0.74) | (0.77) | 0.19 | 0.22 | 0.27 | (0.77) | | 0.23 |
| 1 | 線 | 1 分間の 仕事量 | m | -Kg/min | (644) | (685) | ^{\$} 156 | 185 | 229 | (670) | | 190 |
| 2 | | ピストン作 | 虰程 | mm | 96.3 | 96.3 | 86.3 | -86.3 | 88.8 | 87.5 | 102.5 | 92.0 |
| 3 | 前(| 所要時 | 間 | Sec | 0.0320 | 0.0328 | 0.0320 | 0.0306 | 0.0318 | 0.0308 | 0.0314 | 0.031 |
| 4 | 進し | 速 | 度 | m/Sec | 3.00 | 2.93 | 2.70 | 2.82 | 2.79 | 2.84 | 3.27 | 2.91 |
| 5 | 後 (| 所要時 | 間 | Sec | 0.0348 | 0.0350 | 0.0381 | 0.0400 | 0.0400 | 0.0400 | 0.0368 | 0.037 |
| 6 | 退し | 速 | 度 | m/Sce | 2.76 | 2.75 | 2.26 | 2.16 | 2.22 | 2.19 | 2.79 | 2.45 |
| 17 | } | 所要時 | 間 | Sec | 0.0668 | 0.0678 | 0.0701 | 0.0706 | 0.0718 | 0.0708 | 0.0682 | 0.0694 |
| 18 | 往復 | 換算打費 | 逐數 | ¹/min | 900 | 885 | 855 | 850 | 848 | 848 | 879 | 867 |
| 9 | ۱ | 換算距離 | "S" | mm | 96.3 | 96.3 | 90.0 | 90.0 | 90.0 | 90.0 | 102.5 | 93.6 |
| 0 | 衝 | 換算時間 | " T_H | " Sec | 0.0238 | 0.0264 | 0.0249 | 0.0246 | 0.0270 | 0.0268 | 0.0250 | 0.025 |
| 1 | { | 速 | 度 | m/Sec | 4.15 | 3.65 | 3.62 | 3.66 | 3.33 | 3.36 | 4.10 | 3.70 |
| 2 | 撃 | 衝撃時にピ | ルキ | ~m-Kg | 0.590 | 0.456 | 0.448 | 0.321 | 0.340 | 0.386 | 0.577 | 0.445 |
| 23 | | 1 分間の衝 エネルギ | 摩 - m | -Kg/min | 530 | 412 | 383 | 273 | 288 | 327 | 490 | 386 |
| 24 | | 隙間のよ | € 3 | $\mathbf{m}\mathbf{m}$ | 32.5 | 32.5 | 37.5 | 37.5 | 36.3 | 35.0 | 18.75 | 32.9 |
| 25 | | 隙間容 | 積 | % | 26.0 | 26.0 | 30.0 | 30.0 | 29.1 | 23.0 | 15.0 | 27.7 |
| 26 | , | 機体振動。 | の幅 | mm | 1.50 | 1.50 | 1.50 | 2.00 | 1.50 | 1.55 | 2.00 | 1.65 |

第 2 表 の 6

R 10 A 400

| , . | | <u> </u> | *. | | | | | 2 | **** | |
|-----|--------|-----------------------------|--------------|--------------|--------------|--------------|--------------|--------------|--------------|------------|
| | 龍 | 錄 | I | I | Ш | IV | ٧ | VI | VII | Mean |
| 1 | | 實驗番號 | R10A 4001 | R10A 4002 | R10A 4003 | R10A 4004 | R10A 4005 | R10A 4006 | R10A 4007 | R10A 40 |
| 2 | 空氣 | · 絕 對 壓 Kg/cm² | 5.03 | 5.03 | 5.03 | 5.03 | 5.03 | 5.03 | 5.03 | 5.03 |
| . 3 | 氣」 | ゲ - ジ 壓 Kg/cm² | 4 .00 | 4.00 | 4.00 | 4.00 | 4.00 | 4.00 | 4.00 | 4.00 |
| 4 | カし | 大 氣 壓 Kg/cm² | 1.03 | 1.03 | 1.03 | 1.03 | 1.03 | 1.03 | 1.03 | 1.03 |
| 5 | ļ., | 空氣溫度 ℃ | 12.0 | 12.0 | 12.0 | 12.0 | 12.0 | 12.0 | 12.0 | 12.0 |
| 6 | 壓 | く スプリングの縮み mm | . 0 | 0 | 0 | 0 | 0 | 0 | 0 | 0 |
| 7 | 着力 | 縮みに對する力 Kg | 0 | 0 | 0 | 0 - | 0 | 0 | 0 | 0 |
| 8 | 打 | 打擊數每分,1/min | 970 | 970 | 980 | 990 | 980 | 960 | | 983 |
| 9 | 撃 | 山の高さ mm | . (7.2) | (7.2) | 5.1 | 5.2 | 5.1 | (7.0) | | 5.1 |
| 10 | 曲 | 1 打撃の仕事量 m-Kg | (1.14) | (1.14) | 0.57 | 0.59 | 0.57 | (1.08) | | 0.58 |
| 11 | 線 | 1 分間の 仕事 量 m-Kg/min | (1070) | (1070) | 557 | 585 | 557 | (1038) | | 566 |
| 12 | | ピストン衝程 mm | 102.5 | 102.5 | 102.5 | 102.5 | 101.25 | 102.5 | 110.0 | |
| 13 | 前 | 所要時間 Sec | 0.0294 | 0.0294 | 0.0256 | 0.0256 | 0.0251 | 0.0263 | 0.0300 | |
| 14 | 進 | 速 度 m/Sec | 3.49 | 3.49 | 4.00 | 4.00 | 4.00 | 3.90 | 3.67 | |
| 15 | 後(| 「所要時間 Sec | 0.0330 | 0.0342 | 0.0348 | 0.0363 | 0.0330 | 0.0328 | 0.0322 | |
| 16 | 退 | 速 度 m/Sec | 3.11 | 3.00 | 2.95 | 2.83 | 3.07 | 3.13 | 3.42 | |
| 17 | | 所要時間 Sec | 0.0624 | 0.0636 | 0.0604 | 0.0619 | 0.0581 | 0.0591 | 0.0622 | |
| 18 | 往復 | 換算打壓數 1/min | 963 | 945 | 995 | 970 | 1030 | 1015 | 965 | |
| 19 | | / 換算距離 "S" mm | 105.0 | 105.0 | 105.0 | 105.0 | 101.0 | 102.2 | 110.0 | |
| 20 | 衝 | 換算時間 "7' _H " Sec | 0.0218 | | · | 0.0206 | · | 0.0200 | | |
| 21 | | 速 度 m/Sec | 4.82 | 4.80 | 5.10 | 5.10 | 4.60 | 5.10 | 4.85 | |
| 22 | nteres | 衝撃時にピストン の持つエネルギーm-Kg | 0.796 | 0.788 | 0.890 | 0.890 | 0.715 | 0.895 | 0.805 | |
| 23 | 撃 | 1分間の衝撃 エネルギー m-Kg/min | 767 | 745 | 885 | 864 | 736 | 908 | 778 | **: * * |
| 24 | | 隙間の長さ、 mm | 25.0 | 25.0 | 25.0 | 25.0 | 27.5 | 23.8 | 20.0 | |
| 25 | | 隙間容積 % | 20.0 | | 100 | 1.1 | | 4. | | |
| 26 | | | | 20.0 | 20.0 | 20.0 | 22.0 | 19.0 | 20.0 | *. * |
| | 1 | 機体振動の幅 mm | 1.5 | 1.5 | 1.5 | 2.0 | 2.0 | 1.5 | 1.5 | |

第 2 表 の 7

R A 10.500

| | 記 | 1 . | | í | 錄 | I | I | II | IV | V | . VI | VII | Mean |
|----|--------|-----|-------------|-----------|--------------------|--------------|--------------|--------------|--------------|--------------|--------------|--------------|--------------|
| 1 | | 實 | 驗 | 番 | 號 | R10A 5001 | R10A 5002 | R10A 5003 | R10A 5004 | R10A 5005 | R10A 5006 | R10A 5007 | R 10 A 50 |
| 2 | 空(| 絕 | 對 | 壓 | Kg/cm ² | 6.03 | 6.03 | 6403 | 6.03 | 6.03 | 6.03 | 6.03 | 6.03 |
| 3 | 氣壓 | ゲ | ~ ジ | 壓 | Kg/cm ² | 5.00 | 5.00 | 5.00 | 5.00 | 5.00 | 5.00 | 5.00 | 5.00 |
| 4 | 第[| 大 | 氣 | 壓 | Kg/cm ² | 1.03 | 1.03 | 1.03 | 1.03 | 1 .03 | 1.03 | 1.03 | 1.03 |
| 5 | | 24 | 氣 溫 | 度 | °C | 15.0 | 15.0 | 15.0 | 15.0 | 15.0 | 15.0 | 15.0 | 15.0 |
| 6 | 壓(| 、ス | プリン | グ の i | 簡み mm | 0 | . 0 | . 0 | 0 | 0 | 0 | 0 | 0 |
| 7 | 力 | 縮 | みに對 | する | カ Kg | - 0 | 0 | 0 | 0 | 0 | 0 - | 0 | 0 . |
| 8 | J. 1 | 打 | 擊數包 | 非分 | ¹/min | 1040 | 1040 | 1050 | 1030 | 1030 | 1040 | | |
| 9 | 擊 | Щ | の高 | 3 | mm | 8.3 | 8.1 | 7.5 | 7.4 | 7.6 | 8.2 | | |
| 0 | 画 | | 「撃の仕 | :事量 | k m-Kg | 1.51 | 1.44 | 1.24 | 1.20 | 1.27 | 1.47 | | |
| 1 | 線 | | ト間の 亡事 量 | t m | -Kg/min | 1570 | 1500 | 1305 | 1235 | 1310 | 1530 | | |
| 2 | | F. | ストン行 | 重程 | mm | 110.0 | 112.5 | 113.75 | 112.5 | 113.75 | 108.75 | 108.75 | |
| 13 | 前(| 所 | 要時 | 間 | Sec | 0.0223 | 0.0238 | 0.0248 | 0.0241 | 0.0246 | 0.0236 | 0.0234 | |
| 4 | 進 | 速 | | 度 | m/Sec | 4.93 | 4.63 | 4 58 | 4.67 | 4 62 | 4.61 | 4.64 | |
| 5 | 後」 | 所 | 要時 | 間 | Sec | 0.0298 | 0.0300 | 0.0322 | 0.0309 | 0.0328 | 0.0327 | 0.0339 | |
| 16 | 退 | 速 | | 度 | m/Sec | 3.69 | 3.67 | 3.53 | 3.64 | 346 | 3.33 | 3.21 | |
| 7 | | 所 | 要時 | 間 | Sec | 0.0521 | 0.0538 | 0.0570 | 0.0550 | 0.0574 | 0.0563 | 0.0573 | |
| 18 | 往復 | 換 | 算打具 | 隆數 | ¹/min | 1150 | 1115 | 1052 | 1090 | 1046 | 1065 | 1048 | |
| 19 | . (| 換 | 算距離 | "s" | mm | 111.25 | 112.5 | 115.0 | 115.0 | 113.75 | 113.75 | 112.5 | |
| 20 | 衝 | 換 | 算時間 | " T_H | " Sec | 0.0194 | 0.0176 | 0.0195 | 0.0188 | 0.0200 | 0.0183 | 0 0186 | |
| 21 | { | 速 | water | 度 | | 5.74 | 6.39 | 5.91 | 6.12 | 5.70 | 6.21 | 6.06 | |
| 22 | 壓 | の非 | 経時に と | ルキ | ∵ – m-Kg | 1.13 | 1.40 | 1.20 | 1.28 | 1.11 | 1.32 | 1.25 | |
| 23 | 1 7.7 | レエ | プ問の種 ネルギ | P学 一 m | -Kg/min | 1300 | 1560 | 1260 | 1394 | 1160 | 1405 | 1310 | |
| 24 | | 隙 | 間の」 | 長き | mm | 22.5 | 18.0 | 20.0 | 20.0 | 18 0 | 21.25 | 21.25 | |
| 25 | | 隙 | 間容 | 積 | % | 18.0 | 14.4 | 16.0 | 16.0 | 14 4 | 17.0 | 17-0 | |
| 26 | | 機 | 体振動 | の幅 | mm | 2.0 | 2.05 | 2.0 | 2.55 | 2.0 | 2.0 | 2.0 | |

第 2 表 の 8

R 10 A 600

| | | 10 A 600 | | | | | | 2.5 | | | | |
|------|----------|------------------|------------|--------------------|---------------|--------------|--------------|--------------|--------------|--------------|--------------|------------|
| | ä |) | í | 餘 | Ī | I | I | IV | V | VI | VII | Mean |
| 1 | | 實驗 | 番 | 號 | R10 A 6001 | R10A 6002 | R10A 6003 | R10A 6004 | R10A 6005 | R10A 6006 | R10A 6007 | R10A 60 |
| 2 | 空〔 | 絕 對 | 壓 | Kg/cm ² | 7.03 | 7.03 | 7.03 | 7.03 | 7.03 | 7.03 | 7.03 | 7.03 |
| | 氣 | ゲージ | 壓 | Kg/cm ² | 6.00 | 6.00 | 6.00 | 6.00 | 6.00 | 6.00 | 6.00 | 6.00 |
| 4 | カし | 大 氣 | 壓 | Kg/cm ² | 1.03 | 1.03 | 1.03 | 1.03 | 1.03 | 1.03 | 1.03 | 1.03 |
| 5 | | 空氣溫 | 度 | $^{\circ}$ C | 15.0 | 15.0 | 15.0 | 15.0 | 15.0 | 15.0 | 15.0 | 15.0 |
| 6 | 壓(| スプリンク | グの | 縮み mm | 0 | 0 | 0 | 0 | 0 | 0 | 0 | 0 , . |
| 7 | 着力 | 縮みに對す | るナ |) Kg | 0 | 0 | - 0 | 0 | 0 | 0 | 0 | 0 |
| 6 | ŧг | 打擊數每 | i 分 | ¹/min | 1120 | 1110 | 1100 | 1100 | 1100 | | | 1112 |
| - 1 | 撃 | 山の高 | 3 | mm | 9.2 | 9.4 | 9.1 | 9.0 | 9.0 | | | 9.1 |
| lo. | 曲 | 1 打撃の仕 | 上事力 | 置 m-Kg | 1.85 | 1.94 | 1.81 | 1.78 | 1.78 | _ | | 1.83 |
| 1 | 線 | 1 分間の L 仕 事 量 | m | -Kg/min | 2070 | 2150 | 1990 | 1960 | 1960 | | | 2026 |
| 2 | | ピストン作 | 前程 | mm | 114.0 | 115.0 | 112.5 | 112.5 | 1170 | 117.0 | 116.25 | |
| 3 | 前了 | 所要時 | 間 | Sec | 0.0233 | 0.0226 | 0.0240 | 0.0206 | 0.0240 | 0.242 | 0.0236 | |
| 4 | 進 | 速 | 度 | m/Sec | 4.90 | 5.10 | 4.70 | 5.46 | 4.88 | 4.83 | 4.93 | |
| 5 | · 後 (| 所要時 | 間 | Sec | 0.0300 | 0.0315 | 0.0303 | 0.0318 | 0.0288 | 0.0305 | 0.0296 | |
| 6 | 退 | 速 | 度 | m/Sec | 3.80 | 3.65 | 3.71 | 3.53 | 4.06 | 3.84 | 3.93 | |
| 7 | (| 所. 要 時 | 間 | Sec | 0.0533 | 0.0541 | 0.0543 | 0.0524 | 0.0528 | 0.0547 | 0.0532 | |
| 8 | 往復 | 換算打霉 | 遂数 | ¹/min | 1125 | 1108 | 1098 | 1146 | 1137 | 1098 | 1147 | |
| 9 | | 換算距離 ' | "S" | mm | 123.0 | 121.0 | 118.5 | 117.5 | 125.0 | 125.0 | 117:5 | |
| 20 | 衝 | 換算時間 | " T_H | " Sec | 0.0190 | 0.0187 | . 0.0193 | 0.0180 | 0.0192 | 0.0192 | 0.0172 | |
| 81 | l | 速 | 度 | m/Sec | 6.5 | 6.5 | 6.33 | 6.50 | 6.50 | 6.52 | 6.85 | |
| 2 | 藪 | 衝撃時にピ の持つエネ | | | 1.445 | 1.445 | 1.380 | 1.450 | 1.450 | 1.460 | 1.610 | |
| 23 | | 1 分間の衝 、エネルギ | 擊 - m | -Kg min | 1630 | 1600 | 1517 | 1660 | 1650 | 1600 | 1850 | |
| . 24 | | 隙間の長 | | mm | 16.3 | 17 5 | 17.5 | 17.5 | 16.25 | 16.25 | 13.75 | |
| 5 | | 隙間容 | | % | 13.0 | 14.0 | 14.0 | 14.0 | 13.0 | 13.0 | 11.0 | |
| 26 | | 機体振動。 | | / | 2.55 | 2.50 | 2.50 | 2.50 | 2.50 | 3.00 | 2.75 | |

反應管における流速、温度および 組成分布の間の關係について

進藤盆男

On the Relation between Temperature Distribution and Yield on Flow Velocity in the Reaction Tube

Masuo Shindo

Abstract

Firstly, supposing the reaction heat produced in the externally cooled reaction tube assuming the reaction of 1st order, the present investigator has tested the relation between temperature distribution and yield on flow velocity, taking into concideration the fact that thermal conductivity undergoes some change according to flow velocity and it is rather anisotropic in the turbulent stage.

Secondly, he has formulated the temperature distribution and conversion degree of the reaction gas mixture in the heat exchanger type reactor as the function of space velocity and inlet gas temperature. In case there is some change in flow velocity and inlet gas temperature, he has discussed how temperature distribution and yield changes, showing, for example, the working behavior of the synthetic ammonia reactor numerically analysed.

§ 1. 序 言

外部冷却式反應管の最高溫度上昇と流速との關係については見玉氏¹⁾等の研究がある。 管長が充分長ければ流速を上げるに從い最高溫度上昇は高くなり,其の位置はより入口より 奥になるという結果が述べられている。しかし此は流れの狀態が層流の場合であつて,流れ の方向の熱傳導度も流れに垂直な方向のものも同じであり,又其の値が流速によつて變らな いと假定しての結果である。流れの狀態は通常の操業状況では亂流であり,熱傳導度は分子 運動論的なもの,觸媒充填層の場合の觸媒粒子間の輻射によるものの外に亂流による流體力 學的混合運動によるものが加わつてくる。亂流によるものは流れに垂直な方向のものの方が 流れの方向のものより大であり,亂流における反應管の溫度と流速の關係を追及するには,

¹⁾ 兒玉, 福井。 化學機械 12 (1948) p. 24. 兒玉, 福井, 川崎: 同上 12 (1948) p. 26,

熱傳導度の異方向性および其の値が、流速を大にするに從つて大となることを考慮しなければならない。本報告の前半は此の問題に闘するものである。

反應管の流速,溫度,組成分布,收率の間の關係は反應管の化學工學的研究にとつて本來の目標である。熱交換型反應管に對する從來の研究は,組成分布,發熱量(吸熱量)の分布を豫め場所の函數として假定し,溫度分布を求めるという進め方をしているので最も重要な流速と收率又は收量の關係に對して全然論及出來なかつた「)。本報告の後半では HARBER-BOSCH 法と同じ型の NH。合成管について,NH。合成速度に對し溫度,組成の函數として或る形を假定し,前記の問題に關する具體的な數值計算を行つてみたのである。

§ 2. 外部冷却式反應管における流速と最高温度上昇との關係

半徑 R の半無限長圓鑄型反應管を考え半徑方向の座標は軸上より r 軸方向の座標は入口より測つて l とする。比熱 c 密度 ρ の反應物が速度 v で軸方向に流れているものとし管壁における熱貫流率を U,單位體積當りの反應速度 (接觸反應であれば觸媒充填層單位體積當り) を σ 反應熱を σ とする。 σ は觸媒充填層の場合は空管とした場合の見掛けのものとし,簡單のため組成變化によらず管中一定とする。流れに垂直な方向の熱傳導度を σ 洗れの方向のものを σ とすれば,反應管內の溫度 σ の満足する基礎微分方程式は

$$K\left(\frac{\partial^2 \theta}{\partial r^2} + \frac{1}{r} \frac{\partial \theta}{\partial r}\right) + K' \frac{\partial^2 \theta}{\partial l^2} - c\rho v \frac{\partial \theta}{\partial l} + q\theta = 0 \tag{0}$$

次に簡單のために Ø の形を, 反應があたかも恒温で一次的に進むと假定する。

$$\Phi = (A)_0 \ k \exp\left(\frac{-kl}{v}\right) \tag{2}$$

(A)。は入口における反應物 A の濃度、k は反應速度常數である。反應物の入口溫度を θ_a 、反應管は外部より一定溫度 θ_a 。で冷却されているものとし境界條件を次の如く置く。

$$r = R -K \frac{\partial \theta}{\partial r} = U(\theta - \theta_0) (3)$$

$$l=0 \qquad \theta=\theta_a \qquad (4)$$

さて

$$a = \frac{q(A)_0 kR^2}{K}, \quad \beta = \frac{kR}{v}, \quad \gamma = \frac{c\rho vR}{K}, \quad \delta = \frac{K'}{K}$$

$$h = \frac{UR}{K}, \quad \frac{l}{R} = x, \quad \frac{r}{R} = y$$
(5)

¹⁾ 進藤: 北大工彙報, 第 3 號. p. 97.

と置くと(1)(3)(4)は

$$\frac{\partial^2 \theta}{\partial y^2} + \frac{1}{y} \frac{\partial \theta}{\partial y} + \delta \frac{\partial^2 \theta}{\partial x^2} - \gamma \frac{\partial \theta}{\partial x} + \alpha e^{-\beta x} = 0$$
 (6)

$$y = 1.0 \qquad \frac{\partial \theta}{\partial y} + h(\theta - \theta_0) = 0 \tag{7}$$

$$x = 0. \theta = \theta_a (8)$$

以上は K と K' を區別し δ なる記號を導入した以外は兒玉氏等の報告と同じ記號を使い参照に便にした。

$$\theta = \theta_0 + \theta_1 + \theta_2 \tag{9}$$

とし θ_1 は次の方程式を滿足する如く定める。

$$\frac{\partial^2 \theta_1}{\partial y^2} + \frac{1}{y} \frac{\partial \theta_1}{\partial y} + \delta \frac{\partial^2 \theta_1}{\partial x} - \gamma \frac{\partial \theta_1}{\partial x} + ae^{-\beta x} = 0$$
 (10)

$$y = 1.0 , \frac{\partial \theta_1}{\partial y} + h\theta_1 = 0 \tag{11}$$

(10), (11) を解いた結果

$$x = 0, \qquad \theta_1 = f(y) \tag{12}$$

となつたものとし θ₂ は次の如く定める。

$$\frac{\partial^2 \theta_2}{\partial y^2} + \frac{1}{y} \frac{\partial \theta_2}{\partial y} + \delta \frac{\partial^2 \theta_2}{\partial x^2} - r \frac{\partial \theta_2}{\partial x} = 0 \tag{13}$$

$$y = 1.0 , \qquad \frac{\partial \theta_2}{\partial y} + h\theta_2 = 0$$
 (14)

$$x = 0 , \qquad \theta_2 = \theta_a - \theta_0 - f(y) \tag{15}$$

そう出來れば (9) の表わす θ は (6), (7), (8) を滿足する。

$$\varepsilon^2 = \beta \left(\beta \delta + \tau\right) = \frac{k^2 R^2}{\sigma^2} \delta + \frac{kc\rho R^2}{K} \tag{16}$$

とすれば θ_1 及び θ_2 は次の如くなる。

$$\theta_1 = \frac{\alpha}{\varepsilon^2} \left\{ \frac{hJ_0(\varepsilon y)}{\varepsilon J_0'(\varepsilon) + hJ_0(\varepsilon)} - 1 \right\} e^{-\beta x} \tag{17}$$

$$\theta_{2} = \sum_{i} \frac{2b_{i}^{2}}{(h^{2} + b_{i}^{2}) J_{0}(b_{i})^{2}} \left\{ \frac{\alpha}{\varepsilon^{2}} \frac{hJ_{0}(b_{i})}{(\varepsilon^{2} - b_{i}^{2})} - \left(\theta_{a} - \theta_{0} + \frac{\alpha}{\varepsilon^{2}}\right) \frac{1}{b_{i}} J_{0}'(b_{i}) \right\} J_{0}(b_{i}y) \varepsilon^{a_{i}x}$$

$$(18)$$

ここに l_1 は J_1 , J_0 を各々 1 次及び零次の Bessel 函數とし

$$bJ_1(b) - hJ_0(b) = 0 (19)$$

なる方程式の、i 番目の正根であり ai は

$$\partial a^2 - \gamma a - b\epsilon^2 = 0 \tag{20}$$

の資根である。 結局

$$\theta = \theta_0 + \frac{\alpha}{\varepsilon^2} \left\{ \frac{hJ_0(\varepsilon y)}{hJ_0(\varepsilon) - \varepsilon J_1(\varepsilon)} - 1 \right\} e^{-\beta w}$$

$$+ \sum_{\epsilon} \frac{2b_{\epsilon}^2}{(h^2 + b_{\epsilon}^2)J(b_{\epsilon})^2} \left\{ \frac{\alpha}{\varepsilon^2} \frac{hJ_0(b_{\epsilon})}{(\varepsilon^2 - b_{\epsilon}^2)} + \left(\theta_a - \theta_0 + \frac{\alpha}{\varepsilon^2}\right) \frac{1}{b_{\epsilon}} J_1(b_{\epsilon}) \right\} J_0(b_{\epsilon} y) e^{\alpha \varepsilon x^2}$$
(21)

或は

$$\theta = \theta_0 + \frac{\alpha}{\varepsilon^2} \left\{ \frac{hJ_0(\varepsilon y)}{hJ_0(\varepsilon) - \varepsilon J_1(\varepsilon)} - 1 \right\} e^{-g_{\pi}}$$

$$+ \sum_{\epsilon} \frac{2b_{\epsilon}h^2}{(h^2 + b_{\epsilon}^2)J_1(b_{\epsilon})} \left\{ \frac{\alpha}{\varepsilon^2} \frac{1}{(\varepsilon^2 - b_{\epsilon}^2)} + \left(\theta_a - \theta_0 + \frac{\alpha}{\varepsilon^2}\right) \frac{1}{b_{\epsilon}^2} \right\} J_0(b_{\epsilon}y) e^{a_{\epsilon}x}$$
(21)

今 $\theta_a=\theta_0=0$ と置くと θ は管内と管外との温度差になる。管軸上 y=0 の温度を θ_s とすると

$$\theta_s = \frac{\alpha}{\epsilon^2} \left\{ \left(\frac{h}{hJ_0(\epsilon) - \epsilon J(\epsilon)} - 1 \right) e^{-\beta s} + \sum_{\epsilon} \frac{2 h \epsilon^2}{(h^2 + b_{\epsilon}^2)(\epsilon^2 - b_{\epsilon}^2) J_0(b_{\epsilon})} e^{a_{\epsilon} x} \right\}$$

$$= \frac{\alpha}{\epsilon^2} \left\{ \left(\frac{h}{hJ_0(\epsilon) - \epsilon J_1(\epsilon)} - 1 \right) e^{-\beta s} + \sum_{\epsilon} \frac{2 h^2 \epsilon^2}{b_{\epsilon}(h^2 + b_{\epsilon}^2)(\epsilon^2 - b_{\epsilon}^2) J(b_{\epsilon})} e^{a_{\epsilon} x} \right\}$$
(23)

(20)~(23) において K=K', 即ち $\delta=1.0$ と置けば兒玉氏等の式と一致する。 もし

$$\varepsilon = b_n$$
 (24)

ならば (21), (22) の中には形式上無限大になる頂が出てくるが共等の頂は相殺し次の如くなることが確められる。

$$\theta = \theta_0 - \frac{\alpha}{\varepsilon^2} e^{-\beta \cdot v} + \sum_{\epsilon} \frac{2b_{\epsilon}^2}{(h^2 + b_{\epsilon}^2)J_0(b_{\epsilon})} \left(\theta_a - \theta_0 + \frac{\alpha}{\varepsilon^2}\right) J_0(b_{\epsilon}y) e^{a_{\epsilon}x}$$
(24)

又もし發熱量が反應管內到る所均一であれば基礎方程式は (2), (1) における $\exp\left(-\frac{kl}{v}\right)$ な

る頂の代りに 1.0 と置いたものと同形となり (10) に相當するものは次の如くなる。

$$-\frac{\partial^2 \theta}{\partial y^2} + \frac{1}{y} - \frac{\partial \theta}{\partial y} + \delta \frac{\partial^2 \theta}{\partial x^2} - \gamma - \frac{\partial \theta}{\partial x} + \alpha = 0$$
 (25)

此を前と同様に解けば

$$\theta = \theta_{0} + \frac{a}{4} \left(\frac{2+h}{h} - y^{2} \right) + \sum_{\epsilon} \frac{2h}{(h^{2} + b_{\epsilon}^{2}) J_{0}(b_{\epsilon})} \left\{ h(\theta_{a} - \theta_{0}) - \frac{a}{b_{\epsilon}^{2}} \right\} J_{0}(b_{\epsilon}y) e^{\alpha_{\epsilon}x}$$
(26)
$$\theta_{s} = \frac{a}{4} \left(\frac{2+h}{h} \right) - \sum_{\epsilon} \frac{2h\alpha}{(h^{2} + b_{\epsilon}^{2}) J_{0}(b_{\epsilon}) b_{\epsilon}^{2}} e^{\alpha_{\epsilon}x}$$

$$= \frac{a}{4} \left(\frac{2+h}{h} \right) - \sum_{\epsilon} \frac{2h^{2}a}{(h^{2} + b_{\epsilon}^{2}) b_{\epsilon}^{3} J_{1}(b_{\epsilon})} e^{\alpha_{\epsilon}x}$$
(27)

(26), (27) において 1→∞ とすれば管原氏等1) の式が得られる。

もとの問題に歸つて少し吟味してみよう。 δ は ϵ の値を決める (16) 右邊第一項の中化入つているが v が大きくなると其の頂は小となり、 ϵ は δ に殆ど依らなくなる。又 (23) 等においては $|a_i|$ の小なる頂が効いてくるが其の a_i を決める (20) 中の δa^2 は小さく殆ど効いてない。そうであれば K' が 0 と異なる値を持つことは v が小さい場合にのみ重要であるということになる。

次に層流の場合は K=K'で v を大きくしても K の値は變らないから、兒玉氏等 2 の 示すように v の増加に從い、最高温度上昇は漸次上がり又最高温度になる位置はより入口より遠くなる。しかし亂流の狀態では v が大となるに従い K が大となるから ε は小となる。 $\varepsilon \to 0$ なる場合の (23) の括弧内第一頂は

$$\frac{\varepsilon^2}{4}\left(\frac{2+h}{h}\right)$$

に收斂する。そうすれば共通因數 $\frac{a}{\epsilon^2}$ を乗じ (23) の各頂はすべて α に比例することになる。 α は K に逆比例するから v が大になるに従い最高温度上昇は大略 K に逆比例して小さくなることが豫想される。ただしこれは v の U と K に對する影響が相殺され v によって k が變らない場合か,又は U が非常に大なるため (傳熱の抵抗が殆ど管内にある) k が大である場合である。實驗室で用いる小型の反應管の場合,すでに飢流の狀態であるに拘らず v を大きくした場合最高温度上昇が増大することがしばしば經驗される。此は U が小さく (傳熱の抵抗が殆ど管外にある) k は小で,其の上 v を増しても管内の狀態が變化するだけで V が變らない場合だからである。

(例 1) 例として見玉氏等の與えたモノヴィニルアセチレンの水素添加によるブチレン
の製造試験を取る。見玉氏等は其の温度分布に對する實測結果を (23) において δ = 1.0 と
した式を用い次の様な數値を使い近似的に表わし得た。

$$R = 0.0125,$$
 $k = 648,$ $v = 280$ $q = 60,$ $K = 0.2,$ $(A)_0 = 2.2,$ $c\rho = 0.27$

單位は m, kg, hr, kcal, mol である。計算値は最高温度上昇は $(\theta_z)_{max}=35.2$,最高温度の位置は $(l)_{max}=0.10$ であり第一圖の (I) に此を示する

さて此の場合の組成、管壁温度、充填物の大さ d_{μ} 等は不明であるので $Re \equiv \left(\frac{d_{\mu}v\rho}{\mu}\right)$ ははつきり分らないが

$$\rho = 0.27,$$
 $d_k = 0.005,$ $\mu = 0.1$

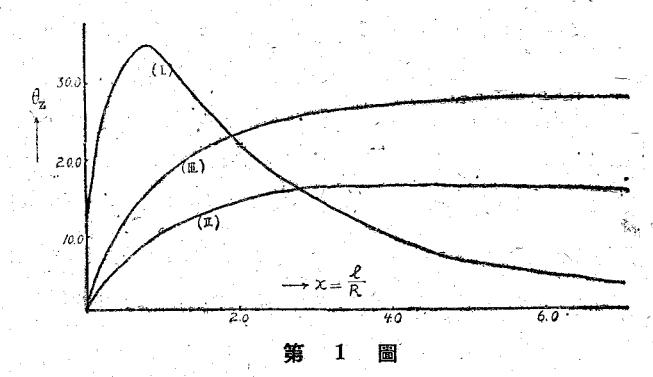
¹⁾ 菅原, 近藤: 日本機械學會論文集 No. 27, II (昭 16, 5月) p. 23.

²⁾ 前出

とすれば (Re) = 4.0 となる。CHILTON 等 $^{\circ}$ によれば充塡層においては層流から離流への移動は (Re) が 40 程度のところで起る。よつて此の場合の實驗狀況は層流であり,少しばかり v を増しても依然層流であり,最高温度上昇は上るであろう。今 v を 10 倍して (Re) が 40.0 に達し完全に亂流の狀態になつたとしてみる。亂流による熱傳導度 λ_r λ_r は

$$\lambda_r = \lambda_0 g \left(\frac{d_k}{d} \right) \left(\frac{Re}{1000} \right)^{0.83}$$

 λ_0 は通常の分子運動による熱傳導度で今は 0.2 である。d はここの記號の R, $g\left(\begin{array}{c} d_k \\ d \end{array}\right)$ は $\frac{d_k}{d}$ の或る定まつている函数である。此の表式から大體の値を推定すれば $\lambda_r = 0.27$ となる。輻射によるものは無視し K=0.2+0.27=0.47, K'=0.2 とし,先ず h は U 及び K に 對する v の影響が相殺され不變として θ_z の分布を計算してみると 第 1 圖 (II) の如くなり $(\theta_z)_{\max} = 16.5$, $(l)_{\max} = 0.50$ となる。 $(\theta_z)_{\max}$ を (I) と比較すれば大略 K に逆比例した値となつている。v を更に増せば本文で述べたように $(\theta_z)_{\max}$ は K に逆比例して益々小さくな



る。次に v によつて K のみが増加して U は前のまま、即ち h が小さくなるとして計算すれば第1圖(III)の如くなり $(\theta_s)_{\max}=28.6$, $(l)_{\max}=0.72$ となり最高溫度上昇は (I) の場合よりやや小さくなつている。此の場合は U が K に比べて比較的大きく h が相當大きい場合である。

§ 3. 内部熱交換式反應管における流速と温度, 收率の關係

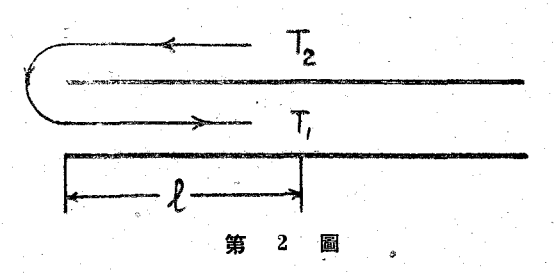
第2圖のような、反應物は低溫度で反應層の外部を流れて此を冷却しつつ自身の溫度を高め、然る後流れの方向を逆轉し反應層內に入る最も簡單な形式を考える。反應層の入口より測つた座標を1とし、流れの方向に直角な斷面は1によつて異ならないとする。又例えば反應層が圓鑄型であれば溫度および組成は1のみならず管軸よりの距離にも依存するが、こ

¹⁾ CHILTON & COLBURN: Ind. Eng. Chem., 23 (1931) p. 913.

²⁾ 進藤: 前出

こでは簡單のため反應層內の溫度 T_1 ,外側流體の溫度 T_2 ,反應物の組成は 1 のみに依存する

ものとする。反應による發生熱量を 1 の函數として(2)と同様に假定した小西氏等10の研究があるが、ここでは反應速度を全壓、組成、温度の函數として知つて置て此を基礎として流速と温度上昇との關係のみならず最も重要な目標である收量との關係をも



追求しようとするのである。簡單のため反應は一つとする。

 N_i : 流れの方向に垂直な反應層單位斷面を單位時間に通過する i なる化學種の kg-mol g kg-mol/g hr

Ní: 同じく外側流動層に對するもの。此は1によらず一定である。

Ci: i なる化學種の kg·mol 熱容量。

A: 流れの方向に垂直な反應層總斷面積。m²

B: 同じく外側流動層に對するもの。

V: 反應層單位體積當りの1なる生成物の生成速度。kg-mol/m³·hr

Q: 1 なる生成物 1 kg-mol 當りの反應熱。Kcal/kg-mol

U: 熱貫流率。Kcal/m²·hr·℃

F: 全熱交換面積。 m^2

L: 反應層の長さ。m

 C_i は温度によつて N_i は l によつて變るが簡單のため $\sum\limits_i C_i N_i$ 、 $\sum\limits_i C_i N_i'$ は l に依らないとする。又亂流で流れの方向の傳熱を無視し得るとすれば

$$\frac{dN_1}{dI} = V \tag{28}$$

$$A \sum_{i} C_{i} N_{i} \frac{dT_{1}}{dl} = AVQ - \frac{FU}{L} (T_{1} - T_{2})$$

$$\tag{29}$$

$$-B \sum_{i} C_{i} N_{i}' \frac{dT_{2}}{dl} = \frac{FU}{L} (T_{1} - T_{2})$$

$$(30)$$

今 0 なる添字で l=0 の所の値とし

$$N = \sum_{i} N_{i} \qquad \frac{N_{i}}{N_{0}} = y_{i} \tag{31}$$

とすれば (28) の代りに

$$\frac{dy_1}{dl} = \frac{V}{N_0} \tag{32}$$

¹⁾ 小西: 戰時研究.

$$N_0(y_1 - y_{1\cdot 0}) = \int_0^1 V \, dl \tag{33}$$

(29) と (30) を邊々相加え積分して (33) を使えば

$$A \sum_{i} C_{i} N_{i} (T_{1} - T_{1,0}) - B \sum_{i} C_{i} N_{i}' (T_{2} - T_{2,0})$$

$$= A Q \int_{0}^{l} V dl = AQ N_{0} (y_{1} - y_{1,0})$$
(34)

即ち T_1 , T_2 , N_1 (或は y_1) の間には一つの關係があり (28), (29), (30) なる三元方程式は二元になし得る。此等の三元或は二元聯立一階常微分方程式は V が T_1 , N_1 等の複雜な函数なので非線型であり解に對する簡單な表式は得られない。しかし其の中に含まれている常数が具體的に與えられるか,V, 其のものの數値が與えられれば數値積分法 (例えば RUNGE-KUTTAの方法) で具體的に解くことが出來る。

實例をあげる前に定性的考察をなして置く。

$$A \sum C_i N_i = BC_i N_i' = AN_i \bar{C}$$

としてみると

$$\frac{dT_1}{dl} = \frac{VQ}{N_0 \overline{G}} - \frac{FU}{AL} \frac{1}{N_0 \overline{G}} (T_1 - T_2) \tag{35}$$

$$\frac{dT_2}{dl} = -\frac{FU}{AL} \frac{1}{N_0 \bar{G}} (T_1 - T_2) \tag{36}$$

U は流速の從つて又 N_0 ϕ 0.8~0.9 乘に比例すると見做し得るから $U/N_0\overline{C}$ は N_0 を増すに 從つて減少する傾向にある。故に

- a) A, L, F を一定にして置き N_0 を從つて又空間速度を増せば y_1 , T_1 , T_2 等の l に對する傾きは少くとも l=0 のところでは小さくさる。全體として其の分布は平均値からのへだたりが小さくなり l に對する分布曲線は平らになる。
- b) 貫流率Uを大にするようにすれば (例えばBを小さくして) 反應Eの後半でE1, E2, が全體として下りかならずしも有利になるとは限らない。
- c) 空間速度,反應層の體積 AL を(接觸反應であれば觸媒量を)一定にし反應管の形を 變える場合に對しては,(32)より定性的に直に y_1 の全變化に對して何等言うことは出來な $v_0^{(1)}$ U は A, B, N_0 に依るから T_1 の分布が y_1 の變化其の他に對して最も有利となるように $FU/(AL)(N_0\bar{C})$ がきまる如く A, B, F の値を吟味選擇しなければならない。此の場合 A を一 定にして置いても 觸媒充塡管の数を増して F を大きくすることが出來る。 熱傳達率は管徑 とか相當直徑を小さくすれば大きくなるから(質量速度を一定にして置けば)U は大になる。 結局 FU は大となる。 FU が大きくなつても U を大きくした場合と同様に反應層の後半の

¹⁾ 入口温度を固定して Lを大にした場合全體として温度が下ることになる。

温度が下りすぎればかならずしも有利でない。

(例 2) HARBER-BOSCH 法による NH₈ 合成の 1 例¹⁾を見ると、温度は反應初期 550~600°C, 反應終期 470~510°C, 觸媒量 615 l, 空間速度 18,000~26,000, 操業壓力 300 Atm, 合成管の大きさは外徑 660, 內徑 500 高さ 12,000 mm. NH₈ 濃度は合成前 1.5~2 %, 合成後 8~12% となつている。合成管の高さの中反應層の長さは 7.5 m 程度であろう。温度とか NH₈ の出口濃度が大略上記の値になるように反應速度 V の形を假定し、次に流速或は反應層入口温度を變えた場合、其が温度分析、收量にどう影響してくるか實算してみる。

合成管の寸法は詳細に分らないが小西氏の研究に出ているものなどを参照し觸媒充填管は內徑 50,外徑 60,長さ 7,460 mm のもの 48 本,其の中 18 本は月型の斷面を持つとする。 觸媒充填管を其の中に入れている圓疇管の內徑は 440 mm,中央に 100 mm の管があるとする。結局

$$A = 0.0825 \text{ m}^2$$
, $F = 56.25 \text{ m}^2$, $L = 7.46 \text{ m}$

艦媒充填層體積 615 l, B=0.0480 m^2 , 相當直徑 =0.022 m とする。 空間速度は入口ガスについて 22,000, 従つてガス送入量は 604 kg-mol/hr, 入口の NH。は 1.75% 即ち 10.58 kg-mol/hr,入口溫度 540°C とする。 C_i は常壓の値に高壓に對する補正を加え次の如く假定する。 但し觸媒層平均溫度は 550°C,外側流體平均溫度は 490°C と見做し,此の二つの溫度に おけるもので代用する。

| | | | C_{NH_3} | C_{N_2} | C_{H_2} |
|---|---|-----------|------------|-----------|-----------|
| 觸 | 媒 | 廥 (550°C) | 14.03 | 7.26 | 7.09 |
| 外 | | 側 (490°C) | 14.06 | 7.28 | 7.09 |

次に V は次の諸點を考慮してきめる。二重に助觸された Fe 觸媒による NH。合成速度は EMMETT等の報告している實測値を著者が解折したところによると 475° C では高壓になるに従い P に比例する形式より P^2 に比例する形式へ移る 2)。又 $370\sim450^{\circ}$ C $33.3\sim100$ Atmの實測値を檢討したところによると溫度を上げるに従い P^n に比例するとすると n なる指數が大きくなる $(400^{\circ}$ C では n=1.0 である $)^{31}$ 。よつて P=300,反應層平均溫度 550° C 程度とし P^2 に比例する速度表式を假定する。活性化エネルギーは LARSON等の 31.6 Atm. 420° C 及び 450° C の實驗より推定した値 21.6 Kcal を参照し 4 25 Kcal とする。結局

$${\it V}_{\rm l} = 2.85 \times 10^2 \, \exp \left(\frac{-25,\!000}{RT} \right) \left\{ \frac{P^2 (1-x)^3}{x} - \frac{3.079}{K_P} \, P (1-x) \right\} \; , \; \; {\rm kg\text{-}mol/m}^3. {\rm hr.} \label{eq:Vlambda}$$

¹⁾ 柴田: 硫安工業の概要 p. 23.

²⁾ 進藤: 北大工彙報 第 3 號. p. 136.

³⁾ リ: 本集に同時登載, p. 71.

⁴⁾ 本頁 2) と同じ.

とする。x は NH $_s$ のモル分率, K_P は平衡恒數で T の函數であり LARSON 等の式より計算する。Q は 300 Atm. 500° C 及び 600° C の K_P の値より $13.01 \times 10^{\circ}$ Kcal/kg-mol とする。前式は 475° C 以下におけると同様正反應が 1/x に比例するとしている。即ち NH $_s$ が活性點を殆ど占有していると假定した式であるが $500 \sim 600^{\circ}$ C の高温になると或はそうでなくなるかも知れない。

次に U の値であるが此を推定するには先ず混合ガスの熱傳導度 λ 、粘性係數 μ を推定しなければならないが今のところ困難である。 75% H_2 , 25% N_2 に對する低温における實測値より適當に Sutherland 常数を定め $\lambda_{55 \times C} = 0.175$, $\lambda_{190 \times C} = 0.167$ Kcal/m·hr·°C, $\mu_{55 \times C} = 0.101$, $\mu_{190 \times C} = 0.096$, kg/m·hr としてみて (高壓に對する補正は還元温度 T_r が大であるため無視した) 前報告 10 で述べた實驗式より反應層と管壁との間の熱達率を出してみると 1909 Kcal/m $^{\circ}$ ·hr·°C となる。 濁流によるものと輻射による熱傳導度を比較してみると後者は前者の 100 程度である。 管外熱傳達率は相當直徑等より推定すると 427 となる。 管材料の λ を 20.0 とすると U=370 となる。此の値を用いて計算すると反應層の後半で T_1 , T_2 が全體として著しく下り過ぎ實際の狀況を説明し得ない。ここでは

$$U = 144.4 \text{ Kcal/m}^2 \cdot \text{hr} \cdot ^{\circ}\text{C}$$

とする。

次に (31) の N_o は l=0 の値であるが l=0 で既に NH_s は 1.75% 含まれているので、1.75% の NH_s が全部 N_s と H_s に分解していると考えた場合の總モル數を改めて N_o とする。(32) はやはり成立し、且

$$y_1 = \frac{x}{1+x}$$

であるから2)(28) 或は(32)の代りに

$$\frac{dx}{dl} = \frac{(1+x)^2}{N_0} V \tag{37}$$

 $A \sum C_i N_i = B \sum C_i N_i' = 4382$ Kcal/hr

となるから (37), (35), (36) を Runge-Kutta の方法で數値的に解くと第 3 圖 (I) の如く T_1 , T_2 x 對 1 の關係が得られる。反應層溫度 T_1 の最高値は 598°C x の出口の値 x_2 = 0.1018 となっている。 AN_0 = 615 kg-mol/hr で入口の x は 0.0175 であるから入口の量を差引き NH_3 の 收量は 46.2 kg-mol/hr となる。

同様な計算を入口の流速即ち N_0 を 20% 減少して行つてみる。U は流速の 0.83 乘に

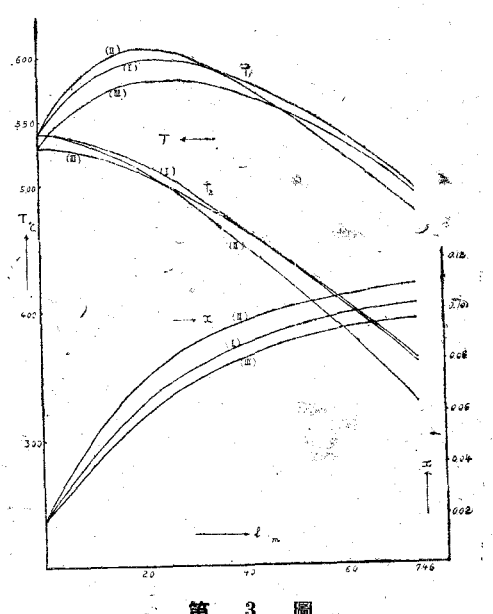
¹⁾ 進藤: 北大工彙報 第 3 號. p. 97.

²⁾ 同上 p. 136.

比例するものとし $U=144.4 \times \left(\frac{80}{100}\right)^{0.83}$ とし他の數値は前のままとすれば計算結果は第三圖 (II) の如くなり最高温度は 607° C, $x_e=0.1095$, NHs の收量は 40.1 kg-mol/hr となる。即ち流速増加による反應物の送入,循環による動力の増加等が許されるならば (II) の 状況では流速を増せば收量は増すのである。

次に流速は (I) と同じとし入口温度を 10 $^{\circ}$ $^{\circ}$ 下げてみると第三圖 (III) の如くなり $x_{\epsilon}=0.09607$, 收量は 43.3 kg-mol/hr となり (III) の 状況では觸媒の壽命,反應管の耐久等の點よりまだ温度を上げでもよいならばそうした方が收量は大きくなる。

なお (I) と (II) の温度分布を比較してみ



ると流速大である(I)の方が温度變化の範圍が狭くなり曲線が平らになつている。

§ 4. 要約

先ず外部冷却式反應管に對して反應による發生熱量を一次反應型と假定し,亂流の場合 は熱傳導度が流速によつて變ることおよび異方向性を持つことを考慮し,流速と溫度分布の 關係を吟味した。次に內部熱交換型反應管に對し反應速度を溫度,組成の函數として表わし, 流速,入口溫度を變えた場合,溫度分布および收率が如何に變るかを論じ,NN。合成管の具 體的數值計算例を示した。

此の研究は著者が北大工學部在職中同學岡本教授指導のもとに始めたものである。同教 授に深謝する。(昭和24年7月,日本化學會北海道大會講演)

(昭和24年11月10日受付)

| 1997年,1997年,1997年,1997年,1997年,1997年,1997年,1997年,1997年,1997年,1997年,1997年,1997年,1997年,1997年,1997年,1997年,1997年,1 | |
|---|--|
| 1997年,1997年,1997年,1997年,1997年,1997年,1997年,1997年,1997年,1997年,1997年,1997年,1997年,1997年,1997年,1997年,1997年,1997年,1 | |
| | |
| | |
| | |
| | |
| | |
| | |
| | |
| | |
| | |
| | |
| マー・スポーセン アンス・スープログラング かんしょう しょう かってい かいくだい | |
| | |
| | |
| 그 그 그 그 그 그 그렇게 그 그는 그 하는 그는 그 것 같아. 그 그 그 없었다고 한 번 그릇이 되었다. | |
| | |
| | |
| | |
| | |
| | |
| | |
| | |
| | |
| 그는 맛이 되고 있는 것은 사람들이 하면 하는 속에 가장 하는 것은 것을 하는 것이라고 있다. | |
| | |
| and the first of the control of the | |
| | |
| | |
| | |
| | |
| | |
| | |
| | |
| | |
| | |
| | |
| | |
| | |
| | |
| 禁犯 にきんしん ほんしょ 一般はただい むしょかい だいじょ コール・ディン | |
| | |
| 한 생물을 보는 사람들은 이번 이 아이들이 하셨다면서 사람들이 되었다면 하는데 함께 생각하다. | |
| | |
| 그래 그렇게 되었다. 그는 그 그 그 그 그 그 그 그 그 그 그 그 그 그 그 그 그 그 | |
| | The second of th |
| 医大克克氏氏试验检尿病 医多克勒氏 医二氯甲基苯甲基甲基甲基甲基甲基甲基甲基甲基甲基甲基甲基甲基甲基甲基甲基甲基甲基甲基 | |
| | |
| けいこうだい (などの) 立てには、対してみいている はいこうだい かんしんていかい | |
| | |
| | |
| the 💌 in which is a consequence of the second of the seco | · · |
| | |
| | |
| | |
| | |
| | |
| | |
| | |
| | tana da kacamatan d |
| | |
| | |
| | The state of the s |
| | |
| | |
| | |
| | |
| | |
| | |
| | |
| | |
| | |
| | |
| | |
| | |

接觸反應速度の累表現と其の應用例 (接觸反應速度の近似表現)

進藤益男

An Approximation Theory of the Catalystic Reaction

Masuo Shindo

Abstract

The physical meaning of γ in the Temkin-Pyzhev's theory as to the adsorption velocity of one chemical species has been interpreted as a factor originated from the repulsion potential of the adsorbed atoms.

Expanding this theory to the case where many chemical species exist, the present investigator has formulated a general, approximate expression which is applicable to the catalytic reaction.

For example, the following results have been obtained from this theory.

- (1) In the oxidation of SO₂ on Pt catalyst the adsorption stage of O₂ or SO₂ must be rate-determining.
- (2) The experimental results on the synthesis of NH₃ on doubly promoted Fe Catalyst at 10 atoms and inhibitive action O₂ to that reaction have been analysed and interpreted with success.

§ 1. 序 論

Temkin¹⁾ 等は NH。合成速度の反應動力學的研究に際し一種の化學種の吸着,脫著に 對する半實驗的理論を提出した。それは次の如くである。

va: 吸着點一個當りの吸着速度

va: 同じく脱着速度

p: 吸着する化學種の氣相における分壓

Pa: 着目している吸着狀態と平衡を呈すべき吸着化學種の氣相における分壓

θ: 吸着點が吸着化學種によつて占められている割合

ku, ka, g, h: いずれも常數

とすれば

¹⁾ Temkin & Pyzhev: Acta physicochimica (U.S.S.R.) 12 (1940) p. 327.

$$\theta = \frac{1}{f} \ln a_0 p_a \tag{1}$$

$$v_a = k_a p \exp\left(-g\theta\right) \tag{2}$$

$$v_d = k_d \exp(h\theta) \tag{3}$$

但也
$$f \equiv g + h$$
 $a_0 = \frac{k_a}{k_A}$ (4)

(2), (3) を前提して p を p_a と置き $v_a = v_a$ とすれば (1) が得られることは明らかである。 (1) の θ を (2), (3) に代入すれば θ を含まない吸着化學種の分壓のみによつて表わされた v_a , v_a の表式が得られる。

$$v_a = k_a \rho (a_0 \rho)^{-\gamma} \tag{5}$$

$$v_d = k_d (a_0 p)^{1-\gamma} \tag{6}$$

但し
$$\gamma \equiv \frac{g}{g+h} = \frac{g}{f}$$
 $1-\gamma = \frac{h}{f}$ (7)

(2), (3) の解釋としては第一に吸着點の性能(吸着に對する活性化エネルギー,吸着ポテンシャル等)が連續的になつていて,例えば v_a は θ なる吸着率においては $\theta=0$ の場合に比し活性化エネルギーが θ に比例して増すため(吸着ポテンシャルの低い點より逐次占められてゆくからである)(2)のようになると考えられるが,第二の説明としては,活性點は一種類しかないが θ が増すに従つて吸着しようとする 化學種に對してすでに吸着している化學種からの反撥ポテンシャルが作用し其の大きさが θ に比例するのであるという説明もある。 $T_{\rm EMKIN}$ 等 の原報には此の理論の實際成立することを示す例が引用されている。 又 $E_{\rm EMMETT}^{\rm II}$ の紹介によると $B_{\rm RUNAUER}$ 等²⁾は $E_{\rm EMMETT}^{\rm II}$ の $N_{\rm II}$ 合成用 $F_{\rm II}$ 簡似に對する $N_{\rm II}$ の吸着實驗を解析し(1),(2),(3)が成立していることを確かめ,此の場合の T として 0.724 なる値を得ているとのことである。

とにかく一種の化學種の吸着に對する TEMKIN 等の理論は相當有力なことは此等の實 例で明らかであるから、此の報告では、もう少し正確な接觸反應の理論よりこれを吟味し、 次に多種類の化學種が吸着し得る場合に擴張し、これを基礎として一般の接觸反應速度の近 似表現を求めてみる。

§ 2. TEMKIN 等の理論の吟味と γ の物理的意味

以下活性點は一種類とし、吸着化學種よりの反撥ポテンシャルを考慮するという立場を

¹⁾ EMMETT & KUMMER: Ind. Eng. Chem. 35, (1943) p. 677.

²⁾ Brunauer, Love & Keenan: J. Am. Chem. Soc. 64 (1942) p. 751.

^{.3)} Emmett & Brunauer: ibid., 56 (1934) p. 56.

とる。一種の化學種 (種々なる記號に 1 という添字を附す) の吸着點 1 個當りの吸着速度 val 等 りは

$$v_{a1} \stackrel{\checkmark}{=} \kappa \frac{kT}{h} \theta_0 a^* \lambda_1 = \kappa \frac{kT}{h} \frac{a_1^*}{1 + a_1 \lambda_{a1}} \lambda_1 \tag{8}$$

$$v_{d1} = \kappa \frac{kT}{h} \theta_1 \frac{a_1^*}{a_1} \tag{9}$$

 θ_0 : 吸着點の空いている確率で此の場合は吸着し得る化學種は一種類としているから $(1-\theta_1)$ に等しい。

ai*: 1 なる化學種の氣相より吸着狀態に移る途中の遷移狀態に對する狀態和

a1: 1 なる化學種の吸着狀態に對する狀態和

A: 1 なる化學種の氣相における絕對活動量

λα: 同じく吸着状態に對する絕對活動量。ここでは吸着速度を問題にしているのであるから勿論吸着平衡の状態ではなく λι と λαι は異なる。

 κ は通過係數, k は Boltzmann 常數 h は Planck 常數である。 a_1 , a_1 は温度 T を一定にして置いても θ によつて變わるのであるが,最も簡單に次の如く表わし得るものとする。

$$a_1^* = a_{10}^* \exp\left(\frac{-u_{11}^*\theta_1}{RT}\right), \quad a_1 = a_{10} \exp\left(\frac{-u_1\theta_1}{RT}\right)$$
 (10)

un* は着目している吸着點の周りの吸着點が全部吸着化學種によつて占められている場合, それらと遷移狀態にある化學種との間の反撥ポテンシャル, un は同様吸着している狀學種と の間のものである。そうすれば (8), (9) は

$$v_{a1} = \kappa \frac{kT}{h} \theta_0 a_{10}^* \exp\left(\frac{-u_{11}^* \theta_1}{RT}\right) \lambda_1 \qquad (11)$$

$$v_{d1} = \kappa - \frac{kT}{h} \theta_1 - \frac{a_{10}^*}{a_{10}} \exp\left\{\frac{(u_{11} - u_{11}^*) \theta_1}{RT}\right\}$$
 (12)

λι は ρ に比例するから (11), (12) が (2), (3) の如く表わされるためには近似的に

$$\exp(-g\theta) \propto (1-\theta_1) \exp\left(\frac{-u_{11}^*\theta_1}{RT}\right)$$
 (13)

$$\exp(h\theta) \propto \theta_1 \exp\left\{\frac{(u_{11}-u_{11}^*)\theta_1}{RT}\right\} \tag{14}$$

でなければならない。それがためには例えば (13) の場合 $(1-\theta_1)$ の θ_1 による變化の度合が exp の頂に比し小でなくてはならないから $(1-\theta_1) = 0$, 即ち $\theta_1 = 1.0$ では (13) は成立し得ない。(2) を直接みても $\theta = 1.0$ であつても $v_a = 0$ で不合理である。 $\theta_0 = 1.0$ の場合は (3) が成立し得ない。從つて θ_0 , θ_1 が 1.0 にいずれも殆ど等しくなければ (1), (2), (3) は近似的

¹⁾ 進藤: 北大工彙報 第 1 號 (昭 23) p. 14, 同 第 3 號. p. 113.

に成立する可能性があることになる。此の場合 7 の物理的意味を考えてみると大略。

$$g \propto \frac{u_{11}^*}{RT}$$
, $h \propto \frac{u_{11}-u_{11}^*}{RT}$

であるから

$$\gamma = \frac{g}{g+h} \stackrel{:}{=} \frac{u_{11}^*}{u_{11}} \tag{15}$$

即ち γ は周りの吸着化學種から遷移狀態の化學種に對する反撥ポテンシャルと吸着狀態に 對する同様のものとの比で明瞭な物理的意味を持ち 1.0 より小さい數な筈である。

§ 3. 多種類の化學種の吸着に對する擴張

TEMKIN 等の一種類の化學種の吸着理論を多種類の化學種が競つて吸着し得る場合に 擴張しよう。異なる化學種に $1, 2, \cdots, n, \cdots$ の番號を附し、i なる化學種に關する量は i な る添字を附して標識しよう。§ 2 と同様な記號を使い

$$v_{ai} = \kappa_{i} \frac{kT}{h} \theta_{0} a_{i}^{*} \lambda_{i} = \kappa_{i} \frac{kT}{h} \frac{a_{i}^{*}}{1 + \sum_{i} a_{n} \lambda_{i} n} \lambda_{i}$$

$$= \kappa_{i} \frac{kT}{h} \theta_{0} a_{i0}^{*} \exp \left\{ \frac{-(u_{i}, \theta_{1} + u_{i2}, \theta_{2} + \dots + u_{i}, \theta_{n} + \dots)}{RT} \right\} \lambda_{i} \qquad (16)$$

$$v_{di} = \kappa_{i} \frac{kT}{h} \theta_{i} \frac{a_{i}^{*}}{a_{i}} = \kappa_{i} \frac{kT}{h} \theta_{i} \frac{a_{i0}^{*} \exp \left\{ \frac{-(u_{i}, \theta_{1} + \dots + u_{in}, \theta_{n} + \dots)}{RT} \right\}}{a_{i0} \exp \left\{ \frac{-(u_{i1}, \theta_{1} + \dots + u_{in}, \theta_{n} + \dots)}{RT} \right\}}$$

$$= \kappa_{i} \frac{kT}{h} \theta_{i} \frac{\bar{a}_{i0}^{*}}{a_{i0}} \exp \left\{ \frac{(u_{i1} - u_{i1}^{*}) \theta_{1} + \dots + (u_{in} - u_{in}^{*}) \theta_{n} + \dots}{RT} \right\} \qquad (17)$$

 θ_0 は $1-\sum_n \theta_n$ に等しい。又 例えば u_{ni} は着目點に吸着している i なる化學種と,其の周りの點全部に n なる化學種が吸着している場合,それらとの間の反撥ポテンシャルを表わす。 (16), (17) を更に次の如く近似的に表わそう。

$$v_{ai} = k_{ai} \exp \left\{ -(g_{i}, \theta_{1} + \dots + g_{in}\theta_{n} + \dots) \right\} \lambda_{i}$$
 (18)

$$v_{di} = k_{di} \exp \left\{ \left(h_{il} \theta_1 + \dots + h_{in} \theta_n + \dots \right) \right\}$$
(19)

吸着平衡に對しては (18) と (19) を等置しかつ $\lambda_i = \lambda_{ai}$ なることを注意し

$$\frac{k_{ai}}{k_{li}} \lambda_{ai} = \exp \left\{ \left(h_{i1} + g_{i1} \right) \theta_1 + \dots + \left(h_{in} + g_{in} \right) \theta_n + \dots \right\}$$
(20)

$$f_{in} \equiv h_{in} + g_{in} \quad , \quad k_i \equiv \frac{k_{ai}}{k_{ai}} \tag{21}$$

とすれば

$$f_{i1}\theta_1 + f_{i2} + \dots + f_{in}\theta_n + \dots = \ln k_i \lambda_{ai}, \quad i = 1, 2, \dots n \dots$$
 (22)

なる吸着等溫式が得られる。(22) の中の λ は吸着狀態に對する絕對活動量であり,(22) は吸着平衡でない場合にも成立する。(22) を $\theta_1, \dots, \theta_s, \dots$ の聯立一次方程式と見做し解けば

$$\theta_i = m_{i1} \ln k_i \lambda_{a1} + \dots + m_{in} \ln k_n \lambda_{an} + \dots , \quad i = 1, 2, \dots n, \dots$$
 (23)

を得る。mik は fin 等の函数である。これを (18), (19) に代入すれば

$$v_{ai} = k_{ai}\lambda_{i} \times (k_{1}\lambda_{ai})^{-(g_{i1}m_{11} + g_{im} + \dots + g_{in} + \dots + \dots)}$$

$$\times (k_{n}\lambda_{an})^{-(g_{i1}m_{1n} + \dots + g_{in} + \dots + \dots)}$$
(24)

$$v_{di} = k_{di} \times (k_1 \lambda_{a1})^{(h_{i1}m_{11} + h_{i1}m_{21} + \cdots h_{in}m_{ni})} \times \cdots$$
(25)

(25) の別の表わし方を求めるため(18),(19)より(20)の關係を參照すれば

$$v_{ai}/v_{di} = \lambda_i/\lambda_{ai} \tag{26}$$

(26) はもともと $\theta_i/\theta_0=a_{ai}$ λ_{ai} なる關係より (16), (17) で既に成立している關係である。(26) を使えば (21) の第2式を参照し

$$v_{di} = v_{ai} \frac{\lambda_{ai}}{\lambda_{i}} = k_{di}k_{i}\lambda_{ai}(k_{1}\lambda_{a}) - (g_{i1}m_{11} + \cdots + g_{in}m_{ni} + \cdots)$$

$$(k_{i}\lambda_{ai}) - (g_{i1}m_{1i} + \cdots + g_{in}m_{ni} + \cdots)$$

$$= k_{di}(k_{1}\lambda_{ai}) - (g_{i1}m_{1i} + \cdots + g_{in}m_{ni} + \cdots)$$

$$(k_{i}\lambda_{ai}) 1 - (g_{i1}m_{1i} + \cdots + g_{in}m_{ni} + \cdots)$$

$$(k_{i}\lambda_{ai}) 1 - (g_{i1}m_{1i} + \cdots + g_{in}m_{ni} + \cdots)$$

$$(27)$$

(27) において 1-(n) の形の指數を持つのは $(k_i\lambda_{ai})$ だけである。(25) の代りに (27) を用いてもよい。さて例えば (24) を見れば i なる化學種の吸着速度は n なる化學種が吸着していれば n なる化學種の吸着状態の絶對活動量 λ_{an} のある なに逆比例することになる。以後 (5), (6), (24), (25), (27) 等を吸着及び脱着速度の 累表現と呼ぶことにする。

若し

$$\frac{g_{i_1}}{f_{i_1}} = \dots = \frac{g_{i_n}}{f_{i_n}} = \dots \equiv \gamma_i \tag{28}$$

ならば (22) より

$$g_{i1}\theta + g_{i2}\theta_2 + \dots + g_{i,i}\theta_n + \dots = \Upsilon_i (f_{i1}\theta_1 + \dots + f_{i,n}\theta_n + \dots) = \ln (k_i \lambda_{ai})^{\Upsilon_i}$$

$$v_{ai} = k_{ai}\lambda_i (k_i \lambda_{ai})^{\gamma_i - \gamma_i}$$
(29)

$$v_{dt} = k_{dt} (k_i \lambda_{ai})^{1-\gamma_t} \tag{30}$$

となり一種の化學種の吸着の場合と同じ形の表現が得られる。さて $k_i \equiv k_{ad}/k_{dd}$ であるが(16) (17) を各々(18)、(19) の如く表わしたのであるから近似的に

$$k_i = a_{i0}^* / \left(\frac{a_{i0}^{\frac{1}{4}}}{a_{i0}}\right) = a_{i0}$$
 (31)

次に此の近似表現の適用範圍であるがそれは (16), (17) を (18), (19) の如く表わして良いかどうかの吟味をすればよい。 $\S 2$ と同様に θ_0 , θ_1 … θ_4 … の中のどれも殆ど 1.0 に等しくなければ近似的に成立する可能性がある。

§ 4. 接觸反應速度の置表現

接觸反應速度の理論は吸着理論と反應速度論を結合して得られるのであるが、前節に多種類の化學種の吸着理論を導入したから此の取扱を接觸反應速度の理論にまで及ぼしてみよう。

始原系を δ, 生成系を ε とし

v: 活性點1個當りの正反應の速度

v: 同上逆反應の速度

λε: 始原系の絕對活動量

λε: 生成系の絕對活動量

a*: 1個の活性點上における δ→ε の遷移狀態に對する狀態和

とすれば接觸反應速度の一般論1)より

$$\vec{v} = \kappa \frac{kT}{h} \theta_0 a^* \lambda = \kappa \frac{kT}{h} \frac{a^*}{1 + \sum_{i} a_i \lambda_{an}} \lambda_{i}$$
 (32)

$$\bar{v} = \kappa \frac{kT}{L} \theta_0 a^* \lambda_{\epsilon} \tag{33}$$

n は活性點に吸着し得る化學種に番號を附したものであり、例えば i なる化學種は 2 個以上の分子から成立しているとしても適用できるのである。着目している活性點の周りの活性點には全部 n なる化學種が吸着しているとした場合、それと其の活性點上で遷移狀態にある反應系との間の反撥ポテンシャルを un* とし

$$a^* = a_0^* \exp\left\{\frac{-(u_1^*\theta_1 + \dots + u_n^*\theta_n + \dots)}{RT}\right\}$$
 (34).

の如く近似し得るとすれば (16) を (17) で近似したと同様 (32) を次の如く近似し得る可能

¹⁾ 進藤: 北大工業報. 第 3 號. p. 113.

性がある。

$$\vec{v} = k\lambda_{\delta} \exp\left\{-(g_1\theta_1 + g_2\theta_2 + \dots + g_n\theta_n + \dots)\right\}$$
(35)

θη 等はやはり (23) の如く表わされるからこれを代入して (24) と同様な次の表式を得る。

$$\vec{v} = k \lambda_{\hat{\alpha}} \vec{\Pi} (k_n \lambda_{an})^{-\alpha_n}, \tag{36}$$

$$\overline{v} = \overline{v} - \frac{\lambda s}{\lambda_3} = k \lambda_s \prod_{n=1}^{n} (k_n \lambda_{an})^{-\alpha_n}$$
(37)

即ち n なる吸着化學種が存在すれば反應速度は $(k_n \lambda_{an})^{\alpha_n}$ に逆比例する。此の場合の α_n は 一種の化學種の吸着の場合の γ に對應するものであるがかならず 1.0 より小さいとは斷定できない。 θ_0 , θ_1 …, θ_n … を含んでいない (36), (37) を以後接觸反應速度の繋表現と呼ぶことにする。

§ 5. 鷹用例(1) 白金網による SO。の接觸酸化速度

周知の如く BODENSTEIN 等¹⁾は白金網を觸媒とする SO₂ 酸化の實驗結果を次のようにまとめている。例えば SO₂ の分壓を p_{SO2} で表めせば

$$v = k \frac{p_{SO_2}}{(p_{SO_2})^{0.5}}$$
 (O₂ 過剰の場合) (38)

$$v = k' \frac{p_{02}}{(p_{803})^{0.5}}$$
 (SO₂ 過剰の場合) (39)

これに對する反應機構の說明として最初には觸媒面上に相當な厚さで SO_3 が吸着しているため、例えば O_2 過剰の場合は SO_2 が其の膜を擴散して行く速さが律速的であるとした。後に SO_3 の吸着膜は單分子層に過ぎず又活性化エネルギーが3次元の擴散にしては高すぎるところから、觸媒表面の2次元的擴散が律速的であるとした。しかし此の說明は反應速度が何故 PSO_3 の O_3 0.5 乘に逆比例するかを明らかにしたわけではない。

さて § 4 の理論よりみれば O_2 過剰の場合は SO_2 の吸着が, SO_2 過剰の場合は O_2 の、吸着が律速的であるとして説明できる。其の際活性點は一部 SO_3 によつて占められ $0 < \theta_{SO_3}$ <1.0 であるため反應速度は ρ_{SO_3} のある 鬻,此の場合は 0.5 乘に 逆比例するのである。 活性化エネルギーが相當高いことも律速段階が吸着であるとすれば難點ではなくなる。

§ 6. 應用例 (2) Fe 觸媒による 10Atm. における HN。 合成連度

著者2)は先に LARSON 等3の二重に助觸された Fe 觸媒による NH。合成速度の實驗を

¹⁾ BODENSTEIN & FINE: Z. Phys. Chem., 60 (1907) p. 1.

²⁾ 進藤: 北大工業報. 第 3 號. p. 136.

³⁾ LARSON & Tour: Chem. and Met. Eng. 26, II (1922) p. 647.

解析したが其の中に次のような結果を得ていた。

mvo: 觸媒充塡層單位體積當りの NH3 合成速度 (mol/cm³·sec)

P:全愿 (Atm.)

a: NH₃のモル分率

とすれば、

 $(420^{\circ}\text{C}, 31.6 \text{ Atm. } 0.04 < x)$

$$mv_0 = 9.72 \times 10^{-9} \frac{P(1-x)^2}{x} - 3.07 \times 10^{-6}$$
 (40)

反應機構としては

N2+H2ANH2+N 等

活性點の狀況は $\theta_{NHs}=1.0$ として説明して置いた。ところで同溫度の 10 Atm. の實驗結果を解析してみると (40) は少し大き過ぎる結果を與える。此は NHs の分壓が低くなれば

$$0 < \theta_{\text{NH}3} < 1.0 \tag{41}$$

となるからであると解釋して置いた。

さて (41) の狀況では § 4 の 理論が適 用可能かも知れないから活性點には一部 NH₃のみが吸着しているものとし NH₃に 對する α を 0.5 とし

$$\frac{1}{(Px)^{0.5}} \left\{ P^2 (1-x)^2 - \frac{3.079}{K_p} (Px) \right\},\,$$

Kp は平衡恒數

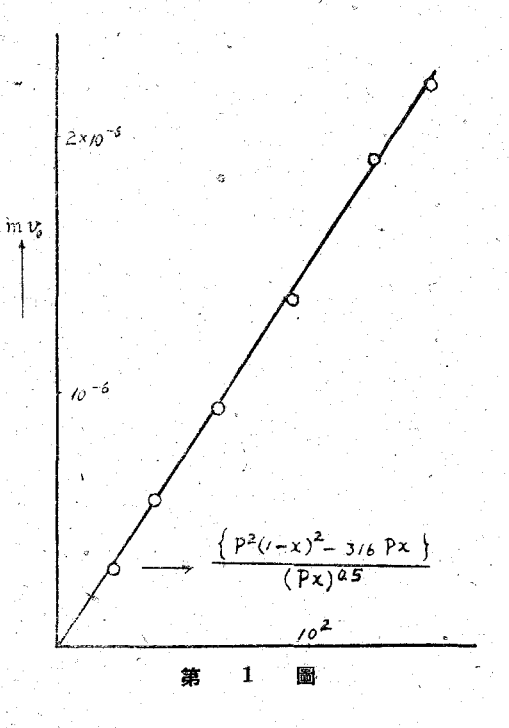
の値を實測から得られている mv。の數値と 對應させ點綴してみると第一圖に示すよう に殆ど直線となる。即ち

(420°C, 60 Atm., 0.0135
$$< x$$
)
$$mv_0 = 1.50 \times 10^{-8} \frac{P^2 (1-x)^2}{(Px)^{0.5}}$$

$$-4.74 \times 10^{-6} (Px)^{0.5}$$

$$0 < \theta_{\rm NH3} < 1.0$$

が確かめられた。



§ 7. 應用例 (3) NH 合成用 Fe 觸媒に對する O の阻害作用

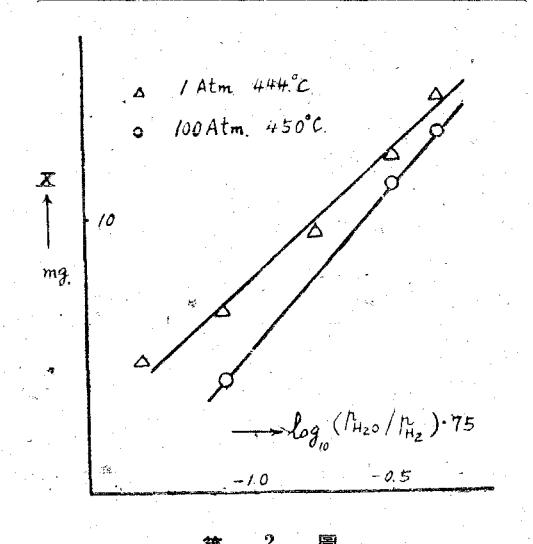
ALMQUIST 等¹⁾は (S.V) を 5000, 温度は 444℃ とし種々に助觸された Fe 觸媒によつて NH₃

¹⁾ Almquist & Black; J. Am. Chem. Soc., 48 (1926) p. 2816, 2820.

の常壓合成を行つた。入口ガスは H_2 對 N_2 が 3:1 の混合ガスに O_2 或は H_2O を其のモル分率を種々に變えて (絕對量は小) 混合したものを使つている。出口の NH_3 のモル分率が定常的に一定となるまで出口の H_2O の濃度を時間的に追跡し,入口の O_2 或は H_2O の種々なるモル分率に對し觸媒充填層内に残留する O_2 の量と NH_3 合成率を實測した。 O_2 の場合も H_2O を入口でまぜて置く場合も O の量さえ等しければ合成率も O_2 の残留量も同じとなつている。 $EMMETT^{1}$ 等は更に 450° C, 100 Atm. で同様な實驗を行つている。これらの實驗の定量的結果として O_2 の吸着量は $(p_{H,O}/p_{H2})^{0.5}$ に比例し NH_3 合成率は O_2 の吸着量に逆比例すること及び酸素は H_2O としてではなく活性點上に存在しているだろうことが彼等によつて述べられている。此の實驗では阻害物質の氣相における分脈,總吸着量,問題に

第 1 表 921 番 觸 媒

| 全 壓 | 溫度 | <i>‡</i> н о | $ec{X}$ | NH ₃ % | (∱H2O/ ∮H2)75 |
|-----|--------|--------------|---------|-------------------|------------------|
| 1 | 444 °C | 0.0004 | 4.8 | 0.205 | 0.04 |
| 1 | , ,, | 0.0008 | 6.6 | - 0.170 | 0.08 |
| 1 | " | 0.0016 | 9.4 | 0.120 | 0.16 |
| 1 | ,, | 0.0032 | 12.2 | 0.093 | 0.32 |
| 1 | ,, | 0.0048 | 14.5 | 0.075 | 0.48 |
| 100 | 450°C | 0.08 | 4.1 | 4.40 | 0.08 |
| 100 | ,, | 0.33 | 11.3 | 2.45 | 0.33 |
| 100 | ,, | 0.48 | 13.1 | 2.16 | 0.48 |



している反應に對する影響等が實測されているのであるから§3,4の理論が此の場合あてはまるかどうか檢討できる。彼等のAIのみによつて助觸された921番觸媒に對する結果を第一表に示す。

X は残留している O の量を mg で表 わしたものである。 NH3% は NH3のモ ル分率 x の出口の値 x。に對應する。 x は 反應管の位置によって異なるのであるが x は非常に小さいから ク田20/ク田2 の計算には pH2 は,全壓が 1 Atm. の場合は 0.75 Atm. 100 Anm. の場合は 75 Atm. とし, 又 pH20 は全區間入口の値と同じとしてある。今X 對 log10 (pH20/pH2) の圖を作ると 第2圖の 如く1Atm. 444°C の場合と,100Atm. 450°C の場合とは大略一致した直線となる。Xは $\S 1,3$ の θ に比例する量であるから此の結 果は, 絕對活性動量が (pH20/pH2) に比例す るもの即ち O 或は O2 が活性點上に吸着 していることを示す。1Atm. と 100 Atm. に對する兩直緣が完全に一致していないの は温度の差異が最も大きい原因であろう。

¹⁾ EMMETT & BRUNAUER; J. Am. Chem., Soc., 52 (1930) p. 2682.

又此の實驗で出口から出てくる酸素はすべて $H_{\circ}O$ としてであるから、g をもつて氣相、ad をもつて吸着狀態を示すものとすれば

$$(O_2)_q \rightleftharpoons 2(O)_{ad}$$
, $H_2O \rightleftharpoons (H_2)_q + (O)_{ad}$

が成立していて $(O_2)_0$ は非常に小さくなつているのであろう。筆者 11 は前に Larson 等 21 の 二重に助觸された Fe 觸媒による $10\,\mathrm{Atm}$. における H_2O の阻害實驗の 檢討において,活性點には H_2O が强く吸着していると考えたが, $1\,\mathrm{Atm}$. 及び $100\,\mathrm{Atm}$. と壓の變化した場合の此の實驗の檢討により,それは訂正されなくてはならない。

次に出口のx。を使つてOの阻害作用を反應動力學的に解析してみよう。 反應速度式 として次の二つを取つてみる。

 $N_1 + H_2 + NH_1 + N$

$$mv_0 = \alpha' \left\{ P^2 (1-x)^2 - \frac{3.079}{K_p} Px \right\}$$
 (41)

 $N_2 + H_2 + 2NH$

$$mv_0 = \alpha'' \left\{ P^2 (1-x)^2 - \left(\frac{3.079}{K_p} \right)^2 \frac{(Px)^2}{P^2 (1-x)^2} \right\}$$
 (42)

(41), (42) はいずれも活性點上には何も化學種が吸着していない場合の式であるが若しO が 其の一部に吸着していれば $\S 4$ よ b a は適當な a_1 なる指数によ b $(p_{H2O}/p_{H2})^{a_1}$ に 逆比例 することが言える可能性がある。

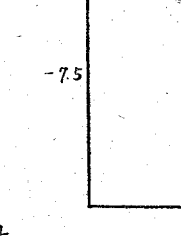
$$\int_{0}^{x_{0}} \frac{dx}{(1+x)^{2}mv_{0}} = \frac{10^{7} \times 8.07}{(8.V)}$$

を使い通常の方法により、先す 1 Atm. の場合について種々なる入口の H_2O のモル分率に對しそれに對應する x_a より a', a'' を計算してみると第2表の如くなる。

第 2 表

| α'×10 ⁷ | a''×107 |
|--------------------|------------------------------|
| 2.83 | 1.79 |
| 1.71 | 1.19 |
| 0.93 | 1.45 |
| 0.66 | 1.08 |
| 0.50 | 0.85 |
| | 2.83 1.71 0.93 0.66 |

log10d, log10d" 對 log10 (pH2O/pH2) を圖示すると



第 3 图

- log (1H20/1H2).75

-05

(43)

^{1) 66}頁 脚註 2).

²⁾ 同上 3).

第3圖の如く殆ど直線となり §4 の理論が成立していることが判る。即ち

$$mv_0 = 1.41 \times 10^{-9} \frac{1}{(p_{\text{H2O}}/p_{\text{H2}})^{0.701}} \left\{ P^2 (1-x)^2 - \frac{3.079}{K_p} Px \right\}$$
(44)

或は

$$mv_0 = 3.43 \times 10^{-9} \frac{1}{(\rho_{\text{HgO}}/\rho_{\text{Hg}})^{9.581}} \left\{ P_{\perp}^2 (1-x)^2 - \left(\frac{3.079}{K_p}\right)^2 \frac{x^2}{(1-x)^2} \right\}$$
(45)

(44) と (45) のどちらが良く實驗結果を表わし得るかは判定できなかつた。次に 100 Atm. の場合は NH。の分懸が大となり NH。も相當活性點上に吸着しているものと想像されるから α' , α'' は ($p_{\text{H.O}}/p_{\text{H.O}}$) のある紫のみならず ($p_{\text{NH}3}$) のある紫にも逆比例するであろう。今 ($p_{\text{NH}3}$) の累指數 α_2 を種々に變えそれに對し ($p_{\text{H.O}}/p_{\text{H.O}}$) の最も適當な指數 α' を求め,それが (44) 或は (45) と同じになるように試誤法で追跡すると次のような表式に到達する。

$$mv_0 = \frac{\alpha_0'}{(p_{H20}/p_{H2})^{0.701}} \left\{ \frac{P'(1-x)^2}{(Px)^{0.55}} - \frac{3.079}{K_p} (Px)^{0.45} \right\}$$
(46)

或は

$$mv_0 = \frac{a_0''}{(p_{\text{H.O}}/p_{\text{H.2}})^{0.581}} \left\{ \frac{P'(1-x)^2}{(Px)^{0.475}} - \left(\frac{3.079}{K_p}\right)^2 \frac{(Px)^{1.525}}{P^2(1-x)^2} \right\}$$
(47)

 a_0' , a_0'' を (43) を使い求めてみると第 3 表の如くなり大體 一致した値が得られる。

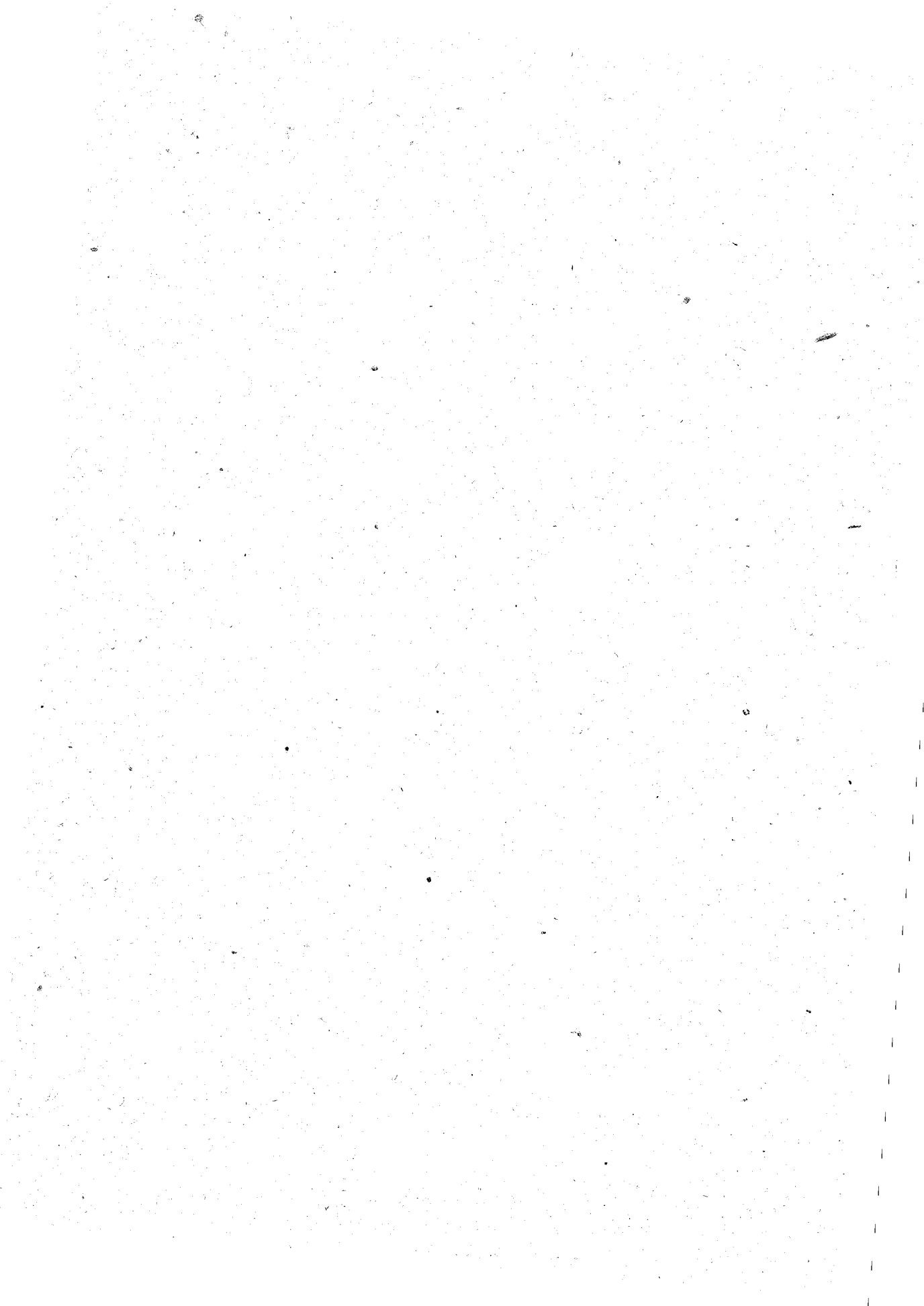
即ち § 4. の理論において二種の化學種が活性點上に存在している場合の一例が得られた。

| | 9 | | 丽) |
|---|-------|-----------------------|-------------------------------------|
| | ∕́н⊎о | $a_0' \times 10^{12}$ | $a_0^{\prime\prime} \times 10^{12}$ |
| - | 0.08 | 3.96 | 7.51 |
| | 0.33 | 3.96 | 7.09 |
| • | 0.48 | 3.94 | 7 25 |
| | | | * . |

§ 8 要 約

一種の化學種の吸着に對する Temkin-Pyzhev の近似理論を,吸着化學種の反撥ポテンシャルを考慮に入れる立場より吟味し τ の物理的意味に論及した。次にこれを多種の化學種の吸着し得る場合に擴張し,これを基礎とし,羈表現と名附けた,接觸反應速度に對する近似式を導いた。此の理論の應用として,(1) 白金網による SO_2 の接觸酸化は SO_2 或は O_2 の吸着が律速的となつていることを主張し (2) 二重に助觸された Fe 觸媒による IO Atm. における NH_3 合成速度を,(3) 又 NH_3 合成用 Fe 觸媒に對する酸素の阻害作用を解析した。

此の研究は著者が北大工學部在職中同學問本教授の指導のもとに始めたものである。同 教授に深謝する。(昭和24年4月、日本化學會年會、同7月同會北海道大會に於て講演) (昭和24年11月10日受付)



高壓におけるアムモニア合成速度について (績 報)

進 藤 益 男

On the Rate of the Ammonia Synthesis at High Pressures

Masuo Shindo

Abstract

The present investigator has analysed the experimental data of NH_3 synthesis over doubly promoted Fe catalyst at temp. $370 \sim 450$ °C, at pressure $33.3 \sim 100$ atm. and three different inlet gas compositions by Emmert & his coworkers.

It may be said that the investigator's formerly proposed expression was rather preferable to Temkin's since better agreements with exp. data have veen reached under all experimented conditions.

It seems that when the synthetic velocity is proportional to P^n , P the working pressure, n is unity at $400 \sim 450^{\circ}$ C and tends to increase as the temp. is raised.

§ 1. 序 言

著者は¹⁾先に Larson²⁾等の二重に助觸された Fe 觸媒による 31.6 Atm. (420°C および 450°C) および 100 Atm. (450°C) における NH_8 合成實驗を解析し、正反應度が全壓 P に比例する速度表式および反應機構を提出した。又 10 Atm. における速度が 31.6 および 100 Atm. の實測値より定めた表式によつて表わし得ないのは NH_8 の活性點に對する吸着率 $\theta_{\rm HN8}$ が高壓の場合は殆ど 1.0 であるが 10 Atm. では 1.0 より相當小さくなるためであると解釋して置いた。又 $E_{\rm MMETT}^{(3)}$ によつて示された 475°C ($100\sim1500$ Atm.) における測定値を解析し、高壓になるに従い反應機構は正反應速度が P に比例するものより P^2 に比例するものに移ることを推定した。

ところが T_{EMKIN^4} 等は N_{H_8} 合成の律速段階は N_2 の吸着であるとし、彼等の一種の化學種に對する吸着理論より正反應速度が $P^{(5)}$ に比例する速度表式を提出した。これによつ

¹⁾ 進藤: 北大工環報 第 3 號. (昭 24) p. 136.

²⁾ LARSON & Tour: Chem. and Met. Eng. 26 II (1922) p. 647.

³⁾ EMMETT: Fixed Nitrogen (1932) Chap. VIII p. 227.

⁴⁾ Temrin & Pyzhev: Acta Physicochimica (U.S.S.R.) 12 (1940) p. 327.

て LARSON¹⁾等の測定値を解析してみると 10 および 31.6 Atm. における測定値は一つの表式にまとめ得たが 100 Atm. のものははづれる。彼等はこれを 100 Atm. における實驗では何等かの原因で觸媒能が低下したためであると説明している。EMMETT²⁾等は 33.3, 66.6 100 Atm. (370, 400, 450°C) 入口組成を種々に變えて合成實驗を行い。其の結果を TEMKIN 等の表式によつて解拆しているが,其式によつて實驗結果を全て表わし得たとは言えない。

最近著者は Temkin 等の吸着理論を多種の化學種の吸着の場合にまで擴張し、更に接觸反應速度の纂表現と名付けた一つの近似理論を導入した。此の理論により著者が Larson 等の實驗の解析において $10\,\mathrm{Atm.}$ の實驗では $0 < \theta_\mathrm{NH3} < 1.0$ であると推定したことはより定量的に保證される 3)ぞれであるから少くとも $100\,\mathrm{Atm.}$ 以下では著者の提出した機構がより安當である。此の報告では Emmetr^{4} 等の新しい實驗結果を種々なる立場より解析し比較してみる。又前に高壓になるに從い P^2 に比例する速度表式を持つ多重衝突が律速的となることを推定しているが、溫度を漸次上げていつた場合反應機構がどう變つてゆくかということにも着目してみよう。

§ 2. 解析への準備

前報告⁵⁾ と同じく平衡常数 Kp に對しては LARSON の式による。EMMETT⁶⁾ 等は種々なる實測値より NH。合成速度に對する TEMKIN 等の表式に適合する反應速度常数を求めそれらが一致して出てくるかどうかを調べている。即ち著者が第一法と名付けた方法によつているのでここでもこれと對比に便にするため、反應機構が從つて又速度表式が組成によって、變化しないものと假定し第一法を使うことにする。⁷⁾

No: 入口の單位斷面へ單位時間に送入するスガの全モル數 `mol/sec·cm²

 N_i : 流れの方向に垂直な觸媒充塡層單位斷面を單位時間に通過するiとなる化學種のモル數。i=1,2,3をもつて各 $^{\prime}$ NH $_3$, H $_2$, N $_2$ を示すものとする。 N_i は入口よりの距離の函数である

 y_i : N_i/N_0 , y_i を特に y 又 y_i の入口の値を $y_{i,0}$ とする

 n_i : i なる化學種のモル分率, 特に $n_1 = x$ とする

L: 反應管長

しかる時は第一法の基礎方程式は

^{1) 71}頁 脚註 2).

²⁾ EMMETT & KUMMER: Ind. Eng. Chem. 35 (1943) p. 677.

³⁾ 進藤: 本研報. p. 60.

⁴⁾ 本頁 2).

^{5) 71}頁 脚註 1).

⁶⁾ 本百 2)

⁷⁾ 進藤: 北大工彙報. 第 3 號 (昭 24) p. 113.

$$\int_{y_0}^{y_e} \frac{1}{V} dy = \frac{L}{N_0} \equiv (t'.c)$$
 (1.)

$$V = kg(y) \tag{2}$$

ことに

ye: yの出口の値

V: 觸媒充填層單位體積當りの NH3 合成速度 (mol/sec·cm³) で P を全壓とすれば NH3,
 H2, N2 の分壓 Px, Pn, Pn3 の函數である。

從つて V を (2) の如く表わせば

g: 入口組成及 y の函數

k: 反應速度常數

ということになる。

$$Px = P \frac{N_{1}}{N_{0} - N_{1}} = P \frac{y}{1 - y}$$

$$Pn_{2} = P \frac{N_{2 \cdot 0} - \frac{3}{2}N_{1}}{N_{0} - N_{1}} = P \frac{y_{2 \cdot 0} - \frac{3}{2} \cdot y}{1 - \frac{y}{y}} = P \left\{ y_{2 \cdot 0} (1 + x) - \frac{3}{2} \cdot x \right\}$$

$$Pn_{3} = P \frac{N_{1 \cdot 0} - \frac{1}{2}N_{1}}{N_{0} - N_{1}} = P \frac{y_{3 \cdot 0} - \frac{1}{2} \cdot y}{1 - y} \quad P = \left\{ y_{3 \cdot 0} (1 + x) - \frac{1}{2} \cdot x \right\}$$
(3)

(3) 第一式より y と x の關係は明らかであるが (1) において y の 代りに x を y の代り に出口の x の値 x を用い又 (t'.c) を出口で測られた空間速度 (S'.V) を用いて表わせば

$$\int_{x_0}^{x_e} \frac{dx}{(1+x)^2 f(x)} = k \frac{8.071 \times 10^7}{(S'.V)(1+x_e)} \tag{4}$$

但し
$$V = kf(x) = kg(y)$$
 (5.)

であり f(x) は g(y) を x を用いて表わしたものである*。

§ 3. 反應機構と速度表式との對應

(4) の f(x) の函數形は反應機構によつて異なる。ことでは如何なる機構又は速度表式が 實驗を良く說明し得るかを吟味しようとするのであるから反應機構と f(x) の函數形の 對應 を豫め記して置く。

今 a, b, c, をもつて各々入口ガス組成が、H。對 N。のモル敷の比で示して 3:1,1:1 1:3 の場合を表わすことにする。各成分の分壓は

a,
$$Px$$
, $Pn_2 = \frac{3}{4} P(1-x)$, $Pn_3 = \frac{1}{4} P(1-x)$

^{* (4)} の被積分函數中の (1+x)² は Temkin 等の報告では (1+x) とされている。又 Emmetr 等の報告では (1+x)³ とされていていずれも (1+x) なる因數が過, 不足である。

b,
$$Px$$
, $Pn_2 = \frac{1}{2} P(1-2x)$, $Pn_3 = \frac{1}{2} P$
c, Px , $Pn_2 = \frac{1}{4} P(1-5x)$, $Pn_3 = \frac{1}{4} P(3+x)$

又 θ 。をもつて i なる化學種の活性點に對する吸着率とし、以下此の報告で考察する各機構に $I \sim V$ の番號を附ける。

I)
$$N_2 + H_2 + NH_2 + N$$
, $\theta_{NH_3} = 1.0$

なる反應機構及吸着狀態では

$$f(x) = \frac{1}{Px} \left[(Pn_2)(Pn_3) - \frac{1}{K_p} \left\{ \frac{(Px)}{(Pn_2)^{\frac{1}{2}}} \right\} (Pn)^{\frac{1}{2}} \right]$$
a.
$$f(x) = \frac{3}{16} \frac{P(1-x)^2}{x} - \frac{1}{K_p \sqrt{3}}$$
b.
$$= \frac{1}{4} \frac{(1-2x)}{x} - \frac{1}{K_p} \frac{1}{(1-2x)^{\frac{1}{2}}}$$
c.
$$= \frac{P}{16} \frac{(1-5x)(3+x)}{x} - \frac{1}{K_p} \frac{(3+x)^{\frac{1}{2}}}{(1-6x)^{\frac{1}{2}}}$$

II)
$$N_2 + H_2 + 2 NH$$
, $\theta_{NH_3} = 1.0$

a.
$$f(x) = \frac{3}{16} \frac{P(1-x)^2}{x} - \frac{1}{3K_p^2} \frac{x}{\frac{3}{16}P(1-x)^2}$$

b.
$$= \frac{1}{4} P \frac{(1-2x)}{x} - \frac{1}{K_p^2} \frac{x}{\frac{1}{4} P (1-2x)^2}$$

c.
$$= \frac{P}{16} \frac{(1-5x)(3+x)}{x} - \frac{1}{K_p^2} \frac{1}{16} \frac{x}{P(1-5x)^2}$$

III)
$$NH + N_2 \wedge NH$$
, $\theta_{NH3} = 1.0$

或は NH_2+H ANH_3 . $\theta_{NH3} \approx 1.0$

a,
$$f(x) = 3^{\frac{1}{2}} \frac{3}{16} P \frac{(1-x)^2}{x} - \frac{1}{K_p}$$

b, $= \frac{1}{4} - P \frac{(1-2x)^{\frac{1}{2}}}{x} - \frac{1}{K_p}$

c,
$$= 3^{\frac{1}{2}} \frac{P}{16} \frac{(1+\frac{x}{3})^{\frac{1}{2}}(1-5x)^{\frac{1}{2}}}{x} - \frac{1}{K_p}$$

IV)
$$N_2 \wedge (N_2)_{ad}$$
 $0 < \theta_{N_2} < 1.0$

 $(N_1)_{al}$ は吸着狀態の N_2 を示す。此の場合は T_{EMKIN} 等の提出したものである。吸着速度 n_1 n_2 と平衡を呈すべき n_3 の分壓 n_4 の n_4 n_5 n_6 n_6

$$p_a \propto \frac{(Px)^2}{(Pn_2)^3}$$

であるから

a.
$$f(x) = \left(\frac{3}{4}\right)^{\frac{1}{2}} \frac{3}{16} \frac{P^{1.5}(1-x)^{2.5}}{x} - \left(\frac{3}{4}\right)^{\frac{1}{2}} \frac{1}{3K_p^2} \frac{1}{\frac{3}{16}} P^{0.5}(1-x)^{1.5}$$
b.
$$= \frac{1}{(2)^{\frac{1}{2}}} \frac{P^{1.5}(1-2x)^{1.5}}{x} - \frac{2(2)^{\frac{1}{2}}}{K_p^2} \frac{x}{P^{0.5}(1-2x)^{1.5}}$$
c.
$$= \frac{3}{32} \frac{P^{1.5}(1+\frac{\pi}{3})(1-5x)^{1.5}}{x} - \frac{8}{K_p^2} \frac{x}{P^{0.5}(1-5x)^{1.5}}$$

V)
$$N_2 \wedge (N_2)_{ad}$$
, $\theta_{NH3} = 1.0$

a.
$$f(x) = \frac{1}{4} \frac{(1-x)}{x} - \frac{1}{K_p^2} \frac{64}{27} \frac{x}{P^2 (1-x)^3}$$

反應機構が I, II, III, の場合は f(x) の第一項は従つて又正反應速度はいづれも P に比例し、IV の場合は P^{i-5} に V の場合は $P^{i}=1.0$ に比例している。

正反應速度が P^{1-5} に比例するのはかならずしも IV の場合ばかりではない。例へば $^{1)}$

 $NH_2+H_2 + NH_1 + H_1$, $\theta_{NH_3} = 1.0$

の場合とか、又は I, III等において $\theta_{\rm NH3}$ = 1.0 の代りに $\theta_{\rm NH2}$ = 1.0 としてもそうなる。

§ 4. 計算結果と其の檢討

第 1 表の結果を見ると 400° C で入口組成 3:1 の場合は全壓が $33.3\sim100$ Atm. の間にある限り,反應機構は I_i III,III 等正反應速度が P に比例するもの が $P^{1.5}$ に比例する IV より一致した IV の値を與えていることが判る。

400℃ で入口組成が 1:1, 1:3 の場合も P の變化に對する k の一致という觀點から, やは b I, II, III 等が良い。一方溫度, 全壓を一定にし入口組成を 3:1, 1:1, 1:3 と變えた場合

^{1) 71}頁 脚註 1).

^{2) 72}頁 脚註 2).

第 1 表

| 121 1 | | | | | | 第 | 1. | 表 | | | | - | 7 | |
|---------------|------------------|---------------------|----------------------|-----------------------|-----------------|----------------------|------------------------|--------------------|-------------|--------------------|------------------|---------------------|-------------------------------------|---|
| | 400°C, | 100 At | m, 3:1 | | | 40Q C, | 66.6 At | m, 3: | 1 | | 400°C, | 33.3 A | ban, 3: | 1 |
| (S'V) 10-4 | k_{I} 10^{8} | $k_{II} \cdot 10^8$ | k _{III} 108 | k _{IV} · 109 | (S'V')∙ 10−4 | $k_{I} \cdot 10^{8}$ | $k_{II_{A}}^{"}10^{8}$ | k _{III} . | k₁√. 109 | (S'V) 10^{-4} | $k_I \cdot 10^8$ | &11·10 ⁸ | k _{III} 10 ⁸ | $\left. egin{array}{l} k_{IV} \cdot \\ 10^9 \end{array} ight.$ |
| 1.0 | 1.99 | 1.74 | 1.74 | 2.07 | 2.0 | 2.28 | 2.05 | 1.31 | 2.94 | 2.5 | 2.41 | 2.13 | 1.40 | 4.31 |
| 2.5 | 2.15 | 2.02 | 1.24 | 2.38 | 2.5 | 2.22 | 2.04 | 1.28 | 2.93 | 5.0 | 2.24 | 2.04 | 1.30 | 4.12 |
| 5.0 | 1.93 | 1.80 | 1.11 | 2.10 | 5.0 | - 2.21 | 2.09 | 1.28 | 2.98 | 7.5 | 2.08 | 1.93 | 1.20 | 3.89 |
| 7.5 | 1.68 | 1.62 | 0.97 | 1.89 | 7.5 | 2.10 | 2.01 | 1.21 | 2.96 | 10.0 | 1.91 | 1.75 | 1.10 | 3.53 |
| 10.0 | 1.60 | 1.56 | 0.92 | 1.81 | 10.0 | 1.81 | 1.73 | 1.04 | 2.46 | 12.5 | 1.80 | 1.69 | 1.04 | 3.39 |
| 12.5 | 1.52 | 1.47 | 0.88 | 1.71 | 12.5 | 1.69 | 1.63 | 0.98 | 2.32 | 15.0 | 1.72 | 1.60 | 0.99 | 3.20 |
| 15.0 | 1.36 | 1.34 | 0.78 | 1.55 | 15. | 1.62 | 1.59 | 0.93 | 2.25 | \times 6.5 | 1.94 | 1.79 | 1.12 | 3.60 |
| | | | | | × 6.0 | 2.09 | 1.94 | 1.20 | 2.78 | \times 12.0 | 1.74 | 1.64 | 1.07 | 3.29 |
| | | | | | × 11.5 | 1.86 | 1.80 | 1.07 | 2.56 | × 16.0 | 1.51 | 1.40 | 0.87 | 2.80 |
| | | | | | imes 17.5 | 1.29 | 1.28 | 0.74 | 1.82 | | | | | |
| | | 第 | 2 | 表 | | | | | | 舅 | 3 | 表 | (4) (1) | |
| | | 400°C, | 100 A tı | n. 1:1 | | | | | | 400°C, | 100 At | m, 1: | 3 | |

| | | | | | | | | | | |
|------------|-------------------------|-----------------|------------------------|---------------------|------|------------|------------------|----------------------|----------|--------|
| | 4 00° C , | 100 Atm, | 1:1 | | | | 400°C, | 100 Atm, | 1:3 | |
| (S'V) 10-4 | $k_I \cdot 10^8$ | $k_{II} 10^{8}$ | $k_{III} \cdot 10^{8}$ | $k_{IV} \cdot 10^9$ | | (S'V) 10-4 | $k_I \cdot 10^8$ | k _{II} ·108 | k111·108 | kiv109 |
| 3.5 | 1.79 | 1.63 | 1.84 | 2.37 | | 3.0 | 1.04 | 0.92 | 1.71 | 1.94 |
| 5.0 | 1.70 | 1.58 | 1.75 | 2.31 | | - 5.0 | 1.11 | 1.01 | 1.90 | 2.11 |
| 7.5 | 1.72 | 1.63 | 1.75 | 2.32 | | 10.0 | 1.08 | 1.00 | 1.73 | 2.05 |
| 10.0 | 1.63 | 1.56 | 1.66 | 2.26 | | 12.5 | 1.01 | 0.96 | 1.82 | 1.95 |
| 12.5 | 1.47 | 1.39 | 1.49 | 1.99 | | 17.0 | 0.86 | 0.84 | 1.56 | 1.71 |
| 15.5 | 1.29 | 1.26 | 1.30 | 1.80 | | | | | | |
| | 400°C, | 50 Atm, | 1:1 | | | | 400°C, | 66.6 Atm | , 1:3 | 11.4 |
| 4.0 | 1.56 | 1.40 | 1.58 | 2.84 | | 3.5 | 1.03 | 0.88 | 1.85 | 2.25 |
| 5.5 | 1.58 | 1.43 | 1.61 | 2.92 | į m. | 5.0 | 1.02 | 0.90 | 1.82 | 2.27 |
| 7.5 | 1.52 | 1.41 | 1.54 | 2.87 | | 7.5 | 1.01 | 0.91 | 1.80 | 2.29 |
| 10.0 | 1.29 | 1.23 | 1.31 | 2.47 | | 10.0 | 0.93 | 0.85 | 1.62 | 2.12 |
| 12.5 | 1.14 | 1.09 | 1.15 | 2.20 | | 12.5 | 0.85 | 0.79 | 1.44 | 1.92 |
| 15.0 | 1.01 | 0.96 | 1.01 | 1.95 | . # | 17.0 | 0.78 | 0.73 | 1.34 | 1.83 |
| | 400°C, | 33.3 Atm | , 1:1 | | | | 400°C, | 33.3 Atm | 1, 1:3 | |
| 4.0 | 1.42 | 1.26 | 1.44 | 3.14 | | 4.0 | 1.10 | 0.89 | 1.96 | 3.16 |
| 5.0 | 1.39 | 1.24 | 1.42 | 3.09 | | 5.0 | 1.16 | 0.84 | 2.09 | 2.78 |
| 7.5 | 1.34 | 1.23 | 1.36 | 3.01 | | 7.5 | 1.08 | 0.90 | 1.97 | 3.20 |
| 10.0 | 1.31 | 1.22 | 1.31 | 2.99 | | 10.0 | 1.04 | 0.89 | 1.81 | 3.12 |
| 15.0 | 0.93 | 0.87 | 0.93 | 2.14 | • • | 12.5 | 0.94 | 0.82 | 1.67 | 2.89 |
| | | - | | | | 15.0 | 0.87 | 0.78 | 1.55 | 2.73 |
| | | 1. | 1 | 1 | | | | | | |

に對する k の一致という觀點からは IV がよくなつている。 どれか一つの機構に 従つて反應が進んでいるとすれば之は矛盾である。ところが機構 I,II では k は入口組成が 3:1 から 1:3 に進むに従つて大きくなり、機構 III の場合は逆に小さくなる傾向を示している。 それで實際は I,II,III が合なり合つて起つていて、其の割合が組成によつて漸次變るのかも

| | 第 | 4 3 | 長 | | | 第 | 5 表 | |
|-----------|------------------|---------------------|----------|---------------------|-----|--|-----------------------------------|-----------------------------------|
| | 450°C, | 100 Atm | . 3:1 | · \ | | 450°C | , 100 Atm, 1 | ; 1 |
| (SV) 10-4 | $k_1 \cdot 10^8$ | $k_{II} \cdot 10^8$ | k111 108 | $k_{IV} \cdot 10^9$ | | $(S'V) \cdot 10^{-4}$ | k _{III} ·10 ⁸ | k _{IV} · 10 ⁹ |
| 1.0 | 7.40 | 5.40 | 4.27 | 6.46 | | 3.5 | 5.11 | 5.73 |
| 2.5 | 7.50 | 6.26 | 4.33 | 7.41 | | | . *** | |
| 5.0 | 7.61 | 6.29 | 4.40 | 7.39 | | 5.0 | 4.98 | 5.75 |
| 7.5 | 7.36 | 6.52 | 4.25 | 7.64 | | 7.5 | 5.32 | 6.29 |
| 10.5 | 7.18 | 6.44 | 4.15 | 7.52 | | 10.0 | 5.28 | 6.42 |
| 12.5 | 7.61 | 6.93 | 4.39 | 8.10 | | 12.5 | 5.01 | 6.22 |
| 15.0 | 7.29 | 6.71 | 4.21 | 7.83 | | | | 0.24 |
| + 6.5 | 7.86 | 6.66 | 4.54 | 7.82 | | 15.0 | 4.69 | 5.90 |
| + 10.0 | 7.37 | 6.66 | 4.25 | 7.80 | | 4709 | O 70 At 1 | |
| + 13.0 | 6.77 | 6.26 | 3.91 | 7.31 | 100 | 450 | C, 50 Atm, 1 | : 1 |
| + 16.0 | 6.25 | 5.81 | 3.61 | 6.76 | | 4.0 | 4.54 | 6.84 |
| × 6.5 | 6.99 | 6.05 | 4.03 | 7.09 | | | | |
| × 17.0 | 5.42 | 5.05 | 3.13 | 5.89 | | 5.0 | 4.55 | 6.89 |
| | 450°C, | 66.6 Atm | , 3:1 | es . | | 7.5 | 4.52 | 7.29 |
| 1.0 | 7.32 | 4.97 | 4.23 | 7.24 | | 10.0 | 4.21 | 6.99 |
| 2.5 | 7.55 | 5.68 | 4.36 | 8.20 | 4 - | | | |
| 5.0 | 7.20 | 5.90 | 4.16 | 8.45 | | 12.5 | 3.83 | 6.48 |
| 7.5 | 6.99 | 5.90 | 4.04 | 8.43 | | 15.0 | 3.72 | 6.37 |
| 10.0 | 6.65 | 5.80 | 3.84 | 8.27 | | <u> </u> | | · |
| 12.0 | 6.35 | 5.57 | 3.67 | 7.94 | | 450°C | , 33.3 Atm, 1 | :1 |
| 15.0 | 6.07 | 5.35 | 3.50 | 7.61 | | | | |
| + 6.0 | 6.42 | 5.33 | 3.71 | 7.61 | | 4.0 | 4.43 | 8.01 |
| + 12.0 | 6.02 | 5.25 | 3.47 | 7.48 | | 5.0 | 4.25 | 7.93 |
| + 17.0 | 4.89 | 4.31 | 2.82 | 6.16 | | 7.5 | 3.96 | 7.76 |
| | 450°C, | 33.3 Atm | , 3:1 | | | 10.0 | 3.72 | 7.45 |
| 3.0 | 7.77 | 5.61 | 4.49 | 11.4 | u u | 12.5 | 3.62 | 7.17 |
| 5.0 | 6.99 | 5.36 | 4.03 | 10.8 | | | 1 | * |
| 7.0 | 6.41 | 5.26 | 3.70 | 10.6 | | 15.5 | 3.49 | 6.56 |
| 10.0 | 6.19 | 5.19 | 3.57 | 10.5 | | | | |
| 12.5 | 5.79 | 4.92 | 3.34 | 9.91 | | | | |
| 15.0 | 5.56 | 4.83 | 3.21 | 9.71 | | | • | |
| + 6.0 | 5.93 | 4.77 | 3.42 | 9.64 | | | | |
| + 12.0 | 4.99 | 4.28 | 2.88 | 8.63 | | | | |
| + 16.0 | 4.33 | 3.85 | 2.50 | 7.75 | | A STATE OF THE STA | | |

知れない。

 450° C, 3:1 では I, II, III (+の印のものは IV) が, 1:1 では III, 1:3 では IV が P の變化に對し一致した k の値を與える。入口組成を變えて k を調べてみると III が最も良い。 次に 370° C に對しては 3:1 の場合に對する k_P のみを示す。

| * 1 | 第 6 表 | • | *. ** | 第 | 7 表 | |
|---------------|-----------------------------------|----------------------|---------------------------------------|------------------------|---------------|--------|
| 450°C | C, 100 Atm, 1 | :3 | | 370°C | C, 100 Atm, 3 | :1 |
| (S'V)·10-4 | k _{III} ·10 ⁸ | k _{IV} ·109 | | (S'V)·10 ⁻⁴ | x2 100 | ky 107 |
| 3.5 | 4.91 | 4.03 | | 1.5 | 3.75 | 5.38 |
| 5.0 | 4.95 | 4.16 | | 2.5 | 2.78 | 4.87 |
| 7.5 | 4.93 | 4.31 | | 5.0 | 1.64 | 3.33 |
| 10.0 | 4.77 | 4.32 | | 7.5 | 1.26 | 2.94 |
| 12.5 | 4.74 | 4.24 | | 10.0 | 1.00 | 2.47 |
| 14.0 | 4.43 | 4.06 | | 12.5 | 0.85 | 2.25 |
| | | | | 15.0 | 0.76 | 2.16 |
| 45 0°€ | c, 66.6 Atm, 1 | :3 | | 370°C | c, 66.6 Atm, | 3:1 |
| 3.0 | 4.61 | 4.39 | | 2.5 | 2.53 | • 4.09 |
| 5.0 | 4.54 | 4.57 | | 5.0 | 1.67 | 3.44 |
| 7.5 | 4.44 | 4.74 | , T | 7.5 | 1.28 | 3.02_ |
| 10.0 | 4.21 | 4.73 | | 10.0 | 1.04 | 2.66 |
| 12.5 | 3.93 | 4.49 | | 12.5 | 0.90 | 2.55 |
| 15.0 | 3.66 | 4.26 | | 15.0 | 0.80 | 2.40 |
| 17.0 | 3.52 | 4.13 | | | | |
| (450°C | C, 33.3 Atm, 1 | : 3 | | 370°C | C, 33.3 Atm, | 3:1 |
| 4.0 | 3.44 | 4.78 | | 2.0 | 2.12 | 2.25 |
| 5.0 | 3.45 | 4.85 | | 2.5 | 1.89 | 2.22 |
| 7.5 | 3.44 | 5.17 | | 5.0 | 1.29 | 2.05 |
| 10.0 | 3.52 | 5.53 | . **** | 7.5 | 1.03 | 1.96 |
| 12.5 | 3.48 | 5.56 | · · · · · · · · · · · · · · · · · · · | 10.0 | 0.88 | 1.95 |
| 15.0 | 3.32 | 5.44 | | 12.5 | 0.75 | 1.73 |
| | | | 1000 | 15.0 | 0.65 | 1.59 |

第7表では特に (S'.V) に對する x_e の値を表記して置いた。100 Atm. ≥ 66.6 Atm では 大略 (S'.V) 對 x_e の關係は一致している。即ち 合成速度は大略 P に無關係となつている。機構 V を假定すれば,正反應は P' に比例し,即ち P に無關係となるので反應機構として V のみを 假定してみたのである。

全壓が $33.3\sim100~{\rm Atm}$ の範圍で溫度を $370^{\circ}{\rm C}$, $400^{\circ}{\rm C}$, $450^{\circ}{\rm C}$ と漸次高めて行つた場合正 反應速度は P' から P' に比例する様になつている。これから想像して溫度を上げて行くと, 正反應速度を P' に比例するとすると,n なる指数が漸次大きくなるように反應機構が變化して行くのかも知れない。但し高溫になつて活性點に對する吸着物質が追い拂われるように なると n は其に應じてかはる。しかしとにかく, 入口組成を工業上と同じく H_2 對 N_2 が 3:1 の場合のみに限れば $33.3\sim100~{\rm Atm}$, $400\sim450^{\circ}{\rm C}$ の範圍では反應機構は I, II, III 等正反應の速度表式が P' に比例するものが最も良く適合している。

§ 5. 全壓が大になった場合に關する補遺

序言で述べたように著者は前に $^{1)}$ EMMETT $\stackrel{\circ}{}^{\circ}$ の二重に助觸された $^{\circ}$ Fe 觸媒による $^{\circ}$ 475° C 種々なる全壓における實測値を解析し同溫度では $^{\circ}$ 100 Atm 以上では正反應速度は $^{\circ}$ に比例することを見出している。其の際 $^{\circ}$ 100, 300, 600 Atm に對するものは正反應速度が $^{\circ}$ に比例する形式で反應速度常数を求めて置いたがこれはむしろ $^{\circ}$ TEMKIN 等の $^{\circ}$ 1V の如く $^{\circ}$ に比例するとした方がよい。そうすれば次の

 $(475^{\circ}\text{C}, 100 \text{ Atm}, 0.065 < x)$

$$V = 1.43 \times 10^{-9} \times \frac{P^{1.5} (1-x)^{2.5}}{x} - 4.79 \times 10^{-4} \frac{x}{P^{0.5} (1-x)^{1.5}}$$
 (7)

 $(475^{\circ}\text{C}, 300 \text{ Atm}, 0.13 < x)$

$$V = 1.89 \times 10^{-9} \frac{P^{1.5} (1-x)^{2.5}}{x} - 5.61 \times 10^{-4} \frac{x}{P^{0.5} (1-x)^{1.5}}$$
 (8)

 $(475^{\circ}\text{C}, 600 \text{ Atm}, 0.22 < x)$

$$V = 1.86 \times 10^{-9} \frac{\dot{P}^{1.5} (1-x)^{2.5}}{x} - 4.16 \times 10^{-4} \frac{x}{\dot{P}^{0.5} (1-x)^{1.5}}$$
(9)

 $100\sim600~{
m Atm}$,で $P^{1.5}$ に 比例しているということは一應 IV なる機構で反應が 進んでいる と考えられるが, $100~{
m Atm}$ 以下では正反應速度が P に比例し $1000~{
m Atm}$ 以上では P^2 に比例することから, $100\sim10000~{
m Atm}$ では兩者が重なり合い見掛け上 $P^{1.5}$ に比例するとも考えられる。

§ 6. 要約

EMMETT等の二重に助觸された Fe 觸媒による 370, 400, 450℃, 33.3~100 Atm, 入口組成を三通りに變えて行つた NH。合成の實測値を種々なる反應機構, 速度表式より解析し比

^{1) 71}頁 脚註 1).

²⁾ 同上 2).

較檢討した。入口組成を工業上と同じとすれば $400\sim450^{\circ}$ C では正反應速度が P に比例する著者が前に提出した形式が最も良く實測値を表わす。尚溫度を高めるに從い,正反應速度を P^{a} に比例するとする場合,n なる指数が増す傾向があることを認めた。

此の研究は著者が北大工學部在職中同學岡本教授指導のもとに始めたものである。同教 授に深謝する。(昭和24年4月,日本化學會年會講演)

A Table of the Coefficients of the Interpolation Formula of Steffensen

Masao Yoshida

Abstract

In this report the present writer gives a table of the numerical values for the coefficients of the interpolation formula of Steffensen. The values are computed to ten signicant figures and odd differences are also included.

The interpolation formula of Steffensen is one of the most useful formulas for interpolation. Representing by y(x) the function to be tabulated, by x the argument, and by h the tabular interval, the formula may be written as follows:⁽¹⁾

$$y(x+ph) = y(x) - \overline{S}_{1}(p)\delta_{-\frac{1}{2}} + S_{1}(p)\delta_{\frac{1}{2}} - \overline{S}_{2}(p)\delta_{-\frac{1}{2}}^{3} + S_{2}(p)\delta_{\frac{3}{2}}^{3} - \overline{S}_{2}(p)\delta_{-\frac{1}{2}}^{3} + S_{3}(p)\delta_{-\frac{1}{2}}^{5} - \cdots,$$

where $\bar{S}_n(p) = {p+n \choose 2n}$ and $S_n(p) = {p+n \choose 2n}$ $(n=1,2,3\cdots)$. This formula employs odd differences only according to the scheme:

$$x-h$$
 y_{-1} $\delta_{-\frac{1}{2}}$ $\delta^{3}_{-\frac{1}{2}}$ $\delta^{5}_{-\frac{1}{2}}$... x y_{0} $\delta_{\frac{1}{2}}$ $\delta^{3}_{\frac{1}{2}}$ $\delta^{3}_{\frac{1}{2}}$ $\delta^{5}_{\frac{1}{2}}$... $\delta^{5}_{\frac{1}{2}}$...

So far as the writer remembers, the numerical values for these coefficients seem to have not been given as yet notwithstanding the practical value of this formula. The object of the present report is to give the numerical values of these coefficients. A table of these values are given on the following pages.

This table contains the numerical values over the range form p = 0.00 to p = 1.00 by intervals of 0.01 for the first six coefficients $\overline{S}_n(p)$, $S_n(p)$ (n = 1,2,3). The values of the first four coefficients $\overline{S}_n(p)$, $S_n(p)$ (n = 1,2) are exact, and those of $\overline{S}_n(p)$ and $S_n(p)$ are computed to ten significant figures with the possible errors less than half one unit in the last place. For convenience in the application of this formula, difference-table is also included in the modified form:

⁽¹⁾ See for example, L.M. Milne-Thomson: The Calculus of Finite Differences, (1933), p. 74; K. Havashi: Interpolation and Numerical Computation (in Japanese) (1943), pp. 47-48.

| 7 | _ | | | _ = | |
|------|---------------------|------------------------|----------------------|--------------------|-----------------|
| P | $ar{S}_{1}$. | 8 | S_1 | δ | P |
| | | | 1 | 1: | 1 |
| 0.00 | 0.00000 | -0.00505 | 0.00000 | 0.00495 | 0.00 |
| 0.01 | -0.00495 | -0.00495 | 0.00505 | 0.00505 | 0.01 |
| 0.02 | -0.00980 | -0.00485 | 0.01020 | 0.00515 | 0.02 |
| 0.03 | -0.01455 | -0.06475 | 0.01545 | 0.00525 | 0.03 |
| 0.04 | -0.01920 | -0.00465 | 0.02080 | 0.00535 | 0.04 |
| 0.05 | -0.02375 | -0.00455 | 0.02625 | 0.00545 | 0.05 |
| 0.06 | -0.02820 | -0.00445 | 0.03180 | 0.00555 | 0.06 |
| 0.07 | -0.03255 | -0.00435 | 0.03745 | 0.00565 | 0.07 |
| 0.08 | -0.03680 | -0.00425 | 0.04320 | 0.00575 | 0.08 |
| 0.09 | -0.04095 | -0.00415 | 0.04905 | 0.00585# | 0.09 |
| 0.10 | -0.04500 | -0.00405 | 0.05500 | 0.00595 | 0.10 |
| 0.11 | -0.04895 | -0.00395 | 0.06105 | 0.00605 | 0.11 |
| 0.12 | -0.05280 | -0.00385 | 0.06720 | 0.00615 | 0.12 |
| 0.13 | -0.05655 | -0.00375 | 0.07345 | 0.00625 | 0.13 |
| 0.14 | -0.06020 | -0.00365 | 0.07980 | 0.00635 | 0.14 |
| 0.15 | -0.06375 | -0.00355 | 0.08625 | 0.00645 | 0.15 |
| 0.16 | -0.06720 | -0.00345 | 0.09280 | 0.00655 | 0.16 |
| 0.17 | -0.07055 | -0.00335 | 0.09945 | 0.00665 | 0.17 |
| 0.18 | -0.07380 | -0.00325 | 0.10620 | 0.00675 | 0.18 |
| 0.19 | -0.07695 | -0.00315 | 0.11305 | 0.00685 | 0.19 |
| 0.20 | -0.08000 | -0.00305 | 0.12000 | 0.00695 | 0.20 |
| 0.21 | -0.08295 | -0.00295 | 0.12705 | 0.00705 | 0.21 |
| 0.22 | -0.08580 | -0.00285 | 0.13420 | 0.00715 | 0.22 |
| 0.23 | -0.08855 | -0.00275 | 0.14145 | 0.00725 | 0.23 |
| 0.24 | -0.09120 | 0.00265 | 0.14880 | 0.00735 | 0.24 |
| 0.25 | -0.09375 | -0.00255 | 0.15625 | 0.00745 | 0.25 |
| 0.26 | -0.09620 | -0.00245 | 0.16380 | 0.00755 | 0.26 |
| 0.27 | -0.09855 | -0.00235 | 0.17145 | 0.00765 | 0.27 |
| 0.28 | -0.10080 | -0.00225 | 0.17920 | 0.00775 | 0.28 |
| 0.29 | -0.10295 | -0.00215 | 0.18705 | 0.00785 | 0.29 |
| 0.30 | -0.10500 | -0.00205 | 0.19500 | 0.00795 | 0.30 |
| 0.31 | -0.10695 | -0.00195 | 0.20305 | 0.00805 | 0.31 |
| 0.32 | -0.10880 | -0.00185 | 0.21120 | 0.00815 | 0.32 |
| 0.33 | -0.11055 | -0.00175 | 0.21945 | 0.00825 | 0.33 |
| 0.34 | -0.11220 | -0.00165 | 0.22780 | 0.00835 | 0.34 |
| 0.35 | 0.11975 | - 0.00155 | 0.00005 | 0.00045 | 0.95 |
| 0.36 | -0.11375 -0.11520 | $-0.00155 \\ -0.00145$ | 0.23625 | 0.00845 | 0.35 |
| 0.37 | -0.11620 -0.11655 | 0.00102 | $0.24480 \\ 0.25345$ | 0.00855 0.00865 | $0.36 \\ 0.37$ |
| 0.38 | -0.11099 -0.11780 | -0.00135 -0.00125 | 0.26220 | 0.00805 | 0.37 |
| 0.39 | -0.11895 | -0.00125 -0.00115 | 0.27105 | 0.00875 | 0.39 |
| | | | 0.27100 | 0.0000 | 0.00 |
| 0.40 | -0.12000 | -0.00105 | 0.28000 | 0.00895 | 0.40 |
| 0.41 | -0.12095 | -0.00095 | 0.28905 | 0.00905 | 0.41 |
| 0.42 | - 0.12180 | -0.00085 | 0.29820 | 0.00915 | 0.42 |
| 0.43 | -0.12255 | -0.00075 | 0.30745 | 0.00925 | 0.43 |
| 0.44 | -0.12320 | -0.00065 | 0.31680 | 0.00935 - | 0.44 |
| 0,45 | -0.12375 | -0.00055 | 0.32625 | 0.00945 | 0.45 |
| 0.46 | -0.12420 | -0.00045 | 0.33580 | 0,00955 | 0.46 |
| 0.47 | -0.12455 | -0.00035 | 0.34545 | 0.00965 | 0.47 |
| 0.48 | -0.12480 | -0.00025 | 0.35520 | 0.00975 | 0.48 |
| 0.49 | -0.12495 | -0.00015 | 0.36505 | 0.00985 | 0.49 |
| 0.50 | -0.12500 | -0.00005 | 0.37500 | 0.00995 | 0.50 |
| | | | - | | t in the second |

| Þ | \bar{S}_1 | 8 | $\mathcal{S}_{\mathbf{i}}$ | δ | Þ |
|----------------------|---|--------------------|----------------------------|--------------------|--------------|
| 0.50 | -0.12500 | -0.00005 | 0.37500 | 0.00995 | 0.50 |
| | -0.12500 -0.12495 | | | | |
| 0.51 0.5 2 | | 0.00005 | 0.38505 | 0.01005 | 0.51 |
| 0.82 | -0.12480 | 0.00015 | 0.39520 | 0.01015 | 0.52 |
| 0.53 | -0.12455 | 0.00025 | 0.40545 | 0.01025 | 0.53 |
| 0.54 | -0.12420 | 0.00035 | 0.41580 | 0.01035 | 0.54 |
| 0.55 | -0.12375 | 0.00045 | 0.42625 | 0.01045 | 0.55 |
| 0.56 | -0.12320 | 0.00055 | 0.43680 | 0.01055 | 0.56 |
| 0.57 | -0.12255 | 0.00065 | 0.44745 | 0.01065 | 0.57 |
| 0.58 | -0.12180 | 0.00075 | 0.45820 | 0.01075 | 0.58 |
| 0.59 | -0.12095 | 0.00085 | 0.46905 | 0.01085 | 0.59 |
| 0.80 | -0.12000 | 0.00095 | 0.48000 | 0.01095 | 0.60 |
| 0.61 | -0.11895 | 0.00105 | 0.49105 | 0.01105 | 0.61 |
| 0.62 | -0.11780 | 0.00115 | 0.50220 | 0.01115 | 0.62 |
| 0.63 | -0.11655 | 0.00125 | 0.51345 | 0.01115 | 0.63 |
| 0.64 | -0.11520 | 0.00135 | 0.52480 | 0.01125 | 0.64 |
| 0.02 | 0.11010 | 0.00130 | 0.02400 | 0.01155 | 0.04 |
| 0.65 | -0.11375 | 0.00145 | 0.53625 | 0.01145 | 0.65 |
| 0.66 | -0.11220 | 0.00155 | 0.54780 | 0.01155 | 0.66 |
| 0.67 | -0.11055 | 0.00165 | 0.55945 | 0.01165 | 0.67 |
| 0.68 | -0.10880 | 0.00175 | 0.57120 | 0.01175 | 0.68 |
| 0.69 | -0.10695 | 0.00185 | 0.58305 | 0:01185 | 0.69 |
| 0.70 | -0.10500 | 0.00195 | 0.59500 | 0.01195 | 0.70 |
| 0.71 | -0.10295 | 0.00205 | 0.60705 | 0.01205 | 0.71 |
| 0.72 | -0.10080 | 0.00215 | 0.61920 | 0.01215 | 0.72 |
| 0.73 | -0.09855 | 0.00225 | 0.63145 | 0.01225 | 0.73 |
| 0.74 | -0.09620 | 0.00235 | 0.64380 | 0.01235 | 0.74 |
| 0.75 | -0.09375 | 0.00245 | 0.65625 | 0.01245 | 0.75 |
| 0.76 | -0.09120 | 0.00255 | 0.66880 | 0.01255 | 0.76 |
| 0.77 | -0.08855 | 0.00265 | 0.68145 | 0.01265 | 0.77 |
| 0.78 | -0.08580 | 0.00275 | 0.69420 | 0.01275 | 0.78 |
| 0.79 | -0.08295 | -0.00285 | 0.70705 | 0.01275 | 0.79 |
| 0.80 | _0.09000 | 0.00005 | 0.79000 | 0.01005 | 0.00 |
| 0.81 | -0.08000 -0.07695 | 0.00295 0.00305 | $0.72000 \\ 0.73305$ | 0.01295 | 0.80 0.81 |
| 0.82 | -0.07380 | 0.00305 | 0.74620 | 0.01305 | 0.81 |
| 0.83 | | 0.00315 | | 0.01315 | |
| 0.84 | $ \begin{array}{c c} -0.07055 \\ -0.06720 \end{array} $ | 0.00325 | 0.75945 | 0.01325 | 0.83 0.84 |
| 0.01 | -0.00720 | 0.00330 | 0.77280 | 0.01335 | 0.04 |
| 0.85 | -0.06375 | 0.00345 | 0.78625 | 0.01345 | 0.85 |
| 0.86 | -0.06020 | 0.00355 | 0.79980 | 0.01355 | 0.86 |
| 0.87 | -0.05655 | 0.00365 | 0.81345 | 0.01365 | 0.87 |
| 0.88 | 0.05280 | 0.00375 | 0.82720 | 0.01375 | 0:88 |
| 0.89 | -0.04895 | 0.00385 | 0.84105 | 0.01385 | 0.89 |
| 0.90 | -0.04500 | 0.00395 | 0.85500 | 0.01395 | 0.90 |
| 0.91 | -0.04095 | 0.00405 | 0.86905 | 0.01405 | 0.91 |
| 0.92 | -0.03680 | 0.00415 | 0.88320 | 0.01415 | 0.92 |
| 0.93 | -0.03255 | 0.00425 | 0.89745 | 0.01425 | 0.93 |
| 0.94 | -0.02820 | 0.00435 | 0.91180 | 0.01435 | 0.94 |
| 0.95 | -0.02375 | 0.00445 | 0.92625 | 0.01445 | 0.95 |
| 0.96 | -0.02575 -0.01920 | 0.00445 | 0.94080 | 0.01455 | 0.95 |
| 0.97 | -0.01920 -0.01455 | 0.00465 | 0.95545 | 0.01465 | 0.90 |
| 0.98 | | | | | |
| 0.98 | -0.00980 -0.00495 | 0.00475 0.00485 | $0.97020 \\ 0.98505$ | 0.01475 0.01485 | 0.98 0.99 |
| | | | | | |
| 1.00 | 0.00000 | 0.00495 | 1.00000 | 0.01495 | 1.00 |

| | | | | |
|---------------|------------------------------------|------------------------------------|--|---|
| p | \overline{S}_2 | δ | δ^3 | p |
| 0.00 | 0.00000 000000 0 | 0.00083 74162 5 | -5050 0 | 0.00 |
| 0.01 | 0.00082 90837 5 | 0.00082 90837 5 | -4950 0 | 0.01 |
| 0.02 | 0.00164 93400 0 | 0.00082 02562 5 | -4850 0 | 0.02 |
| 0.03 | 0.00246 02837 5 | 0.00081 09437 5 | -4750 0 | 0.03 |
| 0.04 | 0.00326 14400 0 | 0.00080 11562 5 | -4650 0 | 0.04 |
| 0.05 | 0.00405 23437 5 | 0.00079 09037 5 | -4550 0 | 0.05 |
| 0.06 | 0.00483 25400 0 | 0.00078 01962 5 | -445 0 0 | 0.06 |
| 0.07 | 0.00560 15837 5 | 0.00076 90437 5 | -4350 0 | 0.07 |
| 0.08 | 0.00635 90400 0 0.00710 44837 5 | 0.00075 74562 5 0.00074 54437 5 | -4250 0 -4150 0 | 0.08 0.09 |
| 0.10 | 0.00783 75000 0 | 0.00073 30162 5 | -4050 0 | 0.10 |
| 0.11 | 0.00855 76837 5 | 0.00072 01837 5 | -3950 0 | 0.11 |
| 0.12 | 0.00926 46400 0 | 0.00070 69562 5 | -3850 0 | 0.12 |
| 0.13 | 0.00995 79837 5 | 0.00069 33437 5 | -3750 0 | 0.13 |
| 0.14 | 0.01063 73400 0 | 0.00067 93562 5 | -36 50 0 | 0.14 |
| 0.15 | 0.01130 23437 5 | 0.00066 50037 5 | -3550 0 | 0.15 |
| 0.16 | 0.01195 26400 0 | 0.00065 02962 5 | -34 50 0 | 0.16 |
| 0.17 | 0.01258 78837 5 | 0.00063 52437 5 | -3350 0 | 0.17 |
| 0.18 | 0.01320 77400 0 | 0.00061.98562 5 | -3250 0 | 0.18 |
| V 0.19 | 0.01381 18837 5 | 0.00060 41437 5 | -3150 0 | 0.19 |
| 0.20 | 0.01440 00000 0 | 0.00058 81162 5 | -3050 0 | 0.20 |
| 0.21 | 0.01497 17837 5 | 0.00057 17837 5 | -2950 0 | 0.21 |
| 0.22 | 0.01552 69400 0 | 0.00055 51562 5 | -2850 0 | 0.22 |
| 0.23 0.24 | 0.01606,51837 5 0.01658 62400 0 | 0.00053 82437 5 0.00052 10562 5 | $ \begin{array}{c ccccccccccccccccccccccccccccccccccc$ | $\begin{array}{c} 0.23 \\ 0.24 \end{array}$ |
| 0.25 | 0.01708 98437 5 | 0.00050 36037 5 | -2550 0 | 0.25 |
| 0.26 | 0.01757 57400 0 | 0.00048 58962 5 | -2450 O | 0.26 |
| 0.27 | 0.01804 36837 5 | 0.00046 79437 5 | -2350 0 | 0.27 |
| 0.28 | 0.01849 34400 0 | 0.00044 97562 5 | -2250 0 | 0.28 |
| 0.29 | 0.01892 47837 5 | 0.00043 13437 5 | -2150 0 | 0.29 |
| 0.30 | 0.01933 75000 0 | 0.00011 27162 5 | -2050 0 | 0.30 |
| 0.31 | 0.01973 13837 5 | 0.00039 38837 5 | -1950 0 | 0 31 |
| 0.32 | 0.02010 62400 0 | 0.00037 48562 5 | -1850 0 | 0.32 |
| 0.33 | 0.02046 18837 5 | 0.00035 56437 5 | -1750 0 | 0.33 |
| 0.34 | 0.02079 81400 0 | 0.00033 62562 5 | -1650 0 | 0.34 |
| 0.35 | 0.02111 48437 5 | 0.00031 67037 5 | -1550 0 | 0.35 |
| 0.36 | 0.02141 18400 0 | 0.00029 69962 5 | -1450 0 | 0.36 |
| 0.37 | 0.02168 89837 5 | 0.00027 71437 5 | 1350 0 | 0.37 |
| 0.38 | 0.02194 61400 0 | 0.00025 71562 5 | -1250 0 | 0.38 |
| 0.39 | 0.02218 31837 5 | 0.00023 70437 5 | -1150 0 | 0.39 |
| 0.40 | 0.02240 00000 0 | 0.00021 68162 5 | -1050 0 | 0.40 |
| 0.41 | $0.02259 \ 64837 \ 5$ | 0.00019 64837 5 | 950 0 | 0.41 |
| 0.42 | 0.02277 25400 0 | 0.00017 60562 5 | - 850 0 | 0.42 |
| 0.43 | 0.02292 80837 5 | 0.00015 55437 5 | - 750 0 | 0.43 |
| 0.44 | 0.02306 30400 0 | 0.00013 49562 5 | - 650 0 | 0.44 |
| 0.45 | 0.02317 73437 5 | 0.00011 43037 5 | - 550 0 | 0.45 |
| 0.46 | $0.02327 \ 09400 \ 0$ | 0.00009 35962 5 | - 450 0 | 0.46 |
| 0.47 | 0.02334 37837 5 | 0.00007 28437 5 | - 350 0 | 0.47 |
| 0.48 | 0.02339 58400 0 | 0.00005 20562 5 | -2500 | 0.48 |
| 0.49 | 0.02342 70837 5 | 0.00003 12437 5 | - 150 0 | 0.49 |
| 0.50 | 0.02343 75000 0 | 0.00001 04162 5 | - 50.0 | 0.50 |

| p | 52 | δ | δ3 | p |
|--------------|------------------------------------|--------------------------------------|----------------|-------|
| 0.50 | 0.02343 75000 0 | 0.00001 04162 5 | - 50 0 | 0.5 |
| 0.51 | 0.02342 70837 5 | -0.00001 04162 5 | 50 0 | 0.5 |
| 0.52 | 0.02339 58400 0 | -0.00001 04102 5 -0.00003 12437 5 | 150 0 | 0.5 |
| | | | | 0.5 |
| 0.53 0.54 | 0.02334 37837 5 0.02327 09400 0 | -0.00005 20562 5 -0.00007 28437 5 | 250 0 350 0 | 0.2 |
| 0.55 | 0.02317 73437 5 | -0.00009 35962 5 | 450 0 | 3.0 |
| 0.56 | 0.02306 30400 0 | -0.00011 43037 5 | 550 0 | 3.0 |
| 0.57 | 0.02292 80837 5 | -0.00013 49562 5 | 650 0 | 0.8 |
| 0.58 | 0.02277 25400 0 | -0.00015 55487 5 | 750 0 | 0.8 |
| 0.59 | 0.02259 64837 5 | -0.00017 60562 5 | 850 0 | 0.8 |
| 0.60 | 0.02240 00000 0 | -0.00019 64837 5 | 950 0. | 0.6 |
| 0.61 | 0.02218 31837 5 | -0.00021 68162 5 | 1050 0 | 0.6 |
| 0.62 | 0.02194 61400 0 | -0.00023704375 | 1150 0 | 0.6 |
| 0.63 | 0.02168 89837 5 | -0.00025 71562 5 | 1250 0 | 0.6 |
| 0:64 | 0.02141 18400 0 | -0.00027 71437 5 | 1350 0 | 0.6 |
| 0.65 | 0.02111 48437 5 | -0.00029 69962 5 | 1450 0 | 0.6 |
| 0.66 | 0.02079 81400 0 | -0.00031 67037 5 | 1550 0 | 0.6 |
| 0.67 | 0.02046 18837 5 | -0.00033 62562 5 | 1650 Q | 0.6 |
| 0.68 | 0.02010 62400 0 | -0.00035 56 4 37 5 | 1750 0 | 0.6 |
| 0.69 | 0.01973 13837 5 | -0.00037 48562 5 | 1850 0 | 0.6 |
| 0.70 | 0.01933 75000 0 | -0.00039 38837 5 | 1950 0 | 0.7 |
| 0.71 | 0.01892 47837 5 | $-0.00041.27162_5$ | 2050 0 | 0.7 |
| 0.72 | 0.01849 34400 0 | $-0.00043\ 13437\ 5$ | 2150 0 | .0.7 |
| 0.73 | 0.01804 36837 5 | -0.00044 97562 5 | 2250 0 | 0.7 |
| 0.74 | 0.01757 57400 0 | -0.00046 79437 5 | 2350 0 | 0.7 |
| 0.75 | 0.01708 98437 5 | -0.00048 58962 5 | 2450 0 | 0.7 |
| 0.76 | 0.01658 62400 0 | -0.00050 36037 5 | 2550 0 | 0.5 |
| 0.77 | 0.01606 51837 5 | $-0.00052\ 10562\ 5$ | 2650 0 | 0.7 |
| 0.78 | 0.01552 69400 0 | -0.00053 82 4 37 5 | 2750 0 | 0.7 |
| 0.79 | 0.01497 17837 5 | -0.00055 51562 5 | 2850 0 | 0.7 |
| 0.80 | 0.01440 00000 0 | -0.00057 17837 5 | 2950 0 | 0.8 |
| 0.81 | 0.01381 18837 5 | -0.00058 81162 5 | 3050 0 | 0.8 |
| 0.82 | 0.01320 77400 0 | -0.00060 41437 5 | 3150 0 | 0.8 |
| 0.83 | 0.01258 78837 5 | -0.00061 98562 5 | 3250 0 | . 0.8 |
| 0.84 | 0.01195 26400 0 | -0.00063 52437 5 | 3350 0 | 3.0 |
| 0.85 | 0.01130 23437 5 | -0.00065 02962 5 | 3450 0 | 0.8 |
| 0.86 | 0.01063 73400 0 | -0.00066 50037 5 | 3550 0 | 0.8 |
| 0.87 | 0.00995 79837 5 | -0.00067 93562 5 | 3650 0 | 0.8 |
| 0.88 | 0.00926 46400 0 | -0.00069 33437 5 | 3750 0 | 0.8 |
| 0.89 | 0.00855 76837 5 | -0.00070 69562 5 | 3850 0 | 0:8 |
| 0.90 | 0.00783 75000 0 | -0.00072 01837 5 | 3950 0 | 0.9 |
| 0.91 | 0.00710 44837 5 | -0.00073 30162 5 | 4050 0 | 0.9 |
| 0.92 | 0.00635 90400 0 | -0.00074 54437 5 | 4150 0 | 9.9 |
| 0.93 | 0.00560 15837 5 | -0.00075 74562 5 | 4250 0 | Ω.9 |
| 0.94 | 0.00483 25400 0 | -0.00076 90437 5 | 4350 0 | 0.9 |
| 0.95 | 0.00405 23437 5 | -0.00078 01962 5 | 4450 0 | 0.9 |
| 0.96 | 0.00326 14400 0 | -0.00079 09037 5 | 4550 0 | 0.9 |
| 0.97 | 0.00246 02837 5 | $-0.00080\ 11562\ 5$ | 4650 0 | 0.3 |
| 0.98 | 0.00164 93400 0 | -0.00081 09437 5 | 4750 0 | 0.9 |
| 0.99 | 0.00082 90837 5 | $-0.00082 \ 02562 \ 5$ | 4850 0 | 0.9 |
| 1.00 | 0.00000 00000 0 | 0.00082 90837 5 | 4950-0 | 1.0 |

| p | \mathcal{S}_2 | δ | 83 | P |
|----------------|--|---|-----------------------|----------------|
| 0.00 | 0.00000 00000 0 | -0.00082 90837 5 | 4950 0 | 0.00 |
| 0.01 | -0.00083 74162 5 | -0.00083 74162 5 | 5050 0 | 0.01 |
| 0.02 | -0.00168 26600 0 | -0.00084 52437 5 | 5150 0 | 0.02 |
| 0.03 | -0.00253 52162 5 | -0.00085 25562 5 | 5250 0 | 0.03 |
| 0:04 | -0.00339 45600 0 | -0.00085 93437 5 | 5350 0 | 0.04 |
| 0.05 | -0.00426 01562 5 | -0.00086 55962 5 | 5450 0 | 0.05 |
| 0.06 | -0.00513 14600 0 | -0.00087 13037 5 | 5550 0 | 0.06 |
| 0.07 | -0.00600791625 | -0.00087 64562 5 | 5650 0 | 0.07 |
| 0.08 | -0.00688 89600 0 | -0.00088 10437 5 | 5750 0 | 0.08 |
| 0.09 | $-0.00777 \ 40162 \ 5$ | -0.00088 50562 5 | 5850 0 | 0.09 |
| 0.10 | -0.00866 25000 0 | -0.00088 84837 5 | 5950 0 | 0.10 |
| 0.11 | -0.00955 38162 5 | -0.00089 13162 5 | 6050 0 | 0.11 |
| 0.12 | -0.01044 73600 0 | -0.00089 35437 5 | 6150 0 | 0.12 |
| 0.13 | -0.01134 25162 5 | -0.00089 51562 5 | 6250 0 | 0.13 |
| 0.14 | -0.01223 86600 0 | -0.00089 61437 5 | 6350 0 | 0.14 |
| 0.15 | -0.01313 51562 5 | - 0.00089 64962 5 | 6450 0 | 0.15 |
| 0.16 | -0.01403 13600 0 | -0.00089 62037 5 | 6550 0 | 0.16 |
| $0.17 \\ 0.18$ | -0.01492 66162 5 | -0.00089 52562 5 | 6650 0 | 0.17 |
| 0.18 | $ \begin{array}{c ccccccccccccccccccccccccccccccccccc$ | -0.00089 36437 5 -0.00089 13562 5 | 6750 0 6850 0 | $0.18 \\ 0.19$ |
| 0.20 | -0.01760 00000 0 | | . ' | 0.90 |
| 0.20 | | 0.00088 83837 5 | 6950 0 | $0.20 \\ 0.21$ |
| 0.22 | $ \begin{array}{rrrrrrrrrrrrrrrrrrrrrrrrrrrrrrrrrrrr$ | -0.00088 47162 5 | 7050 0 | $0.21 \\ 0.22$ |
| 0.23 | -0.02024 03162 5 | $\begin{array}{c ccccccccccccccccccccccccccccccccccc$ | 7150 0 | 0.23 |
| 0.24 | -0.02110976000 | -0.00086 94437 5 | $7250 \ 0 \ 7350 \ 0$ | 0.24 |
| 0.25 | -0.02197 26562 5 | -0.00086 28962 5 | 7450 0 | 0.25 |
| 0.26 | -0.0228282826000 | -0.00085 56037 5 | 7550 0 | 0.26 |
| 0.27 | -0.02367 58162 5 | -0.00084 75562 5 | 7650 0 | 0.27 |
| 0.28 | -0.02451 45600 0 | -0.00083 87437 5 | 7750 0 | 0.28 |
| 0.29 | -0.02534 37162 5 | -0.00082 91562 5 | 7850 0 | 0.29 |
| 0.30 | $-0.02616\ 25000\ 0$ | -0.00081878375 | 7950 0 | 0.30 |
| 0.31 | $-0.02697 \ 01162 \ 5$ | -0.00080 76162 5 | 8050 0 | 0.31 |
| 0.32 | -0.02776 57600 0 | -0.00079 56437 5 | 8150 0 | 0.32 |
| 0.33 | -0.02854 86162 5 | -0.00078 28562 5 | 8250 0 | 0.33 |
| 0.34 | -0.02931 78600 0 | -0.00076 92437 5 | 8350 0 | 0.34 |
| 0.35 | -0.03007 26562 5 | -0.00075 47962 5 | 8450 0 | 0.35 |
| 0.36 | $-0.03081 \ 21600 \ 0$ | -0.00073 95037 5 | 8550 0 | 0.36 |
| 0.37 | $-0.03153\ 55162\ 5$ | -0.00072 33562 5 | -8650 0 | 0.37 |
| 0.38 | $-0.03224\ 18600\ 0$ | -0.00070 63437 5 | 8750 0 | 0.38 |
| 0.39 | -0.03293 03162 5 | -0.00068 84562 5 | 8850 0 | 0.39 |
| 0.40 | -0.03360 00000 0 | -0.00066 96837 5 | 8950 0 | 0.40 |
| 0.41 | -0.03425 00162 5 | -0.00065 00162 5 | 9050 0 | 0.41 |
| 0.42 | -0.03487 94600 0 | -0.00062944375 | 9150 0 | 0.42 |
| 0.43 | -0.03548 74162 5 | -0.00060 79562 5 | 9250 0 | 0.43 |
| 0.44 | -0.03607 29600 0 | -0.00058 55437 5 | 9350 0 | 0.44 |
| 0.45 | -0.03663 51562 5 | -0.00056 21962 5 | 9450 0 | 0.45 |
| 0.46 | $-0.03717 \ 30600 \ 0$ | -0.00053 79037 5 | 9550 0 | 0.46 |
| 0.47 | -0.03768 57162 5 | -0.00051 26562 5 | 9650 0 | 0.47 |
| 0.48 | -0.03817 21600 0 | -0.00048 64437 5 | 9750 0 | 0.48 |
| 0.49 | $-0.03863\ 14162\ 5$ | -0.00045 92562 5 | 9850 0 | 0.49 |
| 0.50 | -0.03906 25000 0 | -0.00043 10837 5 | 9950 0 | 0.50 |

| <u> </u> | | | |
|--|---|--|--------------------------------------|
| Þ | S_2 | 83 | Þ |
| 0.50 0.51 0.52 0.53 0.54 | -0.03906 25000 0 -0.03946 44162 5 -0.03983 61600 0 -0.04017 67162 5 -0.04048 50600 0 | $ \begin{array}{c ccccccccccccccccccccccccccccccccccc$ | 0.50 0.51 0.52 0.53 0.54 |
| 0.55 0.56 0.57 0.58 0.59 | $ \begin{array}{c} -0.04076\ 01562\ 5 \\ -0.04100\ 09600\ 0 \\ -0.04120\ 04162\ 5 \\ -0.04137\ 54600\ 0 \\ -0.04150\ 70162\ 5 \end{array} $ | $\begin{array}{cccccccccccccccccccccccccccccccccccc$ | 0.55 0.56 0.57 0.58 0.59 |
| 0.60 0.61 0.62 0.63 0.64 | -0.04160 00000 0 -0.04165 33162 5 -0.04166 58600 0 -0.04163 65162 5 -0.04156 41600 0 | $\begin{array}{cccccccccccccccccccccccccccccccccccc$ | 0.60 0.61 0.62 0.63 0.64 |
| 0.65 0.66 0.67 0.68 0.69 | -0.04144 76562 5 -0.04128 58600 0 -0.04107 76162 5 -0.04082 17600 0 -0.04051 71162 5 | $\begin{array}{cccccccccccccccccccccccccccccccccccc$ | 0.65 0.66 0.67 0.68 0.69 |
| $egin{array}{c} 0.70 \\ 0.71 \\ 0.72 \\ 0.73 \\ 0.74 \\ \end{array}$ | $\begin{array}{c} -0.04016\ 25000\ 0\\ -0.03975\ 67162\ 5\\ -0.03929\ 85600\ 0\\ -0.03878\ 68162\ 5\\ -0.03822\ 02600\ 0\\ \end{array}$ | $ \begin{array}{cccccccccccccccccccccccccccccccccccc$ | 0.70 0.71 0.72 0.73 0.74 |
| 0.75 0.76 0.77 0.78 0.79 | $ \begin{array}{c} -0.03759\ 76562\ 5 \\ -0.03691\ 77600\ 0 \\ -0.03617\ 93162\ 5 \\ -0.03538\ 10600\ 0 \\ -0.03452\ 17162\ 5 \end{array} $ | $\begin{array}{cccccccccccccccccccccccccccccccccccc$ | 0.75 0.76 0.77 0.78 0.79 |
| 0.80 0.81 0.82 0.83 0.84 | $ \begin{array}{c ccccccccccccccccccccccccccccccccccc$ | $\begin{array}{cccccccccccccccccccccccccccccccccccc$ | 0.80 0.81 0.82 0.83 0.84 |
| 0.85 0.86 0.87 0.88 0.89 | $\begin{array}{c} -0.02801\ 01562\ 5 \\ -0.02668\ 66600\ 0 \\ -0.02529\ 15162\ 5 \\ -0.02382\ 33600\ 0 \\ -0.02228\ 08162\ 5 \end{array}$ | $\begin{array}{cccccccccccccccccccccccccccccccccccc$ | 0.85 0.86 0.87 0.88 0.89 |
| 0.90 0.91 0.92 0.93 0.94 | $ \begin{array}{c} -0.02066\ 25000\ 0 \\ -0.01896\ 70162\ 5 \\ -0.01719\ 29600\ 0 \\ -0.01533\ 89162\ 5 \\ -0.01340\ 34600\ 0 \\ \end{array} $ | $ \begin{array}{cccccccccccccccccccccccccccccccccccc$ | 0.90 0.91 0.92 0.93 0.94 |
| 0.95 0.96 0.97 0.98 0.99 | $ \begin{array}{c} -0.01138 \ 51562 \ 5 \\ -0.00928 \ 25600 \ 0 \\ -0.00709 \ 42162 \ 5 \\ -0.00481 \ 86600 \ 0 \\ -0.00245 \ 44162 \ 5 \end{array} $ | $\begin{array}{cccccccccccccccccccccccccccccccccccc$ | 0.95 0.96 0.97 0.98 0.99 |
| 1.00 | 0.00000 00000 0 | 0.00245 44162 5 14950 0 | 1.00 |

| * · · | 4 | | | | |
|--|--|--|---|--|--|
| P | $ar{S}_3$ | , 8 | 9 3 | ∂ ⁵ | - 1 |
| 0.00 0.01 0.02 0.03 0.04 | 0.00000 00000 00 - 0.00016 60903 48 - 0.00033 09455 69 - 0.00049 44432 25 - 0.00065 64626 13 | - 0.00016 72013 20 - 0.00016 60903 48 - 0.00016 48552 21 - 0.00016 34976 56 - 0.00016 20194 18 | 1258 21 1241 55 1224 38 1206 73 1188 62 | -51 -51 -48 -46 -47 | 0.00 · 0.01 0.02 0.03 0.04 |
| 0.05 0.06 0.07 0.08 0.09 | - 0.00081 68849 61 - 0.00097 55931 75 - 0.00113 24721 87 - 0.00128 74088 45 - 0.00144 02919 91 | $\begin{array}{c} -\ 0.00016\ 04223\ 18 \\ -\ 0.00015\ 87082\ 14 \\ -\ 0.00015\ 68790\ 12 \\ -\ 0.00015\ 49366\ 58 \\ -\ 0.00015\ 28831\ 46 \end{array}$ | 1170 04 1150 98 1131 52 1111 58 1091 25 | -48 -40 -48 -39 -45 | 0.05 0.06 0.07 0.08 0.09 |
| 0.10 0.11 0.12 0.13 0.14 | $\begin{array}{c} -0.00159\ 10125\ 00 \\ -0.00173\ 94633\ 25 \\ -0.00188\ 55395\ 33 \\ -0.00202\ 91383\ 49 \\ -0.00217\ 01591\ 91 \end{array}$ | $\begin{array}{c} -0.00015\ 07205\ 09 \\ -0.00014\ 84508\ 25 \\ -0.00014\ 60762\ 08 \\ -0.00014\ 35988\ 16 \\ -0.00014\ 10208\ 42 \end{array}$ | 1070 47 1049 33 1027 75 1005 82 983 48 | -36 -44 -35 -41 -32 | 0.10 0.11 0.12 0.13 0.14 |
| 0.15 0.16 0.17 0.18 0.19 | - 0.00230 85037 11 - 0.00244 40758 27 - 0.00257 67817 63 - 0.00270 65300 81 - 0.00283 32317 14 | $\begin{array}{c} -\ 0.00013\ 83445\ 20 \\ -\ 0.00013\ 55721\ 16 \\ -\ 0.00013\ 27059\ 36 \\ -\ 0.00012\ 97483\ 18 \\ -\ 0.00012\ 67016\ 33 \end{array}$ | 960 82 937 76 914 38 890 67 866 62 | -40 -32 -33 -34 -32 | 0.15 0.16 0.17 0.18 0.19 |
| $egin{array}{c} 0.20 \\ 0.21 \\ 0.22 \\ 0.23 \\ 0.24 \\ \end{array}$ | - 0.00295 68000 00 - 0.00307 71507 14 - 0.00319 42020 97 - 0 00330 78748 85 - 0.00341 80923 39 | $\begin{array}{c} -0.00012\ 35682\ 86\\ -0.00012\ 03507\ 14\\ -0.00011\ 70513\ 83\\ -0.00011\ 36727\ 88\\ -0.00011\ 02174\ 54 \end{array}$ | 842 25 817 59 792 64 767 39 741 86 | 29 29 30 28 25 | 0.20 0.21 0.22 0.23 0.24 |
| 0.25 0.26 0.27 0.28 0.29 | - 0.00352 47802 73 - 0.00362 78670 79 - 0.00372 72837 52 - 0.00382 29639 17 - 0.00391 48438 49 | $\begin{array}{c} -0.00010 \ 66879 \ 34 \\ -0.00010 \ 30868 \ 06 \\ -0.00009 \ 94166 \ 73 \\ -0.00009 \ 56801 \ 65 \\ -0.00009 \ 18799 \ 32 \end{array}$ | 716 08 690 05 663 75 637 25 610 48 | $egin{array}{c} -25 \ -27 \ -20 \ -27 \ -17 \end{array}$ | 0.25 0.26 0.27 0.28 0.29 |
| 0.30 0.31 0.32 0.33 0.34 | - 0.00400 28625 00 - 0.00408 69615 16 - 0.00416 70852 61 - 0.00424 31808 33 - 0.00431 51980 87 | - 0.00008 80186 51 - 0.00008 40990 16 - 0.00008 01237 45 - 0.00007 60955 72 - 0.00007 20172 54 | 583 54 556 36 529 02 501 45 473 75 | $ \begin{array}{r} -24 \\ -16 \\ -23 \\ -13 \\ -20 \end{array} $ | 0.30 0.31 0.32 0.33 0.34 |
| 0.35 0.36 0.37 0.38 0.39 | - 0.00438 30896 48 - 0.00444 68109 31 - 0.00450 63201 54 - 0.00456 15783 53 - 0.00461 25493 97 | - 0.00006 78915 61 - 0.00006 37212 83 - 0.00005 95092 23 - 0.00005 52581 99 - 0.00005 09710 44 | 445 85 417 82 389 64 361 31 332 86 | $ \begin{array}{r} -13 \\ -15 \\ -15 \\ -12 \\ -10 \end{array} $ | 0.35 0.36 0.37 0.38 0.39 |
| $0.40 \\ 0.41 \\ 0.42 \\ 0.43 \\ 0.44$ | $\begin{array}{c} -0.00465 \ 92000 \ 00 \\ -0.00470 \ 14997 \ 31 \\ -0.00473 \ 94210 \ 25 \\ -0.00477 \ 29391 \ 94 \\ -0.00480 \ 20324 \ 35 \end{array}$ | - 0.00004 66506 03 - 0.00004 22997 31 - 0.00003 79212 94 - 0.00003 35181 69 - 0.00002 90932 41 | 304 31 275 65 246 88 218 03 189 12 | $ \begin{array}{r} -11 \\ -11 \\ -8 \\ -6 \\ -7 \end{array} $ | 0.40 0.11 0.42 0.43 0.44 |
| 0.45 0.46 0.47 0.48 0.49 | - 0.00482 66818 36 - 0.00484 68713 83 - 0.00486 25879 68 - 0.00487 38213 89 - 0.00488 05643 58 | $\begin{array}{c} -0.00002\ 46494\ 01 \\ -0.00002\ 01895\ 47 \\ -0.00001\ 57165\ 85 \\ -0.00001\ 12334\ 21 \\ -0.00000\ 67429\ 69 \end{array}$ | 160 14 131 08 102 02 72 88 43 75 | $ \begin{array}{c c} -8 \\ -8 \\ -1 \\ -5 \end{array} $ | 0.45 0.46 0.47 0.48 0.49 |
| 0.50 | - 0.00488 28125 00 | - 0.00000 22481 42 | 14 57 | 4 | 0.50 |

| | | | <u></u> | | |
|----------------------------------|--|--------------------|------------------|-----|------|
| Þ | $ar{\mathcal{S}}_3$ | 8 | δ ³ . | 85 | p |
| 0.50 | - 0.00488 28125 00 | - 0.00000 22481 42 | 14 57 | 4 | 0.50 |
| 0.51 | - 0.00488 05643 58 | 0.00000 22481 42 | - 14 57 | - 4 | 0.51 |
| 0.52 | - 0.00487 38213 89 | 0.00000 67429 69 | - 43 75 | 5 | 0.52 |
| 0.53 | - 0.00486 25879 68 | 0.00001 12334 21 | - 72 88 | - 1 | 0.53 |
| 0.54 | - 0.00484 68713 83 | 0.00001 57165 85 | - 102 02 | 8 | 0.54 |
| 0.55 | $\begin{array}{c} -0.00482\ 66818\ 36\\ -0.00480\ 20324\ 35\\ -0.00477\ 29391\ 94\\ -0.00473\ 94210\ 25\\ -0.00470\ 14997\ 31 \end{array}$ | 0.00002 01895 47 | - 131 08 | 0 | 0.55 |
| 0.56 | | 0.00002 46494 01 | - 160 14 | 8 | 0.56 |
| 0.57 | | 0.00002 90932 41 | - 189 12 | 7 | 0.57 |
| - 0.58 | | 0.00003 35181 69 | - 218 03 | 6 | 0.58 |
| 0.59 | | 0.00003 79212 94 | - 246 88 | 8 | 0.59 |
| 0.60 | - 0.00465 92000 00 | 0.00004 22997 31 | - 275 65 | 11 | 0.60 |
| 0.61 | - 0.00461 25493 97 | 0.00004 66406 03 | - 304 31 | 11 | 0.61 |
| 0.62 | - 0.00456 15783 53 | 0.00005 09710 44 | - 332 86 | 10 | 0.62 |
| 0.63 | - 0.00450 63201 54 | 0.00005 52581 99 | - 361 31 | 12 | 0.63 |
| 0.64 | - 0.00444 68109 31 | 0.00005 95092 23 | - 389 64 | 15 | 0.64 |
| 0.65 0.66 0.67 0.68 0.69 | - 0.00438 30896 48 | 0.00006 37212 83 | - 417 82 | 15 | 0.65 |
| | - 0.00431 51980 87 | 0.00006 78915 61 | - 445 85 | 13 | 0.66 |
| | - 0.00424 31808 33 | 0.00007 20172 54 | - 473 75 | 20 | 0.67 |
| | - 0.00416 70852 61 | 0.00007 60955 72 | - 501 45 | 13 | 0.68 |
| | - 0.00408 69615 16 | 0.00008 01237 45 | - 529 02 | 23 | 0.69 |
| 0.70 0.71 0.72 0.73 0.74 | - 0.00400 28625 00 | 0.00008 40990 16 | - 556 36 | 16 | 0.70 |
| | - 0.00391 48438 49 | 0.00008 80186 51 | - 583 54 | 24 | 0.71 |
| | - 0.00382 29639 17 | 0.00009 18799 32 | - 610 48 | 17 | 0.72 |
| | - 0.00372 72837 52 | 0.00009 56801 65 | - 637 25 | 27 | 0.73 |
| | - 0.00362 78670 79 | 0.00009 94166 73 | - 663 75 | 20 | 0.74 |
| 0.75 | $\begin{array}{c} -0.00352\ 47802\ 73 \\ -0.00341\ 80923\ 39 \\ -0.00330\ 78748\ 85 \\ -0.00319\ 42020\ 97 \\ -0.00307\ 71507\ 14 \end{array}$ | 0.00010 30868 06 | - 690 05 | 27 | 0.75 |
| 0.76 | | 0.00010 66879 34 | - 716 08 | 25 | 0.76 |
| 0.77 | | 0.00011 02174 54 | - 741 86 | 25 | 0.77 |
| 0.78 | | 0.00011 36727 88 | - 767 39 | 28 | 0.78 |
| 0.79 | | 0.00011 70513 83 | - 792 64 | 30 | 0.79 |
| 0.80 | - 0.00295 68000 00 | 0.00012 03507 14 | - 817 59 | 29 | 0.80 |
| 0.81 | - 0.00283 32317 14 | 0.00012 35682 86 | - 842 25 | 29 | 0.81 |
| 0.82 | - 0.00270 65300 81 | 0.00012 67016 33 | - 866 62 | 32 | 0.82 |
| 0.83 | - 0.00257 67817 63 | 0.00012 97483 18 | - 890 67 | 34 | 0.83 |
| 0.84 | - 0.00244 40758 27 | 0.00013 27059 36 | - 914 38 | 33 | 0.84 |
| 0.85 | - 0.00230 85037 11 | 0.00013 55721 16 | - 937 76 | 32 | 0.85 |
| 0.86 | - 0.00217 01591 91 | 0.00013 83445 20 | - 960 82 | 40 | 0.86 |
| 0.87 | - 0.00202 91383 49 | 0.00014 10208 42 | - 983 48 | 32 | 0.87 |
| 0.88 | - 0.00188 55395 33 | 0.00014 35988 16 | -1005 82 | 41 | 0.88 |
| 0.89 | - 0.00173 94633 25 | 0.00014 60762 08 | -1027 75 | 35 | 0.89 |
| 0.90 | - 0.00159 10125 00 | 0.00014 84508 25 | -1049 33 | 44 | 0.90 |
| 0.91 | - 0.00144 02919 91 | 0.00015 07205 09 | -1070 47 | 36 | 0.91 |
| 0.92 | - 0.00128 74088 45 | 0.00015 28831 46 | -1091 25 | 45 | 0.92 |
| 0.93 | - 0.00113 24721 87 | 0.00015 49366 58 | -1111 58 | 39 | 0.93 |
| 0.94 | - 0.00097 55931 75 | 0.00015 68790 12 | -1131 52 | 48 | 0.94 |
| 0.95 | $\begin{array}{c} -0.00081 \ 68849 \ 61 \\ -0.00065 \ 64626 \ 43 \\ -0.00049 \ 44432 \ 25 \\ -0.00033 \ 09455 \ 69 \\ -0.00016 \ 60903 \ 48 \end{array}$ | 0.00015 87082 14 | -1150 98 | 40 | 0.95 |
| 0.96 | | 0.00016 04223 18 | -1170 04 | 48 | 0.96 |
| 0.97 | | 0.00016 20194 18 | -1188 62 | 47 | 0.97 |
| 0.98 | | 0.00016 34976 56 | -1206 73 | 46 | 0.98 |
| 0.99 | | 0.00016 48552 21 | -1224 38 | 48 | 0.99 |
| 1.00 | 0.00000 00000 00 | 0.00016 60903 48 | -1241 55 | 51 | 1.00 |

| | | | | · | |
|--------------------------------------|--|--|---|--------------------------------|---|
| p. | \mathcal{S}_3 | 8 | გ³ | 8 ⁵ 1 | Þ |
| 0.00 | 0.00000 00000 00 | 0.00016 60903 48 | -1241 55 | 51 | 0.00 |
| 0.01 | 0.00016 72013 20 | 0.00016 72013 20 | -1258 21 | 51 | 0.01 |
| 0.02 | 0.00033 53877 91 | 0.00016 81864 71 | -1274 36 | 50 | 0.02 |
| 0.03 | 0.00050 44319 77 | 0.00016 90441 86 | -1290 01 | 52 | 0.03 |
| 0.04 | 0.00067 42048 77 | 0.00016 97729 00 | -1305 14 | 55 | 0.04 |
| 0.05 | 0.00084 45759 77 | 0.00017 03711 00 | -1319 72 | 55 | 0.05 |
| 0.06 | 0.00101 54133 05 | 0.00017 08373 28 | -1333 75 | 53 | 0.06 |
| 0.07 | 0.00118 65834 86 | 0.00017 11701 81 | -1347 25 | 60 | 0.07 |
| 0.08 | 0.00135 79517 95 | 0.00017 13683 09 | -1360 15 | 53 | 0.08 |
| 0.09 | 0.00152 93822 17 | 0.00017 14304 22 | -1372 52 | 63 | 0.09 |
| 0.10 | 0.00170 07375 00 | 0.00017 13552 83 | -1384 26 | 56 | 0.10 |
| 0.11 | 0.00187 18792 18 | 0.00017 11417 18 | -1395 44 | 64 | 0.11 |
| 0.12 | 0.00204 26678 27 | 0.00017 07886 09 | -1405 98 | 57 | 0.12 |
| 0.13 | 0.00221 29627 29 | 0.00017 02949 02 | -1415 95 | 67 | 0.13 |
| 0.14 | 0.00238 26223 29 | 0.00016 96596 00 | -1425 25 | 60 | 0.14 |
| 0.15 0.16 0.17 0.18 0.19 | 0.00255 15041 02 0.00271 94646 53 0.00288 63597 84 0.00305 20445 59 0.00321 63733 69 | 0.00016 88817 73 0.00016 79605 51 0.00016 68951 31 0.00016 56847 75 0.00016 43288 10 | $\begin{array}{c} -1433 \ 95 \\ -1441 \ 98 \\ -1449 \ 36 \\ -1456 \ 09 \\ -1462 \ 14 \end{array}$ | 67 65 65 68 70 | 0.15 0.16 0.17 0.18 0.19 |
| 0.20 | 0.00337 92000 00 | 0.00016 28266 31 | -1467 49 | 69 | 0.20 |
| 0.21 | 0.00354 03777 03 | 0.00016 11777 03 | -1472 15 | 69 | 0.21 |
| 0.22 | 0.00369 97592 63 | 0.00015 93815 60 | -1476 12 | 72 | 0.22 |
| 0.23 | 0.00385 71970 68 | 0.00015 74378 05 | -1479 37 | 74 | 0.23 |
| 0.24 | 0.00401 25431 81 | 0.00015 53461 13 | -1481 88 | 73 | 0.24 |
| 0.25 | 0.00416 56494 14 | 0.00015 31062 33 | -1483 66 | 72 | 0.25 |
| 0.26 | 0.00431 63674 01 | 0.00015 07179 87 | -1484 72 | 80 | 0.26 |
| 0.27 | 0.00446 45486 70 | 0.00014 81812 69 | -1484 98 | 72 | 0.27 |
| 0.28 | 0.00461 00447 23 | 0.00014 54960 53 | -1484 52 | 81 | 0.28 |
| 0.29 | 0.00475 27071 08 | 0.00014 26623 85 | -1483 25 | 75 | 0.29 |
| 0.30 | 0.00489 23875 00 | 0.00013 96803 92 | -1481 23 | 84 | 0.30 |
| 0.31 | 0.00502 89377 76 | 0.00013 65502 76 | -1478 37 | 76 | 0.31 |
| 0.32 | 0.00516 22100 99 | 0.00013 32723 23 | -1474 75 | 85 | 0.32 |
| 0.33 | 0.00529 20569 94 | 0.00012 98468 95 | -1470 28 | 79 | 0.33 |
| 0.34 | 0.00541 83314 33 | 0.00012 62744 39 | -1465 02 | 88 | 0.34 |
| 0.35 | 0.00554 08869 14 | 0.00012 25554 81 | -1458 88 | 80 | 0.35 |
| 0.36 | 0.00565 95775 49 | 0.00011 86906 35 | -1451 94 | 88 | 0.36 |
| 0.37 | 0.00577 42581 44 | 0.00011 46805 95 | -1444 12 | 87 | 0.37 |
| 0.38 | 0.00588 47842 87 | 0.00011 05261 43 | -1435 43 | 86 | 0.38 |
| 0.39 | 0.00599 10124 35 | 0.00010 62281 48 | -1425 88 | 88 | 0.39 |
| 0.40 0.41 0.42 0.43 0.44 | 0.00609 28000 00 0.00619 00054 37 0.00628 24883 35 0.00637 01095 08 0.00645 27310 85 | 0.00010 17875 65 0.00009 72054 37 0.00009 24828 98 0.00008 76211 73 0.00008 26215 77 | -1415 45 -1404 11 -1391 86 -1378 71 -1364 64 | 91 91 90 92 95 | $\begin{array}{c} 0.40 \\ 0.41 \\ 0.42 \\ 0.43 \\ 0.44 \end{array}$ |
| 0.45 0.46 0.47 0.48 0.49 | 0.00653 02166 02 0.00660 24310 97 0.00666 92412 05 0.00673 05152 51 0.00678 61233 50 | 0.00007 74855 17 0.00007 22144 95 0.00006 68101 08 0.00006 12740 46 0.00005 56080 99 | $\begin{array}{c} -1349 \ 62 \\ -1333 \ 65 \\ -1316 \ 75 \\ -1298 \ 85 \\ -1280 \ 02 \end{array}$ | 95 93 1 00 93 1 03 | 0.45 0.46 0.47 0.48 0.49 |
| 0.50 | 0.00683 59375 00 | 0.00004 98141 50 | -1260 16 | 96 | |

| | , | | | | |
|--------------------------------------|--|--|---|--------------------------------------|--|
| Þ | S_3 | 8 | δ_3 | 85 | Þ |
| 0.50 | 0.00683 59375 00 | 0.00004 98141 50 | $\begin{array}{c} -1260 & 16 \\ -1239 & 34 \\ -1217 & 48 \\ -1194 & 65 \\ -1170 & 75 \end{array}$ | 96 | 0.50 |
| 0.51 | 0.00687 98316 85 | 0.00004 38941 85 | | 1 04 | 0.51 |
| 0.52 | 0.00691 76819 71 | 0.00003 78502 86 | | 97 | 0.52 |
| 0.53 | 0.00694 93666 10 | 0.00003 16846 39 | | 1-07 | 0.53 |
| 0.54 | 0.00697 47661 37 | 0.00002 53995 27 | | 1 00 | 0.54 |
| 0.55 0.56 0.57 0.58 0.59 | 0.00699 37634 77 0.00700 62440 45 0.00701 20958 53 0.00701 12096 15 0.00700 34788 52 | $\begin{array}{c} 0.00001\ 89973\ 40 \\ 0.00001\ 24805\ 68 \\ 0.00000\ 58518\ 08 \\ -0.00000\ 08862\ 38 \\ -0.00000\ 77307\ 63 \end{array}$ | $\begin{array}{c} -1145 \ 85 \\ -1119 \ 88 \\ -1092 \ 86 \\ -1064 \ 79 \\ -1035 \ 64 \end{array}$ | 1 07 1 05 1 05 1 08 1 10 | 0.55 0.56 0.57 0.58 0.59 |
| 0.60 | 0.00698 88000 00 | - 0.00001 46788 52 | -1005 39 | 1 09 | 0.60 |
| 0.61 | 0.00696 70725 20 | - 0.00002 17274 80 | - 974 05 | 1 09 | 0.61 |
| 0.62 | 0.00693 81990 07 | - 0.00002 88735 13 | - 941 62 | 1 12 | 0.62 |
| 0.63 | 0.00690 20852 99 | - 0.00003 61137 08 | - 908 07 | 1 14 | 0.63 |
| 0.64 | 0.00685 86405 89 | - 0.00004 34447 10 | - 873 38 | 1 13 | 0.64 |
| 0.65 | 0.00680 77775 39 | - 0.00005 08630 50 | - 837 56 | 1 12 | 0.65 |
| 0.66 | 0.00674 94123 93 | - 0.00005 83651 46 | - 800 62 | 1 20 | 0.66 |
| 0.67 | 0.00668 34650 89 | - 0.00006 59473 04 | - 762 48 | 1 12 | 0.67 |
| 0.68 | 0.00660 98593 79 | - 0.00007 36057 10 | - 723 22 | 1 21 | 0.68 |
| 0.69 | 0.00652 85229 41 | - 0.00008 13364 38 | - 682 75 | 1 15 | 0.69 |
| 0.70 0.71 0.72 0.73 0.74 | 0.00643 93875 00 0.00634 23889 43 0.00623 74674 43 0.00612 45675 75 0.00600 36384 41 | - 0.00008 91354 41 - 0.00009 69985 57 - 0.00010 49215 00 - 0.00011 28998 68 - 0.00012 09291 34 | - 641 13 - 598 27 - 554 25 - 508 98 - 462 52 | 1 24 1 16 1 25 1 19 1 28 | $0.70 \\ 0.71 \\ 0.72 \\ 0.73 \\ 0.74$ |
| 0.75 0.76 0.77 0.78 0.79 | 0.00587 46337 89 0.00573 75121 41 0.00559 22369 13 0.00543 87765 43 0.00527 71046 18 | $\begin{array}{c} -0.00012\ 90046\ 52 \\ -0.00013\ 71216\ 48 \\ -0.00014\ 52752\ 28 \\ -0.00015\ 34603\ 70 \\ -0.00016\ 16719\ 25 \end{array}$ | - 414 78 - 365 84 - 315 62 - 264 13 - 211 38 | 1 20 1 28 1 27 1 26 1 28 | $0.75 \\ 0.76 \\ 0.77 \\ 0.78 \\ 0.79$ |
| 0.80 | 0.00510 72000 00 | - 0.00016 99046 18 | $\begin{array}{c ccccccccccccccccccccccccccccccccccc$ | 1 31 | 0.80 |
| 0.81 | 0.00492 90469 54 | - 0.00017 81530 46 | | 1 31 | 0.81 |
| 0.82 | 0.00474 26352 79 | - 0.00018 64116 75 | | 1 30 | 0.82 |
| 0.83 | 0.00454 79604 39 | - 0.00019 46748 40 | | 1 32 | 0.83 |
| 0.84 | 0.00434 50236 93 | - 0.00020 29367 46 | | 1 35 | 0.84 |
| 0.85 | 0.00413 38322 27 | - 0.00021 11914 66 | 132 48 | 1 35 | 0.85 |
| 0.86 | 0.00391 43992 89 | - 0.00021 94329 38 | 194 45 | 1 33 | 0.86 |
| 0.87 | 0.00368 67443 24 | - 0.00022 76549 65 | 257 75 | 1 40 | 0.87 |
| 0.88 | 0.00345 08931 07 | - 0.00023 58512 17 | 322 45 | 1 33 | 0.88 |
| 0.89 | 0.00320 68778 83 | - 0.00024 40152 24 | 388 48 | 1 43 | 0.89 |
| 0.90 | 0.00295 47375 00 | - 0.00025 21403 83 | 455 94 | 1 36 | 0.90 |
| 0.91 | 0.00269 45175 52 | - 0.00026 02199 48 | 524 76 | 1 44 | 0.91 |
| 0.92 | 0.00242 62705 15 | - 0.00026 82470 37 | 595 02 | 1 37 | 0.92 |
| 0.93 | 0.00215 00558 91 | - 0.00027 62146 24 | 666 65 | 1 47 | 0.93 |
| 0.94 | 0.00186 59403 45 | - 0.00028 41155 46 | 739 75 | 1 40 | 0.94 |
| 0.95 | 0.00157 39978 52 | $\begin{array}{c} -0.00029\ 19424\ 93 \\ -0.00029\ 96880\ 15 \\ -0.00030\ 73445\ 15 \\ -0.00031\ 49042\ 51 \\ -0.00032\ 23593\ 36 \end{array}$ | 814 25 | 1 47 | 0.95 |
| 0.96 | 0.00127 43098 37 | | 890 22 | 1 45 | 0.96 |
| 0.97 | 0.00096 69653 22 | | 967 64 | 1 45 | 0.97 |
| 0.98 | 0.00065 20610 71 | | 1046 51 | 1 48 | 0.98 |
| 0.99 | 0.00032 97017 35 | | 1126 86 | 1 50 | 0.99 |
| 1.00 | 0.00000 00000 00 | ~ - 0.00032 97017 35 | 1208 71 | 1 49 | 1.00 |
| | | | (Received N | Journher | 15 7040) |

(Received November 15, 1949)

| and the control of th | |
|--|--|
| | |
| | |
| | |
| | |
| | |
| | |
| | |
| | |
| | |
| | |
| | |
| | |
| | |
| | |
| | |
| | |
| | |
| | |
| | |
| | |
| | |
| | |
| | |
| | |
| | |
| | |
| | |
| | |
| | |
| | |
| | |
| | tana di Kabupatèn Bandaran Kabupatèn Bandaran Kabupatèn Bandaran Kabupatèn Bandaran Kabupatèn Bandaran Kabupat Kabupatèn Bandaran Bandaran Kabupatèn Bandaran Kabupatèn Bandaran Kabupatèn Bandaran Kabupatèn Bandaran Kabupa |
| | and the second of the second o |
| | |
| | |
| | |
| | |
| | |
| | |
| | |
| | The second secon |
| | |
| | $\mathbf{r} = \mathbf{r} \cdot $ |
| | |
| (x,y) is the first probability of (x,y) and (x,y) is the (x,y) in $($ | |
| | The second of th |
| | |
| | |
| | |
| | |
| | $\Phi_{ij} = \frac{1}{2} \left($ |
| | î S |
| | |
| | \mathbf{r}_{i} |
| | |
| | |
| | |
| | |
| | |
| | \mathcal{S}_{i} is the second of \mathcal{S}_{i} and \mathcal{S}_{i} is the second of \mathcal{S}_{i} and \mathcal{S}_{i} |
| | and the second s |
| | A Company of the Comp |
| | |
| | a contract to the contract of |

A Table of the Coefficients of the Derivatives Formulas Based upon the Interpolation Formula of Steffensen

Masao Yoshida

Abstract

In the present work the writer gives a table of the numerical values of the coefficients of the derivatives formulas obtained form the interpolation formula of Steffensen. The values are computed to ten decimal places and difference-table is also included.

It is frequently necessary to determine the derivatives of the functions from their tabular values. Interpolation formulas for such purpose are readily obtained by taking derivatives of the various interpolation formulas. In this report the writer gives a table of the coefficients of the derivatives formulas obtained from the interpolation formula of Steffensen⁽¹⁾:

$$y(x+ph) = y(x) - \overline{S}_{1}(p)\delta_{\frac{1}{2}} + S_{1}(p)\delta_{\frac{1}{2}} - \overline{S}_{2}(p)\delta_{-\frac{1}{2}} + S_{2}(p)\delta_{\frac{3}{2}} - \overline{S}_{3}(p)\delta_{-\frac{1}{2}} + S_{3}(p)\delta_{-\frac{1}{2}} - \cdots$$

By the successive differentiation of the above formula, we have

$$hy'(x+ph) = -\overline{S}_1'(p)\delta_{-\frac{1}{2}} + S_1'(p)\delta_{\frac{1}{2}} - \overline{S}_2'(p)\delta_{-\frac{1}{2}} + S_2'(p)\delta_{\frac{1}{2}} - \overline{S}_3'(p)\delta_{-\frac{1}{2}} + S_3'(p)\delta_{\frac{1}{2}} - \cdots$$

and

$$\begin{split} h^2 y''(x+ph) &= -\delta_{-\frac{1}{2}} + \delta_{\frac{1}{2}} - \overline{S}_{.}''(p) \delta^{3}_{-\frac{1}{2}} + S_{.}''(p) \delta^{3}_{-\frac{1}{2}} - \overline{S}_{.}''(p) \delta^{5}_{-\frac{1}{2}} \\ &+ S_{3}''(p) \delta^{5}_{\frac{1}{2}} - \cdots \,, \end{split}$$

where the accents denote differentiations with respect to p.

The following table gives the numerical values of the coefficients $\overline{S}_{n}'(p)$, $S_{n}'(p)$ (n=1,2,3); $\overline{S}_{n}''(p)$, $S_{n}''(p)$ (n=2,3) for the evaluation of the first and second derivatives of tabulated functions by means of the above formulas. These coefficients are computed from p=0.00 to p=1.00 at intervals of 0.01 to ten decimal places except the exact values of $\overline{S}_{n}'(p)$ and $S_{n}'(p)$. Odd differences are also given for convenience in the application of the interpolation formula of Steffensen.

⁽¹⁾ See p. 85.

| | | | <u> </u> | | | |
|--|--------------------------------------|--|--------------------------------------|--------------------------------------|--|--------------------------------------|
| | Þ | \$7 | <i>S</i> ₁ ′ | p. | ≅1′ | <i>S</i> ₁ ′ |
| | 0.00 | - 0.50 | 0.50 | 0.50 | 0.00 | 1.00 |
| | 0.01 | - 0.49 | 0.51 | 0.51 | 0.01 | 1.01 |
| | 0.02 | - 0.48 | 0.52 | 0.52 | 0.02 | 1.02 |
| | 0.03 | - 0.47 | 0.53 | 0.53 | 0.03 | 1.03 |
| | 0.04 | - 0.46 | 0.54 | 0.54 | 0.04 | 1.04 |
| | 0.05 | - 0.45 | 0.55 | 0.55 | 0.05 | 1.05 |
| | 0.06 | - 0.44 | 0.56 | 0.56 | 0.06 | 1.06 |
| | 0.07 | - 0.43 | 0.57 | 0.57 | 0.07 | 1.07 |
| | 0.08 | - 0.42 | 0.58 | 0.58 | 0.08 | 1.08 |
| | 0.09 | - 0.41 | 0.59 | 5.59 | 0.09 | 1.09 |
| | 0.10 | - 0.40 | 0.60 | 0.60 | 0.10 | 1.10 |
| | 0.11 | - 0.39 | 0.61 | 0.61 | 0.11 | 1.11 |
| | 0.12 | - 0.38 | 0.62 | 0.62 | 0.12 | 1.12 |
| | 0.13 | - 0.37 | 0.63 | 0.63 | 0.13 | 1.13 |
| | 0.14 | - 0.36 | 0.64 | 0.64 | 0.14 | 1.14 |
| | 0.15 | - 0.35 | 0.65 | 0.65 | 0.15 | 1.15 |
| | 0.16 | - 0.34 | 0.66 | 0.66 | 0.16 | 1.16 |
| | 0.17 | - 0.33 | 0.67 | 0.67 | 0.17 | 1.17 |
| | 0.18 | - 0.32 | 0.68 | 0.68 | 0.18 | 1.18 |
| | 0.19 | - 0.31 | 0.69 | 0.69 | 0.19 | 1.19 |
| | 0.20 | - 0.30 | 0.70 | 0.70 | 0.20 | 1.20 |
| | 0.21 | - 0.29 | 0.71 | 0.71 | 0.21 | 1.21 |
| | 0.22 | - 0.28 | 0.72 | 0.72 | 0.22 | 1.22 |
| | 0.23 | - 0.27 | 0.73 | 0.73 | 0.23 | 1.23 |
| | 0.24 | - 0.26 | 0.74 | 0.74 | 0.24 | 1.24 |
| | 0.25 0.26 0.27 0.28 0.29 | $\begin{array}{c} -0.25 \\ -0.24 \\ -0.23 \\ -0.22 \\ -0.21 \end{array}$ | 0.75 0.76 0.77 0.78 0.79 | 0.75 0.76 0.77 0.78 0.79 | $egin{array}{c} 0.25 \\ 0.26 \\ 0.27 \\ 0.28 \\ 0.29 \\ \end{array}$ | 1.25 1.26 1.27 1.28 1.29 |
| | 0.30 | - 0.20 | 0.80 | 0.80 | 0.30 | 1.30 |
| | 0.31 | - 0.19 | 0.81 | 0.81 | 0.31 | 1.31 |
| | 0.32 | - 0.18 | 0.82 | 0.82 | 0.32 | 1.32 |
| | 0.33 | - 0.17 | 0.83 | 0.83 | 0.33 | 1.33 |
| | 0.34 | - 0.16 | 0.84 | 0.84 | 0.34 | 1.34 |
| | 0.35 0.36 0.37 0.38 0.39 | - 0.15 - 0.14 - 0.13 - 0.12 - 0.11 | 0.85 0.86 0.87 0.88 | 0.85 0.86 0.87 0.88 0.89 | 0.35 0.36 0.37 0.38 0.39 | 1.35 1.36 1.37 1.38 1.39 |
| | 0.40 | - 0.10 | 0.90 | 0.90 | 0.40 | 1.40 |
| | 0.41 | - 0.09 | 0.91 | 0.91 | 0.41 | 1.41 |
| | 0.42 | - 0.08 | 0.92 | 0.92 | 0.42 | 1.42 |
| | 0.43 | - 0.07 | 0.93 | 0.93 | 0.43 | 1.43 |
| | 0.44 | - 0.06 | 0.94 | 0.94 | 0.44 | 1.44 |
| | 0.45 | - 0.05 | 0.95 | 0.95 | 0.45 | 1.45 |
| | 0.46 | - 0.04 | 0.96 | 0.95 | 0.46 | 1.46 |
| | 0.47 | - 0.03 | 0.97 | 0.97 | 0.47 | 1.47 |
| | 0.48 | - 0.02 | 0.98 | 0.98 | 0.48 | 1.48 |
| | 0.49 | - 0.01 | 0.99 | 0.99 | 0.49 | 1.49 |
| | 0.50 | 0.00 | 1.00 | 1.00 | 0.50 | 1.50 |

| P | 5₂∕ | δ | δ_3 | p |
|----------------|---------------|---|----------------|---|
| 0.00 | 0.00000.00000 | 0.0000.07445 | | |
| 0.00 | 0.08333 33333 | -0.00080 81667 | 10001 | 0.00 |
| 0.01 | 0.08247 51667 | -0.00085 81666 | 9998 | 0.01 |
| 0.02 | 0.08156 80000 | -0.0009071667 | 10001 | 0.02 |
| 0.03 | 0.08061 28333 | -0.00095 51667 | 10001 | 0.03 |
| 0.04 | 0.07961 06667 | -0.00100 21666 | 9998 | 0.04 |
| 0.05 | 0.07856 25000 | -0.00104 81667 | 10001 | 0.05 |
| 0.06 | 0.07746 93333 | -0.00109 31667 | 10001 | 0.06 |
| 0.07 | 0.07633 21667 | -0.00113 71666 | 9998 | 0.07 |
| 0.08 | 0.07515 20000 | -0.00118 01667 | 10001 | 0.08 |
| 0.09 | 0.07392 98333 | -0.00122 21667 | 10001 | 0.09 |
| 0.10 | 0.07266 66667 | -0.00126 31666 | 9998 | 0.10 |
| 0.11 | 0.07136 35000 | -0.00130 31667 | | |
| 0.12 | | | 10001 | 0.11 |
| | 0.07002 13333 | -0.00134 21667 | 10001 | 0.12 |
| 0.13 | 0.06864 11667 | -0.00138 01666 | 9998 | 0.13 |
| 0.14 | 0.06722 40000 | -0.00141 71667 | 10001 | 0.14 |
| 0.15 | 0.06577 08333 | -0.00145 31667 | 10001 | 0.15 |
| 0.16 | 0.06428 26667 | -0.00148 81666 | 9998 | 0.16 |
| 0.17 | 0.06276 05000 | $-0.00152\ 21667$ | 10001 | 0.17 |
| 0.18 | 0.06120 53333 | -0.00155 51667 | 10001 | 0.18 |
| 0.19 | 0.05961 81667 | -0.00158 71666 | 9998 | 0.19 |
| 0.20 | 0.05800 00000 | -0.00161 81667 | 10001 | 0.20 |
| 0.21 | 0.05635 18333 | -0.00164 81667 | 10001 | |
| 0.22 | 0.05467 46667 | -0.00167 71666 | | 0.21 |
| 0.22 | 0.05296-95000 | | 9998 | 0.22 |
| $0.23 \\ 0.24$ | 0.05123 73333 | $ \begin{array}{rrrrrrrrrrrrrrrrrrrrrrrrrrrrrrrrrrrr$ | 10001 10001 | $0.23 \\ 0.24$ |
| 0.25 | 0.04047 01667 | O OOTHE OTICCE | | |
| | 0.04947 91667 | -0.00175 81666 | 9998 | 0.25 |
| 0.26 | 0.04769 60000 | -0.00178 31667 | 10001 | 0.26 |
| 0.27 | 0.04588 88333 | -0.0018071667 | 10001 | 0.27 |
| 0.28 | 0.04405 86667 | -0.00183 01666 | 9998 | 0.28 |
| 0.29 | 0.04220 65000 | -0.00185 21667 | 10001 | 0.29 |
| 0.30 | 0.04033 33333 | -0.00187 31667 | 10001 | 0.30 |
| 0.31 | 0.03844_01667 | -0.00189 31666 | 9998 | 0.31 |
| 0.32 | 0.03652 80000 | -0.00191 21667 | 10001 | 0.32 |
| 0.33 | 0.03459 78333 | $-0.00193\ 01667$ | 10001 | 0.33 |
| 0.34 | 0.03265 06667 | -0.00194 71666 | 9998 | $\begin{array}{c} 0.33 \\ 0.31 \end{array}$ |
| 0.95 | 0.00000 75000 | | | |
| 0.35 | 0.03068 75000 | -0.00196 31667 | 10001 | 0.35 |
| 0.36 | 0.02870 93333 | -0.00197 81667 | 10001 | 0.36 |
| 0.37 | 0.02671 71667 | -0.00199 21666 | 9998 | 0.37 |
| 0.38 | 0.02471 20000 | -0.00200 51667 | 10001 | 0.38 |
| 0.39 | 0.02269 48333 | -0.00201 71667 | 10001 | 0.39 |
| 0.40 | 0.02066 66667 | -0.00202 81666 | 9998 | 0.40 |
| 0.41 | 0.01862 85000 | -0.00203 81667 | 10001 | 0.41 |
| 0.42 | 0.01658 13333 | -0.00204 71667 | 10001 | 0.42 |
| 0.43 | 0.01452 61667 | -0.00205 51666 | 9998 | 0.43 |
| 0.44 | 0.01246 40000 | -0.00206 21667 | 10001 | 0.44 |
| 0.45 | 0.01039 58333 | -0.00206 81667 | 10001 | 0.45 |
| 0.46 | 0.00832 26667 | -0.00207 31666 | 9998 | |
| 0.47 | 0.00624 55000 | -0.00207 71667 | | 0.46 |
| 0.48 | 0.00416 53333 | -0.00207 71667 -0.00208 01667 | 10001 | 0.47 |
| 0.49 | 0.00208 31667 | -0.00208 01667 -0.00208 21666 | 10001 9998 | $0.48 \\ 0.49$ |
| 0.50 | | | | |
| | 0.00000 00000 | -0.00208 31667 | 10001 | 0.50 |

| | | | | ,5 |
|---|--|---|----------------|---|
| p | $ar{S}_2'$ | δ | δ^3 | p |
| | | | | |
| 0.50 | 0.00000.00000 | 0 00000 91eem | 10007 | 0.50 |
| 0.50 | 0.00000 00000 | -0.00208 31667 | 10001 | 0.50 |
| 0.51 | -0.00208 31667 | -0.00208 31667 -0.00208 21666 | 10001 | 0.51 |
| $\begin{array}{c} 0.52 \\ 0.53 \end{array}$ | $\begin{array}{c ccccccccccccccccccccccccccccccccccc$ | -0.00208 21666 $-0.00208 01667$ | 9998 10001 | $\begin{array}{c} 0.52 \\ 0.53 \end{array}$ |
| 0.54 | -0.00832 26667 | $-0.00203 \ 01007$ $-0.00207 \ 71667$ | 10001 | 0.54 |
| . 0.01 | - 0.00032 20001 | 0.00207 /1007 | 10001 | 0.04 |
| 0.55 | -0.01039 58333 | -0.00207 31666 | 9998 | 0.55 |
| 0.56 | -0.01246 40000 | -0.00206 81667 | 10001 | 0.56 |
| 0.57 | $-0.01452\ 61667$ | -0.00206 21667 | 10001 | 0.57 |
| 0.58 | -0.01658 13333 | -0.00205 51666 | 9998 | 0.58 |
| 0.59 | -0.01862 85000 | -0.00204 71667 | 10001 | 0.59 |
| 0.00 | 0.00000 00000 | 0.00000.0300 | 70007 | 0.00 |
| 0.60 | -0.02066 66667 | -0.00203 81667 | 10001 | 0.60 |
| $\begin{array}{c} 0.61 \\ 0.62 \end{array}$ | -0.02269 48333 | -0.00202 81666 | 9998 10001 | $0.61 \\ 0.62$ |
| 0.63 | $ \begin{array}{r rrrrrrrrrrrrrrrrrrrrrrrrrrrrrrrrrrr$ | $ \begin{array}{r} -0.00201 \ 71667 \\ -0.00200 \ 51667 \end{array} $ | 10001 | 0.63 |
| 0.64 | -0.02870 93333 - | -0.00199 21666 | 9998 | 0.64 |
| 0.02 | 0.02010 30000 | 0.00133 21000 | 3330 | 0.01 |
| 0.65 | -0.0306875000 | -0.00197 81667 | 10001 | 0.65 |
| 0.66 | -0.03265 06667 | -0.00196 31667 | 10001 | 0.66 |
| 0.67 | -0.0345978333 | -0.0019471666 | 9998 | 0.67 |
| 0.68 | -0.0365280000 | $-0.00193\ 01667$ | 10001 | 0.68 |
| 0.69 | $-0.03844 \ 01667$ | -0.00191 21667 | 10001 | 0.69 |
| 0.170 | -0.04033 33333 | 0.00100 91666 | 0000 | 0.70 |
| $\begin{array}{c} 0.70 \\ 0.71 \end{array}$ | -0.04055 55555 -0.04220 65000 | $-0.00189 \ 31666 \ -0.00187 \ 31667$ | 9998 10001 | $0.70 \\ 0.71$ |
| 0.72 | -0.0440586667 | -0.00187 31007 -0.00185 21667 | 10001 | 0.72 |
| 0.73 | -0.04588 88333 | $-0.00183 \ 01666$ | 9998 | 0.73 |
| 0.74 | -0.04769 60000 | -0.0018071667 | 10001 | 0.74 |
| | | | | ` |
| 0.75 | -0.0494791667 | -0.00178 31667 | 10001 | 0.75 |
| 0.76 | $-0.05123\ 73333$ | -0.00175 81666 | 9998 | 0.76 |
| 0.77 | -0.0529695000 | $-0.00173\ 21667$ | 10001 | 0.77 |
| 0.78 | -0.05467 46667 | -0.00170 51667 | 10001 | 0.78 |
| 0.79 | -0.05635 18333 | -0.00167 71666 | 9998 | 0.79 |
| 0.80 | -0.05800 00000 | -0.00164 81667 | 10001 | 0.80 |
| 0.81 | -0.05961 81667 | -0.00161 81667 | 10001 | 0.81 |
| 0.82 | -0.06120 53333 | -0.0015871666 | 9998 | 0.82 |
| 0.83 | -0.06276 05000 | -0.00155 51667 | 10001 | 0.83 |
| 0.84 | -0.06428 26667 | $-0.00152\ 21667$ | 10001 | 0.84 |
| | | | | |
| 0.85 | -0.06577 08333 | -0.00148 81666 | 9998 | 0.85 |
| 0.86 | $-0.06722 \ 40000$ | -0.00145 31667 | 10001 | 0.86 |
| 0.87 | $-0.06864\ 11667$ | -0.0014171667 | 10001 | 0.87 |
| 0.88 | $-0.07002\ 13333$ | -0.00138 01666 | 9998 | 0.88 |
| 0.89 | -0.07136 35000 | -0.00134 21667 | 10001 | 0.89 |
| 0.90 | -0.07266 66667 | -0.00130 31667 | 10001 | 0.90 |
| $0.90 \\ 0.91$ | -0.0739298333 | -0.00126 31666 | 9998 | 0.91 |
| 0.92 | -0.07515 20000 | -0.00122 21667 | 10001 | 0.92 |
| 0.93 | -0.07633 21667 | -0.00118 01667 | 10001 | 0.93 |
| 0.94 | -0.0774693333 | -0.00113 71666 | 9998 | 0.94 |
| | 0.04052.05000 | 0.00752.07027 | | |
| 0.95 | -0.07856 25000 | -0.00109 31667 | 10001 | 0.95 |
| 0.96 | -0.07961 06667 | -0.00104 81667 | 10001 | 0.96 |
| 0.97 | -0.08061 28333 | -0.00100 21666 | 9998 | 0.97 |
| $0.98 \\ 0.99$ | $-0.08156 80000 \\ -0.08247 51667$ | -0.00095 51667 -0.00090 71667 | 10001 10001 | $0.98 \\ 0.99$ |
| 0.00 | -0.00227 01007 | 0.00090 11001 | 10001 | 0.55 |
| 1.00 | -0.08333 33333 | -0.00085 81666 | 9998 | 1.00 |
| | | 1. 0.00030 0.2000 | | |

| P | S_2' | δ | 83 | P |
|----------|-------------------|-------------------|--------|----------------|
| <u> </u> | | | | |
| 0.00 | -0.0833833333 | -0.00085 81666 | 9998 | 0.00 |
| 0.01 | -0.08414 15000 | -0.00080 81667 | 10001 | 0.01 |
| 0.02 | -0.08489~86667 | -0.00075 71667 | 10001 | 0.02 |
| 0.03 | -0.08560 38333 | $-0.00070\ 51666$ | 9998 | 0.03 |
| 0.04 | $-0.08625\ 60000$ | -0.00065 21667 | 10001 | 0.04 |
| 0.05 | -0.08685 41667 | -0.00059 81667 | 10001 | 0.05 |
| 0.06 | -0.08739733333 | -0.00054 31666 | 9998 | 0.06 |
| 0.07 | -0.08788 45000 | -0.00048 71667 | -10001 | 0.07 |
| 0.08 | -0.08831 46667 | $-0.00043\ 01667$ | 10001 | 0.08 |
| 0.09 | -0.08868 68333 | -0.00037 21667 | 9998 | 0.09 |
| 0.10 | -0.08900 00000 | -0.00031 31667 | 10001 | 0.10 |
| 0.11 | -0.08925 31667 | -0.00025 31667 | 10001 | 0.11 |
| 0.12 | -0.08944 53333 | -0.00019 21666 | 9998 | $0.11 \\ 0.12$ |
| 0.13 | -0.08957 55000 | $-0.00013\ 01667$ | 10001 | $0.12 \\ 0.13$ |
| 0.14 | -0.08964 26667 | -0.00006 71667 | 10001 | 0.14 |
| | | | 10001 | 0.14 |
| 0.15 | -0.08964 58333 | -0.00000 31666 | 9998 | 0.15 |
| 0.16 | -0.08958 40000 | 0.00006 18333 | 10001 | 0.16 |
| 0.17 | -0.08945 61667 | 0.00012 78333 | 10001 | 0.17 |
| 0.18 | -0.08926 13333 | 0.00019 48334 | 9998 | 0.18 |
| 0.19 | -0.0889985000 | 0.00026 28333 | 10001 | 0.19 |
| 0.20 | -0.08866 66667 | 0.00033 18333 | 10001 | 0.20 |
| 0.21 | -0.08826 48333 | 0.00040 18334 | 9998 | 0.21 |
| 0.22 | -0.08779 20000 | 0.00047 28333 | 10001 | 0.22 |
| 0.23 | -0.08724 71667 | 0.00054 48333 | 10001 | 0.23 |
| 0.24 | -0.0866293333 | 0.00061 78334 | 9998 | 0.24 |
| 0.25 | -0.0859375000 | 0.00069 18333 | 10001 | 0.25 |
| 0.26 | -0.08517 06667 | 0.00076 68333 | 10001 | 0.26 |
| 0.27 | -0.0843278333 | 0.00084 28334 | 9998 | 0.27 |
| 0.28 | -0.08340 80000 | 0.00091 98333 | 10001 | 0.28 |
| 0.29 | -0.08241 01667 | 0.00099 78333 | 10001 | 0.29 |
| 0.30 | -0.08133 33333 | 0.00107 68334 | 9998 | 0.30 |
| 0.31 | -0.08017 65000 | 0.00115 68333 | 10001 | 0.31 |
| 0.32 | $-0.07893\ 86667$ | 0.00123 78333 | 10001 | 0.32 |
| 0.33 , | -0.07761 88333 | 0.00131 98334 | 9998 | 0.33 |
| 0.34 | $-0.07621\ 60000$ | 0.00140 28333 | 10001 | 0.34 |
| 0.35 | -0.0747291667 | 0.00148 68333 | 10001 | 0.35 |
| 0.36 | -0.07315 73333 | 0.00157 18334 | 9998 | 0.36 |
| 0.37 | -0.0714995000 | 0.00165 78333 | 10001 | 0.37 |
| 0.38 | -0.06975 46667 | 0.00174 48333 | 10001 | 0.38 |
| 0.39 | $-0.06792\ 18333$ | 0.00183 28334 | 9998 | 0.39 |
| 0.40 | -0.06600 00000 | 0.00192 18333 | 10001 | 0.40 |
| 0.41 | -0.06398 81667 | 0.00201 18333 | 10001 | 0.41 |
| 0.42 | -0.06188 53333 | 0.00210 28334 | 9998 | 0.42 |
| 0.43 | -0.05969 05000 | 0.00219 48333 | 10001 | 0.43 |
| 0.44 | -0.05740 26667 | 0.00228 78333 | 10001 | 0.44 |
| 0.45 | $-0.05502\ 08333$ | 0.00238 18334 | 9998 | 0.45 |
| 0.46 | -0.05254 40000 | 0.00247 68333 | 10001 | 0.46 |
| 0.47 | -0.04997 11667 | 0.00257 28333 | 10001 | 0.47 |
| 0.48 | $-0.04730\ 13333$ | 0.00266 98334 | 9998 | 0.48 |
| 0.49 | $-0.04453\ 35000$ | 0.00276 78333 | 10001 | 0.49 |
| 0.50 | -0.04166 66667 | 0.00286 68333 | 10001 | 0.50 |

| - | | | | | |
|-------|---|--------------------------------|--------------------------------|----------------|----------|
| | | | | | |
| | p | S_2' | δ | გვ | p |
| | | | | | • |
| 4 | · · · · · · · · · · · · · · · · · · · | 1 | | | |
| | 0.50 | -0.04166 66667 | 0.00286 68333 | 10001 | 0.50 |
| | 0.51 | -0.03869 98333 | 0.00296 68334 | 9998 | 0.51 |
| | 0.52 | $-0.03563\ 20000$ | 0.00306 78333 | 10001 | 0.52 |
| | 0.53 | - 0.03246 21667 | 0.00316 98333 | 10001 | 0.53 |
| | 0.54 | -0.0291893333 | 0.00327 28334 | 9998 | 0.54 |
| | | | 5.0002, 25002 | | |
| | 0.55 | -0.02581 25000 | 0.00337 68333 | 10001 | 0.55 |
| | 0.56 | -0.02233 06667 | 0.00348 18333 | 10001 | 0.56 |
| | 0.57 | $-0.01874\ 28333$ | 0.00348 78334 | 9998 | 0.57 |
| | 0.58 | -0.01504 80000 | 0.00369 48333 | 10001 | 0.58 |
| | 0.59 | -0.01124 51667 | 0.00380 28333 | 10001 | 0.59 |
| | | | | 9 | |
| . * | 0.60 | - 0.00733 33333 | 0.00391 18334 | 9998 | 0.60 |
| | 0.61 | $-0.00331\ 15000$ | 0.00402 18333 | 10001 | 0.61 |
| | 0.62 | 0.00082 13333 | 0.00413 28333 | 10001 | 0.62 |
| | 0.63 | 0.00506 61667 | 0.00424 48334 | 9998 | 0.63 |
| | 0.64 | 0.00942 40,000 | 0.00435 78333 | 10001 | 0.64 |
| | 0.00 | | | 4 | 1 |
| al di | 0.65 | 0.01389 58333 | 0.00447 18333 | 10001 | 0.65 |
| | 0.66 | 0.01848 26667 | 0.00458 68334 | 9998 | 0.66 |
| | 0.67 | 0.02318 55000 | 0.00470 28333 | 10001 | 0.67 |
| | 0.68 | 0.02800 53333 | 0.00481 98333 | 10001 | 0.68 |
| | 0.69 | 0.03294 31667 | 0.00493 78334 | 9998 | 0.69 |
| | 0.70 | 0.00000 00000 | 0.00505 60999 | 10001 | A # 6. 1 |
| | $\begin{array}{c} 0.70 \\ 0.71 \end{array}$ | 0.03800 00000 0.04317 68333 | 0.00505 68333 0.00517 68333 | 10001 10001 | 0.70 |
| | 0.72 | 0.04847 46667 | 0.00529 78334 | 9998 | 0.71 |
| | 0.73 | 0.05389 45000 | 0.00541 98333 | 10001 | 0.72 |
| | 0.74 | 0.055943 73333 | 0.00554 28333 | 10001 | 0.73 |
| | 0.14 | V.000±0 10000 | 0.0000± 20000 | 10001 | 0.74 |
| | 0.75 | 0.06510 41667 | 0.00566 68334 | 9998 | 0.75 |
| | 0.76 | 0.07089 60000 | 0.00579 18333 | 10001 | 0.76 |
| | 0.77 | 0.07681 38333 | 0.00591 78333 | 10001 | 0.77 |
| | 0.78 | 0.08285 86667 | 0.00604 48334 | 9998 | 0.78 |
| | 0.79 | 0.08903 15000 | 0.00617 28333 | 10001 | 0.79 |
| | | | | | 0.10 |
| | 0.80 | 0.09533 33333 | 0.00630 18333 | 10001 | 0.80 |
| | 0.81 | 0.10176 51667 | 0.00643 18334 | 9998 | 0.81 |
| | 0.82 | 0.10832 80000 | 0.00656 28333 | 10001 | 0.82 |
| 200 | 0.83 | 0.11502 28333 | 0.00669 48333 | 10001 | 0.83 |
| | 0.84 | 0.12185 06667 | 0.00682 78334 | 9998 | 0.84 |
| | 0.05 | | | | |
| *. | 0.85 | 0.12881 25000 | 0.00696 18333 | 10001 | 0.85 |
| | 0.86 | 0.13590 93333 | 0.00709 68333 | 10001 | 0.86 |
| | 0.87 | 0.14314 21667 | 0.00723 28334 | 9998 | 0.87 |
| | 0.88 | 0.15051 20000 | 0.00736 98333 | 10001 | 0.88 |
| | 0.89 | 0.15801 98333 | 0.00750 78333 | 10001 | 0.89 |
| | 0.90 | 0.16566 66667 | 0.00764 68334 | 0000 | 0.00 |
| | $0.90 \\ 0.91$ | 0.17345 35000 | 0.00704 08334 0.00778 68333 | 9998 | 0.90 |
| | $0.91 \\ 0.92$ | 0.18138 13333 | | 10001 | 0.91 |
| | 0.93 | 0.18945 11667 | 0.00792 78333 0.00806 98334 | 10001 | 0.92 |
| | 0.94 | 0.19766 40000 | 0.00821 28333 | 9998 | 0.93 |
| | 0,00 | 0.15700 10000 | 0.00021 20000 | 10001 | 0.94 |
| | 0.95 | 0.20602 08333 | 0.00835 68333 | 10001 | 0.05 |
| | 0.96 | 0.21452 26667 | 0.00850 18334 | 9998 | 0.95 |
| 4 | 0.97 | 0.22317 05000 | 0.00864 78333 | 9998 10001 | 0.96 |
| 100 | 0.98 | 0.23196 53333 | 0.00879 48333 | 10001 | 0.97 |
| | 0.99 | 0.24090 81667 | 0.00879 40333 | 9998 | 0.98 |
| +1,5 | | 5.2255 | 0.00024 20001 | ฮฮฮง | 0.99 |
| | 1.00 | 0.25000 00000 | 0.00909 18333 | 10001 | 1.00 |
| | | 1 0.20000 | 0.00000 10000 | 10001 | 1.00 |

| tt | * * | | | |
|--|---|---|--|--------------------------------------|
| p | $ar{\mathcal{S}}_3'$ | δ | ∂ 3 | p |
| 0.00 0.01 0.02 0.03 0.04 | $ \begin{array}{c ccccccccccccccccccccccccccccccccccc$ | 0.00010 48335 0.00010 73332 0.00012 96635 0.00014 18200 0.00015 37975 | -1640 -1694 -1738 -1790 -1834 | 0.00 0.01 0.02 0.03 0.04 |
| 0.05 0.06 0.07 0.08 0.09 | $\begin{array}{c} -0.01595 \ 84609 \\ -0.01578 \ 12635 \\ -0.01559 \ 26529 \\ -0.01539 \ 28260 \\ -0.01518 \ 19843 \end{array}$ | 0.00016 55916 0.00017 71974 0.00018 86106 0.00019 98269 0.00021 08417 | -1883 -1926 -1969 -2015 -2055 | 0.05 0.06 0.07 0.08 0.09 |
| 0.10 0.11 0.12 0.13 0.14 | $\begin{array}{c} -0.01496\ 03333\\ -0.01472\ 80827\\ -0.01448\ 54460\\ -0.01423\ 26408\\ -0.01396\ 98885 \end{array}$ | 0.00022 16510 0.00023 22506 0.00024 26367 0.00025 28052 0.00026 27523 | $\begin{array}{r} -2097 \\ -2135 \\ -2176 \\ -2214 \\ -2250 \end{array}$ | 0.10 0.11 0.12 0.13 0.14 |
| 0.15 0.16 0.17 0.18 0.19 | $\begin{array}{c} -0.01369 \ 74141 \\ -0.01341 \ 54462 \\ -0.01312 \ 42170 \\ -0.01252 \ 39620 \\ -0.01251 \ 49201 \end{array}$ | 0.00027 24744 0.00028 19679 0.00029 12292 0.00030 02550 0.00030 90419 | 2286 2322 2355 2389 2420 | 0.15 0.16 0.17 0.18 0.19 |
| $egin{array}{c} 0.20 \\ 0.21 \\ 0.22 \\ 0.23 \\ 0.24 \\ \end{array}$ | $\begin{array}{c} -0.01219\ 73333 \\ -0.01187\ 14468 \\ -0.01153\ 75086 \\ -0.01119\ 57699 \\ -0.01084\ 64845 \end{array}$ | 0.00031 75868 0.00032 58865 0.00033 39382 0.00034 17387 0.00034 92854 | $\begin{array}{r} -2452 \\ -2480 \\ -2512 \\ -2538 \\ -2565 \end{array}$ | 0.20 0.21 0.22 0.23 0.24 |
| 0.25 0.26 0.27 0.28 0.29 | $\begin{array}{c} -0.01048 \ 99089 \\ -0.01012 \ 63022 \\ -0.00975 \ 59261 \\ -0.00937 \ 90447 \\ -0.00899 \ 59243 \end{array}$ | 0.00035 65756 0.00036 36067 0.00037 03761 0.00037 68814 0.00038 31204 | $\begin{array}{r} -2591 \\ -2617 \\ -2641 \\ -2663 \\ -2684 \end{array}$ | 0.25 0.26 0.27 0.28 0.29 |
| 0.30 0.31 0.32 0.33 0.34 | $\begin{array}{c} -0.00860 \ 68333 \\ -0.00821 \ 20426 \\ -0.00781 \ 18246 \\ -0.00740 \ 64540 \\ -0.00699 \ 62071 \end{array}$ | 0.00033 90910 0.00039 47907 0.00040 02180 0.00040 53706 0.00041 02469 | $\begin{array}{l} -2709 \\ -2724 \\ -2747 \\ -2763 \\ -2781 \end{array}$ | 0.30 0.31 0.32 0.33 0.34 |
| 0.35 0.36 0.37 0.38 0.39 | $\begin{array}{c} -0.00658 \ \ 13620 \\ -0.00616 \ \ 21982 \\ -0.00573 \ \ 89969 \\ -0.00531 \ \ 20407 \\ -0.00488 \ \ \ 16134 \end{array}$ | 0.00041 48451 0.00041 91638 0.00042 32013 0.00042 69562 0.00043 04273 | - 2795 - 2812 - 2826 - 2838 - 2850 | 0.35 0.36 0.37 0.38 0.39 |
| 0.40 0.41 0.42 0.43 0.44 | $\begin{array}{c} -0.00444\ 80000 \\ -0.00401\ 14867 \\ -0.00357\ 23606 \\ -0.00313\ 09098 \\ -0.00268\ 74231 \end{array}$ | 0.00043 36134 0.00043 65133 0.00043 91261 0.00044 14508 0.00044 34867 | -2862 -2871 -2881 -2888 -2896 | 0.40 0.41 0.42 0.43 0.44 |
| 0.45 0.46 0.47 0.48 0.49 | $\begin{array}{c} -0.00224\ 21901 \\ -0.00179\ 55009 \\ -0.00134\ 76460 \\ -0.00089\ 89167 \\ -0.00044\ 96042 \end{array}$ | 0.00044 52330 0.00044 66892 0.00044 78549 0.00044 87293 0.00044 93125 | $\begin{array}{c} -2901 \\ -2905 \\ -2913 \\ -2912 \\ -2915 \end{array}$ | 0.45 0.46 0.47 0.48 0.49 |
| 0.50 | 0.00000 000000 | 0.00044 96042 | -2917 | 0.50 |

| 4. | | | | | M-Yoshida | | | hida | | | | , i. | |
|------|----------|-----------|--------------------|-------|-----------|------|----------------------|-------|-------|------------------|------|----------------------|-----|
| | | •1 : • | | | | | | • | | | · . | × 12 + | _ |
| • | | | , | | , | | | | - 1 | | | | |
| - 1 | ę | | \bar{S}_3' | 5 | 1 . | | δ | 2 | | | . | p. | |
| | 50 | | 0.00000 | | | | 0.00044 | | 1 | -2917 | | 0.50 | |
| | 51 | | 0.00044 | | | , | 0.00044 | | | -2917 | 1 | 0.51 | |
| | 52 53 | | 0.00089 0.00134 | | | | 0.00044 | | | -2915 -2912 |]. , | 0.52 | |
| | 54 | | 0.00134 | | | | 0.00044 | | | -2912 | | 0.53 0.54 | |
| 0. | 55 | | 0.00224 | 21901 | | | 0.00044 | 66892 | | -2905 | | 0.55 | |
| 0. | 56 | 1 | 0.00268 | 74231 | | | 0.00044 | 52330 | • | -2901 | | 0.56 | |
| | 57 | | 0.00313 | | 2 | | 0.00044 | | | -2896 | | 0.57 | |
| | 58 59 | | 0.00357 0.00401 | | | | 0.00044 0.00043 | | - 1 | $-2888 \\ -2881$ | | 0.58 0.59 | |
| | 60 | | 0.00444 | | | | 0.00043 | | | -2871 | | 0.60 | |
| | 61 | - ' | 0.00433 | | | (2) | 0.00043 | | | -2862 | | 0.61 | |
| 0. | 62 | | 0.00531 | | | 1 | 0.00043 | | | -2850 | | 0.62 | 14 |
| 0. | 63 | | 0.00573 | 89969 | . 1 | | 0.00042 | 69562 | | -2838 | | 0.63 | 19 |
| 0. | 64 | | 0.00616 | 21982 | 1.0 | -y 1 | 0.00042 | 32013 | | -2826 | 1 | 0.64 | |
| | 65 | | 0.00658 | | Α, | | 0.00041 | | | -2812 | | 0.65 | , |
| | 66 67 | - | 0.00699 | | | | 0.00041 | | . . | -2795 | | 0.66 | |
| | 68 | | 0.00740 0.00781 | | | | 0.00041 0.00040 | | . 20 | $-2781 \\ -2763$ | | 0.68 | |
| | 69 | | 0.00821 | | | 985 | 0.00040 | | | -2747 | , . | 0.69 | |
| | 70 | | 0,00860 | 68333 | | | 0.00039 | | | -2724 | | 0.70 | |
| | 71 | | 0.00809 | | | | 0.00038 | | . | -2709 | | 0.71 | |
| | 72 | | 0.00937 | | | 1. | 0.00038 | | | -2684 | | 0.72 | |
| | 73 74 | | 0.00975 0.01012 | | | | 0.00037 0.00037 | | | $-2663 \\ -2641$ | | 0.73 0.74 | 1 |
| 0. | 75 | | 0.01048 | 99089 | e :V | | 0.00036 | 36067 | -]. | -2617 | | 0.75 | ٠. |
| | 76 | | 0.01084 | | | | 0.00035 | | | -2591 | | 0.76 | |
| | 77 | | 0.01119 | | | | 0.00034 | | | -2565 | | 0.77 | |
| | 78 79 | | 0.01159 | | | | 0.00034 0.00033 | | | -2533 -2512 | | 0.78 0.79 | |
| 0. | 80 | | 0.01219 | 73333 | | | 0.00032 | 58865 | | -2480 | | 0.80 | |
| 0. | 81 | • | 0.01251 | | ~ | | 0.00031 | | | -2452 | | 0.81 | |
| ^ O. | 82 | 1.10 | 0.01282 | 39620 | | | 0.00030 | 90419 | | -2420 | | 0.82 | * |
| | 83 | | 0.01312 | | | | 0.00030 | | | -2339 | | 0.83 | |
| 0. | 84 | | 0.01341 | D4462 | | • | 0.00029 | | | -2355 | | 0.84 | |
| | 85 86 | | 0.01369 | | , | | 0.00028 | | | -2322 | | 0.85 | |
| | 87 | | 0.01396 0.01423 | | | | 0.00027 0.00026 | | | $-2286 \\ -2250$ | 1 | 0.86 0.87 | |
| | 88 | | 0.01448 | | | | 0.00025 | | | -2214 | | 0.88 | 100 |
| | 89 | | 0.01472 | | | | 0.00024 | | | -2176 | | 0.89 | |
| | 90 | | 0.01496 | | | | 0.00023 | | e . | -2135 | | 0.90 | |
| | 91 . | | 0.01518 | | | | 0.00022 | | | -2097 | | 0.91 | |
| | 92 93 | | 0.01539 | | | | 0.00021 0.00019 | | 25 | -2055 -2015 | | 0.92 | |
| | 94 | 1.5 | 0.01578 | | ٠ | | 0.00019 | | | -1969 | 7. | 0.94 | |
| | 95 | | 0.01595 | 84609 | | - | 0.00017 | 71974 | | -1926 | | 0.95 | |
| 0. | 96 | ' | 0.01612 | 40525 | | 1 0 | 0.00016 | 55916 | | -1883 | | 0.96 | |
| | .97 | 10 | 0.01627 | | | 1 4 | 0.00015 | | 1 . | -1834 | 2. | $0.97 \cdot$ | |
| | 98 99 | | 0.01641 0.01654 | | ٠. | | $0.00014 \\ 0.00012$ | | | -1790 - 1738 | | 0.98 6 .99 | - |
| | | 1 | | | | L . | | | | | 1 | | |

| 0.01 0.01677 15002 0.00010 48335 0.02 0.01686 36700 0.00009 21698 0.03 0.01694 30171 0.00007 93471 0.04 0.01700 93875 0.00006 63704 0.05 0.01710 26098 0.00003 32453 0.06 0.01712 26098 0.00003 99770 0.07 0.01712 91809 0.00002 65711 0.08 0.01714 22140 0.00001 30331 0.09 0.01714 15827 -0.00000 06313 0.10 0.01712 71667 -0.00001 44160 0.11 0.01709 88511 -0.00002 83156 | 88 | 9.09 0.01 0.02 0.03 0.04 9.05 0.06 0.07 0.06 0.09 9.10 0.11 0.12 0.13 |
|---|---|--|
| 0.00 0.01666 66667 0.00011 73332 0.01 0.01677 15002 0.00010 48335 0.02 0.01686 36700 0.00009 21698 0.03 0.01694 30171 0.00007 93471 0.04 0.01700 93875 0.00006 63704 0.05 0.01710 26038 0.00003 99770 0.07 0.01712 91809 0.00002 65711 0.08 0.01714 22140 0.00001 30331 0.09 0.01714 15827 -0.00001 44160 0.11 0.01703 88511 -0.00002 83156 0.12 0.01705 65274 -0.00004 23237 0.13 0.01700 00930 -0.00005 64344 0.14 0.01692 94515 -0.00007 06415 0.15 0.01684 45130 -0.00008 49385 0.16 0.01674 51938 -0.00009 93192 | - 1640 - 1590 - 1540 - 1484 - 1482 - 1376 - 1321 - 1264 - 1293 - 1149 - 1095 - 1096 - 964 - 899 - 837 | 0.01 0.02 0.03 0.04 0.05 0.06 0.07 0.08 0.09 0.10 0.11 |
| 0.01 0.01677 15002 0.00010 48335 0.02 0.01686 36700 0.00009 21698 0.03 0.01694 30171 0.00007 93471 0.04 0.01700 93875 0.00006 63704 0.05 0.01706 26328 0.00005 32453 0.06 0.01710 26098 0.00003 99770 0.07 0.01712 91809 0.00002 65711 0.08 0.01714 22140 0.00001 30331 0.09 0.01714 15827 -0.00001 44160 0.11 0.01702 71667 -0.00002 83156 0.12 0.01705 65274 -0.00004 23237 0.13 0.01700 00930 -0.00005 64344 0.14 0.01692 94515 -0.00007 06415 0.15 0.01684 45130 -0.00008 49385 0.16 0.01674 51938 -0.00009 93192 | - 1640 - 1590 - 1540 - 1484 - 1482 - 1376 - 1321 - 1264 - 1293 - 1149 - 1095 - 1096 - 964 - 899 - 837 | 0.01 0.02 0.03 0.04 0.05 0.06 0.07 0.08 0.09 0.10 0.11 |
| 0.01 0.01677 15002 0.00010 48335 0.02 0.01686 36700 0.00009 21698 0.03 0.01694 30171 0.00007 93471 0.04 0.01700 93875 0.00006 63704 0.05 0.01706 26328 0.00005 32453 0.06 0.01710 26098 0.00003 99770 0.07 0.01712 91809 0.00002 65711 0.08 0.01714 22140 0.00001 30331 0.09 0.01714 15827 -0.00001 44160 0.11 0.01702 71667 -0.00002 83156 0.12 0.01705 65274 -0.00004 23237 0.13 0.01700 00930 -0.00005 64344 0.14 0.01692 94515 -0.00007 06415 0.15 0.01684 45130 -0.00008 49385 0.16 0.01674 51938 -0.00009 93192 | - 1640 - 1590 - 1540 - 1484 - 1482 - 1376 - 1321 - 1264 - 1293 - 1149 - 1095 - 1096 - 964 - 899 - 837 | 0.01 0.02 0.03 0.04 0.05 0.06 0.07 0.08 0.09 0.10 0.11 |
| 0.02 0.01686 - 36700 0.00009 21698 0.03 0.01694 30171 0.00007 93471 0.04 0.01700 93875 0.00006 63704 0.05 0.01706 26328 0.00003 99770 0.06 0.01710 26098 0.00003 99770 0.07 0.01712 91809 0.00002 65711 0.08 0.01714 22140 0.00001 30331 0.09 0.01714 15827 -0.00000 06313 0.10 0.01712 71667 -0.00001 44160 0.11 0.01709 88511 -0.00002 83156 0.12 0.01705 65274 -0.00004 23237 0.13 0.01700 00230 -0.00005 64344 0.14 0.01692 94515 -0.00007 06415 0.15 0.01684 45130 -0.00008 49385 0.16 0.01674 51938 -0.00009 93192 | -1590 -1540 -1484 -1432 -1376 -1321 -1264 -1293 -1149 -1096 -964 -899 -837 | 0.02 0.03 0.04 0.05 0.06 0.07 0.08 0.09 0.10 0.11 0.12 0.13 |
| 0.03 0.01694 30171 0.00007 93471 0.04 0.01700 93875 0.00006 63704 0.05 0.01700 26328 0.00005 32453 0.06 0.01710 26098 0.00003 99770 0.07 0.01712 91809 0.00002 65711 0.08 0.01714 22140 0.00001 30331 0.09 0.01714 15827 -0.00000 06313 0.10 0.01712 71667 -0.00001 44160 0.11 0.01709 88511 -0.00002 83156 0.12 0.01705 65274 -0.00004 23237 0.13 0.01700 00930 -0.00005 64344 0.14 0.01692 94515 -0.00007 06415 0.15 0.01674 51938 -0.00009 93192 | -1540 -1484 -1432 -1376 -1321 -1264 -1263 -1149 -1065 -1026 -964 -899 -837 | 0.03 0.04 0.05 0.06 0.07 0.08 0.09 0.10 0.11 0.12 |
| 0.04 0.01700 93875 0.00006 63704 0.05 0.061706 26328 0.00005 32453 0.06 0.01710 26098 0.00003 99770 0.07 0.01712 91809 0.00002 65711 0.08 0.01714 22140 0.00001 30331 0.09 0.01714 15827 -0.00000 06313 0.10 0.01712 71667 -0.00001 44160 0.11 0.01709 88511 -0.00002 83156 0.12 0.01705 65274 -0.00004 23237 0.13 0.01700 00930 -0.00005 64344 0.14 0.01692 94515 -0.00007 06415 0.15 0.01684 45130 -0.00008 49385 0.16 0.01674 51938 -0.00009 93192 | - 1484 - 1432 - 1376 - 1321 - 1264 - 1203 - 1149 - 1085 - 1026 - 964 - 899 - 837 | 0.05 0.06 0.07 0.08 0.09 0.10 0.11 0.12 0.13 |
| 0.06 0.01710 26098 0.00003 99770 0.07 0.01712 91809 0.00002 65711 0.08 0.01714 22140 0.00001 30331 0.09 0.01714 15827 -0.00000 06313 0.10 0.01704 71667 -0.00001 44160 0.11 0.01709*88511 -0.00002 83156 0.12 0.01706 65274 -0.00004 23237 0.13 0.01700 00930 -0.00005 64344 0.14 0.01692 94515 -0.00007 06415 0.15 0.01684 45130 -0.00008 49385 0.16 0.01674 51938 -0.00009 93192 | -1376 -1321 -1264 -1203 -1149 -1065 -1026 - 964 - 899 | 0.06 0.07 0.08 0.09 0.10 0.11 0.12 0.13 |
| 0.07 0.01712 91809 0.09002 65711 0.08 0.01714 22140 0.09001 30331 0.09 0.01714 15827 -0.09000 06313 0.10 0.01712 71667 -0.09001 44160 0.11 0.01709 88511 -0.09002 83156 0.12 0.01705 65274 -0.09004 23237 0.13 0.01700 00930 -0.09005 64344 0.14 0.01692 94515 -0.09007 06415 0.15 0.01684 45130 -0.09008 49385 0.16 0.01674 51938 -0.09009 93192 | -1321 -1264 -1263 -1149 -1065 -1026 - 964 - 899 | 0.07 0.08 0.09 0.10 0.11 0.12 0.13 |
| 0.08 0.01714 22140 0.00001 30331 0.09 0.01714 15827 -0.00000 06313 0.10 0.01712 71667 -0.00001 44160 0.11 0.01709 88511 -0.00002 83156 0.12 0.01705 65274 -0.00004 23237 0.13 0.01700 00930 -0.00005 64344 0.14 0.01692 94515 -0.00007 06415 0.15 0.01684 45130 -0.00008 49385 0.16 0.01674 51938 -0.00009 93192 | -1264 -1203 -1149 -1065 -1026 - 964 - 899 - 837 | 0.08 0.09 0.10 0.11 0.12 0.13 |
| 0.09 0.01714 15827 -0.00000 06313 0.10 0.01712 71667 -0.00001 44160 0.11 0.01709 88511 -0.00002 83156 0.12 0.01705 65274 -0.00004 23237 0.13 0.01700 00930 -0.00005 64344 0.14 0.01692 94515 -0.00007 06415 0.15 0.01684 45130 -0.00008 49385 0.16 0.01674 51938 -0.00009 93192 | 1203 1149 1085 1026 964 899 837 | 0.00 0.10 0.11 0.12 0.13 |
| 0.11 0.01709*88511 -0.00002 83156 0.12 0.01705 65274 -0.00004 23237 0.13 0.01700 00930 -0.09005 64344 0.14 0.01692 94515 -0.00007 06415 0.15 0.01684 45130 -0.00008 49385 0.16 0.01674 51938 -0.00009 93192 | -1085 -1026 - 964 - 899 - 837 | 0.11 0.12 0.13 |
| 0.11 0.01709*88511 -0.00002 83156 0.12 0.01705 65274 -0.00004 23237 0.13 0.01700 00930 -0.09005 64344 0.14 0.01692 94515 -0.00007 06415 0.15 0.01684 45130 -0.00008 49385 0.16 0.01674 51938 -0.00009 93192 | -1085 -1026 - 964 - 899 - 837 | 0.11 0.12 0.13 |
| 0.12 0.01705 65274 -0.00004 23237 0.13 0.01700 00930 -0.00005 64344 0.14 0.01692 94515 -0.00007 06415 0.15 0.01684 45130 -0.00008 49385 0.16 0.01674 51938 -0.00009 93192 | -1026 - 964 - 899 - 837 | 0.12 0.13 |
| 0.13 0.01700 00230 -0.00005 64344 0.14 0.01692 94515 -0.00007 06415 0.15 0.01684 45130 -0.00008 49385 0.16 0.01674 51938 -0.00009 93192 | - 964 - 899 - 837 | 0.13 |
| 0.14 0.01692 94515 -0.00007 06415 0.15 0.01684 45130 -0.00008 49335 0.16 0.01674 51938 -0.00009 93192 | - 899 - 837 | |
| 0.16 - 0.01674 519380.00009 93192 | | 0.14 |
| | | 0.15 |
| 0.17 0.61663 14168 -0.00011 27770 | - 771 | 0.16 |
| | - 707 | 0.17 |
| 0.18 0.01650 31113 -0.00012 83055 -0.00014 28977 | - 637 - 570 | 0.18 |
| 0.20 0.91620 26667 -0.00015 75469 | - 503 | 9.29 |
| 0.21 0.01603 04203 -0.00017 22464 | 430 | 0.21 |
| 0.22 0.01584 34314 -0.00018 69889 | - 362 | 0.22 |
| 0.23 - 0.01564 16638 -0.00020 17676 | - 287 | 0.23 |
| 0.24 0.01542 50888 -0.00021 65750 | - 215 | 0.24 |
| 0.25 0.01519 36849 -0.00023 14039 | - 143 | 0.25 |
| 0.26 0.01494 74378 -0.00024 62471 | - 65 | 0.26 |
| 0.27 0.01468 63410 -0.00026 10968 | 8 | 0.27 |
| $0.28 \qquad 0.01441 \ 03953 \qquad -0.00027 \ 59457$ | 88 | 0.28 |
| 0.29 0.01411 96095 -0.00029 07858 | 164 | 0.29 |
| 0.30 -0.01381 40000 -0.00030 56095 | 244 | 0.30 |
| 0.31 0.01349 35912 -0.00032 04088 | 323 | 0.31 |
| 0.32 0.01315 84154 -0.00033 51758 | 404 | _0.32 |
| 0.33 0.01280 85130 -0.00034 99024 | 489 | 0.33 |
| 0.01244 39329 -0.00036 45801 | 567 | 0.34 |
| 6.35 0.01206 47318 -0.00037 92011 | 654 | 0:35 |
| 0.36 0.01167 09751 -0.00039 37567 | 740 | 0.36 |
| 0.37 0.01126 27368 -0.00040 82383 | -824 | 0.37 |
| 0.38 0.01084 00993 -0.00042 26375 | 911 | 0.33 |
| 0.39 0.01040 31537 -0.00043 69456 | 1000 | 0.39 |
| 0.40 0.00995 20000 -0.00045 H537 | 1088 | 0.40 |
| 0.41 0.00948 67470 -0.00046 52530 | 1180 | 0.41 |
| 0.42 0.00900 75127 -0.00047 92343 | 1268 | 0.42 |
| 0.43 0.00851 44239 -0.00049 30888 | 1363 | 0.43 |
| 6.44 6.00800 76169 -0.00050 68070 | 1453 | 0.44 |
| 0.45 0.00748 72370 -0.00052 03799 | 1549 | 0.45 |
| 0.46 - 0.00695 34391 -0.00053 37979 | 1645 | 0.46 |
| 0.47 0.00640 63877 -0.00054 70514 | 1738 | 0.47 |
| | 1838 | 0.48 |
| 0.49 0.00527 32296 -0.00057 30270 | 1800 | ` O'48 |
| 0.50 0.00468 75000 -0.00058 57296 | 2035 | 0.50 |

| · | | | <u>, , 5 </u> | 794 | |
|-----|---|---|------------------------------------|----------------|---|
| | p | S ₃ ' | δ. | δ_3 | p |
| | | | | - | • |
| . ~ | 0.50 | 0.00469 75000 | O OCOTO PRODO | 0000 | 0.50 |
| | 0.51 | $0.00468\ 75000 \ 0.00408\ 92713$ | -0.00058 57296 | 2035 | 0.50 |
| | 0.52 | | -0.00059 82287 | 2132 | 0.51 |
| | $0.52 \\ 0.53$ | $0.00347 87567 \ 0.00285 61798$ | -0.00061 05146 | 2236 | 0.52 |
| | 0.54 | $0.00233 \ 01733 \ 0.00222 \ 17742$ | $-0.00062 25769 \\ -0.00063 44056$ | 2336 | 0.53 |
| | 0.02 | 0.00222 17743 | -0.00003 44030 | 2440 | 0.54 |
| | 0.55 | 0.00157 57839 | -0.00064 59903 | 2542 | 0.55 |
| | 0.56 | 0.00091 84631 | -0.00065 73208 | 2651 | 0.56 |
| | 0.57 | $0.00025 \ 00769$ | -0.00066 83862 | 2753 | 0.57 |
| | 0.58 | -0.0004290994 | -0.0006791763 | 2863 | 0.58 |
| | 0.59 | -0.0011187795 | -0.00068 96801 | 2967 | 0.59 |
| | 0.60 | 0.00101.0444 | | | |
| | 0.60 0.61 | -0.00181 86667 | -0.00069 98872 | 3081 | 0.60 |
| | $\begin{array}{c} 0.61 \\ 0.62 \end{array}$ | -0.0025284529 | -0.0007097862 | 3188 | 0.61 |
| | 0.63 | $ \begin{array}{r} -0.00324 & 78193 \\ -0.00397 & 64360 \end{array} $ | -0.00071 93664 | 3299 | 0.62 |
| | 0.64 | -0.00397 04300 -0.00471 39618 | -0.00072 86167 | 3412 3524 | 0.63 |
| | 0.01 | 0.00271 35013 | -0.00073 75258 | 3924 | 0.64 |
| | 0.65 | -0.00546 00443 | -0,00074 60825 | 3640 | 0.65 |
| | 0.66 | -0.00621 43195 | -0.00075 42752 | 3752 | 0.66 |
| | 0.67 | -0.00697 64122 | $-0.00076\ 20927$ | 3870 | 0.67 |
| | 0.68 | -0.00774 59354 | -0.0007695232 | 3988 | 0.68 |
| | 0.69 | -0.00852.24903 | -0.00077 65549 | 4102 | 0.69 |
| | 0.40 | 0.00000 50000 | | 1000 | |
| | 0.70 | -0.00930 56667 | -0.00078 31764 | 4226 | 0.70 |
| | 0.71 | $-0.01009\ 50420$ | -0.00078 93753 | 4342 | 0.71 |
| | $\begin{array}{c} 0.72 \\ 0.73 \end{array}$ | $-0.01089 \ 01820$ | -0.00079 51400 | 4466 | 0.72 |
| | 0.74 | $-0.01169 06401 \ -0.01249 59578$ | -0.00080 04581 | 4585 | 0.73 |
| ٠. | 0.72 | -0.01249 59575 | -0.00080 53177 | 4710 | 0.74 |
| | 0.75 | -0.01330.56641 | -0.00080 97063 | 4835 | 0.75 |
| | 0.76 | -0.0141192755 | -0.00081 36114 | 4957 | 0.76 |
| | 0.77 | -0.0149362963 | -0.0008170208 | 5085 | 0.77 |
| | 0.78 | -0.01575 62180 | -0.0008199217 | 5211 | 0.78 |
| | 0.79 | -0.01657 85195 | -0.00082 23015 | 5341 | · 0.79 |
| | 0.00 | 0.07840.00449 | | | |
| | 0.80 | -0.01740 26667 | $-0.00082 \ 41472$ | 5468 | 0.80 |
| | $\begin{array}{c} 0.81 \\ 0.82 \end{array}$ | -0.0182281128 | -0.00082 54461 | 5598 | 0.81 |
| | $\begin{array}{c} 0.82 \\ 0.83 \end{array}$ | -0.01905 42980 | -0.00082 61852 | 5730 | 0.82 |
| | 0.84 | $ \begin{array}{r} -0.01988 \ 06493 \\ -0.02070 \ 65805 \end{array} $ | $-0.00082 63513 \\ -0.00082 59312$ | 5862 | $0.83 \\ 0.84$ |
| | 0.01 | 0.02010 00000 | 0.00002 59512 | 5994 | 0.04 |
| | 0.85 | -0.02153 14922 | -0.0008249117 | 6129 | 0.85 |
| | 0.86 | -0.02235 47715 | -0.00082 32793 | 6263 | 0.86 |
| | 0.87 | -0.02317 57921 | -0.00082 10206 | 6400 | 0.87 |
| | 0.88 | -0.02399 39140 | $-0.00081 \ 81219$ | 6536 | 0.88 |
| | 0.89 | -0.0248084836 | -0.00081 45696 | 6676 | 0.89 |
| | 0.00 | 0.00007.00000 | | | |
| | 0.90 | -0.02561 88333 | -0.00081 03497 | 6812 | 0.90 |
| | 0.91 | -0.02642 42819 | -0.00080 54486 | 6954 | 0.91 |
| | 0.92 | $-0.02722 \ 41340$ | -0.00079 98521 | 7096 | 0.92 |
| | $0.93 \\ 0.94$ | $ \begin{array}{r} -0.02801 \ 76800 \\ -0.02880 \ 41965 \end{array} $ | -0.00079 35460 $-0.00078 65165$ | $7234 \\ 7382$ | $\begin{array}{c} 0.93 \\ 0.94 \end{array}$ |
| | GIUZ . | 0.04000 41900 | 0.00079 00100 | 1954 | 0.32 |
| | 0.95 | -0.02958 29453 | -0.00077 87488 | 7522 | 0.95 |
| | 0.96 | $-0.03035 \ 31742$ | -0.00077 02289 | 7670 | 0.96 |
| | 0.97 | $-0.03111 \ 41162$ | -0.00076 09420 | 7813 | 0.97 |
| | 0.98 | -0.03186 49900 | -0.00075 08738 | 7962 | 0.98 |
| | 0.99 | -0.0326049994 | -0.00074 00094 | 8111 | 0.99 |
| | | | | 8257 | 1.00 |
| | 1.00 | $-0.03333\ 33333$ | -0.0007283339 | | |

| Þ | $ar{S}_2^{\prime\prime}$ | δ. | S2" | δ | P |
|----------------|---------------------------------|---------------------|----------------------------------|------------------------------------|----------------|
| | | | | | |
| 0.00 | -0.08333 33333 | -0.00505 | -0.0833333333 | 0.00495 | 0.00 |
| 0.01 | -0.08828 33333 | -0.00495 | -0.07828 33333 | 0.00505 | 0.01 |
| 0.02 | $-0.09313\ 33333$ | -0.00485 | $-0.07313^{\circ}33333$ | 0.00515 | 0.02 |
| 0.03 | -0.09788 33333 | -0.00475 | -0.06788 33333 | 0.00525 | 0.03 |
| 0.04 | $-0.10253\ 33333$ | -0.00465 | $-0.06253 \cdot 33333$ | 0.00535 | 0.04 |
| 0.05 | -0.10708 33333 | -0.00455 | -0.05708 33333 | 0.00545 | 0.05 |
| 0.06 | -0.11153 33333 | -0.00445 | $-0.05153\ 33333$ | 0.00555 | 0.06 |
| 0.07 | -0.11588 33333 | -0.00435 | -0.04588 33333 | 0.00565 | 0.07 |
| 0.08 | $-0.12013\ 33333$ | -0.00425 | -0.04013 33333 | 0.00575 | 0.08 |
| 0.09 | -0.12428 33333 | -0.00415 | -0.03428 33333 | 0.00585 | 0.09 |
| 0.10 | -0.12833 33333 | -0.00405 | -0.02833 33333 | 0.00595 | 0.10 |
| 0.11 | -0.13228 33333 | -0.00395 | -0.02228 33333 | 0.00605 | 0.11 |
| 0.12 | -0.13613 33333 | -0.00385 | -0.01613 33333 | 0.00615 | 0.12 |
| 0.13 | -0.13988 33333 | -0.00375 | -0.00988 33333 | 0.00625 | 0.13 |
| 0.14 | -0.14353 33333 | -0.00365 | -0.00353 33333 | 0.00635 | 0.14 |
| | • | | | 0.00035 | U.IT |
| 0.15 | -0.14708 33333 | -0.00355 | 0.00291 66667 | 0.00645 | 0.15 |
| 0.16 | 0.15053 33333 | -0.00345 | 0.00946, 66667 | 0.00655 | 0.16 |
| 0.17 | -0.15388 33333 | -0.00335 | 0.01611 66667 | 0.00665 | 0.17 |
| 0.18 | -0.15713 33333 | -0.00325 | 0.02286 66667 | 0.00675 | 0.18 |
| 0.19 | -0.16028 33333 | -0.00315 | 0.02971 66667 | 0.00685 | 0.19 |
| 0.20 | -0.16333 33333 | -0.00305 | 0.03666 66667 | 0.00695 | 0.20 |
| 0.21 | -0.16628 33333 | -0.00295 | 0.04371 66667 | 0.00705 | 0.21 |
| 0.22 | -0.16913 33333 | -0.00285 | 0.05086 66667 | 0.00715 | 0.22 |
| 0.23 | -0.17188 33333 | -0.00275 | 0.05811 66667 | 0.00725 | 0.23 |
| 0.24 | -0.17453 33333 | -0.00265 | 0.06546 66667 | 0.00725 | 0.24 |
| 0.25 | -0.17708 33333 | -0.00255 | 0.07291 66667 | 0.00745 | 0.25 |
| 0.26 | -0.17953 33333 | -0.00245 | 0.08046 66667 | 0.00755 | 0.26 |
| 0.27 | -0.18188 33333 | -0.00235 | 0.08811 66667 | | |
| 0.27 | | | | 0.00765 | 0.27 |
| $0.28 \\ 0.29$ | -0.18413 33333 $-0.18628 33333$ | -0.00225 -0.00215 | $0.09586 66667 \\ 0.10371 66667$ | $0.00775 \\ 0.00785$ | $0.28 \\ 0.29$ |
| | | ļ | | | |
| 0.30 | -0.18833 33333 | -0.00205 | 0.11166 66667 | 0.00795 | 0.30 |
| 0.31 | -0.19028 33333 | -0.00195 | 0.11971 66667 | 0.00805 | 0.31 |
| 0.32 | -0.19213 33333 | -0.00185 | 0.12786 66667 | 0.00815 | 0.32 |
| 0.33 | -0.19388 33333 | -0.00175 | 0.13611 66667 | 0.00825 | 0.33 |
| 0.34 | -0.19553 33333 | -0.00165 | 0.14446 66667 | 0.00835 | 0.34 |
| 0.35 | -0.19708 33333 | -0.00155 | 0.15291 66667 | 0.00845 | 0.35 |
| 0.36 | -0.19853 33333 | -0.00145 | 0.16246 66667 | 0.00855 | 0.36 |
| 0.37 | -0.19988 33333 | -0.00135 | 0.17011 66667 | 0.00865 | 0.37 |
| 0.38 | -0.20113 33333 | -0.00125 | 0.17886 66667 | 0.00875 | 0.33 |
| 0.39 | -0.20228 33333 | -0.00115 | 0.18771 66667 | 0.00885 | 0.39 |
| 0.40 | -0,20333 33333 | -0.00105 | 0.19666 66667 | 0.00895 | 0.40 |
| 0.41 | -0.20428 33333 | -0.00095 | 0.20571 66667 | 0.00905 | 0.41 |
| 0.42 | -0.20513 33333 | -0.00085 | 0.21486 66667 | 0.00915 | 0.42 |
| 0.43 | -0.20588 33333 | -0.00075 | 0.22411 66667 | 0.00925 | 0.43 |
| 0.44 | -0.20653 33333 | -0.00065 | 0.23346 66667 | 0.00935 | 0.44 |
| 0.45 | -0.20708 33333 | -0.00055 | 0.24291 66667 | 0.00945 | 0.45 |
| 0.46 | -0.20753 33333 | -0.00045 | 0.25246 66667 | 0.00955 | 0.46 |
| 0.47 | -0.20788 33333 | -0.00035 | 0.26211 66667 | 0.00965 | 0.47 |
| 0.48 | -0.20813 33333 | -0.00025 | 0.27186 66667 | | |
| 0.49 | -0.20828 33333 | -0.00025 -0.00015 | 0.28171 66667 | 0.00 975 0.0098 5 | $0.48 \\ 0.49$ |
| 0.50 | -0.20833 33333 | -0.00005 | 0.29166 66667 | | |

| | | | * | | |
|--------|---------------------------------|----------------------|-------------------------------------|----------------------|---|
| p | $ar{S}_2^{\prime\prime}$ | δ | S ₂ '' | - 6 | p |
| | | <u> </u> | | | |
| 0.50 | -0.20833 33333 | -0.00005 | 0.29166 66667 | 0.00995 | 0.50 |
| 0.51 | -0.20828 33333 | 0.00005 | 0.30171 66667 | 0.01005 | 0.50 |
| 0.52 | -0.20813 33333 | 0.00015 | 0.31186 66667 | 0.01005 | 0.51 |
| 0.53 | -0.20788 33333 | 0.00015 | 0.32211 66667 | 0.01015 | 0.52 |
| 0.54 | -0.20753 33333 | 0.00025 | 0.33246 66667 | 0.01025 0.01035 | 0.53 0.54 |
| 0.55 | -0.20708 33333 | 0.00045 | 0.34291 66667 | 0.01045 | |
| 0.56 | -0.20653 33333 | 0.00045 | 0.35346 66667 | 0.01055 | 0.55 |
| 0.57 | -0.20588 33333 | 0.00065 | 0.36411 66667 | 0.01065 | 0.56 |
| 0.58 | -0.20513 33333 | 0.00075 | 0.37486 66667 | 0.01005 | 0.57 |
| 0.59 | -0.20428 33333 | 0.00075 | 0.38571 66667 | 0.01075 0.01085 | 0.58 |
| | 0.0000 00000 | | | | ļ |
| 0.60 | -0.20333 33333 | 0.00095 | 0.39666 66667 | 0.01095 | 0.60 |
| 0.61 | -0.20228 33333 | 0.00105 | 0.40771 66667 | 0.01105 | 0.61 |
| 0.62 | -0.20113 33333 | 0.00115 | 0.41886 66667 | 0.01115 | 0.62 |
| 0.63 | -0.19988 33333 | 0.00125 | 0.43011 66667 | 0.01125 | 0.63 |
| 0.64 | $-0.19853\ 33333$ | 0.00135 | 0.44146 66667 | 0.01135 | 0.64 |
| 0.65 | -0.19708 33333 | 0.00145 | 0.45291 66667 | 0.01145 | 0.65 |
| 0.66 | -0.19553 33333 | 0.00155 | 0.46441 66667 | 0.01155 | 0.66 |
| 0.67 | -0.19388 33333 | 0.00165 | 0.47611 66667 | 0.01165 | 0.67 |
| 0.68 | $-0.19213\ 33333$ | 0.00175 | 0.48786 66667 | 0.01175 | 0.68 |
| 0.69 | -0.19028 33333 | 0.00185 | 0.49971 66667 | 0.01185 | 0.69 |
| 0.70 | -0.18833 33333 | 0.00195 | 0.51166 66667 | 0.01195 | 0.70 |
| 0.71 | -0.18628 33333 | 0.00205 | 0.52371 66667 | 0.01205 | |
| 0.72 | -0.18413 33333 | 0.00205 | 0.53586 66667 | 0.01205 0.01215 | $\begin{array}{c c} 0.71 \\ 0.72 \end{array}$ |
| 0.73 | -0.18188 33333 | 0.00215 | 0.54811 66667 | 0.01215 | |
| 0.74 | -0.17953 33333 | 0.00235 | 0.56046 66667 | 0.01225 | 0.73 0.74 |
| 0.85 | 0.7777 0 | 0.00045 | 0 24001 66664 | 0.07046 | |
| 0.75 | -0.17708 33333 | 0.00245 | 0.57291 66667 | 0.01245 | 0.75 |
| 0.76 | -0.17453 33333 | 0.00255 | 0.58546 66667 | 0.01255 | 0.76 |
| 0.77 | -0.17188 33333 | 0.00265 | 0.59811 66667 | 0.01265 | 0.77 |
| 0.78 | -0.16913 33333 | 0.00275 | 0.61086 66667 | 0.01275 | 0.78 |
| 0.79 | -0.16628 33333 | 0.00285 | 0.62371 66667 | 0.01285 | 0.79 |
| 0.80 | -0.16333 33333 | 0.00295 | 0.63666 66667 | 0.01295 | 0.80 |
| 0.81 | -0.16028 33333 | 0.00305 | 0.64971 66667 | 0.01305 | 0.81 |
| 0.82 | $-0.15713\ 33333$ | 0.00315 | 0.66286 66667 | 0.01315 | 0.82 |
| 0.83 | -0.15388 33333 | 0.00325 | 0.67611 66667 | 0.01325 | 0.83 |
| 0.84 | -0.15053 33333 | 0.00335 | 0.68946 66667 | 0.01335 | 0.84 |
| 0.85 | -0.14708 33333 | 0.00345 | 0.70291 66667 | 0.01345 | 0.85 |
| 0.86 | -0.14353 33333 | 0.00355 | 0.71646 66667 | 0.01355 | 0.86 |
| 0.87 | -0.13988 33333 | 0.00365 | 0.73011 66667 | 0.01365 | 0.87 |
| 0.88 | -0.13613 33333 | 0.00375 | 0.74386 66667 | 0.01375 | 0.88 |
| 0.89 | $-0.13228\ 33333$ | 0.00385 | 0.75771 66667 | 0.01385 | 0.89 |
| 0.90 | -0.12833 33333 | 0.00395 | 0.77166 66667 | 0.01395 | . 0.00 |
| 0.91 | -0.12428 33333 | 0.00393 | 0.78571 66667 | 0.01405 | 0.90 |
| 0.92 | -0.12426 33333 $-0.12013 33333$ | 0.00415 | | | 0.91 |
| 0.92 | -0.12015 55555 -0.11588 33333 | | 0.79986 66667 | 0.01415 | 0.92 |
| 0.93 | -0.11088 33333 -0.11153 33333 | $0.00425 \\ 0.00435$ | $0.81411 \ 66667 \ 0.82846 \ 66667$ | $0.01425 \\ 0.01435$ | 0.93 |
| U. 3*x | 0.11109 99999 | 0.00499 | 0.04840 00007 | 0.01435 | 0.94 |
| 0.95 | -0.10708 33333 | 0.00445 | 0.84291 66667 | 0.01445 | 0.95 |
| 0.96 | $-0.10253\ 33333$ | 0.00455 | 0.85746 66667 | 0.01455 | 0.96 |
| 0.97 | -0.09788 33333 | 0.00465 | 0.87211 66667 | 0.01465 | 0.97 |
| 0.98 | $-0.09313\ 33333$ | 0.00475 | õ.88686 66667 | 0.01475 | 0.98 |
| 0.99 | -0.08828 33333 | 0.00485 | 0.90171 66667 | 0.01485 | 0.99 |
| .1 | | | 1 1 | | 1 |

| Þ | $ar{S}_3^{\prime\prime}$ | 8 | δ^3 | P |
|--------------------------------------|--|--|--|---|
| 0.00 | 0.01111 11111 | 0.00125 82496 | -5050 | 0.00 |
| 0.01 | 0.01235 26949 | 0.00124 15838 | -4951 | 0.01 |
| 0.02 | 0.01357 71178 | 0.00122 44229 | -4849 | 0.02 |
| 0.03 | 0.01478 38949 | 0.00120 67771 | -4751 | 0.03 |
| 0.04 | 0.01597 25511 | 0.00118 86562 | -4649 | 0.04 |
| 0.05 | 0.01714 26215 | $\begin{array}{c} 0.00117 \ 00704 \\ 0.00115 \ 10296 \\ 0.00113 \ 15438 \\ 0.00111 \ 16229 \\ 0.00109 \ 12771 \end{array}$ | - 4550 | 0.05 |
| 0.06 | 0.01829 36511 | | - 4450 | 0.06 |
| 0.07 | 0.01942 51949 | | - 4351 | 0.07 |
| 0.08 | 0.02053 68178 | | - 4249 | 0.08 |
| 0.09 | 0.02162 80949 | | - 4151 | 0.09 |
| 0.10 | $\begin{array}{c} 0.02269 & 86111 \\ 0.02374 & 79615 \\ 0.02477 & 57511 \\ 0.02578 & 15949 \\ 0.02676 & 51178 \end{array}$ | 0.00107 05162 | -4049 | 0.10 |
| 0.11 | | 0.00104 93504 | -3950 | 0.11 |
| 0.12 | | 0.00102 77896 | -3850 | 0.12 |
| 0.13 | | 0.00100 58438 | -3751 | 0.13 |
| 0.14 | | 0.00098 35229 | -3649 | 0.14 |
| 0.15 | 0.02772 59549 | 0.00096 08371 | - 3551 | 0.15 |
| 0.16 | 0.02866 37511 | 0.00093 77962 | - 3449 | 0.16 |
| 0.17 | 0.02957 81615 | 0.00091 44104 | - 3350 | 0.17 |
| 0.18 | 0.03046 88511 | 0.00089 06896 | - 3250 | 0.18 |
| 0.19 | 0.03133 54949 | 0.00086 66438 | - 3151 | 0.19 |
| 0.20 0.21 0.22 0.23 0.24 | 0.03217 77778 0.03299 53949 0.03378 80511 0.03455 54615 0.03529 73511 | 0.00084 22829 0.00081 76171 0.00079 26562 0.00076 74104 0.00074 18896 | $\begin{array}{l} -3049 \\ -2951 \\ -2849 \\ -2750 \\ -2650 \end{array}$ | $\begin{array}{c} 0.20 \\ 0.21 \\ 0.22 \\ 0.23 \\ 0.24 \end{array}$ |
| 0.25 | 0.03601 34549 | 0.00071 61038 | $\begin{array}{l} -2551 \\ -2449 \\ -2351 \\ -2249 \\ -2150 \end{array}$ | 0.25 |
| 0.26 | 0.03670 35178 | 0.00069 00629 | | 0.26 |
| 0.27 | 0.03736 72949 | 0.00066 37771 | | 0.27 |
| 0.28 | 0.03800 45511 | 0.00063 72562 | | 0.28 |
| 0.29 | 0.03861 50615 | 0.00061 05104 | | 0.29 |
| 0.30 | 0.03919 86111 | 0.00058 35496 | -2050 | 0.30 |
| 0.31 | 0.03975 49949 | 0.00055 63838 | -1951 | 0.31 |
| 0.32 | 0.64028 40178 | 0.00052 90229 | -1849 | 0.32 |
| 0.33 | 0.04078 54949 | 0.00050 14771 | -1751 | 0.33 |
| 0.34 | 0.04125 92511 | 0.00047 37562 | -1649 | 0.34 |
| 0.35 | $\begin{array}{c} 0.04170 \ 51215 \\ 0.04212 \ 29511 \\ 0.04251 \ 25949 \\ 0.04287 \ 39178 \\ 0.04320 \ 67949 \end{array}$ | 0.00044 58704 | - 1550 | 0.35 |
| 0.36 | | 0.00041 78296 | - 1450 | 0.36 |
| 0.37 | | 0.00038 96438 | - 1351 | 0.37 |
| 0.38 | | 0.00036 13229 | - 1249 | 0.38 |
| 0.39 | | 0.00033 28771 | - 1151 | 0.39 |
| 0.40 | 0.04351 11111 | 0.00030 43162 | -1049 | 0.40 |
| 0.41 | 0.04378 67615 | 0.00027 56504 | - 950 | 0.41 |
| 0.42 | 0.04403 36511 | 0.00024 68896 | - 850 | 0.42 |
| 0.43 | 0.04425 16949 | 0.00021 80438 | - 751 | 0.43 |
| 0.44 | 0.04444 08178 | 0.00018 91229 | - 649 | 0.44 |
| 0.45 | 0.04460 09549 | 0.00016 01371 | - 551 | 0.45 |
| 0.46 | 0.04473 20511 | 0.00013 10962 | - 449 | 0.46 |
| 0.47 | 0.04483 40615 | 0.00010 20104 | - 350 | 0.47 |
| 0.48 | 0.04490 69511 | 0.00007 28896 | - 250 | 0.48 |
| 0.49 | 0.04495 06949 | 0.00004 37438 | - 151 | 0.49 |
| 0.50 | 0.04496 52778 | 0.00001 45829 | - 49 | 0.50 |

| - | | | | | |
|-----|---|---|---|--------------|---|
| | p | $ar{s}_3^{\prime\prime}$ | 8 | δ^3 | P |
| | 0.50 | 0.04496 52778 | 0.00001 45829 | - 49 | 0.50 |
| | 0.51 | 0.04495 06949 | -0.00001 45829 | 49 | 0.51° |
| | 0.52 | 0.04490 69511 | -0.00004 37438 | 151 | 0.52 |
| | 0.53 | 0.04483 40615 | -0.00007 28896 | 250 | 0.53 |
| | 0.54 | 0.04473 20511 | -0.00010 20104 | 350 | 0.54 |
| | 0.55 | 0.04460 09549 | $-0.00013\ 10962$ | 449 | 0.55 |
| | 0.56 | 0.04444 08178 | $-0.00016 \ 01371$ | 551 | 0.56 |
| | 0.57 | 0.04425 16949 | -0.00018 91229 | 649 751 | $0.57 \\ 0.58$ |
| .` | 0.58 0.59 | 0.04403 36511 0.04378 67615 | $\begin{array}{r} -0.00021 \ 80438 \\ -0.00024 \ 68896 \end{array}$ | 850 | 0.59 |
| | 0.60 | 0.04351 11111 | -0.00027 56504 | 950 | 0.60 |
| | 0.61 | 0.04320 67949 | -0.00030 43162 | 1049 | 0.61 |
| | 0.62 | 0.04287 39178 | -0.00033 28771 | 1151 | 0.62 |
| | 0.63 | 0.04251 25949 | -0.00036 13229 | 1249 | 0.63 |
| | 0.64 | 0.04212 29511 | -0.0003896438 | 1351 | 0.64 |
| | 0.65 | 0.04170 51215 | $-0.00041\ 78286$ | 1450 | 0.65 |
| | 0.66 | 0.04125 92511 | -0.00044 58704 | 1550 1649 | 0.66 |
| | $\begin{array}{c} 0.67 \\ 0.68 \end{array}$ | 0.04078 54949 0.04028 40178 | $\begin{array}{r} -0.00047 \ 37562 \\ -0.00050 \ 14771 \end{array}$ | 1751 | 0.67 0.68 |
| | 0.69 | 0.03975 49949 | -0.0005290229 | 1849 | 0.69 |
| | 0.70 | 0.03919 86111 | -0.00055 63838 | 1951 | 0.70 |
| | 0.71 | 0.03861 50615 | -0.00058 35496 | 2050 | 0.71 |
| | 0.72 | 0.03800 45511 | $-0.00061\ 05104$ | 2150 | 0.72 |
| | 0.73 | 0.03736 72949 | -0.0006372562 | 2249 | 0.73 |
| | 0.74 | 0.03670 35178 | -0.00066 37771 | 2351 | 0.74 |
| | 0.75 | 0.03601 34549 | 0.00069 00629 | 2449 | 0.75 |
| | 0.76 | 0.03529 73511 | -0.00071 61038 | 2551 | 0.76 |
| | $0.77 \\ 0.78$ | 0.03455 54615 0.03378 80511 | $\begin{array}{c ccccccccccccccccccccccccccccccccccc$ | 2650 2750 | $\begin{array}{c} 0.77 \\ 0.78 \end{array}$ |
| | $\begin{array}{c} 0.78 \\ 0.79 \end{array}$ | 0.03299 53949 | -0.0007074104 -0.0007926562 | 2849 | 0.79 |
| | 0.80 | 0.03217 77778 | -0.00081 76171 | 2951 | 0.80 |
| | 0.81 | 0.03133 54949 | -0.00084 22829 | 3049 | 0.81 |
| | 0.82 | 0.03046 88511 . | -0.00086 66438 | 3151 | 0.82 |
| | 0.83 | 0.02957 81615 | -0.00089 06896 | 3250 | 0.83 |
| | 0.84 | 0.02866 37511 | -0.00091 44104 | 3350 | 0.84 |
| | 0.85 | 0.02772 59548 | $-0.00093\ 77962$ | 3449 | 0.85 |
| | 0.86 | 0.02676 51178 | -0.00096 08371 | 3551 | 0.86 |
| | 0.87 | 0.02578 15949 | -0.00098 35229 | 3649 | 0.87 |
| As, | 0.88 0.89 | $\begin{array}{c} 0.02477 \ 57511 \\ 0.02374 \ 79615 \end{array}$ | $ \begin{array}{rrrrrrrrrrrrrrrrrrrrrrrrrrrrrrrrrrrr$ | 3751 3850 | 0.88 |
| | 0.00 | | | | |
| | 0.90 | 0.02269 86111 | -0.0010493504 | 3950 | 0.90 |
| | 0.91 | 0.02162 80949 | -0.00107 05162 | 4049 | 10.0 |
| | $0.92 \\ 0.93$ | 0.02053 68178 0.01943 51949 | $\begin{array}{r} -0.00109 \ 12771 \\ -0.00111 \ 16229 \end{array}$ | 4151 4249 | 0.92 |
| | 0.94 | 0.01829 36511 | -0.00111 10225 $-0.00113 15438$ | 4351 | 0.94 |
| | 0.95 | 0.01714 26215 | -0.00115 10296 | 4450 | 0.95 |
| | 0.96 | 0.01597 25511 | -0.00117 00704 | 4550 | 0.96 |
| | 0.97 | 0.01478 38949 | -0.00118 86562 | 4649 | 0.97 |
| | 0.98 | 0.01357 71178 | -0.00120 67771 | 4751 | 0.98 |
| | 0.99 | 0.01235 26949 | $-0.00122 \ 44229$ | 4849 | 0.99 |
| | 1.00 | 0.01111 11111 | -0.00124 15838 | 4951 | 1.00 |

| P | S ₃ '' | δ | δ^3 | Þ | |
|--------|--------------------|---------------------------------|---------------|------|--|
| 0.00 | 0.01111 11111 | -0.00124 15838 | 4951 | 0.00 | |
| 0.01 | 0.00985 28615 | | | 0.00 | |
| 0.02 | 0.00857 84511 | -0.00125 82496 -0.00127 44104 | 5050 5150 | 0.01 | |
| 0.03 | 0.00728 83949 | 0.00127 44104 | | 0.02 | |
| 0.04 | 0.00598 32178 | -0.00129 00562 | 5249 | 0.03 | |
| 0.04 | 0.00090 52170 | $-0.00130\ 51771$ | 5351 | 0.04 | |
| 0.05 | 0.00466 34549 | -0.0013197629 | ¥440 | 0.05 | |
| 0.06 | 0.00322 96511 | | 5449 | 0.05 | |
| 0.07 | 0.00322 90311 | -0.00133 38038 | 5551 | 0.06 | |
| 0.08 | | -0.0013472896 | 5650 | 0.07 | |
| | 0.00062 21511 | -0.00136 02104 | 5750 | 0.08 | |
| 0.09 | -0.00075 04051 | -0.00137 25562 | 5849 | 0.09 | |
| 0.10 | 0.00019 47999 | 0.00700 40787 | FOLT | 0.10 | |
| 0.10 | -0.00213 47222 | -0.00138 43171 | 5951 | 0.10 | |
| 0.11 | -0.00353 02051 | -0.00139 54829 | 6049 | 0.11 | |
| | -0.00493 62489 | -0.00140 60438 | 6151 | 0.12 | |
| 0.13 | -0.00635 22385 | -0.00141 59896 | 6250 | 0.13 | |
| 0.14 | -0.00777 75489 | $-0.00142\ 53104$ | 6350 | 0.14 | |
| 0.15 | 0.00001 75457 | | 2440 | | |
| 0.15 | -0.00921 15451 | $-0.00143\ 39962$ | 6449 | 0.15 | |
| 0.16 | -0.01065 35822 | -0.00144 20371 | 6551 | 0.16 | |
| 0.17 | -0.01210 30051 | -0.0014494229 | 6649 | 0.17 | |
| 0.18 | -0.0135591489 | -0.00145 61438 | 6751 | 0.18 | |
| 0.19 | -0.01502 13385 | -0.00146 21896 | 6850 | 0.19 | |
| .0.00 | | | | | |
| 0.20 | -0.01648 88889 | -0.0014675504 | 6950 | 0.20 | |
| 0.21 | $-0.01796 \ 11051$ | -0.00147 22162 | 7049 | 0.21 | |
| 0.22 | -0.0194372822 | -0.00147 61771 | 7151 | 0.22 | |
| 0.23 | -0.02091 67051 | -0.0014794229 | 7249 | 0.23 | |
| 0.24 | -0.02239 86489 | -0.00148 19438 | 7351 | 0.24 | |
| | 44 | | | | |
| 0.25 | -0.02388 23785 | -0.00148 37296 | 7450 | 0.25 | |
| 0.26 | -0.0253671489 | -0.0014847704 | 7550 | 0.26 | |
| 0.27 | -0.02685 22051 | -0.00148 50562 | 7649 | 0.27 | |
| 0.28 | -0.02833 67822 | -0.0014845771 | 7751 | 0.28 | |
| 0.29 | $-0.02982\ 01051$ | -0.00148 33229 | 7849 | 0.29 | |
| 0.00 | | | | | |
| 0.30 | -0.03130 13889 | -0.00148 12838 | 7951 | 0.30 | |
| 0.31 | -0.0327798385 | -0.00147 84496 | 8050 | 0.31 | |
| 0.32 | -0.03425 46489 | -0.00147 48104 | 8150 | 0.32 | |
| 0.33 | $-0.03572\ 50051$ | -0.00147 03562 | 8249 | 0.33 | |
| 0.34 | $-0.03719 \ 00822$ | -0.00146 50771 | 8351 | 0.34 | |
| 0.05 | 0.0004.0047 | 0.00045 | | _ | |
| 0.35 | -0.0386490451 | -0.0014589629 | 8449 | 0.35 | |
| 0.36 | $-0.04010\ 10489$ | -0.00145 20038 | 8551 | 0.36 | |
| 0.37 | -0.0415452385 | -0.0014441896 | 8650 | 0.37 | |
| 0.38 | $-0.04298 \ 07489$ | $-0.00143\ 55104$ | 8750 | 0.38 | |
| 0.39 | -0.04440 67051 | -0.0014259562 | 8849 | 0.39 | |
| | | C | | | |
| 0.40 | -0.04582 22222 | -0.00141 55171 | 8951 | 0.40 | |
| 0.41 | -0.04722 64051 | -0.00140 41829 | 9049 | 0.41 | |
| 0.42 | -0.04861 83489 | $-0.00139\ 19438$ | 9151 | 0.42 | |
| 0.43 | -0.0499971385 | -0.00137 87896 | 9250 | 0.43 | |
| 0.44 | -0.05136 18489 | $-0.00136\ 47104$ | 9350 | 0.44 | |
| | | | | | |
| 0.45 | -0.05271 15451 | -0.0013496962 | 9449 | 0.45 | |
| 0.46 | -0.05404 52822 | $-0.00133\ 37371$ | 9551 | 0.46 | |
| • 0.47 | -0.05536 21051 | -0.00131 68229 | 9649 | 0.47 | |
| 0.48 | $-0.05666\ 10489$ | -0.00129 89438 | 9751 | 0.48 | |
| 0.49 | -0.05794 11385 | -0.00128 00896 | 9850 | 0.49 | |
| 0.50 | 0.04000 40000 | and the second second | 1 4 4 2 1 2 1 | | |
| 0.50 | -0.05920 13889 | -0.00126 02504 | 9950 | 0.50 | |

| p | S ₃ '' | | δ | | δ ³ | p |
|------|---------------------------------|------|---------------------------------------|-------|----------------|------|
| • • | · · | | · · · · · · · · · · · · · · · · · · · | | | • |
| 0.50 | -0.05920 13 | 889 | -0.00126 | 02504 | 9950 | 0.50 |
| 0.51 | -0.06044 08 | | -0.00123 | | 10049 | 0.51 |
| 0.52 | -0.06165 83 | | -0.00125 | | | 0.52 |
| 0.53 | -0.06285 31 | | | | 10151 | 0.53 |
| 0.54 | $-0.06283 \ 31$ $-0.06402 \ 39$ | | -0.00119 -0.00117 | | 10249 | 0.54 |
| 0.03 | -0.00402 59 | 109 | 0.00117 | 00400 | 10351 | 0.04 |
| 0.55 | -0.0651698 | 785 | -0.00114 | 59296 | 10450 | 0.55 |
| 0.56 | -0.0662898 | 489 | -0.00111 | 99704 | 10550 | 0.56 |
| 0.57 | -0.0673828 | 051 | -0.00109 | 29562 | 10649 | 0.57 |
| 0.58 | -0.06844 76 | 822 | -0.00106 | 48771 | 10751 | 0.58 |
| 0.59 | -0.06918 34 | 051 | -0.00107 | 57229 | 10849 | 0.59 |
| 0.60 | -0.07048 88 | 880 | -0.00100 | 54999 | 10951 | 0.60 |
| 0.61 | -0.07146 30 | | -0.00100 | | 11050 | 0.61 |
| 0.62 | -0.0724047 | | -0.00094 | | 11150 | 0.62 |
| 0.63 | -0.07331 29 | | -0.00099 | | 11249 | 0.63 |
| 0.64 | | | -0.00087 | | | 0.64 |
| 0.02 | -0.07418 63 | 044 | -0.00087 | 94411 | 11351 | 0.04 |
| 0.65 | -0.0750240 | | -0.00083 | | 11449 | 0.65 |
| 0.66 | -0.0758247 | | -0.00080 | | 11551 | 0.66 |
| 0.67 | -0.0765873 | 385 | -0.00076 | | 11650 | 0.67 |
| 0.68 | -0.07731 06 | 489 | -0.00072 | 33104 | 11750 | 0.68 |
| 0.69 | -0.07799 35 | 051 | -0.00068 | 28562 | 11849 | 0.69 |
| 0.70 | -0.07863 47 | 222 | -0.00064 | 12171 | 11951 | 0.70 |
| 0.71 | $-0.07923 \ 31$ | | -0.00059 | | 12049 | 0.71 |
| 0.72 | -0.0797874 | | -0.00055 | | 12151 | 0.72 |
| 0.73 | -0.08029 65 | | -0.00050 | | 12250 | 0.73 |
| 0.74 | -0.0807591 | | -0.00046 | | 12350 | 0.74 |
| 0.75 | -0.08117 49 | 45.1 | -0.00041 | 10069 | 12449 | 0.75 |
| 0.76 | -0.0815399 | | | | | 0.75 |
| 0.77 | | | -0.00036 | | 12551 | 0.76 |
| 0.78 | -0.08185 57 | | -0.00031 | | 12649 | 0.77 |
| 0.79 | -0.08211 99 | | -0.00026 | | 12751 | 0.78 |
| 0.79 | -0.08233 14 | 389 | -0.00021 | 14896 | 12850 | 0.79 |
| 0.80 | -0.08248 88 | 889 | -0.00015 | 74504 | 12950 | 0.80 |
| 0.81 | $-0.08259 \ 10$ | | -0.00010 | 21162 | 13049 | 0.81 |
| 0.82 | -0.0826364 | 822 | -0.00004 | 54771 | 13151 | 0.82 |
| 0.83 | -0.0826249 | 051 | 0.00001 | 24771 | 13249 | 0.83 |
| 0.84 | -0.08255 22 | 489 | 0.00007 | | 13351 | 0.84 |
| 0.85 | -0.08241 98 | 785 | 0.00013 | 93704 | 13450 | 0.85 |
| 0.86 | -0.0822255 | | 0.00019 | | 13550 | 0.86 |
| 0.87 | -0.0819679 | | 0.00015 | | 13649 | |
| 0.88 | -0.0816455 | | 0.00023 | | | 0.87 |
| 0.89 | -0.0812572 | 051 | 0.00032 | | 13751 13849 | 0.88 |
| | 0,00120 12 | | 0.00000 | 00111 | 10029 | 0.00 |
| 0.90 | -0.0808013 | | 0.00045 | | 13951 | 0.90 |
| 0.91 | -0.08027 67 | | 0.00052 | | 14050 | 0.91 |
| 0.92 | -0.07968 18 | | 0.00059 | | 14150 | 0.92 |
| 0.93 | -0.0790153 | | 0.00066 | | 14249 | 0.93 |
| 0.94 | -0.07827 56 | 822. | 0.00073 | 96229 | 14351 | 0.94 |
| 0.95 | -0.07746 15 | 451 | 0.00081 | 41371 | 14449 | 0.95 |
| 0.96 | -0.07657 14 | | 0.00089 | | 14551 | 0.96 |
| 0.97 | -0.0756039 | | 0.00096 | | 14650 | 0.97 |
| 0.98 | -0.0745575 | | 0.00104 | | 14750 | 0.98 |
| 0.99 | -0.0734308 | | 0.00112 | | 14849 | 0.99 |
| | | | | | | |

(Received November 15, 1949)

室蘭附近の火山岩

佐 藤 文 男

Volcanic Rocks in the Muroran District, Hokkaido

Fumio Sato

Abstract

It is the investigator's attempt to study following items during his petrological, chemical inquiries into the volcanic rocks in Muroran District (a part of the peninsula).

- 1. General Geology.
- 2. Occurrence and classification of these rocks.
- 3. quantitative studies.

By pursuing these studies, the investigator obtained such results as follow:

- 1. This province can be divided into two formations.
 - A. Lower formation generally consists of Green Tuff, Liparitic Tuff, intercalated Tufaceous Sand Stone and Shale. Its formation can be subdivided into zones on the basis of rock properties and its sedimentations.
 - a. Bokoi Green Tuff, sand stone bed.
 - b. Wanishi Liparitic Tuff bed.
 - c. Harikaramoi Liparitic Tuff bed.
 - B. Upper formation consists of Agglomerate intercalated Tufaceous Sand Stone and Shale.
 - C. The Geological Age of lower formation is considered to be Miocene period (in correlated with Kunnui Series in S-W province of Hokkaido) and Upper formation is considered to be Pliocene period (in correlated with Kuromatsunai Series in S-W province of Hokkaido).
- 2. These formations have been intruded by various kinds of volcanic dykes as follows:
 - a, Liparite.
 - b, Quartz Andesite.
 - c, Quartz bearing Augite andesite.
 - d, Tow Pyroxene Andesite.
 - e, Augite Andesite.
 - f, Propyrite.
 - g, Basalt, Basaltic Andesite.
- 3. The chemical composition of Volcanic rocks were determined with the analytical results and it was shown as follows:
 - a, SiO₂ contains from 52.72% to 71.60%.
 - b, CaO contains more than results of Dalys analysis.
 - c, K2O contains less than results of Dalys analysis.
 - d, The rocks which contains about 60% of SiO_2 are most widely distributed in this district such as:

Two Pyroxene Andesite.

Augite Andesité.

Propyrite.

- e, The composition of Plagioclase has fairly basic position with the influence of CaO.
- 4. The results of studies in variation Diagram of Volcanic rocks show that the content of each element has the following relations:
 - a. The increase and decrease relation between the amount of Na₂O + K_2 O and SiO₂ was shown relative.
 - b. The increase and decrease relation between the amount of A_2lO_3 or CaO_3 or Fe_2O_3 and SiO_2 was snown reverse.
 - c. The increase and decrease relation between the amount of CaO and ${\rm Fe_2O_3}$ was shown parallel.
 - d. Cali-alkali index showed from 6.55 to 60.0; its value proved to be high in Japanese-Petrological Province.

I. 序 言

室蘭市附近の地質圖幅は未だ刊行されていない。筆者は昨年度半島部の地質調査に着手して、その野外調査も一先ず終了した。更に本年度は、奥地鷲別岳を中心とした山岳地帶の野外踏査を實施すると共に、その傍ら半島部の調査資料について、研究、整理をした。特に地質部門については、奥地の山岳地帶との闘連性があるので、更に今後の調査研究の結果になって、全貌も詳らかにされることになろうが、さしあたり、本地域に露出されている火山岩について、極めてその概況であるが、整理されたので報告する。踏査の不充分の點、未詳點、又岩石檢鏡實驗も種々の事情のため、結果を求めることの出來なかつた處、分析値も全分析が大半終了出來なかつた等、殘された事項が多くあるが、これらは總て、今後の研究に俟つこととして、今日迄に終了した部分のみを取り纏めて、報告することにした。

本稿を草するに當り、御懇篤なる御教示を賜つた原田教授に深謝の意を表する。又調査にあたり、協力を仰いだ澤田理學士、並びに野外に、實驗室において、研究に援助された本 學教官香川義郎氏に對して感謝したい。

II. 地 質 概 況

本地域は彎曲する半島で、外側即ち太平洋に面する海岸は、地勢急峻で斷層性海蝕崖を 呈する海岸で、内側即ち室蘭港(噴火灣)に向つて屋根形に稍緩傾斜を一般に呈する。 又外 側は海蝕に抵抗を有する火山岩の、種々の規模を有する岩脈が發達するために、極めて出入 に富んだ地形を呈して、自然の美觀を添えている。

本地域は大觀するに、殆ど全く火山性碎屑物の累積よりなつて、その主なるものは線色 乃至青色を呈する所謂綠色凝灰岩、白色乃至灰白色を呈する石英粗面岩質凝灰岩、又は白色 凝灰岩、同時に場所によつては、集塊質乃至角礫質の凝灰岩に移化されていることが少くな い。又一方には通常の堆積物である砂岩、頁岩、泥岩も一部では可成りの厚い五層をなして いる處があるが、いずれも凝灰質である。又本地域には處々に灰白色、灰黑色、赤褐色の風 化面を有する集塊岩が發達して、上述の岩層中に挾在されている。

本地域の地層は上述の各岩層の性質及び其の成層狀態より, 次の如く分類することにした。

1. 室 蘭 層 群

本層群に屬すると見做される堆積層は、本地域では廣く分布する。半島構成上重要なる 位置を占めているのである。主として自色乃至灰白色の石英粗面岩質凝灰岩、綠色凝灰岩、 凝灰質砂岩、頂岩よりなるが、然し堆積相により、場所によつて著しくその成層狀態を異に している。著者は次の三累層に分ち、之を室蘭層群と假稱しておく。

a. 母戀綠色凝灰岩, 砂岩層

本層は半島の中央部母戀地區に主として發達する地層で,軟質,粗鬆の凝灰岩,凝灰質砂岩で淡緑色を帯びる所が多い。本岩層は集塊質又は角礫質凝灰岩に移過されている處がある。チャラチナイ海岸,佛坂,日鋼正門前,同埠頭,中濱,マスイチ濱附近では,所謂綠色凝灰岩が著しく挾在されている。又風化面が赤褐色の集灰岩を交え,尚場所によつては淡灰乃至淡綠青色の凝灰質頁岩を挟在する。

b. 輪西石英粗面岩質凝灰岩層

本層はトツカリショ岬~母戀驛線を堺とする半島の以北に廣く發達する岩層で,白色又は灰白色の石英粗面岩質凝灰岩を主として,之に凝灰質砂岩,凝灰質頁岩,灰白色の集塊岩を夥しく挾在する。然しトツカリショ岬附近では,石英粗面岩,安山岩,凝灰岩,頁岩の大小岩礫を含み,角礫質に移化されて,その堆積相の著しい變化を示している。ハリカラモイ海岸の石英粗面岩質凝灰岩とは相前後して,整合的に堆積されたものと考えられる。

c. ハリカラモイ石英粗面岩質凝灰岩層

本層はハリカラモイ海岸より半島の先端部に近い所まで發達する岩層で,白色乃至灰白 色の極めて厚い岩層で,石英粗面岩,安山岩,凝灰岩,頁岩等の大小の角礫を含む極めて特 徴ある凝灰岩層である。上部には凝灰質砂岩,凝灰質頁岩,泥岩を挟み,又稀に集塊岩が挟 在することがある。又ハリカラモイ海岸では緑色凝灰岩を挟在する。

以上本層群の概觀であるが、これらは本道西南部に廣く發達する。新第三紀の訓縫統¹⁾に對比されるものであろう。

2. 小橋內噴出物層

¹⁾ 長尾巧, 佐々保雄: 地質雜 40卷 483號 (昭 8) p. 754, 755.

[&]quot; " 480 (") p. 561.

[&]quot; 41 485 (") p. 214.

本層は室蘭驛~小橋內海岸,チャラナイ~オーツク海岸,電信濱,イタンキ岬等に發達する岩層で,主として灰白色の集塊岩よりなつていて,之に凝灰質砂岩,同頁岩,白色の泥岩を挟在する處がある。室蘭驛~小橋內海岸では、角礫質に移過されている處が少くない。小橋內噴出物層と假稱しておく。下部層との關係は電信濱の本層は不整合に相接するもののようである。知り得る限りでは本層は、本道西南部に廣く發達する、新第三紀の黑松內統りに對比されるものであろう。

III. 種類と産狀

本地域に廣く露出されている火山岩類は、前述の地層を貫き、大小種々の規模を有する岩脈で、その種類は SiO2 が 71% 前後の酸性岩より、SiO2 が 52% 前後の鹽基性岩に及ぶ次の種類がある。

- a. 石英粗面岩
- b. 石英安山岩
- c. 含石英輝石安山岩
- d. 複輝石安山岩
- e. 輝石安山岩
- f. 變朽安山岩
- g. 玄武岩並びに玄武岩質安山岩

之を顯微鏡下において, 斑晶鑛物の多少, 石基の構造, 化學成分により更に幾つかの型に分類を試みた。その詳細は別項にゆずることにする。

次にこれらの岩脈と堆積層との關係は、凡そ次の通りである。

- 1. 母戀綠色凝灰岩,砂岩層を貫いているもの
 - a. 石英粗面岩 (マスイチ, ハリカラモイ海岸に露出するもの)
 - b. 石英安山岩 (日鋼埠頭附近に露出するもの)
 - c. 含石英輝石安山岩 (室蘭バス會社裏, 母戀局裏, 母戀輿に露出するもの)
 - d. 變朽安山岩 (チャラチナイ, 窓岩海岸に露出するもの)
 - e. 輝石安山岩 (ポンモイ、オーツク海岸, 母戀奥に露出するもの)
 - f. 玄武岩質安山岩 (測量山の骨格をなすもの)
- 2. 輪西石英粗面岩質凝灰岩層を貫いているもの
 - a. 複輝石安山岩 (母戀富士の骨格, 輪西驛西, 奥輪西, ダイヤモンド岬, 御前水右手

¹⁾ 長尾巧, 佐々保雄: 地質雜 40卷 485號 (昭 9) p. 225.

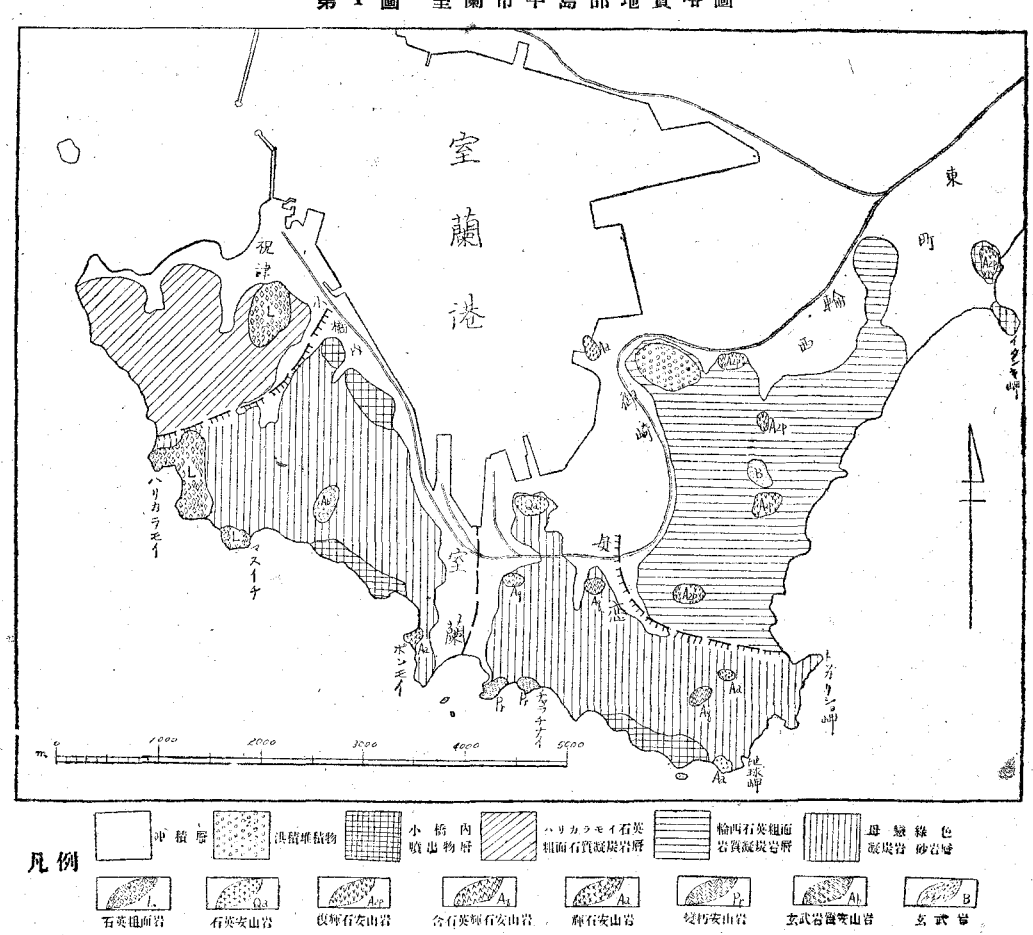
^{., 40 480 (,,)} p. 571.

[&]quot; 41 485 (") p. 227.

の山に露出するもの)

- b. 玄武岩 (御前水の左手の山)
- 3. ハリカラモイ石英粗面岩質凝灰岩層を貫いているもの 石英粗面岩 (祝津岬に露出するもの)
- 4. 小橋内噴出物層を貫いているもの 複輝石安山岩 (イタンキ岬に露出するもの)

以上各種類の火山岩の噴出時代については、本道西南部地方において、既に多く報告¹⁾されているが、本地域においても、石英粗面岩を始め、その多くは室蘭層群堆積後、小橋內噴出物層堆積以前のものではなかろうか、更に今後の研究に俟つて明らかにされることであろう。



第1圖 室蘭市牛島部地質略圖

¹⁾ 長尾巧, 佐々保雄: 地質雜 41卷 488號 (昭 9) p. 221.

IV. 肉眼的並に顯微鏡的の性質

前述の如く本地域に露出する火山岩は廣き分布を有し、又其の種類も多いが、これらについてその概要を述べる。

1. 石英粗面岩 (祝津岬, ハリガラモイ並びにマスイチ海岸に岩脈をなすもの) 三地域に露出せる本岩は, 殆ど同一のものであるが, 著者は岩石の有する化學成分より特に SiO』の含有量によつて二つの型に分けた。

a. α型一石英粗面岩

本型に屬するものは祝津岬、並びにハリカラモイ海岸に露出する。肉眼的に帶線灰色乃至淡灰白色の粗鬆の斑狀岩で、之を鏡下で窺うと、斑晶として石英、斜長石、角閃石、並びに稀に普通輝石の小結晶を含有している。石英は大型で最大 1.2~1.0 mm の結晶であるが、岩漿熔融のため概ね圓形又は灣入形を呈して、かつ破碎されているものがある。斜長石と共に多量に存在する。斜長石は自形又は半自形で大型の結晶が多く、最大 3.0~2.0 mm 前後で聚片双晶をするものが多く、累帶構造の發達が著しい。(010) に垂直なる斷面での、アルバイト双晶片から測つた最大消光角から、凡そ Ab50~Ab45 の成分を有する曹灰長石に相當する。表面變質するものもあり、絹雲母化、綠泥石化が著しい。磁鐵鑛、褐色の玻璃質物質の包裹物があるが、比較的に少い。有色鑛物としては角閃石が最も多いが、其の量は前述の二鑛物に比しては極めて少量である。然も一般に小さく、最大 4.0~3.0 mm の柱狀結晶で、青緑色で多色性が著しい。X=淡黄青色、Z=暗青綠色、磁鐵鑛綠を有する。變質の度著しく、綠泥石化、磁鐵鑛化している。普通輝石は極めて稀に含有されており、半自形で淡緑色、多色性は殆どなく、0.25 mm 前後である。磁鐵鑛の斑晶は少いが、石基中に粒狀をして多量に存在する。

石基は微針状の斜長石,粒状の輝石,磁鐵鑛,玻璃質物質の外に石英がある。又多量の 放射繊維状の集合物の線泥石とからなつている。概ね隱微晶質構造を呈している。

本岩を化學分析に付したところ第1表のような結果を得た。Dalyの流紋岩,並びに石英安山岩の兩成分に比較してみた。分析値は流紋岩に可成り近い値を示している。然し Fe O, (Fe O を含む), CaO はそのいずれよりも多く,之に反して K₂O はそのいずれよりも少い。このことは、鑛物成分にも現われて珪酸の量に比して、稍基性の斜長石の成分を示している。

b. β型一石英粗面岩

新鮮なものは極めて緻密な帶青緑色の斑狀岩で、之を鏡下で窺うと、斑晶としては石英、 斜長石、角閃石、稀に普通輝石の小晶を含有している。石英は大型のもので最大 1.3mm 前 後で多量に含有され、岩漿熔融のために、概ね圓形を呈しており、破碎されたものが多く、 又破碎面に沿つて褐色の玻璃質物質によつて浸潤されている。斜長石は石英と同じ大型で最大 2.3 mm に達する。かつ多量に含有されている。聚片双晶をなすが,累帶構造は著しくない。(010) 面に垂直な斷面でのアルバイト双晶片で測つた最大消光角から,凡そ Ab50~Ab45 の曹灰長石に相當する。表面は比較的に新鮮で變質の度は少い。磁鐵鑛粒,綠泥石,玻璃質物質を包裹する。有色鑛物としては,角閃石が最も多いが,其の量は前の鑛物に比しては極めて少量である。最大 0.7 mm 前後の柱狀結晶で,青綠色,多色性が著しい。普通輝石は稀に含有され、淡綠青色,多色性は殆どない。磁鐵鑛の斑晶は少量で,石基中に粒狀をして多量に含有されている。

石基は暗灰色で、、斜長石、輝石、緑泥石、玻璃質物質、石英からなつており、 隱微晶質構造を呈している。

本岩を化學分析に付したが、第1表の如き結果を得た。之を Daly の石英安山岩、並びに流紋岩の平均化學成分と比較したが、本岩は α 型より更によく石英安山岩に近い。 CaO は更に α 型より多く、 K_2 O はそのいずれよりも少い。又 SiO_2 は α 型よりも可成り少い。 α 型と β 型を分類した點はここにあるが、構成鑛物成分並びに石基の構造は α 型に酷似している。

| | 石英粗面岩 (祝津) | 石英粗面岩 (ハクカラモイ) | 石英粗面岩 (マスイチ) | 90種石英安山岩 ¹⁾ の平均化學成分 | 24種流紋岩の ²⁾ 平均化學成 分 |
|--------------------|-----------------------------------|-------------------|-----------------|-----------------------------------|---|
| SiO ₂ | 71.60 | 71.10 | 67.80 | 65.68 | 72.90 |
| $\mathrm{Al_2O_3}$ | 13.71 | 13.87 | 14.28 | 16.25 | 14.18 |
| Fe_2O_3 |) *Fe ₂ O ₃ | 1 |) | 2.38 | 1.65 |
| FeO | 4.04 | 4.00 | } 5.75 | 1.90 | 0.31 |
| MgO | 0.75 | 0.75 | 0.95 | 1.41 | 0.42 |
| CaO | 3.70 | 3.85 | 4.50 | 3.46 | 1.13 |
| Na ₂ O | 3.64 | 3.65 | 3.55 | 3.97 | 3.54 |
| K_2O | 1.27 | 1.20 | 1.25 | 2.67 | 3.94 |
| $H_2O +$ | | | | 1.50 | 1.33 |
| H ₂ O | | _ | | | |
| ${ m TiO_2}$ | | | _ | 0.57 | 0.48 |
| P_2O_5 | - 1 | | | 0.15 | 0.01 |
| MnO | _ | - | _ | 0.06 | 0.13 |
| Total | | . % | - | 100.00 | 100.00 |

第 1 表

H₂O(土) · TiO₂, P₂O₅, MnO は定量せず。

¹⁾ R.A. Dalx, Igneous rocks and the depths of the earth, (1933) p. 15.

²⁾ R. A. Daly, Ioc. cit, (1933) p. 9.

備考

^{*} Fe₂O₃ は全鐵分を表わす。

2. 石英安山岩 (日鋼埠頭附近に岩脈をなすもの)

本岩は日本製鋼所前の埠頭附近に岩脈をなして露出する。肉限的に帶線灰色の粗鬆の斑狀岩で、之を鏡下に窺うと、斑晶として石英、斜長石、角閃石、紫蘇輝石、普通輝石を有している。石英は大なる斑晶で最大 2.0 mm に達する。圓味を有し、かつ破碎されている。表面は新鮮である。磁鐵鑛粒を多量に包裹する。斜長石は最大 1.7 mm に達する。自形又は半自形で聚片双晶をするものが多く、累帶構造の發達は不良である。(0,0) に垂直な斷面でのアルバイト双晶片から測つた最大消光角から Ab₄₅~Ab₅₅ の曹灰長石に相當する。表面の新鮮なものは少い。輝石類、磁鐵鑛粒、綠泥石、褐鐵鑛物質を包裹する。角閃石は自形又は半自形、最大 1.3 mm 多色性が著しい。X=黄綠色、Z=暗綠色、直消光に近い。磁鐵鑛緣を有する。紫蘇輝石は平均 0.3 mm 前後のもので直消光、多色性が著しい。X=淡黄綠色、Z=綠青色、變質して綠泥石化、褐鐵鑛化しているものがある。普通輝石は淡綠色で多色性を缺ぎ、最大 1.1 mm で新鮮なものは少い。綠泥石化、磁鐵鑛化する。半自形、粒狀をなすものが多い。磁鐵鑛、斜長石の包裹物がある。

石基は褐灰色で析子狀,針狀の斜長石,粒狀の輝石,磁鐵鑛,玻璃質物質からなる。微 晶質の構造を有する。

| व्यव | | |
|------|--|--|
| | | |
| | | |
| | | |

| | 石英安山岩 | 90種石英安山 ¹⁾ 岩の平均成分 | 24種流紋岩 ² の平均成分 |
|--------------------|--|---------------------------------|------------------------------|
| SiO ₂ | 63.46 | 65.68 | 72.90 |
| Al_2O_3 | 14.60 *Fe ₂ O ₃ | 16.25 | 14.18 |
| $\mathrm{Fe_2O_3}$ | 7.87 | 2.38 | 1.65 |
| FeO |) | 1.90 | 0.31 |
| MgO | 2.25 | 1.41 | 0.40 |
| CaO | 5.55 | 3.46 | 1.13 |
| Na ₂ O | 3.45 | 3.97 | 3.54 |
| K_2O | 1.00 | 2.67 | 3.94 |
| $_{10}+$ | | 1.50 | 1.33 |
| H_2O- | | | |
| TiO_2 | | 0.57 | 0.43 |
| P_2O_5 | | 0.15 | 0.01 |
| MnO | | 0.06 | 0.13 |
| Total | | 100.00 | 100.00 |

- 1) R.A. Dal.y, Igneous rocks and the depths of the earth, (1933), p. 15.
- 2) R.A. Dat.y, Ioc. cit, p. 9, 1933. H₂O(±), TiO₂, P₂O₅, MnO, は定量せず。
 - * Fe₂O₃ は全鐵分を表わす。

本岩を化學分析に付したが、第 2表の如き結果が得られた。Daly の 石英安山岩、並びに流紋岩の平均化 學成分と比較した。本岩は最も良く 石英安山岩に近い成分を有してい る。即ち、SiO₂、ALO₃においては 稍少いが、之に反して FeO、(FeO を含む)、CaO においては遙かに多 い。又アルカリ特に K₂O はそのい ずれよりも少い値を有している。

> 3. 複輝石安山岩 (母戀富士, 輪 西, 奥輪西, 御前水, イタン キ岬に岩脈をなすもの)

五地域に露出する本岩を, 斑晶の量, 其の大きさ. 並びに石基の構造によつて, 四つの型に分類した。

a. a型一複輝石安山岩

本岩を代表するものは、イタンキ岬海岸に露出するもので、肉眼的に帶赤色のものと、黒灰色の稍粗鬆の斑状岩で、之を鏡下で窺うと斑晶として多数の斜長石、輝石類が含有されている。特に有色鏡物の量が多く、かつ大型の結晶を示すことが本岩の特徴である。斜長石は自形又は半自形で大型の結晶が多い。一般に 1.0 mm 前後である。表面は一般に新鮮であるが、帶赤色の本岩では破碎面に沿い、赤褐色の褐鐵鏡質物質により著しく染侵されている。累帶構造の發達は餘り良くない。聚片双晶が多く (0|0) に垂直な斷面でのアルバイト双晶片から測つた最大消光角より、凡そ Abso Abso の曹灰長石に相當する。輝石類、磁鐵鏡の包裹物が多く、特に輝石類は自形又は半自形を呈する大型の結晶が包裹され、又其の先端を突入しているものがある。有色鏡物である紫藍輝石、並びに普通輝石は、其の量と大きい結晶を有することが、本岩の特徴である。紫藍輝石は柱狀の自形又は半自形の結晶で、淡青緑色、直消光、多色性が著しい。最大 1.2 mm 前後である。帶赤色の本岩中のものは變質の度が著しく、線泥石化、磁鐵鏡化、褐鐵鍍化するものが多い。又結晶の周縁は黑色の磁鐵鏡線を有するものが多い。普通輝石は最大 20 mm に達する大型結晶があり、淡緑色で多色性を缺く、紫藍輝石により突入されているものがある。又磁鐵鏡、斜長石の包裹物を有する。磁鐵鏡は斑晶として存在する事は少い。石基中に粒狀をして含有されている。

石基は暗灰色で斜長石の微晶, 輝石類, 磁鐵鑛, 絲泥石, 灰色叉は褐色の玻璃, 褐鐵鑛 等よりなつて微晶質構造を呈している。

本岩を化學分析に付したところ第3表のような結果を得た。之を Daly の紫蘇輝石安山 岩の平均成分と比較したが、Al₂O₃ は遙かに少く、MgO も少いが、Fe₂O₃ (FeO を含む) は 稍多く、CaO も多かつた。大體において Daly の分析に近い値を得た。

b. β型一複輝石安山岩

本岩を代表するものは、輪西驛前國道面に沿つた石切場に露出するもので、斑晶として斜長石、輝石類が認められるが α型に比較して特に輝石類の含有量が少い。斜長石は一般に 1.0 mm 前後で、累帶構造は著しくない。變質の度少く、表面の新鮮なものが多い。 (0|0) に 垂直な斷面に現われたアルバイト双晶片から測つた最大消光角から、凡そ Abs~Abs の曹 灰長石に相當している。双晶は特に聚片双晶が著しくみられる。磁鐵鑛、輝石類等の包裹物がある。有色鑛物である紫蘇輝石、普通輝石は α型に比較して其の量は少い。

c. 7型一複輝石安山岩

本岩を代表するものは、母戀富士を構成する岩體で、肉眼的には淡緑色の斑狀岩で、之を鏡下で窺うと、斑晶として石英、斜長石、輝石類等を含有しているが、α型、β型に比較して共の形は少さく、有色鑛物の量が少い。かつ又本岩は石英を含有している。この石英は最大 0.25 mm で概ね圓形を呈して、表面は新鮮である。かつ少量含有されている。斜長石は

概ね聚片双晶を示して、平均 0.7~0.6 mm の小型の結晶で、累帶構造はその發達が不良である。(0|0) の面に垂直な斷面でのアルバイト双晶片から測つた、最大消光角から、凡そ Ab₄₅~ Ab₅₅ の曹灰長石に相當している。表面が新鮮なものは少くて、變質の度が著しい。輝石類、磁鐵鑛粒等の多數の包裹物が含有されている。有色鑛物である紫蘇輝石、普通輝石は小型の、結晶で、その量も少い。即ち紫蘇輝石は最大 0.25 mm でその量も少く、淡緑色、多色性を有し、直消光をする。普通輝石は小型の粒狀の結晶が多く、最大 0.6 mm、一般に 0.4 mm 前後で、多色性を缺き、緑泥石化したものが多くみられる。磁鐵鑛は斑晶としては、多くは含有されず、石基中に粒狀をなして存在する。

石基は暗灰色で、微針狀の斜長石、輝石粒、磁鐵鑛粒等の外に、輝石類の絲泥石化したもの、破璃質物質によつて構成される。潜晶質の構造を呈する。

本岩を化學分析に付したところ,第3表の如き値を得た。

Daly の紫蘇輝石安山岩の平均成分と比較して、大體 α型と同様であることが知られた。 d. δ型一複輝石安山岩

本岩を代表するのは奥輪西及びイタンキ岬北側に露出するもので、肉眼的に帶線灰色の粗鬆の岩石で、鏡下では斑晶として斜長石、輝石類が含有されている。兩者とも α型, β型

と共に大型の結晶であるが、石基の 構造を異にすることが特徴である。 斜長石は 聚片双晶が多く認められ, 最大 1.3 mm 一般には 0.8~0.6 mm 前後で、表面の新鮮なものが多い。 (0|0) に垂直なアルバイト双晶片か ら測つた最大消光角より、凡そ Abs ~Ab35 の曹灰長石に相當する。磁鐵 鑛, 輝石類の包裹物がある。紫蘇輝 石は本岩中にはかなり多量に存在し で、最大 0.8 mm に達する柱狀結晶 で,直消光,多色性が著しい。普通輝 石は淡緑色で多色性は殆どなく、最 大 1.8 mm に達するものがある。 ー 般に表面は新鮮である。磁鐵鑛、斜 長石を包裹する。磁鐵鑛は斑晶とし ては殆ど認められない。石基中に又

第 3 表

| | | | | | 20種紫蘇輝石 ¹ 安山岩の平均成 | |
|-------------------|----|-------|---|---------|---------------------------------|--|
| SiO ₂ | | 60.86 | | 59.35 | 59.48 | |
| Al_2O_3 | | 14.80 | | 15.51 | 17.38 | |
| Fe_2O_3 | 1 | 9.20 | 1 | 9.55 | 2.96 | |
| FeO | } | 9.20 |) | 9.00 | 3.67 | |
| MgO |], | 2.50 | | 2.55 | 3.28 | |
| CaO | 1: | 7.15 | 1 | 7.20 | 6.61 | |
| Na ₂ O | | 3.01 | | 2.95 | 3.41 | |
| K_2O | 1 | 0.87 | | 0.85 | 1.64 | |
| H_2O+ | l | | | | 0.74 | |
| H_2O- | | | - | · — — · | | |
| ${ m TiO_2}$ | | | | | 0.48 | |
| P_2O_5 | | | | | 0.20 | |
| MnO | | | | | 0.15 | |
| Total | | | | | 100.00 | |

R.A. Daly, Igneous rocks and the depths of the earth, (1933) p. 16.

H₂O(±), ,Ti₂O, P₂O₅, MnO は定量せず。

備考

^{*} Fe₂O₃ は全鐡分を表わす。

は他鑛物中に含有される。

石基は褐灰色で斜長石の微晶,輝石類,磁鐵鑛粒より構成されて,微粒顆狀の構造を呈する。石基中には玻璃質物質も含有されている。 δ 型に分類されたものは,この構造によるものである。

- 4. 含石英輝石安山岩 (母戀驛前, 奥母戀右手山, 室蘭バス會社前に岩脈をなすもの) 三地域に露出する本岩は鑛物成分, 石基の構造によつて二つの型に分類した。
- a. α型一含石英輝石安山岩

本岩を代表するものは、母態驛前、室蘭バス會社前に露出するもので、肉眼的には灰黑色、又は黝黑色、緻密且つ堅い岩石で、鏡下に窺うと、斑晶として斜長石、輝石の外に、稀に石英が含有されている。斜長石は最大 2.0 mm 前後の自形又は半自形の結晶で、累帶構造の發達がある。 (0|0) 面に垂直な斷面のアルバイト双晶片から 測つた最大消光角から、凡そ Ab45~Ab55 の曹灰長石に相當し、表面の變質の度は少い。輝石類、斜長石、磁鐵鑛を包裹する。普通輝石は斑晶としてはその量が少く、最大 1.4 mm に達するが、一般には 0.35~0.2 mm 前後で、新鮮なものは少い。 變質して綠泥石化、褐鐵鑛化しているものが多い。淡綠色、多色性はない。石英は斑晶としては極めて稀で大きさ 1.0 mm に達する。表面は新鮮で圓味を有する。磁鐵鑛は粒狀をして散在し斑晶としては少い。

石基は灰色で破璃質物質,針狀の斜長石,輝石粒,線泥石,磁鐵鑛よりなる。微晶質の 構造を呈する。又本岩は變朽安山岩化作用を受けている。

b. β型一含石英輝石安山岩

本岩を代表するものは母戀奥右手に露出するもので、肉眼的に黝黑色、緻密の岩石で、鏡下に斑晶として斜長石、少量の輝石、稀に石英が見られる。斜長石は最大 1.3 mm, その量は極めて少ない。一般に新鮮で包裹物も少い。成分の決定は薄片からは好條件のものは得られず、決定困難であつたが、多分 α型に近いものであろう。石英は最大 1.0 mm に達するが、極めて稀に存在する。普通輝石は淡緑色で最大 0.2 mm 位のもので、稀にしかなく、多色性はない。磁鐵鑛は斑晶としては稀で、石基中に散在する。

石基は暗灰黑色で微針狀の斜長石が、玻璃質物質中に散在し、有色鑛物は認められない。 ハイアロピリテツクの構造を呈する。本岩は 4型に比較して、極めて斑晶鑛物の量が少いこと と、又石基の構造を異にしている。

5. 輝石安山岩 (母戀奥, ダイヤモンド岬, オーツク海岸, ポンモイ海岸に岩脈をなすもの)

各地域に露出する本岩は、鑛物成分の多少、變質の度によつて二つの型に分類した。

a. α型一輝石安山岩

本岩を代表するものは、母戀奥並びにダイヤモンド岬に露出するもので、肉眼的には灰色又は帶線灰色の稚粗鬆の岩石で、有色鍍物としては輝石が含有されるが、その量は少い。 斜長石は最大 1.8 mm に達する、聚片双晶がよく發達する。累帶構造の發達は著しくない。 (0-0) 面に垂直な斷面のアルバイト双晶片で測つた最大消光角から凡そ、Ab₄₅~Ab₅₅ の曹灰長石に相當する。輝石類、磁鐵鍍粒が包裹されている。普通輝石はその量少く、最大 0.6 mm 前後で淡緑色、多色性はない。新鮮なものが多く、變質しては緑泥石化している。磁鐵鑛の斑晶は少く、石基中に微晶をして含有される。

石基は褐灰色で、微針状の斜長石、玻璃質物質、磁鐵鑛粒、輝石類で構成され、線泥石 も認められる。微晶質の構造を呈している。

b. β型一輝石安山岩

本岩を代表するものはオーツク海岸、ポンモイ海岸に露出するもので、肉眼的に黝黑色の緻密な岩石で、鏡下に窺えば、斑晶として斜長石があり、有色鑛物は餘り認められないが、又は大部分變質し褐鐵鑛化して、極めて少量の輝石が含有されている。斜長石は最大 1.9 mm に達するものもあるが、一般には 1.0~0.8 mm 前後で、累帶構造の發達は良好である。 聚片 双晶が著しく、かつ表面の變質の度が著しい。(0-0)に垂直な斷面のアルバイト双晶片から測

つた、最大消光角によつて、凡そ Abs~Abs の曹灰長石に相當する。 普通輝石は斑晶として新鮮なものは 極めて量が少く小型で、最大 0.6 mm 前後である。總べて變質して繰泥石化、特に磁鐵鑛化するものが大部分 である。磁鐵鑛は二次的に變質したものが多い。

石基は灰色で極めて微針状の斜 長石、綠泥石、磁鐵鑛粒より成る。 微晶質の構造を有する。ポンモイ海 *岸のものは多量の綠泥石の微晶があ る。

本岩を化學分析に付して第4表の如き結果を得た。 Daly の普通輝石安山岩並びに紫蘇輝石安山岩の平均成分と比較してみた。 SiO₂ は兩

第 4 表

| | 輝石安山岩 (オーツク海) | 33種普通輝 ¹⁾ 石安山岩の平 分均成 | 20種紫蘇輝 ²⁾ 石安山岩の平 均成分 |
|--|------------------|---------------------------------------|---------------------------------------|
| SiO ₂ | 61.45 | 57.50 | 59.48 |
| $	ext{Al}_2	ext{O}_3 	ext{*Fe}_2	ext{O}_3$ | 14.86 | 17.33 | 17.38 |
| Fe_2O_3 | 9.30 | 3.78 | 2.96 |
| FeO |) | 3.62 | 3.67 |
| MgO | 2.30 | 2.86 | 3.28 |
| CaO | 6.71 | 5.83 | 6.61 |
| Na_2O | 3.25 | 3.53 | 3.41 |
| K_2O | 0.80 | 2.36 | 1.64 |
| $_{2}O +$ | | 1.88 | 0.74 |
| H_2O- | | | |
| TiO_2 | | 0.97 | 0.48 |
| P_{2O_5} | | 0.30 | 0.20 |
| MnO | | 0.22 | 0.15 |
| Total | : | 100.00 | 100.00 |

¹⁾ R.A. Daly, Igneous rock and the depth, of the earth, (1933) p. 16.

²⁾ R.A. Dalx, Igneous rocks and the depths of the earth, (1933) p. 16.

備 考 H₂O, TiO₂, P₂O₅, MnO は定量せず。 * Fe₃O₃ は全鍛分を表わす。

者のいずれよりも多く、Al₂O₅、MgO はいずれよりも少く、Fe₂O₅ (FeO を含む)、CaO は多い。即ち本岩は化學成分よりは、Daly の輝石安山岩に近い成分を有しているが、SiO₂、Al₂O₅が少く、Fe₂O₅ (FeO を含む)、CaO は遙かに多い特徴を示している。

6. 變朽安山岩(チャラチナイ,窓岩海岸に岩脈をなすもの)

本岩は肉眼的に帶線灰色,緻密でやや粗鬆のもので、特徴ある岩石である。鏡下では斑晶として斜唇石があり、有色鑛物は總べて線泥石化しおり、二次的の石英も含まれている。斜長石は最大 1.3 mm に達するが、一般に小さい。累帶構造の發達は極めて不良。新鮮なものは少く、大部分は變質されて陶土化、方解石化、絹雲母化されている。又二次的の石英の晶出もある。 (0|0) に垂直な斷面での、アルバイト双晶片で測つた最大消光角から、Ab₅₀~Ab₅ の中性長石、又は曹灰長石の平均成分のものが多い。聚片双晶は著しく包裹物は少い。輝石は總べて變質され、線泥石化しその量が多く、深青色で多色性は著しい。X=線黃色、Z=深緑青色である。一般に 0.8~0.6 mm 程度である。黄銭鑛は斑晶としては多くは含有されず、石基中に含まれる。

石基は針状,粒状の斜長石,線泥石,二次的の石英,黄鐵鑛等より構成されている。變 朽安山岩としての特徴を呈している。

- 7. 玄武岩(御前水左手山, 測量山の骨格を構成し岩脈をなすもの)
- 二地域に露出する本岩は、極めてよく酷似しているが、測量山の本岩は玄武岩質である。
- a. 御前水玄武岩

本岩は肉眼的に細粒,緻密の灰色の岩石で,斑晶は極めて稀である。鏡下では斜長石が稀に双晶して,大型の斑晶を呈し,最大 1.3 mm 前後のものがあり,表面は極めて新鮮である。その成分の決定は斑晶の少い點より,困難であつたが,凡そ Ab。位のかなり基性の曹灰長石に相當するものであろう。普通輝石は斑晶としては殆ど認められない。磁鐵鑛も斑晶はなく,石基中の微晶として多量に存在する。

石基は短冊状の斜長石が多量にあり、平均 0,25 mm 前後で、その間を 0.05~0.04 mm 程度の粒狀をした輝石が埋め、かつ磁鐵鑛粒も多量に見られる。完晶質填間構造を呈する。

b. 測量山玄武岩質安山岩

本岩は灰色の稍細粒、緻密の岩石で肉眼的に、御前水のものより斑晶が多く、斑狀岩を呈する。鏡下では斑晶として斜長石、稀に輝石の存在が見られる。斜長石は最大 2.0 mm に達する大型の結晶がある。且つかなり多量に存在する。累帶構造の發達は不良である。多くは聚片双晶をする。(0 0) 面に垂直な斷面におけるアルバイト双晶片から測つた、最大消光角によつて、凡そ Abso Abso の基性の曹灰長石に相當する。表面は比較的に新鮮であるが

變質しているものもある。輝石は普通輝石で存在は稀である,最大 1.0 mm. 多色性を有する。淡緑色である。磁鐵鑛は斑晶とし認めてられるものはなく,石基中に多量に微晶として存在する。

石基は多量の短冊状の斜長石の微晶が散在し、その間を粒状の輝石、磁鐵鑛粒によつて 占められている。斜長石は平均 0.12~0.08 mm で玻璃質は認められない。完晶質塡間構造を 呈する。

御前水玄武岩並びに測量山玄武岩質安山岩を化學分析に付したが、第5表の如き結果を得た。Daly の玄武岩、普通輝石安山岩の平均成分と比較してみれたが、兩者共に玄武岩に比して、SiO₂、Al₂O₅、CaO が稍多く、MgO は稍少い値を得た。一般に兩者共に玄武岩と普通輝石安山岩の中間の値を示していることが知られた。

| 第 | 5 | 表 |
|---|---|---|

| | <u>.</u> | | | |
|---------------------------------------|---------------|--------------------|---------------------------------|-----------------------------------|
| | 玄 武 岩 (御 前 水) | 玄武岩質安山岩 (測 量 山) | 198 種玄武岩 ⁽⁾ の平均成分 | 83種普通輝石安 ²⁾ 山岩の平均成分 |
| SiO ₂ | 53.78 | 52.72 | 49.06 | 57.50 |
| $\mathrm{Al_2O_3}\ \mathrm{"Fe_2O_3}$ | 16.95 | 18.10 | 15.70 | 17.33 |
| $\mathrm{Fe_2O_3}$ | } 11.85 | 11.50 | 5.38 | 3.78 |
| FeO | } 11.55 |) 11.50 | 6.37 | 3.78 |
| MgO | 3.20 | 3.30 | 6.17 | 2.86 |
| CaO | 8.50 | 9.02 | 8.95 | 5.83 |
| Na ₂ O | 2.70 | 2.70 | 3.11 | 3.53 |
| K_2O | 0.80 | 0.85 | 1.58 | 2.36 |
| $_{\mathrm{H_2O}}+$ | | | 1.62 | 1.88 |
| $_{12}O-$ | | | | |
| ${ m TiO_2}$ | | | 1.36 | 0.79 |
| P_2O_5 | | ., | 0.45 | 0.30 |
| MnO | | | 0.31 | 0.32 |
| Total | | | 1000.00 | 100.00 |

¹⁾ R. A. Daly, Igneous rocks and the depths of the eatth, (1933) p. 17.

H₂O(±), TiO₂, MnO, P₂O₅ は定量せず。

以上本地域に露出する各種岩石の概要の記載をしたが、岩石の種類及びその型式と、斑 晶鑛物成分及びその量との關係を示す一覽表を第6表として掲げておいた。

²⁾ R. A. Daly, Igneous rocks and the depths of the earth, (1933) p. 16,

備者

^{*} Fe₂O₃ は全鐵分を表わす。

第 6 表

| 斑晶 岩石種類 | 籤物 | 石 英 | 長 石 | 角閃石 | 普 通 | 紫蘇海石 | 磁鐵鑛 | 綠泥石 | 備 考 |
|---------------------|-----------------|-----------|------------|----------|------|------|------------------------|------|--|
| 石英粗面岩 | a 型 β 型 | ×× ××× | ××× ××× | ×× ×× | × | | × ×× | ×× | SiO ₂ 71.60% SiO ₂ 67.80% |
| 石 英 安 レ | 山岩 | ×× | ××× | × | ×× | ×× | ×× | × | |
| | a 型 | | ×××× | | ×××× | ×××× | × | × | |
| 稪 輝 石 | ₿型 | | ××× | | ××× | ×××- | $\times \times$ | × | |
| 安山岩 | 7型 | × | ××× | | ×× | × | $\times \times \times$ | ××× | |
| | δ型 | | ×××× | | ×××× | ×××× | ×× | ×× | |
| 含石英 | a 型 | × | ×××× | | ××× | | ××× | ××× | |
| 輝石安山岩 | β型 | × | × | | × | | × | - | · |
| Ver'z' et e i i eta | a 型 | | ×××× | | ×× | | ××× | × | |
| 輝石安山岩 | β型 | | ××× | | × | | ××× | ××× | |
| 變朽安日 | 山岩 | ×× | ××× | | ×× | | ××× | ×××× | |
| | 御前水 玄武岩 | | × | | × | - | × | × | SiO ₂ 53.78% |
| 玄 武 岩 | 玄武岩 質安山 岩 | | ××× | | × | | ** × × | × | SiO ₂ 52.72% |

備 考 ×× 印は 斑晶鑛物相互の比較量を示す。

V. 岩石學的, 化學的の特性

以上の如く火山岩の個々について記載を行つたが、之を總括してみれば、各岩は岩石學的、化學的の共通の特性があることが知られる。即ち總べての岩石の斑晶斜長石が第7表に示すように、珪酸量に比してかなり灰長石分に富んだものであること、即ち化學成分よりはCaOに富み、之に反して K₂O が著しく少い事が特性であろう。このことは神津教授の本邦火山の特徴として指摘されていることによく一致する¹⁾。又そのアルカリー石灰指數を求めたが、第2圖の如く、凡そ 65.5~66.0 間にあることが求められた。之は Peacock 石灰系列に屬する。又最近八木建三氏により有珠火山岩が 65.5 であることが發表されたが²⁾、本地域のも之に近い値を示している。然し第8表³⁾に示すように本邦火山岩岩石區中でも、最も高い範圍に入つている。次に火山岩の SiO₂ の含有量も本道火山岩は 71%~51% の範圍に

¹⁾ 河野義禮: 岩鑛 22 卷 6 號 (昭 14) 總 236.

²⁾ 八十建三: 岩鑛 32 卷 6 號 (昭 24) 總 16.

 ³⁾ 岩崎岩次: 火山の化學, 化學集書 7 (昭 23) p. 167.
 4) 石川俊夫: 地質維 52 卷 622-627 號(昭 22) p. 64.

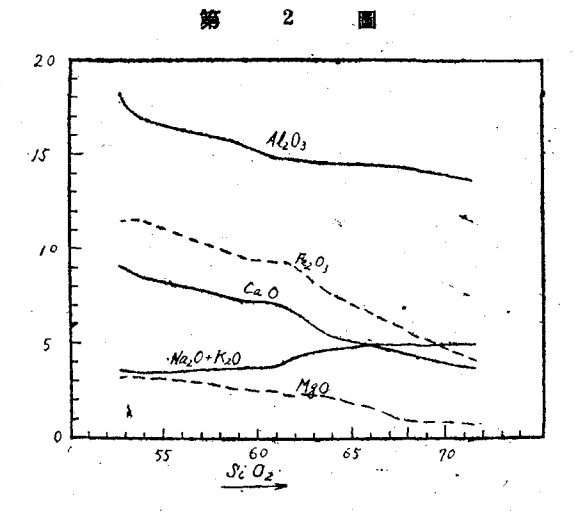
ある 4) ととが報告されているが、本地方のものはこの範圍に入るので、良く符合する。又 SiO_2 が 60% 前後のものが最も廣い分布を有すること、反對に SiO_2 70% 前後並びに 52% 前後の岩石の分布は極めて局部的であることは注目に値する。

| 筹 | 7 | 表 |
|---|---|---|
|---|---|---|

| | | | -4. | | |
|----------------------|-----------|--------------------|------|------------|--|
| 事 岩石種 | 類 | SiO ₂ % | CaO% | K₂O % | 斜長石の成分 |
| ner ale the test the | α型 | 71.60 | 3.70 | 1.27 | Ab ₅₀ ~ Ab ₄₅ |
| 石英粗面岩 | β 型 | 67.80 | 4.50 | 1.25 | $\mathbf{Ab}_{50}\!\sim\!\mathbf{Ab}_{45}$ |
| 石 英 安 | 山 岩 | 63.45 | 5.55 | 1.00 | Ab ₄₅ ~ Ab ₃₅ |
| | a 型 | 60.86 | 7.15 | 0.87 | Ab ₄₅ ~ Ab ₃₅ |
| 復輝石安山岩 | β型 | | _ | | Ab ₄₅ ~ Ab ₃₅ |
| 没 牌石 女山石 | 7 型 | 59.35 | 7.20 | 0.85 | Ab ₄₅ ~ Ab ₃₅ |
| | 8 型 | _ | _ | · _ · | $Ab_{45} \sim Ab_{35}$ |
| 含 石 英 | a 型 | , 60.67 | _ | - . | Ab ₄₅ ~ Ab ₃₅ |
| 輝石安山岩 | β 型 | 57.72 | | | Ab ₄₅ ~Ab ₃₅ ? |
| | a 型 | _ | _ ` | - | Ab ₄₅ ~ Ab ₃₅ |
| 輝石安山岩 | β 型 | 61.45 | 6.71 | 0.80 | $\mathbf{A}\mathbf{b}_{45} \sim \mathbf{A}\mathbf{b}_{35}$ |
| 變朽安 | 山岩 | 55.23 | | | Ab ₆₀ ~Ab ₄₅ |
| 玄 武 岩 | 御削水玄武岩 | 53.78 | 8.50 | 0.80 | Ab ₃₀ ? |
| A FA AT | 玄 武 岩質安山岩 | 52.72 | 9.02 | 0.85 | $\mathbf{A}\mathbf{b}_{35}\!\sim\!\mathbf{A}\mathbf{b}_{30}$ |

第 8 表

| 場 | 所 | アルカリー 石 灰 指 數 |
|----------------------|----------------------|------------------|
| 本邦及び朝鮮 (603個) よりオ | | 61.3 |
| 本邦火山岩 () 部分のアルカ | II) (I より大 リ岩を除く) | 65.0 |
| 同 | (III) | 65.5 |
| 同 | (IV) | 66.2 |
| 環日本海新生 石區 | 代アルカリ岩 | 63.1 |



VI. 火山岩の化學成分相互の關係と珪酸分の變化

本地域に噴出されている各種類の火山岩の化學成分と、SiO。の含有量との關係を示す成分變化曲線は、第2圖の如くなつたが、凡そ次の事が知られた。

- 1. Na₂O+K₂O と SiO₂ との増減關係は同じである。
- 2. Al₂O₃, CaO, *Fe₂O₃ 等と SiO₂ とは反對の增減關係を有する。
- 3. CaO と * Fe_2O_3 との増減關係はかなり一致されている。

又,噴出時代と建酸分の變化については,既に火山活動についての SiO。の分增進又は低減に,變化されつつあることがり報告されているが,本地域において火山岩は噴出時代の相互の關係が詳らかにされない現在,推定も困難のことであるが,少くとも本地域の石英粗面岩は最初の噴出物であり,又小橋內噴出物層を貫ねいている複輝石安山岩を除いては,玄武岩類は後期に噴出されたものでなかろうか,然る時は,少くとも酸性より鹽基性へと建酸分の變化があつたのではないだろうか。

VII. 結 III

今迄、本地域の火山岩類について述べたが、要約すると次の通りである。

- 1. 本地域は火山性碎屑岩よりなり、その岩質と堆積狀態より、之を二層群に大別した。 即ち主として緑色凝灰岩、石英粗面岩質凝灰岩、凝灰質砂岩よりなつたものを、室 蘭層群と假稱して下部層とし主として集塊岩、凝灰質砂岩よりなつたものを小橋內 噴出物層として、上部層とした。
- 2. 室蘭層群は更に、母懇綠色凝灰岩、砂岩層、輪西石英粗面岩質凝灰岩層、ハリカラモイ石英粗面岩質凝灰岩層の三層に細別した。
- 3. 下部層及び上部層を夫々、本道西南部の新第三紀、中、鮮新世の訓縫統、並びに黒 松内統に對比した。
- 4. 火山岩の産狀と堆積層との關係を明らかにせんとした。
- 5. 火山岩の種類を分かち、更に幾つかの型に分類して、その各々の記載を試みた。
- 6. 酸性より鹽基性に至る幾つかの岩石の主要成分の分析を試み、Daly の平均分析値と 比較したが、常に CaO が多く、 K_sO がとみに少いことが知られた。
- 7. 斜長石の成分は SiO。の含有量に比して、常に灰長石分に富んでいた。
- 8. SiO。の含有量が、本道火山岩の含有量の範圍内にあつた
- 9. アルカリー石灰指數を求めたが、凡そ、66.5~66.0 の間にあり、本邦の岩石區中で

¹⁾ 種子田定勝: 岩鑛 33 卷 4 號 (昭 24) p. 131.

も最も大きい方であつた。

- 10. SiO。が 60% 前後の岩石が最も廣い分布を有し、70% 前後並びに 52% 前後のものは極めて局部的の分布しかもつていなかつた。
- 11. 噴出岩の化學成分と SiO₂ の關係を成分變化曲線で表わし、SiO₂ の增減に對する他の成分の關係を吟味した。
- 12. 噴出岩の噴出時代と SiO。の增減關係を詳らかにせんとしたが、噴出時代の相互の 關係の未詳の點が多く、結果は得られなかつた。

以上本地域の火山岩について、その概要を報告したのであるが、残された多くの部門、 特に地質を始め未着手、又は未了になった處があるが、更に今後の研究に俟って改めて報告 する。

棚筆するに當たり本研究のために色々と便宜を與えられた本學當局に感謝する。なお本 研究に要した費用の一部は,文部省科學研究費によつた。併せてここに明記して感謝する。

| and the control of th | |
|--|---|
| | |
| | |
| | |
| | |
| | |
| | |
| | |
| | |
| | |
| | |
| | |
| | |
| | |
| | |
| | |
| | |
| | |
| | |
| | |
| | |
| | |
| | |
| | |
| | |
| | |
| | |
| | |
| | |
| | |
| | |
| | |
| | in the second of |
| | |
| | |
| | |
| | · · · · · · · · · · · · · · · · · · · |
| | |
| | |
| | |
| | |
| | The second secon |
| | |
| | $\mathbf{r} = \mathbf{r} \cdot \mathbf{r}$ (1) |
| | |
| (x,y) is the first probability of (x,y) and (x,y) is the (x,y) in (x,y) in (x,y) in (x,y) | |
| | A second of the |
| | |
| | |
| | |
| | |
| | $\Phi_{ij} = \frac{1}{2} \left($ |
| | in the second of |
| | |
| | $\mathbf{r}_{i} = \mathbf{r}_{i} \cdot \mathbf{r}_{i}$, where $\mathbf{r}_{i} = \mathbf{r}_{i} \cdot \mathbf{r}_{i}$ |
| | |
| | |
| | |
| | |
| | |
| | |
| | |
| | A Company of the Comp |
| | |
| | and the second s |

第 1 圖 版 說 明 (顯微鏡寫眞)

第 1 圖 石英粗面岩 (α 型)

平行ニコル × 24

石英 (Q), 斜長石 (P), 綠色角閃石 (H).

第 2 圖 石英安山岩(日鋼前)

直交ニコル × 24

石英 (Q), 斜長石 (P), 碧透釋石 (A), 磁響體 (M),

第 3 圖 複釋石安山岩 (7 型)

平行ニコル × 60

斜長石 (P), 普通輝石 (A), 磁鐵礦 (M).

第 4 圖 同 上 (a 型)

平行ニコル × 24

斜長石 (P), 普通輝石 (A), 紫纖輝石 (Hy).

第 5 圖 含石英輝石安山岩 (a 型)

直交ニコル × 60

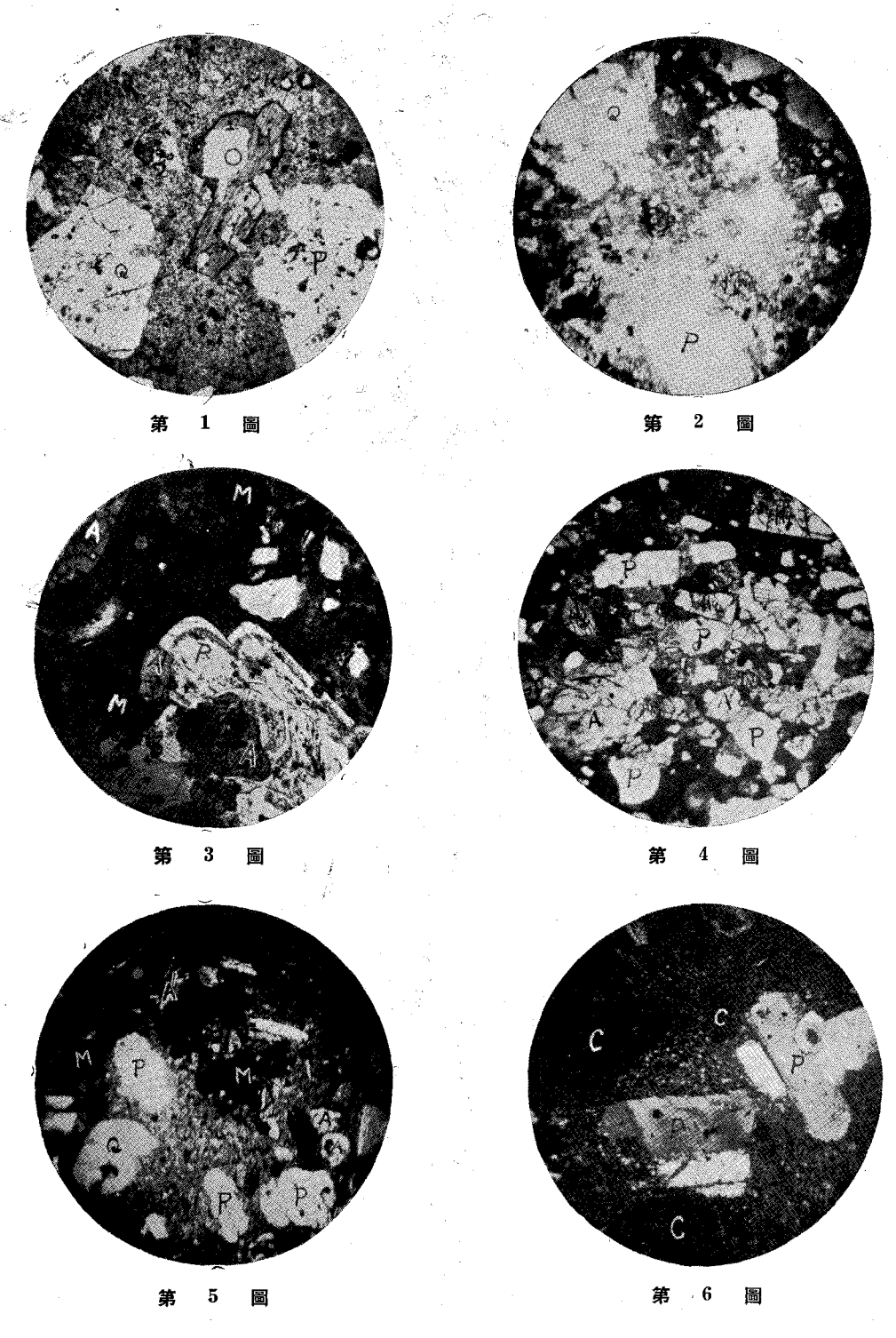
石英 (Q), 斜長石 (P), 普通輝石 (A) 磁鐵礦 (M).

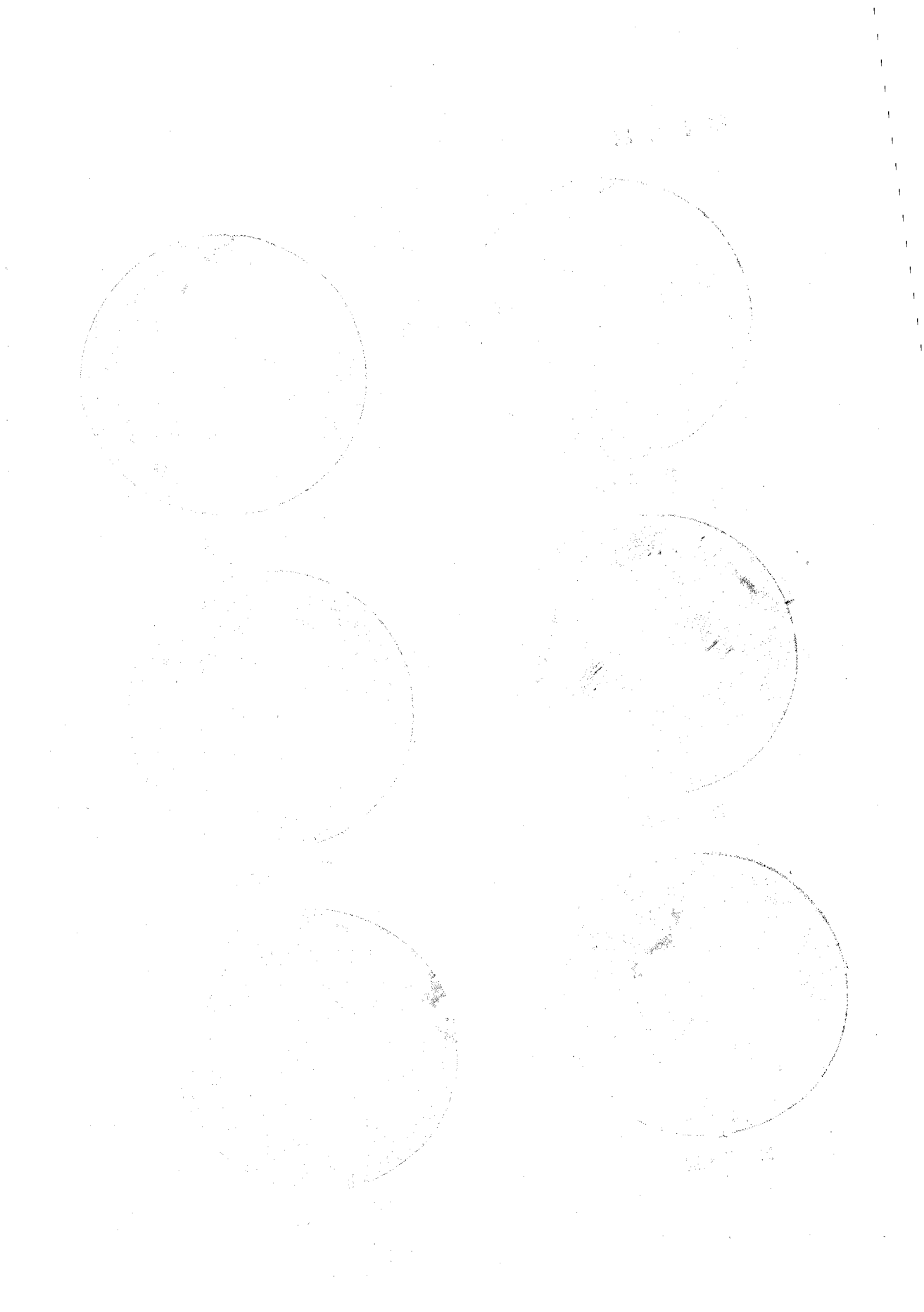
第 6 圖 輝石安山岩 (β型)

直交ニコル × 60

斜長石 (P), 綠泥石化せるもの (C).

第 1 圖 版





| and the control of th | |
|--|---|
| | |
| | |
| | |
| | |
| | |
| | |
| | |
| | |
| | |
| | |
| | |
| | |
| | |
| | |
| | |
| | |
| | |
| | |
| | |
| | |
| | |
| | |
| | |
| | |
| | |
| | |
| | |
| | |
| | |
| | |
| | |
| | in the second of |
| | |
| | |
| | |
| | · · · · · · · · · · · · · · · · · · · |
| | |
| | |
| | |
| | |
| | The second secon |
| | |
| | $\mathbf{r} = \mathbf{r} \cdot \mathbf{r}$ (1) |
| | |
| (x,y) is the first probability of (x,y) and (x,y) is the (x,y) in $($ | |
| | A second of the |
| | |
| | |
| | |
| | |
| | $\Phi_{ij} = \frac{1}{2} \left($ |
| | in the second of |
| | |
| | $\mathbf{r}_{i} = \mathbf{r}_{i} \cdot \mathbf{r}_{i}$, where $\mathbf{r}_{i} = \mathbf{r}_{i} \cdot \mathbf{r}_{i}$ |
| | |
| | |
| | |
| | |
| | |
| | |
| | |
| | A Company of the Comp |
| | |
| | and the second s |

第 2 圖 版 說 明 (顯微鏡寫眞)

第 1 圖 變朽安山岩 (チャラチナイ海岸)

平行=コル × 60

石英 (Q), 斜長石 (P), 絲泥石 (C), 磁鐵鑛 (M).

第 2 圖 玄武岩質安山岩 (測量山)

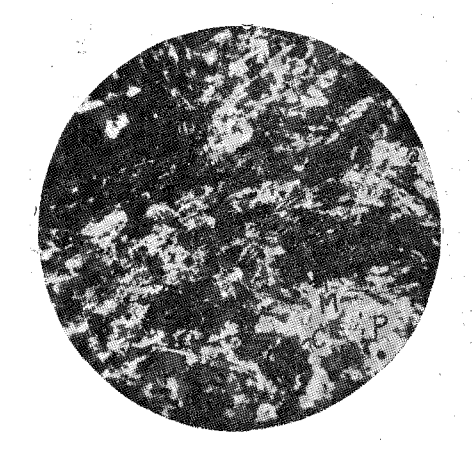
直交ニコル × 60

斜長石 (P), 普通輝石 (A), 磁鐵鑛 (M).

第 3 圖 玄武岩 (御前水左手山)

直交=コル × 60

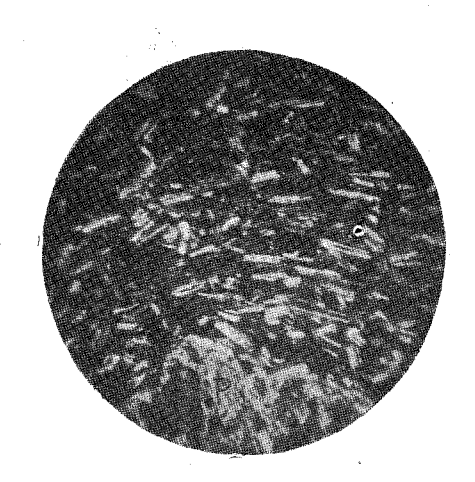
斜長石 (P), 普通輝石 (A), 磁鐵礦 (M).



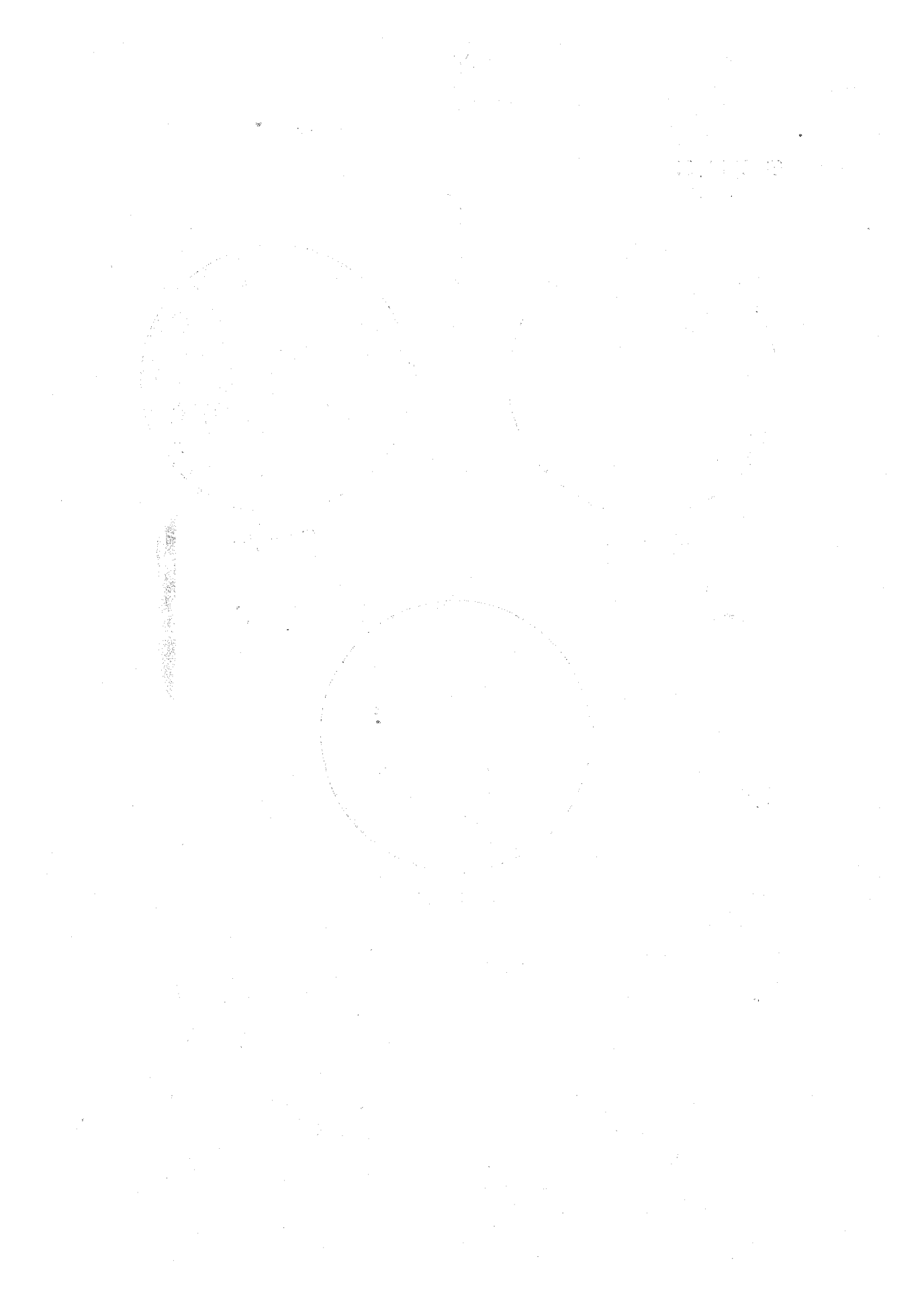
第 1 圖

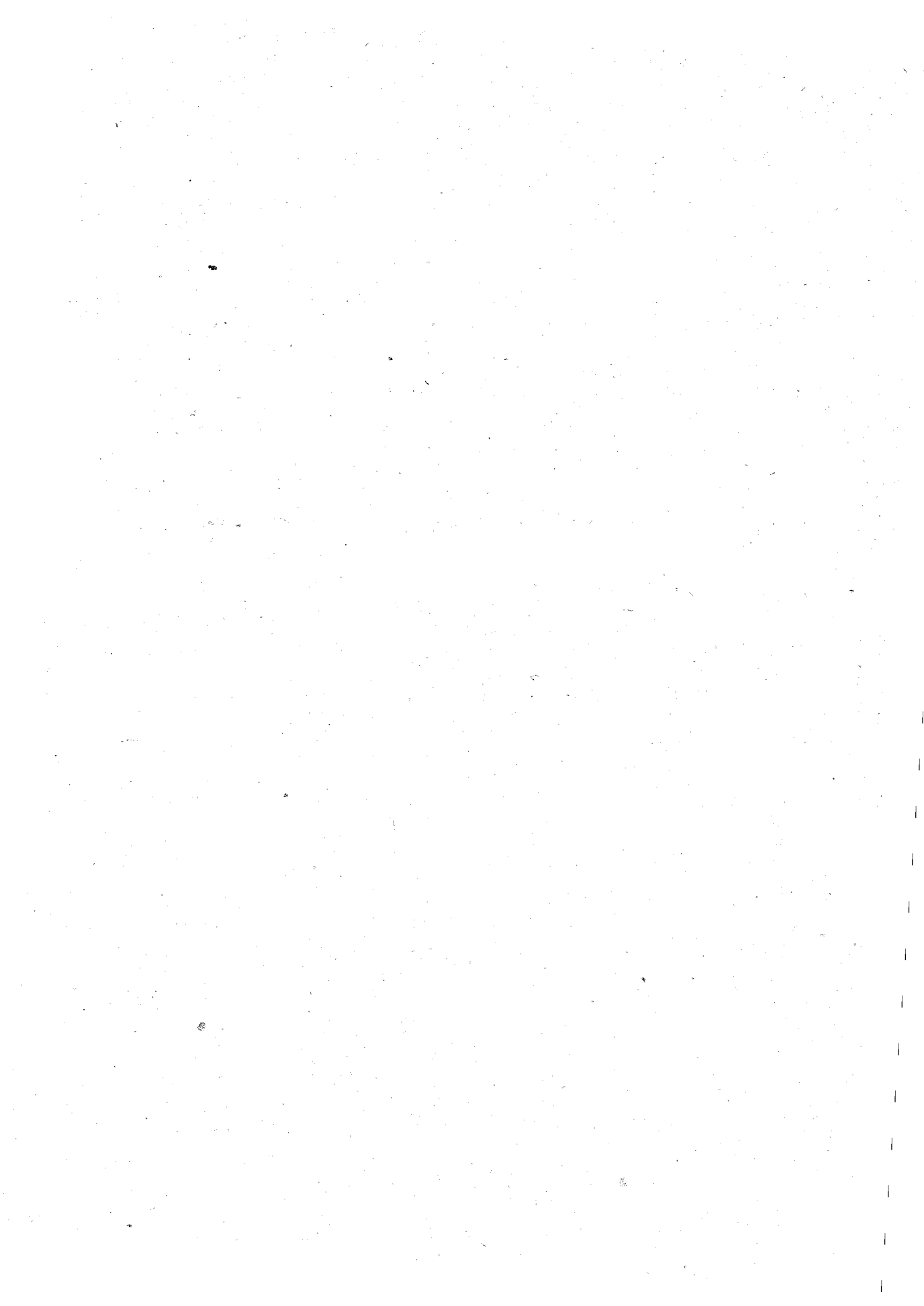


第 2 圖



第 3 圖





| In the second of the second of the second |
|---|
| |
| |
| |
| |
| |
| ************************************** |
| |
| |
| |
| |
| |
| |
| |
| |
| |
| |
| |
| |
| |
| |
| |
| |
| |
| |
| |
| |
| |
| ************************************** |
| |
| |
| |
| |
| |
| |
| |
| |
| |
| |
| 8 |
| |
| |
| |
| |
| |
| |
| |
| |
| |
| |
| · · · · · · · · · · · · · · · · · · · |

昭和二十五年六月五日 發編 行輯 印 印 者兼 刷 刷 化幌市北 幌市 室 北一 Щ 發 印 蘭 條. 條 行 刷 西三丁目 四 三丁 中 堂 目 罪 即 地 賣 刷 뭔 所 3

PRINTED BY

BUN'EIDO PRINTING CO.

No. 2, Kita 1, Nishi 3, Sapporo Tel. 160, 851

Contents

| Vol. I, No. 1 | June, 1950 | Whole No. | 1 |
|--------------------------|--|-------------------|------------|
| On the Mechanism of t | he Electrolytic Polishing | of Alminum. | Page |
| By K. Nishida | *************************************** | | 1 |
| On Operational Equation | ns. By Y. Kinokuniya | | 13 |
| Mean Position. By Y. | Kinokuniya ····· | ******** | 2 5 |
| Piston Stroke). By | matic-Hammerpic (An Inv Y. Maeno en Temperature Distribution | | 29 |
| on Flow Velocity in | the Reaction Tube. By | M. Shindo ······· | 51 |
| - - | eory of the Catalystic Re | | 63 |
| | nmonia Synthesis at High | | 75 |
| | cients of the Interpolation Yoshida | | 85 |
| A Table of the Coefficie | ents of the Derivatives For | rmulas Based | |
| upon the Interpolat | ion Formula of Steffensen. | By M. Yoshida | 97 |
| Volcanic Rocks in the M | uroran District, Hokkaido. | By F. Sato | 113 |